

呉工業試験場報告

No. 13

March, 1971

目 次

一報 文一

- SUS27 薄板材の穴明け加工について
- 旋削工具級別の考察
- 18-8ステンレス鋼のフライス切削について
- 輸受鋼の研削標準設定
- 被削歯車の穴精度が研削歯車の精度におよぼす影響
- カミアイ率の変化が研削歯車の精度におよぼす影響
- 切削温度検出用パイトの試作について
- 低周波音による構造物への振動誘起について
- やすりあたりによるかたさの判別について（その1）
- 輸出やすりの切削不良原因について
- 薄鋼板の表面処理と強度
- 薄鋼板の特殊表面処理と曲げ抵抗
- 薄鋼板の浸炭有効硬化層深さと表面かたさの関係
- 含有炭素量のちがいによるかたさ換算
- 高炭素鋼の熱処理組織によるかたさ換算

16. CO₂ アーク溶接の基本条件

- 厚鋼板溶接の層間温度が端点と側面における温度におよぼす影響
- 軟鋼の試験片形状と伸びについて
- 手溶接における基本的な溶接実行条件の検討
- 無機自硬性鋳型におよぼす気候条件の影響
- 無機自硬性鋳型の常温性質におよぼす古砂の影響
- 無機自硬性鋳型の高温性質におよぼす古砂の影響
- 塗型へのシリカゾルの添加効果について
- マイクロエーブの鋳型への利用
- 有機自硬性鋳型の常温性質におよぼす粘結剤添加量の影響
- 球状黒鉛鉄のSi量および加熱速度がオーステナイト化温度におよぼす影響
- アルカリ性鋼メッキ液中のクロムの分析法について
- メッキ工場廃水処理スラッジについて（その1）
- メッキ排水の簡易シアン測定方法について
- ボリプロビレン繊維のFRPへの応用とその物性
- アタクチックボリプロビレンに関する研究（その2）
- 光照射による南洋材成分の変化
- セオライトによる各種有害ガスの吸脱着に関する研究（その1）

- テストプラントによる冷間圧延废水の処理実験
- ソーダ系長石を用いたヴィトリファイド砥石結合剤について
- トンネルキルン焼成による

大下 嶽, 南良良治, 中塩武之 正岡 忠, 山崎隆志, 棚垣和生 片岡 登	1 5 10
南良良治, 石原道雄, 野口豊生 岡崎 恵, 兼広二郎, 山崎隆志 山崎隆志, 兼広二郎, 岡崎 恵 吉池啓介	14 21 24 27
中塩武之, 大下 嶽 石田 節, 岸山信行, 新田 明 新田 明, 石田 節, 鈴木 寛 加城正義, 横山宏樹, 一河文夫 加城正義, 横山宏樹, 一河文夫 横山宏樹, 石田 節, 鈴木 寛 岸山信行, 石田 節, 横山宏樹, 新田 明 岸山信行, 石田 節, 横山宏樹, 新田 明, 加城正義	30 35 41 45 50 56 60 68
片山義孝, 芳野光利, 野地英治, 蒲田政信, 池田哲郎 蒲田政信, 芳野光利, 野地英治, 片山義孝 芳野光利, 蒲田政信 野地英治, 蒲田政信, 片山義孝 丸下清志, 内藤達也, 世良時夫, 原 信彦 世良時夫, 内藤達也, 原 信彦, 丸下清志 原 信彦, 内藤達也, 世良時夫, 丸下清志 原 信彦, 内藤達也 原 信彦, 内藤達也 世良時夫, 原 信彦 西川浩成, 横山宏樹, 内藤達也	72 78 82 84 87 93 98 102 106 110 114
渡部英雄, 田谷征雄, 清水達磨 田谷征雄, 清水達磨, 金本 正, 応和 尚 清水達磨, 下野秋夫, 蒲原敏博 高崎宗利, 東正十郎 關 守雄, 東正十郎 東正十郎, 清水加津子	117 120 124 126 133 137
好溝芳邦, 水富 精 藤本宗之, 丸下清, 東正十郎 森田健次, 山県康男, 蔵本範雄	140 145 149
県産赤レンガの品質について（第2報）	153

SUS 27 薄板材の穴明け加工について

大下 嶽、南良良治、中塙武之

緒言

薄板の穴明け加工には標準ドリルを使用すると破損しやすく能率の悪いものでありこれの穴明け加工には一般にヨーンク型と呼ばれる形状のドリルが良いとされている。本実験は比較的無操作に使用されている小型ドリルについて汎用工作機械および市販の標準ドリルを用いてヨーンク型ドリルを成形し、難削材であるステンレス薄板材の穴明けに使用し、厚板ステンレスの切削条件の適用の可否およびドリル先端形状による加工能力の差異について検討を行なったものである。

実験方法

1 ポール盤

ポール盤は芦品鉄工所製卓上ポール盤 ABD-300 を用いた（穴明け能力 10 mm, 回転数 750~6000 rpm 7 段階）写真 1 に使用したポール盤およびタイムカウンターを示す。

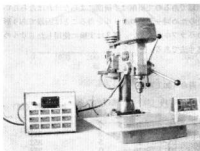


写真1 供試ポール盤

表1 卓上ポール盤の精度 単位 mm

検査事項	許容差	測定値
主軸穴の振れ	0.22	0.02
主軸中心線とベース上面との直角度	0.03	0.02
主軸スリーブの運動とテーブル上面との直角度	0.03	0.01
回転数	—	±5%以内

す。

ポール盤の精度は JIS B-6269「直立ポール盤の精度検査方法」に準じて精度を検査した。表 1 に検査結果を示す。

2 ドリル

ドリルは 6 mm の市販の標準ドリル (SKH-9) を 10 本、それぞれローソク型ドリルに成形して使用した。成形はすべて手研ぎでありドリル先端部の形状は万能投影機で寸法測定を行なった。実験によって穴明け不能になったドリルは再研削を行い、その都度寸法測定を行なった。
(再研削によるドリル長さの影響は切削性能に影響しないとされている)¹⁾。

3 被削材

材質 SUS 27 冷間圧延材 (厚さ 1 mm)
硬度 HB-150 (平均)

4 穴明け能力 (ドリル寿命) の測定方法

図 1、図 2 に穴明け能力測定方法の概略を示す。被削材はポール盤台上にセットされあらかじめ設定された回転数によって主軸を駆動させ穴明けを行い、送り方向の推力はポール盤アームに釣り下げられた重錘によって与えられる。この推力は重錘の量によって加減される。ドリルの寿命はドリルが穴明け不能に達した時点の加工穴数とした。加工不能の判定は荷重によって送り方向の力

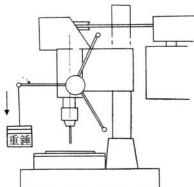


図1 穴明け実験方法

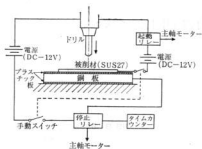


図2 穴明け実験のオートサイクル図

が与えられた時1個の穴明けに要する時間が20秒以上要した時とした。

図2は自動計数機構の回路図である。重錠によって押し下げられたドリルは被削材(SUS 27薄板材)に連するところとの間に電気回路を形成し、ボルト盤の主軸モーターを起動させる。回転を与えたドリルは被削材を加工しながら下つて行く。被削材の下部には薄い塩化ビニール板(厚さ2mm)が挿入してあり被削材とボルト盤本体を電気的に絶縁している。被削材を通り抜けたドリルは刃先を損傷することなく下の鋼板に達する(塩化ビニール穴明け時にドリルに幾分の摩耗が生ずると考へられるが対象被削材(SUS 27)が難削材であるにくらべて塩化ビニールはるかに加工しやすいことおよび実験がすべて同一条件の貫通穴であるため塩化ビニール穴明け時のドリルの損傷は無視した)。ドリルが鋼板に達すると鋼板とドリルとの電気回路が閉じ停止リレーが作動し主軸モーターを停止させ、1穴の穴明けサイクルを終

了する。また主軸モーター回転中の時間はタイムカウンターに表示されると同時に穴明け不能となるまでの時間も積算する。

5 切削条件

穴明け時の切削条件は文献²⁾によるステンレス鋼穴明け条件、すなわちドリル直径と標準回転数を参考にした。表2にステンレス鋼の切削条件を示す。

表2 各種ステンレス鋼のドリル穴明け加工におけるドリル直径と標準回転数

ドリル 寸 法 (mm)	マルテンサイト系 およびフェライト系		オーステナイト系	
	回転数 (rpm)	送り (mm/rev)	回転数 (rpm)	送り (mm/rev)
3	1,000	0.10	800	0.075
6	600	0.15	500	0.125
10	400	0.20	300	0.175

また穴明け加工においては切削油を用いるのが普通であるが、薄板、小孔加工の場合1回の貫通に要する時間は極めて短く、また切削の排除も容易であり切削油をかけることが実用とそぐわない点が多いので、本実験ではすべて乾式による穴明けとした。

■ 実験結果と考察

ローフク形ドリルは形状が特殊であるため機械研削が困難であるので研削は手研削によらなければならぬ。そのため同一形状のドリルを得ることは困難であり形状のバラツキが大きい。表3は実験に使用したドリルの各部寸法である。

表3 ローフク型ドリルの各部寸法と寿命(加工穴数)

ドリル 番号	先端角 (度)	切刃の高さ(mm) (左)	切刃の高さ(mm) (右)	チゼル偏心 量(mm)	逃げ角(度) (左)	逃げ角(度) (右)	加工穴数(個)		
1	96	0.94	1.20	0.26	0.14	14	16	2	318
2	94	1.00	1.30	0.30	0.15	16	19	3	311
3	92	1.51	1.28	0.23	0.02	13	18	5	352
4	81	1.25	1.24	0.01	0.35	16	16	0	258
5	96	2.01	1.15	0.86	0.04	18	19	1	28
6	95	1.84	1.62	0.22	0.05	12	20	8	200
7	80	1.05	1.82	0.77	0.42	18	21	3	255
8	96	2.10	1.60	0.50	0	20	21	1	300
9	82	1.90	2.09	0.19	0.09	15	19	3	318
10	96	1.20	1.94	0.67	0.01	19	19	0	359
11	96	0.95	0.86	0.09	0.27	18	20	2	320
12	92	1.15	1.17	0.02	0.54	6	14	8	331
13	84	1.65	1.15	0.50	0.12	17	19	2	330
14	81	2.25	1.89	0.34	0.04	15	17	2	175
15	90	1.10	1.74	0.64	0.49	14	18	4	225
16	96	1.64	1.97	0.33	0.16	17	17	0	325
17	98	1.25	1.37	0.12	0.32	19	19	0	145
18	76	1.84	1.89	0.05	0.12	11	18	7	159
19	102	0.98	1.72	0.10	0.10	19	21	2	205
20	99	1.64	1.51	0.45	0.09	20	21	1	41

1 切削速度とドリル寿命

図3は送り荷重をそれぞれ1, 2, 3kgとして回転数によるドリル寿命の差をみたものである。いずれの荷重の場合も回転数がある値を超えるとドリル寿命が短くなるようである。ドリル寿命の最も長いのは1,000 rpmのあたりで、送り荷重を増すと加工可能穴数が増加する。ドリル寿命は回転数によって大きく作用され低速で送りを早めにする方が能率が良いと思われる。またその切削速度は送り荷重にもよるが本実験の場合文献に示された速度より少し上回るあたりで能率が良いようである。

2 先端角の形状とドリル寿命

図4は先端角を変えた場合のドリルに寿命の変化を示すものである。先端角が小さいほど初期における加工速度は早いけれども肩羽の欠ける場合もあり、ドリル寿命を示す全体の穴開け数では先端角の大きい程加工可能数が大きくなる傾向にある。

3 チゼル偏心量とドリル寿命

図5はチゼル偏心量とドリル寿命の関係を示したもの

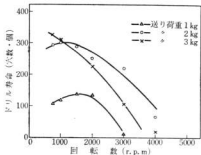


図3 切削速度とドリル寿命

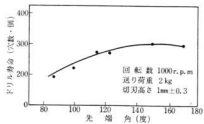


図4 先端角とドリル寿命

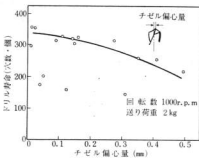


図5 チゼル偏心量とドリル寿命

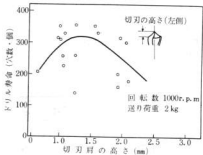


図6 切刃肩の高さとドリル寿命

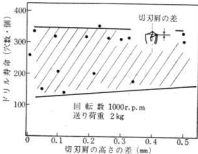


図7 切刃肩の高さの差とドリル寿命

である。チゼル部の偏心が加工精度におよぼす影響は良く知られているが、ドリル寿命においても偏心量が大きくなると寿命が幾分減少する。その最もな原因はチゼル部の摩耗である。

4 切刃の高さと、高さの差によるドリル寿命

図6は切刃肩の高さと寿命の関係である。6mm径のドリルでは切刃肩の高さが1.5mmあたりでドリル寿命が長いようである。しかし同じ切刃肩でもドリル寿命のバラツキはかなり大きくチゼル偏心等の影響が考へられる。図7はドリルの左右の肩の高さの差による寿命の変化をみたものであるが有意な関係は認められない。

5 逃げ角および逃げ角の差によるドリル寿命

図8、図9逃げ角および逃げ角の差によるドリル寿命の関係をまとめたものである。逃げ角15~20度を研削の目安としたため、他の角度における傾向は明らかでないが、逃げ角の差があり多くなければドリル寿命は長く15~20度で300穴以上の加工は容易であると思われる。(図8のダブルハッキング部分)。

6 標準ドリルとの寿命の違い

図10は藤田製作所製ドリルボインターによって先端角

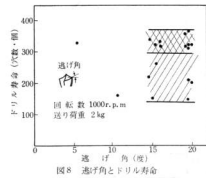


図8 逃げ角とドリル寿命

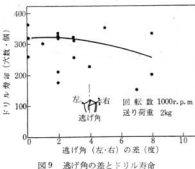


図9 逃げ角の差とドリル寿命

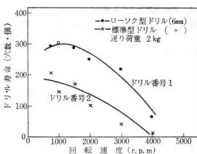


図10 標準ドリルとの違い

118度、逃げ角5度に研削された標準ドリルとローソク型ドリル(ドリルNo.1)との穴明け能力の違いをみたものである。ローソク型ドリルが最高318穴加工したのに比べて標準型ドリルでは207穴の加工に留まつた。ドリル先端部の摩耗の状態は、ローソク型ドリルでは切刃肩部に欠けの状態がみられたのに対し標準型ドリルではチゼル部に摩耗が著しい。

II 結論

直径6mm(SKH-9)の手研ぎのローソク型ドリルを使用して、被削材 SUS 27 薄板の穴明け加工におけるドリル寿命を調べた。要約して結論を述べるとつぎのとおりである。

1. SUS 27 薄板材に対する穴明け加工では標準型ドリルよりローソク型ドリルの方がドリル寿命が長い。
2. 切削速度はドリル寿命に大きく影響し本実験では文献に示された切削速度より少し高めの所でドリル寿命の最大をみた。
3. 先端角が大きい壁ドリル寿命は長くなる。ただし1穴に要する加工時間は初期においては角度の小さい方が早い。
4. ドリル形状のバラツキはドリル寿命に顕著には表われないが、チゼル偏心量、切刃肩の不整は穴の加工精度に影響する。

文献

- 1) 西田修三、尾崎省太郎：機械試験所報、16(1962) 5
- 2) 長谷川編：ステンレス鋼便覧、日刊工業新聞社(1960) 757
- 3) D. R. T. Manual: 義賢堂(1966) 77

旋削に関する研究(第2報)

旋削工具取扱いの考察

正岡 忠, 山崎 隆志, 桜垣 和生

I 緒言

切削工具の再研削の時期については、切削面あらさの保持はもとより、切削工具の経済性から多くの問題点がある。切削工具の消耗は再研削による研削量によって決定される。すなわち再研削の適期と巧な取扱いが工具を有効かつ経済的に使用し得るといえる。

工具の切削能力低下の時期に到れば当然再研削が必要であるが、その時点においてはすでに工具の刃先摩耗は相当進行しており、よって研削量も多く、全体的な寿命と経済性については極めて不利である。

一般に工具寿命はチッピング、観れなどを考慮外とした場合、フランク摩耗により決定される場合が多くフランク摩耗が切削仕上面におよぼす影響からも判定される。工具刃先の形状はフランク摩耗と密接な関係にあるが、クレーター摩耗はそれ程には影響しない。

しかし再研削に際してはその研削量はクレーターの深さは問題となる。よってクレーターの成長をある程度抑制することができれば工具寿命の延長や、再研削量の僅少などにより、その経済性は有利な結果をもたらすものと考えられる。

切削工具の摩耗には、切削過程における機械的摩耗と、切削が工具すぐい面を通過する時の高温と、切削抵抗に起因する溶着摩耗が挙げられるが、後者が問題となる場合が多い。これは工具材質と被削材の物理的、化学的親和性と、工具すぐい面における切削流速度が摩耗に対して重要な因子となっている。

本実験は連続切削を行った場合と、中断によるくりかえし切削の切削工具におよぼす影響を観察比較し、その摩耗成長ならびに切削面あらさにおいて両者に差異のあることが認められたので、ここに結果を報告する。

II 試料及び実験方法

1. 使用機器並びに試料

- 本実験は池見鉄工所製DA-25高速精密旋盤を使用し、削り面あらさ、クレーター深さの測定は小坂研究所製触針式表面あらさ計(TYPE/SE)を、クレーター、フランク摩耗の観察、測定、ならびに写真撮影には、日本光学製シードウグラフ(MODEL 7)を使用した。

(2) 切削工具はP.20, 33型、タンガロイ超硬バイト(0.5, 6, 6, 6, 0, チャンファーナ, 0.5)とした。

(3) 被削材は市販機械構造用炭素鋼(S50C, S45C相当材)でL=600, D=60とした。

(4) 切削条件は切削速度170m/min, 160m/min, 切込み1.5mm, 送り0.155mm/rev, 0.2mm/revとした。

2. 実験方法

実験1

S50Cについて切削条件を切削速度170m/min, 切込み1.5mm, 送り0.155mm/revで切削を行い、その結果を求めた。

実験2

S45Cについて切削条件を切削速度160m/min, 切込み1.5mm, 送り0.2mm/revとし、切削方法を120秒を1単位とし120秒連続切削のものと、30秒間隔4回くりかえし切削のものとに区分して両者のクレーター、フランク摩耗の成長状況、ならびに削り面あらさについて観察比較した。

III 実験結果及び考察

実験1における結果は図1にフランク摩耗と切削面あらさの関係を、また図2に切削時間に対するフランク摩耗と切削面あらさの関係を示す。

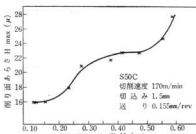


図1 フランク摩耗と削り面あらさの関係

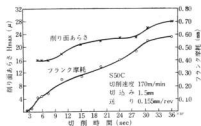


図2 切削時間と削り面あらさ及びフランク摩耗との関係

図3にその場合のクレーターの成長過程をシャドウグラフによるスケッチで示す。表1はその切削所要時間である。

表1 切削所要時間

国中番号	①	②	③	④	⑤	⑥
切削所要時間(秒)	160	320	440	560	720	1040
国中番号	⑦	⑧	⑨	⑩	⑪	⑫
切削所要時間(秒)	1490	1950	2400	2770	3080	3600

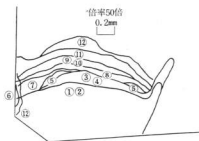


図3 クレーターの成長状況(S50C 工具 P20 33型)

図3において、⑥で前切刃の脱落を認め、クレーターの成長と共に切くず形状が流れ型よりせん断型に移行変化が起った。それと併行して工具のフランク摩耗と削り面あらさの急激な進行が現れた。この時期は大体一致するものと考えられ、切削工具摩耗の削り面あらさにおよぼす影響が顕著であることは機械試験所報告¹¹とおおむね一致した結果を示し、また送り量の変動による工具各部の摩耗の変化も同様である。

この時期における切削抵抗の急激な上昇が予想され、

かつ高温溶着による工具刃先の損耗が促進されるものと考えられる。なお高速切削域における工具摩耗は高温溶着が支配的である。²²その後の工具各部の摩耗は大体直線的な関係を示した。したがってこの時期をおくらせることが工具寿命を延長させ、またこの時期における少量で事足りる再研削が工具管理の経済性にも適するものと考えられる。すなわちこれ以上さらに切削継続することによりチッピングおよび欠けなどの現象を誘発し、その損耗を早める結果にいたる。

実験2における結果を図4～図7に示す。図4は切削時間に対する削り面あらさの関係を示したもので切削初期において削り面あらさの進行がみられないが、これは工具刃先(チャンファラフ)のなじみの現れによるものと推察される。その後は時間経過に比例して削り面あらさは進行する。また図5に示す切削時間に対するクレータ深さ、およびフランク摩耗の関係からも同様な結果が認められる。これらは実験1の結果と大体一致する。

つぎに連続切削とくりかえし切削との結果において切削当初の120秒においてすでに両者の差がクレーター深さ、フランク摩耗、および削り面あらさに現われこの状態で継続することが判明した。すなわち長時間高温下にある連続切削はくりかえし切削に対し不利であることが

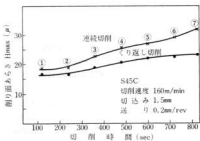


図4 切削時間と削り面あらさの関係

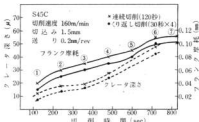


図5 切削時間とクレータ深さ及びフランク摩耗との関係



図6 連続切削 (120秒×1) のクレーター成長状況 (S45C, 工具P20 33型)

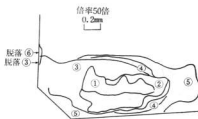


図7 くりかえし切削 (30秒×4) のクレーター成長状況 (S45C, 工具P20 33型)

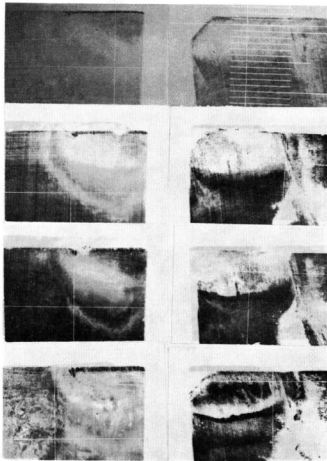


写真1 連続切削における工具摩耗の成長過程 ($\times 20$)

判明した。いいかえれば切削中断による工具刃先の冷却期間を置くことはグレーター成長。フランク摩耗をある程度抑制することがわかる。ただし、これらは工具刃先付着物の存在が無視される状態における場合のことであり、構成刃先の発生などの他の因子がより大きく工具損耗に影響することはいうまでもない。

図6、図7に連続切削およびくりかえし切削の場合のグレーターの成長状況を示す。

写真1および写真2は切削過程における工具刃先の摩耗の進行を、表2はそのときにおける総切削時間と、切削形式を示す。(写真中の目盛は0.01mm)

表2 総切削時間と切削形式

写真番号	総切削時間(秒)	切削形式	写真番号	総切削時間(秒)	切削形式
1-1	120	連続切削	2-1	120	くりかえし切削
1-2	360		2-2	360	
1-3	480		2-3	480	
1-4	720		2-4	720	

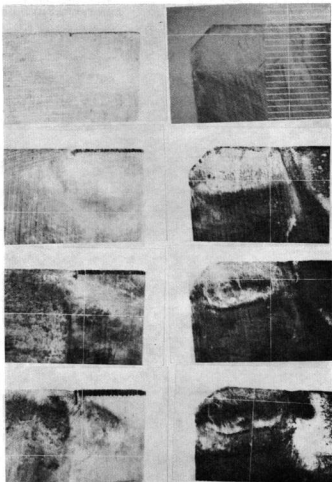


写真2 くりかえし切削における工具摩耗の成長過程 ($\times 20$)

IV 結 言

1. 工具の摩耗、削り面あらさおよび切りくず形状はある一定切削時間において急激に変化する。この時期に再研削をすれば小量の研削量でよいし、削り面精度の保持ならびに工具全体の寿命に対して有利であると考えられる。

2. 高速域における中、粗削りは、連続切削法に比較して短時間で切削を中断し、工具に休止時間を与えるくりかえし切削法の方が工具の摩耗成長をある程度抑制できる。

3. 削り面あらさの進行についても同様の結果が認められた。

高温溶着、クレーターの成長については被削材と工具材料の親和性、拡散などによるものであり、金属学的、化学的な見地からも検討されねばならない分野である。また本実験において残された問題点の解明のためにも併せて今後の研究に待たねばならない。

文 献

- (1) 機械試験所報告：旋削仕上面あらさに関する資料
45 (1964) 14
- (2) 田中、津和：精密工作法（上）共立出版 (1965)

正面フライス切削に関する研究(第4報)

18-8ステンレス鋼のフライス切削について

片岡 豊

緒言

18-8ステンレス鋼は材料生来のもつ性質として、切削において比較的不安定なオーステナイトがマルテンサイトに変化し、加工硬化を起す。

物理的性質としては、熱伝導率が炭素鋼に比較して小さく刃先の切削熱が逃げにくいで溶着現象も著しいものがある。

また、塑性が高く、伸びも大きいがこの材料は機械部品、装置部品として中小企業においてかなりの量が切削加工されているが、そのほとんどが高速度鋼グレードによるものであった。

周知のように、高速度鋼は今日の切削分野でも、なお重要であり JIS も大幅に改正された。

加工能率向上の点では超硬合金工具には及ばない。

18-8ステンレス鋼の超硬正面フライス削りはかなり困難であって工具寿命を延ばすべくいろいろと研究されているのが現状である。

かかる考え方から、加工能率向上のために超硬工具によって切削加工し、切削条件を追跡するために切削試験を行なった。

実験装置と実験方法

1. 工作機械

(1) フライス盤 豊田工機株式会社 ZIC 2.2KW

(2) 工具研削盤 昭和精密工業株式会社

GTJ-4型 超硬工具研削盤

GC 研石 GC120HV

ダイヤモンド研石 D1501.5M

2. 切削工具

- 工具材種 タイガロイ TX40, TU40
(ISO規格 P40, M40相当材種)
- 工具寸法 16 mm × 16 mm × 60 mm 右勝手
- カッターフォルム 4枚カッター (刃先の径 100 mmφ)
- 刃部形状

表1 刃部形状について

刃部名称	工具	No. 1	No. 2
半径方向すくい角		3°	5°
軸方向すくい角		0°	3°
正面切刃角		15°	15°
外周切刃角		15°	15°
正面逃げ角		7°	7°
外周逃げ角		7°	7°
面とり(チャンファー)(C)		0.25mm～0.79mm(0.97)	
面とり角度		切刃角に対して対称	

3. 被削材

表2 被削材の化学成分(%)と機械的性質

材質	成分	C	Si	Mn	P	S	Ni	Cr
SUS27		0.060	0.71	1.73	0.032	0.0129	27	18.62
S53C		0.530	0.270	0.71	0.011	0.014	—	—
材質	機械的性質	引張り強さ (kg/mm ²)	伸び (%)	び	硬さ (H _B)			
SUS27		59.5	64.2		140			

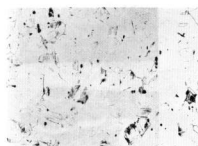


写真1 SUS 27 の顯微鏡組織 (×100)

4. 被削材の寸法

主として厚さ 10 mm の鋼板を重ね合わせて 50~53

mm の幅にしたものをマシンバイスに取付けて正面フライス削りを行う。

5. 切削条件

- (1) 切削速度 (V) 37 m/min~150 m/min
- (2) 1 収当りの送り (f_z) 0.10 mm/tooth~0.20 mm/tooth
- (3) 切込み (d) 1.30 mm
- (4) 切削時の刃数 (2) フッターのバランスを取り、1 本の工具について切削する。
- (5) エンゲージメント $\theta = 50^\circ, 24^\circ 00'$, $(27^\circ 30')$
- (6) とも削り法によるもの、とも削り法によらないもの。(ただし、とも削り法による場合は厚さ 3 mm の黄銅板を使用する。)

6. 実験要領

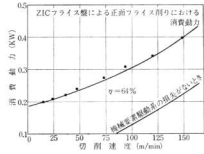
試験は前述の被削材を所要の刃先に調整石削した工具により各種の切削条件の下で切削し、切削中主としてフランク面の摩耗をたびたび観察し、工具摩耗量を測定する。

- (1) 工具摩耗の観察には 40 倍の顕微鏡によって摩耗痕を測定する。
- (2) 切削動力は YEW 動力計 (KRE-30) によって測定する。
- (3) 切削の厚さはポイントマイクロによって測定する。

■ 実験結果と考察

1. 切削動力

KW メーターによって ZIC フライス盤の正面フライス削りにおける消費動力を図 1 に示す。



切削速度の上昇による消費動力の増加は理論的にもはっきりしているが、機械要素系の駆動などによる損失は

かなり大きいようである。

つぎに、一定の切削条件において切削動力を測定し、切削工具が摩耗するときの切削動力の変化するようすを図 2 に示す。

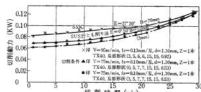


図 2 切削時間による切削動力

切削時間が 30 分程度までは切削工具の摩耗による切削動力の変化は急激ではなく、ほぼなめらかな上昇をしている。

この場合の切削はとも削り法によるが、切削動力は炭素鋼 (S53C) とくらべて大差なく安定している。

しかし、切削系全体の剛性が十分でないときは切削仕上面にビリ現象が発生しているのが実験中に認められた。

2. 切削工具の摩耗について

切削時間の経過とともに工具の摩耗が進行するようすを図 3 に示す。

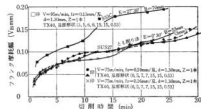


図 3 切削時間と工具摩耗

この場合はとも削り法によるものであり、切削状態も安定した条件を選んでるので工具寿命もかなり延びているものと推定される。

(ただし、S53C はとも削り法によるものではない。)

この安定領域に入る条件を考えると既報¹⁾のような条件、切削のダルネスとトロコイド曲線に双面が修正されるプロセスが重要な要因であろうが、この種のステンレス鋼のように刃先溶着物が激しく、刃性の大きいものは刃先がステンレス鋼に突入する前に黄銅板によって刃先溶着物を機械的に除去することが切刃の保護になっており工具寿命を大きく延長する要因といえる。

また、黄銅板はかなり brittle な材料を使用したの

に、切削後の仕上げ面に5~10 mmの距離で流動しているのが認められた。

つぎに図4はとも削り法によらない場合の工具摩耗の

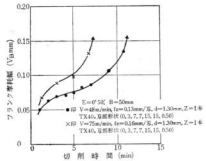


図4 切削時間と工具摩耗

進行するようであるが、ある時間経過すると刃先温度の上昇と激しい溶着により切刃にチッピングを発生した異常摩耗を起こし、実作業において難削材料といわれる原因である。

表3 18-8ステンレス鋼と0.53C炭素鋼の物理的性質

物理的性質	鋼種 18-8 ステンレス鋼	0.53C 炭素鋼
密度 (ρ)	cm ³ /g	0.126
熱伝導率 (k)	Cal/cm ² ·sec·°C	0.038
比熱 (c)	Cal/g·°C	0.120
$k \cdot \rho \cdot c$	57.5×10^{-3}	19.8×10^{-3}

図5は種々の切削条件による、とも削り法の結果を示すものである。

f_s/c の値にはほとんど差がないのに工具摩耗曲線は異なる。

このことは、チャンバーと1回当たりの送りにより工具寿命を延長できる切削条件があるように推定されるので追跡する必要がある。

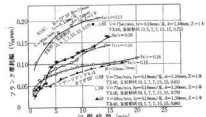


図5 切削時間と工具摩耗

図6はエンゲージメントを変化した場合の切削工具の摩耗の進行であるが、とも削り法によって切削したためか工具摩耗の差異は殆んど認められなかった。

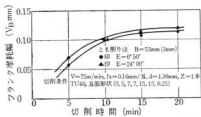


図6 エンゲージメントの相違による工具摩耗

これは正面フライス削りにおける普通切削でエンゲージメントが重大である点に反するが、このことは被削材への突入際に黄銅板によって工具刃先への衝撃力が大きく緩和され、本来の切削状態になってからステンレス鋼に入れて行くためであると推測される。

3. 工具寿命について

Taylor の工具寿命方程式は高速度鋼工具による切削のときに $VT^{\alpha} = C$ になるが、超硬合金工具のそれは $(V+k) \times T^{\beta} = C$ となり、両対数グラフで曲線になるとすることがいわれているが^[2]、図7はとも削り法とともに削り法によらない場合の VT 線図を示す。

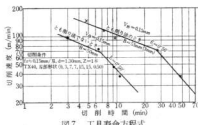


図7 工具寿命方程式

両線図からすればその差ははっきりと示されており、とも削り法の場合は4~5倍も工具寿命が延びている。

低速域になるとチッピングを発生し、工具寿命は短くなっている。

4. 剪断角について

以上のように、とも削り法によって工具寿命が著しく延長されるることは切削機構になんらかの変化があるためではなかろうかと推定して、切削の厚さを測定したものが図8である。

図8においていえることはとも削り法、とも削り法によらない場合に差異が認められないことであり、切削機構の変化のために工具寿命が延びたのではなくて、とも

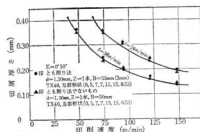


図 8 切削厚さの変化

削り法による衝撃力の緩和および刃先溶着物のぬぐい取り作用以外には思考されそうにない。

IV 結 言

18-8ステンレス鋼の超硬合金工具による切削はかなり困難であるが、刃部形状を一定にしての切削のときは、次のことがいえる。

1. とも削り法による切削は工具寿命を延ばすには有効であり、VT線図からもはっきりと差異は認められた。実作業において黄銅板と被削材料を取付けることは問題点を残す。

2. とも削り法による切削は工具摩耗度もかなり安定し、炭素鋼のそれと大差はなかった。

また、切削動力も同様であった。

3. とも削り法のとき、とも削り法でないとき、いずれの切断角にも変化はない。

黄銅板によって刃先溶着物のぬぐい取り作用、衝撃力が大きく緩和される作用であることが明らかである。

以上の結果より、とも削り法でないときは異常摩耗度によって早期寿命を起こすので、今後は刃部形状などの工夫により工具寿命を延長すべく切削研究を行う。

文 献

- 1) 片岡、山田; 本報告12(1969), 140
- 2) M. Kronenberg; Replacing the Taylor Formula by a new tool lifeEquation, 2 (1970), 193.

円筒研削作業に関する研究（第3報）

軸受鋼の研削標準設定

南 良 良 治, 石 原 道 雄*, 野 口 豊 生**

I 緒 言

研削標準の設定について施入れされた軸受鋼を砥石の種類を変えて研削実験を行ない、円筒プランジ研削において研削条件を一定とした場合の各砥石の研削精度、砥石寿命、砥石エッジ、および砥石半径の測定をし、研削砥石の選定することにした。

一方、生産加工技術に関する研究の進展をはかるために各國の研究者が寄り集まって協同研究を推進する機関である CIRP の G グループにおいても上記の砥石エッジおよび砥石半径減耗量の問題が取り上げられている。

そこで最適な砥石の選定をすると同時に砥石の種類により砥石エッジ、および砥石半径減耗量がどのような傾向を示すかをつかむために研究実験を行ない、その結果を述べる。

II 試料と実験方法

直しきされた研削砥石により規定切込を与えたプランジ研削を行ない、その時の研削量、研削動力、面あらさ、砥石エッジ減耗量および砥石半径減耗量の測定を行ない各砥石の性能の比較を行なう。

1. 研削実験方法

実験方法は図1に示し、図2に示す形状の工作物を研

表1 研削条件

砥石種類	WA 60H・J・L △ 100H・J・L, 150L	直 径 D	400 mm
工作物材質	S U T 2	研削幅 b	14 mm
直 径 (dw) 100~83.7 mm			
機械 万能研削盤 [振り 250 mm, センタ間距離 630 mm, 心押軸 10 kg/p]			
研削方式 円筒プランジ研削			
ドレッサ送り速度 fd (sd)	150 mm/rev	ドレッサ切込み td (ad)	0.02 mm
ドレッサ種類 砥石回転数 N (n _s)	多石ダイヤモンドドレッサ 1,580 rpm	ドレッサ番号 砥石周速 U (V _s)	2,000 m/min
工作物回転数 n (n _w)	106~126 rpm	工作物周速 u (V _w)	33.3 m/min
切込速度 v (V _p)	0.39~0.35 mm/min	△ (S _p)	3.08~3.3 p/rev

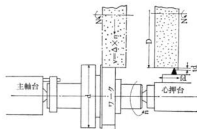


図1 研削実験方法

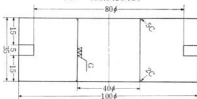


図2 被削材の形状と寸法

削幅 14 mm、とりしろ 1.4 mm (直徑で) 研削し、上記の各測定をする。

2. 研削条件

研削条件は表1に示すような研削条件で、表2の化学

*山梨県機械金属工業指導所技師

**工業技術院機械試験所技官

半径とりしろ $\Delta r (l_p)$	0.7 mm	スパークアウト回数 n_s	0
単位時間研削量 $V_w (Z')$	1.71~1.83 mm ³ /mm ² ·S	速度比 $V_s/V_w (q)$	60
研削液種 希釈率	ソリュブルオイル 30X	流量 q 使用回数	30 L/min

組成の工作物の研削実験を行なった。工作物の硬さは、HRC 62 である。

表2 化学組成(%)

C	Si	Mn	P	S	Cr
0.95~1.10	0.15~0.35	0.5以下	0.025	0.025 以下	1.30~1.60

3. 目直し条件

砥石半径減耗量およびエッジ減耗量測定のため、とくに入念に図3に示す多石ダイヤモンドドレッサーを使用し送り速度 150 mm/min, 切込み 0.02 mm で目直しを行なった。

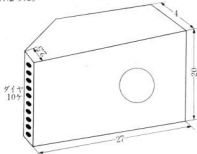


図3 ドレッサーの形状

4. 測定方法

(1) 研削量

研削前後の工作物の直径を測定し、これを累積して単位研削幅当たりの研削量を算出した。

(2) 研削抵抗

記録電力計を使用し、研削時の負荷電力と無負荷電力の差、すなわち正味入力を切線研削抵抗に換算した。

$$\text{切線研削抵抗 } F_t (\text{kg/mm}) = \frac{102 \times \text{研削動力}}{\text{砥石周速} (\text{m/min}) / 160} + \text{研削幅}$$

(3) 研削面あらさ

触針式表面あらさ測定機により工作物面上を 4ヶ所、研削方向に直角に平均あらさ HCLA (μ) の値で読みとり、その平均値をとった。

(4) 砥石半径およびエッジ減耗量

15 mm 幅の工作物を 14 mm 幅だけ、直径にて 1.4

mm の切込みを与えて砥石半径およびエッジの減耗を生ずる様に研削する。砥石半径減耗量については図4に示すように直接ダイヤルゲージを砥石中心軸に向い、砥石面に直角にて砥石周 6ヶ所を測定し、その平均値を測定量 $\Delta R (r)$ とする。またエッジ減耗量については、砥石をドレッシングした後、研削量 0 mm²/mm の時点から一定の研削量ごとに図5に示すように、厚さ 1 mm の歫鋼板を治具に取りつけてエッジに 45° の角度となるように押しつけ転写し、その形状を投影機を使用 150倍に拡大してその像を撮影して減耗している面積を測定量 $A_{\text{edge}} (\text{mm}^2)$ とする。

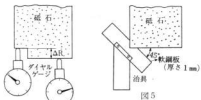


図5
砥石減量およびエッジ減耗測定法

(5) 使用機器

万能研削盤：ナクサスユニオン社（西独）RU-250

電力計：横河電機 KR-32型

触針式表面あらさ計：ティラー・ホブソン社製 Talysurf 3型

万能投影機：日本光学工業製 Model 6

ダイヤルゲージ：シチズン時計製 (1μ 表示)

5. 砥石寿命について

研削砥石は切削工具として自生発効作用をする。これは大きな特徴であり、自生発効作用が適度に行なわれれば切削の変化はなくその状態は図6に示されるようになる。このような研削模型を正常型研削と呼んでいる¹³。

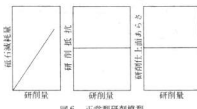


図6 正常型研削模型

図6に示すように研削量に対して砥石減耗増大割合、研削抵抗、研削面あらさは長期に一定割合を維持するであろう。しかし現実にはそのような状態はむつかしく、研削盤の性能や砥石の組成の不均一さ研削作業条件などにより正常型研削の形は崩れ、研削精度に影響するであろう。

研削精度としては、まず製品の品位に関するビリマークや焼けによる変色、寸法形状に関するものがある。

焼けが発生する場合は研削抵抗の急増がみられ、ビリマークの発生するときは逆に減少する傾向がある。

この点を砥石寿命点とした。

研削抵抗は寿命の一つの判定に用いた。つぎに「目直し時のドレッサの切込量と砥石寿命のときの砥石半径減耗量とは比較的よく一致している」¹¹牧野説から、ドレッサ切込量を20μmにしたので砥石半径減耗量を20μmになった点をもって寿命とした。この砥石寿命については実験結果と考察の後半でのべる。

■ 実験結果と考察

1. 研削精度からみた砥石寿命について

(1) 研削抵抗について

研削砥石は一般的の切削工具と異なり、製造方法、組成により、同じ結合度でも粒度の大小により実際の作用硬さがちがうことに留意する必要がある。

研削抵抗は砥石の刃刃構成(自生発効作用)におよぼす影響は大きく、使用する研削砥石により、研削抵抗は図7のような傾向を示す。この同図より砥石の結合度が高くなるにしたがって、切線研削抵抗は増大する。

粒度の影響については、砥粒粒径の大きさほど研削抵抗は高くなる傾向がある。粒度#60は目こぼれ型砥石寿命を示し、#150においては焼けによる目づぶれ型寿命を示している。研削抵抗は寿命点を境に急激に増大する傾

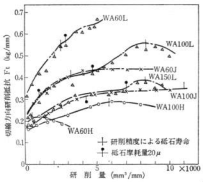


図7 研削砥石の種類と研削抵抗の関係

向を示す砥石は、結合度の高い砥石が比較的多い。

結合度Hのような歯かい結合度の砥石では寿命点より下降線をたどっている。結合度Jについてはあまり変化がない。以上のことから砥石粒度、結合度ともに研削抵抗に大きな影響があり、研削条件により、砥石の寿命型に相違があり、研削作用硬さもちがってくる。

(2) 研削面あらさ

研削面あらさを図8に示し、あらさは砥石粒度、結合度により左右される。

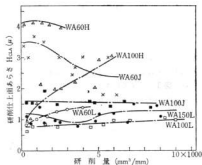


図8 各砥石による研削仕上面あらさ

実験結果よりつぎの4通りの傾向がみられた。

(a) 研削量の増大とともに研削仕上面あらさが低下する。結合度の歯かい砥石にその傾向がみられる。

(b) 研削量の増大には関係なく、仕上面あらさはほぼ一定値を保つ。

結合度の高い砥石にその傾向がみられた。

(c) 研削量の増大とともに仕上面あらさも増大する。粒度の組かい結合度の歯かい砥石にその傾向がある。

(d) 研削量の増大とともに仕上面あらさは低下したり増大したりする。

図8の#150Lにこの傾向がでている。

上記a, b, cの型は一般研削加工中よく現われる。砥石の結合度から考えると100L, 60Lとが一番安定し、研削初期あらさと砥石寿命点のあらさの比が1に近く、理想あらさ曲線に近い。150Lについては、砥石作用硬さが高すぎるとこのようなあらさ曲線になったものと思われる。

結合度Jについては研削量増大とともに研削面あらさは良好になっている。

結合度Hは、研削面あらさは大きな値を示し不安定である。これは作用硬さが軟らか過ぎるためと思われる。

粒度の影響については#60が仕上面あらさが一番悪

く、#100, #150 はあまり大差がないが、#100 が一番安定した理屈あらさ曲線に近い。

(3) 研石半径減耗量

(a) 粒度と研石半径減耗量

図9のグラフにこの関係を示す。

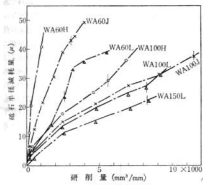


図9 各研石半径減耗量

粒度100と150の研石は同一線上に近い増加の傾向であるが粒度60の研石では半径減耗量の増加は大きくなっている。このことから粒度が細くなれば半径減耗量が比例的に減少するとはいきれない。また研石寿命点を越えると研石半径減耗量は急増加する傾向がある。このことは研石の切れ味が悪くなり研粒の脱落が生じたと考えられる。

(b) 結合度と研石半径減耗量

図9にこの関係を示すように、結合度の強い研石ほど研石半径減耗量は小さい。ところが粒度が細くなるにしたがってその傾向は結合度の影響を受けなくなりH・J・Lの結合度ともに同一線上に近くなる。

この理由としてつぎに述べることが考えられる。

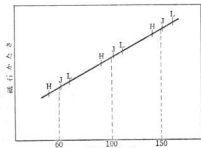


図10 研石の性状

図10は研石かたさ、粒度、結合度の関係を示したグラフである。

このグラフから云えることは同一結合度の研石でも粒度が違うと研石の硬さが違う。それゆえ、もし100と150Hの間の研石の硬さで耐え得る研削抵抗で加工するのなら、粒度150の研石の結合度にはあまり関係しなくなる。一方グラフから考えて研石半径減耗量增加の傾向には、大きく分けるとつぎの3種類の型があるようと思われる。

第1にある一定の研削量までは直線的に増加し、その後は一定の値を取るようになってくる型、これはほとんど研削焼けが発生している。第2には研粒の脱落がひげしく、研石半径減耗量が研石切刃面上でばらついている型、これはビビリが発生し、もしくは著しく面あらさが悪くなっている。第3には上記の中間的な型があり適当に自生作用がくり返され、研石寿命点が長くなっている²³⁾。

(4) 研石エッジ減耗量

(a) 粒度と研石エッジ減耗量

図11にこの関係を示す。粒度100と粒度150の研石は初期値がちがうだけ後に平行し増加の傾向は同一に近い。粒度60の研石では結合度Hの研石をのぞいてやはり初期における減耗量は大であるが、一定量減耗するとその後は増加の傾向がなくなり減耗量の値が一定となる。

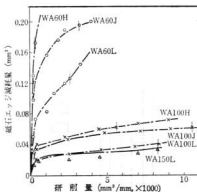


図11 各研石の研石エッジ減耗量

(b) 結合度と研石エッジ減耗量

図11のグラフにこの関係を示す。結合度が強くなると研石減耗量の増加割合は小さい。粒度90では結合度による減耗量の差がかなりある。結合度がJになると粒度100と150は同一線上に近くなる。

この理由としても前述した研石かたさ、粒度、結合度

の関係がいえると思われる。

(e) 砕石半径減耗量と砥石エッジ減耗量

図12のグラフの結果から、粒度60の砥石は結合度の影響がはっきり表われている。60H, 60J, 60Lの順にエッジ減耗量は小さくなっている。ところが粒度100, 150の砥石では、結合度が硬くなるにしたがって、あまりはっきりした差は表われず同一線上に近い傾向であり、砥石半径減耗量のある値までは急激に増加し、それ以上の半径減耗量の値ではある一定値を砥石エッジ減耗量はとっている。

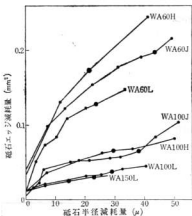


図12 砕石半径減耗量とエッジ減耗量の関係

(f) 研削比について

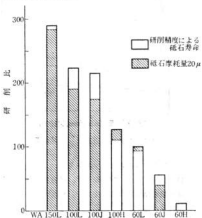


図13 砕石の種類と研削比

図13に砥石の種類と研削比について示し、斜線部分は20μ型砥石寿命（後述）と研削精度からみた砥石寿命のグラフであり、これによると、いずれの場合も粒度の細かい、結合度の硬いものほど研削比は高くなっている。

(g) 目直し間研削量

各砥石の目直し間研削量の比較を示したのが図14である。20μ型砥石寿命については研削比と同じ傾向となっているが、研削精度からみた場合は100Jの砥石が目直し間最大研削量を示す。結合度の軟らかい砥石は早期に目ぼれを起し砥石寿命の低下により目直し間研削量は減少する。とくに粒度番号の小さい砥石はこの傾向がある。結合度が進むと作用硬さが大き目つぶれ型の砥石寿命となり、目直し間研削量の低下しているものと思われる。結合度Jについては本実験による研削条件では、自生効率作用が適度に行なわれているものと考えられる。

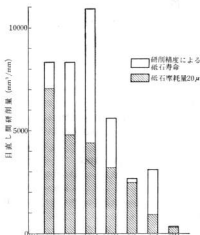


図14 各砥石の目直し間研削量の比較

以上の結果は研削精度（仕上面あらさ、焼け、びびり、だれ）を主体とした砥石寿命判定を行ない、砥石寿命にいたるまでの考察を行なった。

2. ドレッシング効果による砥石寿命について

砥石の目直しによる効果としては砥石切刃の形成、研削仕上面あらさを良好にすることだけでなく、砥石の表層部の砥粒部破砕や結合強さを変える¹¹。影響を受けない砥石内部と比較して、研削抵抗は図7に示すように、研削の初期には比較的ためらかな上昇カーブを描いている。しかし「ドレッシング」切込量を砥石寿命限の砥石半

表3 研削精度による砥石寿命における測定値

測定 砥石の 種類(WA)	研削量 (mm ³ /mm)	仕上面あらさ (HcLA μ)	砥石半径減量 ΔR (μ)	砥石エッジ減量 Ask (mm ²)	切削量 Ft (kg/mm)	研削比
60H	352	3.84	21.0	0.172	0.20	13
60J	3115	2.35	43.5	0.196	0.41	57
60L	2680	1.08	23.5	0.128	0.56	91
100H	5611	3.07	29.5	0.065	0.30	111
100J	10872	0.96	38.0	0.065	0.37	215
100L	8323	0.93	28.5	0.037	0.51	223
150L	8330	1.36	22.9	0.038	0.38	288

表4 20μ型砥石寿命における測定値

測定 砥石の 種類(WA)	研削量 (mm ³ /mm)	仕上面あらさ (HcLA μ)	砥石半径減量 ΔR (μ)	砥石エッジ減量 Ask (mm ²)	切削量 Ft (kg/mm)	研削比
60H	352	3.84	22	0.172	0.201	13
60J	924	3.91	20	0.149	0.331	37
60L	2492	1.19	20.2	0.122	0.552	100
100H	3214	1.73	20	0.055	0.267	127
100J	4411	1.66	20.2	0.052	0.331	174
100L	4789	0.80	20.1	0.032	0.420	191
150L	7052	1.47	20	0.029	0.324	281

径減量とは比較的よく一致する¹³という牧野説より考えてその点を砥石寿命とした場合、研削抵抗の変化がはっきりと認められる。結合度の軟らかい砥石についてはあまり変化はない。結合度の硬い砥石については、ドレッシング効果がはっきりしてて寿命より急上昇している。

研削面あらさについては寿命点を境に下降、上昇、平行する型があり、寿命点以後の仕上面あらさは、軟らかい砥石はバラツキが多く、自生むらが目立つ。

粒度100の砥石においては研削初期仕上面あらさと砥石寿命あらさはほぼ一定で安定している。

砥石半径減量について粒度60の砥石についてはドレッサ切込量までの半径減量は結合度に比例している。図に示すように砥石半径減量とエッジ減量の関係については砥石半径減量を一定とした場合は粒度の大小、結合度の硬軟による差がはっきりと示されている。粒度60の砥石では本実験による研削条件での研削では、形状劣化をきらう研削作業には問題があると思われる。

つぎにさきに述べた2つの砥石寿命における各測定値を表3、表4に示す。表3は研削精度による砥石寿命における各測定値を、表4に砥石半径減量を20μにしたときの砥石寿命における各測定値を示した。

IV 結 言

軸受鋼の円筒ラブンジ研削を7種類の砥石を使用して

研削実験を行ない、つぎのような結果を得た。

1. 砥石の選定については研削量、砥石減量、研削仕上面あらさを主体に判定し、表5、6の結果を得た。この表は良い結果順に1、2、3と判定順位をつけた。

表5 砥石寿命における判定

測定 砥石 (WA)	研削量	仕上面 あらさ	半径 減量	砥石エッジ減量	研削比	総合 判定
60H	7	7	7	7	7	7
60J	5	6	6	6	6	6
60L	6	3	5	5	5	5
100H	4	5	4	4	4	4
100J	1	2	1	3	3	1
100L	3	1	3	2	2	3
150L	2	4	2	1	1	2

注：研削精度からみた砥石寿命

表6 砥石寿命における判定

測定 砥石 (WA)	研削量	仕上面 あらさ	半径 減量	砥石エッジ減量	研削比	総合 判定
60H	7	7	7	7	7	7
60J	6	6	6	6	6	6
60L	5	2	5	5	5	5
100H	4	5	4	4	4	4
100J	3	4	3	3	3	3
100L	2	1	2	1	2	2
150L	1	3	1	2	1	1

注：20μ型砥石寿命

表より、研削精度を主体にした場合、WA100Jが一番成績が良好である。

2. WA100Jについて 100L, 150Lと成績が統一、大差はない。

3. 研石エッジ減耗については粒度の影響が大きく左右する。

4. 結合度は硬い順にはほぼ良い結果が得られた

5. 研石エッジ減耗の進行形状は各研石とも似かよっている。

6. WA60の研石については、研削量、研削仕上面あらさ、研石減量において問題がある。

この研削実験は工業技術院機械技術研究所で行なった

ものであり、終始熱心に御指導いただいた当所生産加工部ロボット工学課の尾崎課長、野口豊生、高橋保雄、和井田徹、井上英夫技官はじめ、ロボット工学課の各氏に対し厚く感謝の意を表します。本実験に当り常に実験とともに行なった山梨県機械金属工業指導所の石原道雄技師に対し、深く感謝いたします。

文 載

- 1) 牧野: 機械試験所報51(1964), 6, 11.
- 2) 野口、高橋、長岡: 昭和44年度精機学会春季大会学術講演前刷(円筒プランジ研削における研石エッジ減耗) (1969)

一般
取付軸
取外し
度によ
精度の
となる
歯車
より取
下を考
る。
偏角
り、偏
影響を
えた偏
外して
したも

実験
2型で
×68×

万能曲

試験機

研削

被削

回転数

被削

モジ

ール

研削歯車に関する研究（第2報）

被削歯車の穴精度が研削歯車の精度におよぼす影響

岡崎 恵、兼広二郎、山崎隆志

I 緒 言

一般に精度のよい歯切盤、研削盤で加工された歯車は取付軸に対してはほとんど偏心がないが、取付軸から取外して使用される機械に組込まれた際、その取付け精度によっては偏心があらわれる。この偏心は歯車の総合精度の低下をもたらし、著しい場合には歯車騒音の原因となる。

歯車研削盤でJIS 1~2級相当に研削した歯車も取付軸より取外して工作機械に取付けると、偏心により精度低下を起し予期した精度が得られない場合がしばしばある。

歯形精度は歯車の形状を構成する最も重要な要素であり、歯形が正常であるか否かは歯車の運動性能に大きな影響を及ぼすので、本実験はブランクの精度を種々に変えた歯車を研削し、その時の歯形精度と取付軸より取外して偏心を故意につくり、その歯形精度とを比較検討したものである。

II 実験方法

実験に使用した歯車研削盤は岡本工作機械製 SHG-2型で、ウォーム状砥石は WA-150-J-m-V-350 × 68 × 160 を使用した。検査機器は浜井産業の5 LD型万能歯車試験機と、カール・ツァイス・イエナ社の歯車試験機を使用した。

研削条件は切込み 0.05 mm (歯面に対してはその3%)、被削歯車 1 回転当りの歯スジ方向の送り 0.5 mm、砥石の回転数は 1,500 rpm で研削した。

被削歯車の諸元は表 1 のとおりである。

表 1 被削歯車の諸元

モジュール	圧力角	歯数	ネジ角	歯巾	材質	熱処理
2	20°	45	0°	10mm	S45C	焼ならし

被削歯車の穴径の加工は表 2 のとおりにした。

表 2 被削歯車の穴径 (単位 mm)

55.012 ~55.008	55.019 ~55.015	55.027 ~55.023	55.045 ~55.041	55.072 ~55.068	55.112 ~55.108
H 5	H 6	H 7	H 8	H 9	H 10

下段は JIS B 0401 による寸法公差の等級である。アーバー精度は 55.000~0.004 mm (JIS 3 級) であった。

実験方法は、まず供試歯車をアーバーに取付け外周のフレを 10 μ 以下におさえて研削した。つぎにそのままの状態で歯形、歯スジ、歯ミゾのフレを測定し、つぎにアーバーより歯車を取り外し最大の偏心ができるようにアーバーに取付けて、再び歯形、歯スジ、歯ミゾのフレを測定した。

表 3 に供試歯車の JIS (B1702) での歯車精度の等級を示す。

表 3 JIS 規格の歯車精度 (単位 μ)

等級	歯形誤差	歯ミゾのフレ	歯スジ方向誤差
0	4	12	7
1	5	16	8
2	7	23	9
3	10	33	11
4	15	46	14
5	21	66	17
6	29	92	22

III 実験結果と考察

表 4 は歯車研削後取付け軸のまま測定した結果である。

表 4 歯車研削後取付け軸のままの歯車精度 (単位 μ)

	φ55.010	φ55.017	φ55.025	φ55.043	φ55.070	φ55.110
歯形誤差	6	7	7	6	7	7
歯スジ方向誤差	3	5	4	3	4	4
歯ミゾのフレ	8	11	9	7	10	14

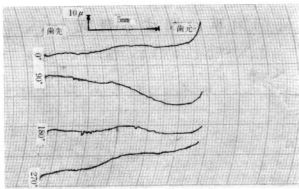


図 1 歯形曲線

表5は故意に偏心をついた後測定した結果である。

表5 故意に偏心をついた後の歯車精度 (単位 mm)

	ϕ	ϕ	ϕ	ϕ	ϕ	ϕ
	55.010	55.017	55.025	55.043	55.070	55.110
歯形誤差	7	10	11	12	18	23
歯スジ方向誤差	14	6	4	4	4	5
歯ミゾのフレ	15	29	32	53	82	115

図1は55.110 ϕ の偏心による歯形誤差の変化を示したもの。

歯車の偏心で生ずる歯形誤差の理論式は次式で表わされる。

$$f_p = \frac{e}{m \cdot z \cdot \cos \alpha_0} \cdot f_r$$

f_p : 偏心 f_r : 歯形誤差 z : 歯数
 α_0 : 圧力角 m : モジュール

ここに e はカミアイ長さであり、標準歯車のカミアイ長さ e は相手歯車に等しい歯末のラックとすれば

$$e = \frac{m}{2} \left(\sqrt{(z+2)^2 - z^2 \cdot \cos^2 \alpha_0} - z \sin \alpha_0 + \frac{2}{\sin \alpha_0} \right)$$

で表される。

$m=2$, $z=45$, $\alpha_0=20^\circ$ の場合は

$$f_p = \frac{\sqrt{(z+2)^2 - z^2 \cdot \cos^2 \alpha_0} - z \sin \alpha_0 + 2/\sin \alpha_0}{2z \cdot \cos \alpha_0}$$

$= 0.130 f_r$ となる。

実際の理論式は上式に表5の歯形誤差を加えたものとなる。平均歯形誤差は 6.5μ となる。

$$f_p = 0.130 f_r + 6.5$$

図2は表5の歯形誤差と最大スキマシロ (約歯ミゾの

フレ) の関係をグラフで示した。

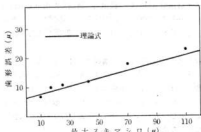


図2 歯形誤差と最大スキマシロの関係

表4より各歯車共歯形誤差は2級、歯スジ方向誤差は0級、歯ミゾのフレは0~1級の精度で研削されている。

表5から偏心後歯スジ方向誤差は偏心前と変らず精度の低下は見られなかった。又偏心後の歯ミゾのフレから偏心前の歯ミゾのフレを引いたものと穴径はほぼ一致している。歯車の歯ミゾのフレの測定値には、歯車の偏心のはかに歯ミゾの巾の不同が関係するが、供試歯車では研削後の精度がよいので巾の不同は無視してもよいと思われる。

図2から偏心後の歯形誤差もほぼ理論値と同じ傾向にある。多少理論値より上下するのは次の加工精度が偏心前の歯形誤差、歯形曲線からの測定誤差が累積されるためであると思われる。

IV 結 言

以上の実験よりつぎのことことがいえる。

1. によっ
2. 下を起
3. さない
4. 上記
5. 精度に
6. が起り

1. 一般に用いられているハメアイでは、取付け精度によって、歯形誤差は JIS 規格 1～2 クラスの精度低下を起す。

2. 歯ミゾのフレは JIS 規格で 2～3 クラスの精度低下を起す。

3. 歯スジ方向誤差は偏心によっては精度低下を起こさない。

上記の事から高精度の歯車を使用しても、その取付け精度によっては、使用機械の精度低下および騒音の発生が起りうるわけである。

おわりに試料作製に協力下さった柳岡本工作機械製作所広島工場に謝意を表します。

文 献

- 1) 歯車便覧編集委員会編：日刊工業新聞社、
歯車便覧 (1962) 168
- 2) 日本規格協会編：
JIS ハンドブック (機械要素) (1968) 83～93
- 3) 仙波正莊：歯車第 2 卷日刊工業新聞社
(1962) 378～381

研削歯車に関する研究(第3報)

カミアイ率の変化が研削歯車の精度におよぼす影響

山崎 隆志, 兼広二郎, 岡崎 愿

1. 緒言

ウォーム状砥石により歯車を研削する場合、被削歯車の歯数によって工具と歯車のカミアイ率は変化する。この変化は被削歯車の諸精度に影響を与える。文献によると2以下のカミアイ率、あるいは23以下の歯数の被削歯車の精度に悪影響を与えるといわれている。

これは噛合う歯が1から2あるいは2から1に移る場合に1つの歯に加わる荷重が不連続的に変動するため、ウォーム状砥石がたわみ、その為被削歯車の精度が低下すると考えられる。その反面カミアイ率が2、歯数が23以上の場合は、ウォーム状砥石にはいつも2組以上の歯が噛合っているため、歯に加わる荷重は安定して精度の良い歯車が製作できると考えられる。

本実験は歯数の違う歯車を同じ条件の砥石、研削条件で研削を行い、研削歯車の歯数が少なくなるにしたがつてその精度がどの程度低下するかを究明した。

II 実験方法

実験に使用した歯車研削盤は岡本工作機械製作所製SHG-2型で、ウォーム状砥石は WA-150-J-m-V-350×68×160を使用した。また検査に使用した試験機は歯形誤差、歯スジ方向誤差測定に浜井産業製歯車試験機5LDを、ピッチ誤差、歯ミソのフレはカールツアイスイエナ社製歯車試験機を使用した。

被削歯車の諸元は表1に示すもので研削条件は切込み0.04 mm(歯面に対して0.03 mm)、被削歯車1回転当たりの歯スジ方向の通り、0.5 mm 砥石の回転数1,500 rpmで研削した。

なお砥石の条件と同じにするため、砥石の成形は再成形は行わず1回研削ごとに砥石をシフトすることで解決した。

表1 被削歯車の諸元

モジアル	圧力角	歯数	ネジ角	歯巾	材質	カタサ	熱処理
2	20°	17, 19, 22 23, 25, 30 35, 45	0°	10mm	S35C	HB166	焼ならし

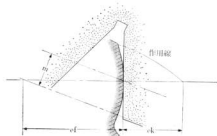


図1 砥石と歯車のカミアイ

次に図1に砥石に歯車のカミアイ状態を示す。

カミアイ率 e_k を求めるには

$$e_k = \frac{Pq}{\text{基礎円周率 } l_s}$$

$$\begin{aligned} Pq &= e_k + e_f \\ e_k &= \sqrt{r_{k1}^2 - r_{x1}^2} - r_{x1} \sin \alpha_s \\ e_f &= \frac{h_s - h_{14}}{\sin \alpha_s} \end{aligned}$$

ここで r_{k1} :歯先円半径

r_{x1} :基礎円半径

r_{x1} :標準ピッチ円半径

α_s :正面圧力角

h_s : 有効歯タケ

h_b : 歯束のタケ

上式で求められた各歯車のカミアイ率を表2に示す。

表2 各歯車の砥石とのカミアイ率

z17	z19	z22	z23	z25	z30	z35	z45
1.920	1.92	1.94	1.95	1.955	1.974	1.99	2.02

実験結果と考察

1. ピッチ誤差

図2、図3、図4に単一ピッチ誤差、隣接ピッチ誤差、累積ピッチ誤差とカミアイ率との関係を示すが歯数17枚を省いてあまり変化がなかった。これは研削盤および研削方法によるため割出機構、削成で研削を行うため、切刃がとぎれず連続的に削出し、研削が行われるためにピッチは高精度に仕上るのである。17枚の歯車の各ピッチ誤差はランクの精度不良も影響しているものと思われる。

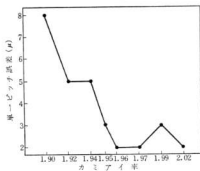


図2 単一ピッチ誤差とカミアイ率との関係

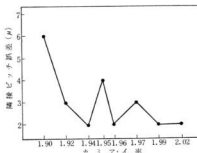


図3 隣接ピッチ誤差とカミアイ率との関係

累積ピッチ誤差は全般に大きかったがこれは歯ミゾのフレによるものと思われる。

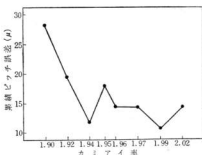


図4 累積ピッチ誤差とカミアイ率との関係

2. 歯ミゾのフレ

図5に歯ミゾのフレとカミアイ率の関係を示すが歯数が少なくなるにしたがって誤差は大きくなっている。これはカミアイ率の低下ももちろんあるが、アンダーカットも多少影響しているものと思われる。

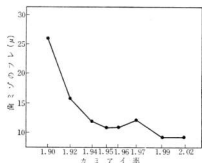


図5 歯ミゾのフレとカミアイ率との関係

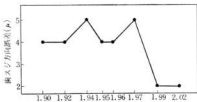


図6 歯スジ方向誤差とカミアイ率との関係

3. 齒スジ方向誤差

図6に歯スジ方向誤差とカミアイ率の関係を示すが影響は見られなかった。

4. 歯形誤差

図7に歯形誤差とカミアイ率の関係を示すがカミアイ率が低下するにしたがって歯形誤差は大きくなっている。これは前言でのべたように歯数の少ない歯車は砥石とのカミアイが安定せずそれでこういう結果になったものと思われる。この内でカミアイ率 2.02 (=45枚) と 1.903 (=17枚) を比較した場合約 5 μ の差があるが、これを JIS 規格で見ると 2 クラス程度の精度低下を起こしているが、実際にはプランクの精度のバラツキなどを

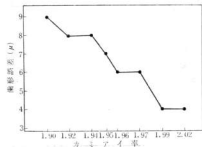


図7 歯形誤差とカミアイ率との関係

考慮して 1 クラス程度の精度低下を起こすものと思われる。

IV 結 言

以上の実験をした結果、つぎのことといえる。

1. 文献¹⁾にもあるように、単一ピッチ誤差、隣接ピッチ誤差、累積ピッチ誤差、歯ミゾのフレはカミアイ率の変化に多少の影響はあるが、プランクの精度その他の影響によることが多い。

2. 歯形誤差はカミアイ率が低下するにしたがって、大きくなる。JIS B1702 で 1 クラスから 2 クラス程度になると想われる。

3. 今回の実験では前言でのべたように歯数23以下は良い精度が得られないということであったが、プランクの加工精度など考慮すれば、歯形誤差に注意すれば良い。

おわりに今回の実験は試料の不足およびプランクの加工精度の不良など、種々不完全なところもあった。次回にこれらを反省しカミアイ率の範囲を拡大し（とくに低いカミアイ率）実験を進めていきたいと思う。

文 献

- 1) 仙波：歯車 第1巻 日刊工業新聞社 (1962) 158
- 2) 中田：軸位歯車誠文堂新光社 (1949) 77

切削温度検出用バイトの試作について

吉 池 啓 侑

I 緒 言

切削温度の測定法についてはすでに数多くの研究報告があり、色々な測定方法が発表されているが、¹⁾²⁾ それぞれ一長一短があるようである。

当機械科においても、このたび被削性測定の一環として切削温度を測定することになり、二、三の予備実験を繰り返したのも、一応満足できる測定結果が得られるようになったのでここに報告することにした。

II 器材と実験方法

被削性測定には Ca—Si 脫酸鋼板材（厚さ 20 mm）を数枚、アーバーに取付けて丸棒に成形した供試材を使い P20, 31型バイトにより旋削実験を行なう事が実験手順に定められており、切削温度の測定についても、できれば他の数種類のデータと同時に測定値が得られる方法が望まれていたため、測定方法の選択の余地也非常にせまいものとなっていた。

代表的な測定方法とその長所、短所をあげるとおよそつぎのようなものであろうと思われる。

1. 热電対による方法

(1) 热電対法

通常使用されている熱電対を被削材と共にバイト内に埋め込む方法。簡単な測定器で測定可能であり、測定精度も高いが熱電対取付穴加工、支持方法など困難な点も多い。

(2) ワーク・バイト熱電対法

被削材とバイトをそれぞれ熱電対素子として利用する方法。非常に簡便な方法であるがバイト、ワークなどを工作機械と絶縁しなければならず、また被削材からリード線を引出すためにはスリップリングなどを用いる必要がある。

(3) 2本バイト法

2本の材質のことなるバイト。またはチップを熱電対素子として利用する方法で、各バイトに同一切削条件を同時にあたえなければならない。

ハイスクロードの組合せが一般的に行なわれているようであるが熱起電力も低く、その校正も困難である。また切削条件などにも多くの制約を受けることになる。

2. 示温塗料による方法

加熱されることにより色彩の変化する塗料を塗布し温度とその分布状況を求める方法で特別な測定器は必要としない。温度分布状況を知るには非常に便利な方法であるが測定法自体の精度が低く、正確な値を得ることはむずかしい。

3. 切屑のテンパーカラーによる方法

排出された切削表面のテンパーカラーから切削時の温度を推定する方法、非常に大きな値しか得られず、实用にはまったく適しない。

4. ふく射高温計による方法

通常使用されている光高温計は測定温度範囲が高すぎるくらいがある。光学系の精度が問題にならうが赤外線域を使用すれば測定可能であると思われる。現在のところでは適当な測定器はみあたらぬようである。

5. その他の方法

以上のような各測定方法とすでに定められていた実験手順を検討した結果、1-(1)にあげた熱電対法を一部変更することにより測定可能であると思われたのでこれを採用することにした。

主な変更点はつぎの2点である。

1. P20チップと異種金属を組合せることにより熱電対を構成する。

2. 起電力の低いことが予想されるのでこの不足分は直流増幅器によりおぎなうこととする。

使用した器材はつぎのようなものである。

放電加工機	西濃電機	E-102
直流通増幅器	横河電機	EM-A11
管状炉	自家製	5 kW
ベンレコーダ	渡辺測器	WTR-210
バーカッシャン	富士電波工機	MCW-3373
ウェルダー		

III 結果と考察

試作された切削温度検出用バイトの形状を図1に示す。右側に見えてくる2本のチップは冷接点冷却用水を循環させるためのものであり、冷接点に接近して接点温度測定用熱電対6を取付けた。

このバイトはP20チップをロウ付けした31型バイトで、チップ自体を熱電対素子の一つに使用し、これと異種金属として0.7 mmφの銅線を組合せることにより熱

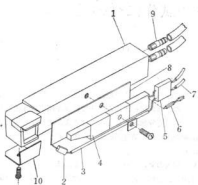


図1 試作されたバイト

電対を構成させている。

現工試に設置されている放電加工機では超硬チップに直径 1 mm 程度の穴明け加工を行なうことが不可能であったので、横にげ面に細いミゾをほり込み、熱電対取付兼引出し用として利用した。

温接点は切刃より 0.5 mm 下に置いた。この厚みはうすければうすい程実際の切削温度に近いものが測定できるわけであるが、それだけ切刃強度が低くなるので極度にうすくすることはできない。

また、超硬チップを熱電対に使うためには冷接点までの引出し用同材質小径棒が必要であるが、これは特別注文品となるため入手に相当期間を要すると思われたので市販チップをロウ接着して矩形断面を持つ棒を作り、これを上記鋼線と同じ横にげ面側シャンクにマイカシートをはさんでネジ止めしている。

なお銅線の絶縁にはビーズ素材であるガラス管が適当な内外径を持っていたのでこれを切断して利用している。

熱起電力の校正は 5 kW 管状炉によって行なった。この時の状況を写真 1 に示す。

右側より冷接点温度計、温接点温度計、手前側が直流増幅器、熱ペンレコーダーである。

校正是炉内露温気温度を 50°C おきに変化させて 5 分

間保ち、その時の出力電圧を直流増幅器に入れ熱ペンレコーダーにより記録させた。

炉内露温気温度はバイト切刃直上部に熱電対を挿入して測定し、その結果を図 2 に示す。

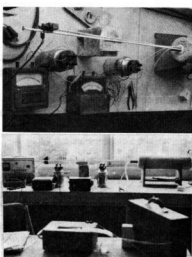


写真1 热起電力の校正

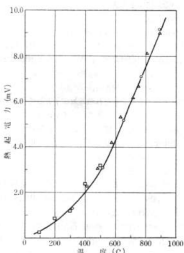


図2 热起電力校正曲線

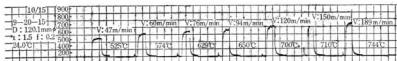


図3 切削速度による刃先温度の記録図

500°C附近に変向点があるがそれ以上の温度範囲ではほぼ比例関係にあるようである。

図3および図4に実際の測定実験によって得られた記録チャートとその結果の一例を示す。

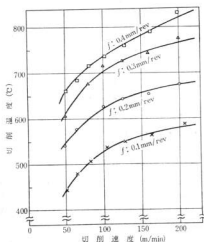


図4 切削速度と温度

切削条件は速度 50 m/min~200 m/min, 送り 0.1 mm/rev~0.4 mm/rev, 切込 1.5 mm, 被削材は Ca-Si 脱酸鋼である。

IV 結 言

切削温度の測定法としては熱電対を使用する方法が簡便で実用的であると思われる。

この実験ではやむを得ず WC-Cu 热電対のかたうちで使用したため、その熱起電力も1,000°Cで約 10 mV と多少低いが他の適当な材質を選定すればより大きな起電力が得られる可能性もあると思われる。

なお、測定は切刃直下部で行なっているため、切刃の真の温度よりわずかに低い温度を測定値として得ていることになるが実用上問題になる程ではない。

実際の測定にあたっては精度、応答性、安定性ともに満足すべき状態であった。

文 献

- 1) 精機学会:精密工作便覧,コロナ社, (1958) 47
- 2) 青木保:工業計測,日刊工業, (1950) 582

騒音振動に関する研究（第3報）

（低周波音による構造物への振動誘起について）

中 塩 武 之, 大 下 嶽

緒 言

振動公害には一般に振動源からの振動が地盤を媒体として直接人体に感じる場合と、室内において、建物構造物によって加振された2次振動を振動公害として感じる場合がある。後者の場合特にガラス窓、襖、障子の振動も誘起しており、視覚的振動との相乗作用によって感覚的により大きく感じる場合が多く、不安、不快感を助長させるものである。

本県においても福山地区でこのような例があり夜間被ガラス窓等の建具が振動し、原因不明の微振動として騒がれたが、調査したところ通常考えられる土地振動は人体に感知できる程のものではなく、周辺工場騒音の特殊性を認めた。騒音分析すると低域に大きなピークをもつ性質のもので、それが原因となって建具等に振動誘起するのであろうとの結論に達した。直接の原因是低周波の音によるものであるが、前記の意味からすれば振動公害のなかに含まれると思う。

公害振動は土地振動伝播を対象としているが、このような低周波音による構造体への振動誘起も公害の特例であろう。なお聽覚上聞えにくい低周波であるため、騒音公害として問題となることは少ない。

本実験はそれらの振動性状を検討し、防除対策の資料とするため、模型実験を試みた。

実験方法

実験は図1のように鉄板の間に数種の試料をボルトで支持し、音を放射して板に誘起する振動を解析した。実験材料は日本家屋の建具を仮定して一辺900mmの木板材を選んだが、実際に使用材料、大きさなど多くの項目がありそれらの条件の組合せは無数に考えられる。つぎに実験材料および支持法を示す。

実験材料	2.5 mm 厚ベニヤ材	900 mm × 900 mm
	10 mm	タ
	5 mm 厚穴あきボード	タ

支持法 周囲固定

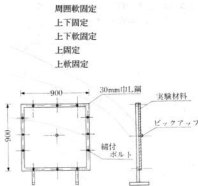


図1 材料取付図

穴あきボードは吸音ボードとして市販されているもので30 mm ピッチで 5 mm 径の穴があいているものである。支持方法の中で固定とはボルトを締付た状態、軟固定は締付けない状態を示している。

放射音	20~600 c/s	純音	80 dB
	20 c/s~20 kc/s	ホワイトノイズ	タ
送風機運転音			タ
変圧器	タ		タ
コンプレッサー	タ		タ
福山市工場騒音			タ

板に放射する音を上記のように選んだが20~600 c/s の純音は低周波発振器によるものである。純音以外は実験上一度テープに録音し再生して行ったが、スピーカーの再生周波数特性がうねっているため、増幅器を補正し最終的には、テープレコーダーを含めた再生系の総合周波数特性は図2のようになった。なお純音の場合は周波数ごとに増幅器の利得調整し、レベルが一定となるようにした。各機器の騒音は比較的低域にピークを有し、振動誘起しやすいと考えられるものを選んだ。なお福山市工場騒音は前記した振動公害が発生している時に測定したものである。図3~7に各々の騒音の分析図を示す。

ホワイトノイズはバンド分析するとオクターブあたり3dBのレベル上昇があり、分析曲線に傾きを生じるのでここではピンクノイズにより分析した。ピンクノイズは一度テープレコーダに記録、再生して分析したので、再生系の周波数特性を表しており、図2と類似したところが認められる。なお実験時はそれぞれ80dBに調整しレベルを一定にして放射した。

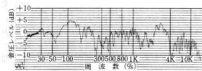


図2 テープレコーダ&スピーカー総合周波数特性

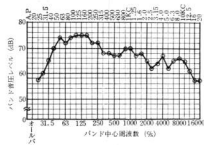


図3 ピンクノイズ

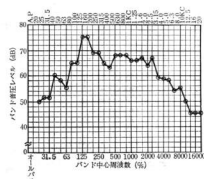


図4 送風機

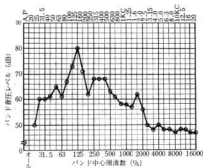


図5 变压器

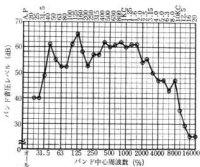


図6 コンプレッサー

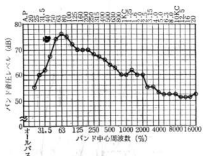


図7 福山、工場騒音

実験における振動の検出には、ピックアップ重量の影響を考慮して、比較的軽量の圧電素子型加速度ピックアップを使用した。

図8に本実験、測定機器のブロックダイアグラムを示す。

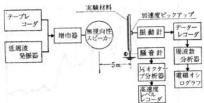


図8 実験ブロックダイアグラム

■ 実験結果と考察

図9～14は2.5mmペニヤ材における各々の音を放射した時の振動分析図である。低周波発振器によるレベルは他に比べて大きいが、これは放射音の音圧レベルを比べると、一応に80dBにレベル調整して放射したものであるが、低周波発振器の場合単一周波数レベルが80dBであり、他の音の場合には総合周波数レベルが80dBで、単一周波数レベルは前者に比べてはるかに低い。ホワイトノイズを例にとると、単一周波数レベルは $10\log(20000/20)$ だけ低い値となり、エネルギー的に考えて

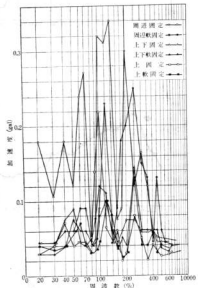


図9 低周波発振器による2.5mmペニヤ材の振動分析

低周波発振器によるものが大きいことが考えられる。又單一周波数振动であるため、他の周波数振动による打消作用がなく加振効率が良いということも考えられる。

図9の低周波発振器による振動レベルのピークは、そのまま色々の支持状態における共振点を表わしていると考えられ。前記した騒音分析図との両者の関係により振動状態が決ってくると思われる。その他においても図9のピークと一致する程大きな傾向は認められないが、全体的にそれに近い傾向を示す。特にホワイトノイズ、変圧器、送風機運転音は騒音分析曲線と似ており、音圧レベルと振動レベルが相關しているように思われる。なおどの場合も周囲固定の振動レベルが最も高く、全体的に拘束状態ほど振動レベルが高い傾向にありその点は疑問である。

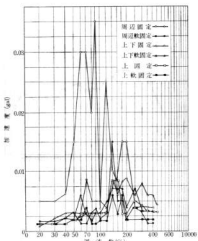


図10 ホワイトノイズによる2.5mmペニヤ材振動分析

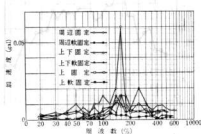


図11 送風機運転音による2.5mmペニヤ材の振動分析

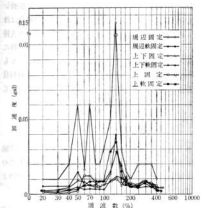


図12 変圧器運転音による2.5mmベニヤ材の振動分析

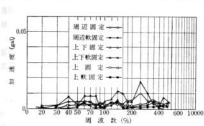


図13 コンプレッサー運転音による2.5mmベニヤ材の振動分析

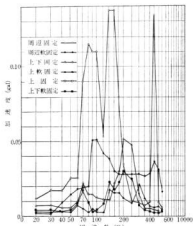


図14 福山工場騒音による2.5mmベニヤ材の振動分析

図15~17は穴あきボードで同様な実験を試みたもので、放射音は大きく性質の異なるホワイトノイズ、低周波発振器、福山で発生した工場騒音を選んだ。全体的にレベルはベニヤ材の時よりはるかに下っているが、吸音材として市販されているもので、材料の吸音による振動減衰とも考えられる。振動ピークはそれぞれベニヤ材の時より周波数の高い方へ移っているが、前者に比べて材料の重量が大きいため剛性が低く、それらの材料特有の性質が原因していると思われる。また、支持拘束度が大きくなる程振動レベルが高くなる傾向を示していたが、穴あきボードの場合前者程その傾向が強くない。

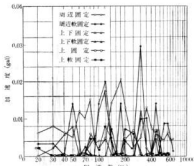


図15 低周波発振器による穴あきボードの振動分析

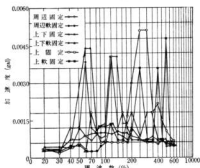


図16 ホワイトノイズによる穴あきボードの振動分析

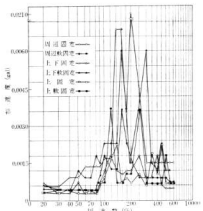


図17 福山工場騒音による穴あきボードの振動分析

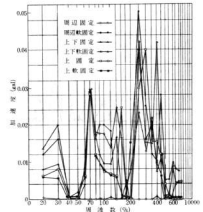


図18 低周波発振器による10mmベニヤ材の振動レベル

図18に10mmベニヤ材の低周波発振器による振動レベルを示したが、大きな特長として周辺固定の場合はほとんど振動が検出されていない。また、それぞれの支持状態におけるピーク位置が一致する傾向があり、特に70c/sの低域共振点はその傾向が強い。振動レベルも2.5mm材に比べてはるかに下っている。これは材料自体の強度が著しく増したことと、複雑な分岐振動が生じ難くなつたことが原因と思われる。

IV 結 論

複雑な音による振動誘起現象について、わずかの実験で明らかにすることはできないと思うが、公審としての範囲に止めれば、今までの実験経過においてつぎのように推定できると思う。

1. 同一レベルの騒音でも、その周波数特性の低域(20~100c/s)に大きなピークを持つ性状のものは、建具等比較的軽い構造物に振動誘起し易く、建具の固有振動数および騒音の周波数特性上のピークが一致すればその傾向は更に強まる。
2. 建具自体の強度を増さねば、防振の目的で支持を強固にしても、それによる二次振動による騒音を防ぐ効果はあるが基本的な防振対策にならない。

実験途上でデータ不足のため先走りした感はあるが、音による誘起振動の性状について研究の足掛かりがつかめたと思う。以上の結論をより裏付け、振動の詳細な性状を知るためににはこれから実験に負うところが多い。なお実験時の失敗でデータが得られなかった部分もあるが、その点を反省して今後さらに実験を進めていくつもりである。

1.
やす
る切削
などに
小によ
削抵抗
やすり
物を押
が考え

やすりに関する研究(35報)*

やすりあたりによるかたさの判別について(その1)**

石田 節, 刈山 信行, 新田 明

I 緒 言

金属製品のかたさ測定には種々なかたさ試験機が開発され工業関係に多く使用されているが、これらの試験機を使用しないで耐摩耗性を必要とする工具や部品の焼きの入り具合などを検査する方法として、やすりあたりによるかたさの判別が古くから使用されている。この方法はかたさ試験機によるかたさの測定よりも簡単で能率が高い場合、被測定物の形状の関係でかたさ試験機の使用が困難か、不可能な場合、あるいは試験機がない現場作業的な場合などに大変有効な検査法である。しかしこの方法は人間の感覚を計器の代りに利用して物品のかたさを検査する一種の官能検査であるため、その判別の範囲ならびに精度についての詳細なデーターが見あたらない。

近代工業においては試験機を使用した数値による品物の検査法は非常によく開発されている反面、われわれの取扱う品目の中で人間でなければできない検査、あるいは人間が行なった方が能率的または経済的である検査などがきわめて多くあり、これらの問題に対し近年科学的および統計的な手法を導入することによって人間の感覚による判断を数量化する新しい官能検査法¹⁾が開発され工業界においても相当使用されている。

そこでやすりあたりによるかたさの判別にも官能検査の手法を使用して、比較的にかたさの高いロツクウェルかたさ H_{RC} 50~63 の試料についてかたさの判別がどの程度の精度および範囲で行なわれるものかについて研究した。

II 実験 方 法

1. かたさの判別の因子

やすりあたりによるかたさの判別の因子は検査員の感じた切削抵抗や切削時に発生する音および切削の量、形状、などによるものと考えられるが、主として切削抵抗の大さによるものが大部分のように思われる²⁾。やすりの切削抵抗に影響する因子はやすりの刃先のかたさ、形状、やすりを測定物にあてる角度、切削速度、やすりで測定物を押す力および測定面の形状など非常に多くの因子が考えられるので、このような因子を十分考慮に入れて

実験の条件を定めた。

2. 判別に使用したやすり

S KS 8 材で製作された H_{RC} 56~58 のかたさの鋼の目立用に使用される 125 mm の両刃やすりを試験用のやすりとして採用した。このやすりは單刃やすりで刃のかかり具合も単純で刃の強度も強いので、やすりによりかたさを判別するのに適当である。一般に市販されているやすりの中にはこの検査法には適さないような刃先のかたさの低いやすりが数多く見受けられるので、やすりの刃先のかたさを検査する必要がある。しかしやすりの刃先のかたさはやすりを破壊しないと測定できないので、本実験に使用したやすりは H_{RC} 63 の試験片を傷つけることのできる両刃やすりを選択して検査に使用した。

3. かたさ試験片の製作

かたさ試験片は S KS 8 材を完全球状化焼なまし後、焼入焼もどし処理により H_{RC} 51, 53, 55, 57, 59, 61, 63 の約 2 硬度おきに 7 段階のグループと、H_{RC} 57, 58, 59, 60, 61, 62 の約 1 硬度おきに 6 段階のグループの 2 組のものを製作した。試験片の組織は写真 1 に示した。試験片の大きさは長さ 200 mm 中 15 mm 厚さ 3 mm の棒状で柄の部分約 100 mm にビニールテープをまき、試験片の角には切削条件を同じにするため丸みをつけた。

4. 判別の方法

官能検査には数多くの手法が考えられているが、人間の感覚を基準とするため評価の規準が明瞭でなく、変動しやすいところから、相互に試料を比較して順位をつけることが行なわれる。しかし一度にいくつもの比較をすると疲労の影響などが入って結果が信頼できなくなる場合が多い。そこで一度に 2 個しか比較させないのでその一方を基準として他力を評価する一对比較法を本実験では

* 従来やすりに関する研究(第31報)やすりの熱処理に関する研究(第32報)その他1報が報告されているが、本報告はこれら従来の報告を統合して、やすりに関する研究(第35報)とする。

**昭和44年度技術開発研究費補助金による研究で、1971年2月日本金属学会中国四國講演大会に発表

採用した。すなわち2本のかたさ試験片をおののの、や
りであります。どちらが硬く感じるかを判別させた。7
本グループでは2本づつの組合せで21組合せ。6本グル
ープでは同じく15組合せの比較判別を行ない判断の結果
により、一致性的係数、一意性の係数および判別の正解
率を求めた。また本検査法では判別が困難と考えられる
材料についても実験を行なった。

■ 実験結果および考察

1. HgC 51~63 の 2 硬度とびのかたさ判別

(1) 方法

かたさの判別の程度が未知のため、まず HgC 51~63 の範囲で 2 硬度とびの 7 本グループ 21 組合せについて、硬軟の判別実験を行なった。やすりあたりによってかたさを判別したことのない未経験者（試験場職員）12名とやすりによってかたさを判別したことのある経験者（試験場職員）4名の計16名を検査員として、切削条件を一定にするためやすりを固定して試験片を動かす方法を探用した。なお判別は4回反復し、比較する組合せの順序はランダムの順にした。

(2) 判断の一意性

検査員全員が同じ一对比較法の判断を行なった時、検査員相互の間に判断の一致があるかどうかを求める目的で一致性的係数を求めた。表1は第1回の16名の判断の結果を示し、同表の対角線より上には左の破綻の試験片が上の横欄の試験片にくらべて硬いと判断した人の数、すなわち正解の人数が記入してあり、対角線より下には誤った人数が記入してある。反復1回から4回までの結果は表1の形式で作り、これらの表をもとに以下の式¹³⁾により χ^2 (カイニ乗) 検定を行ないその結果を表

2の上段に示した。

$$\Sigma = \left(\frac{n}{2} \right) \left(\frac{1}{2} \right) + \sum_{i>j} ij^2 - n \sum_{i>j} \chi_{ij}$$

$$u = -\frac{2 \Sigma}{\left(\frac{n}{2} \right) \left(\frac{1}{2} \right)} - 1$$

$$X_{\frac{n}{2}}^2 = \frac{4}{n-2} \left[\Sigma - \frac{1}{2} \left(\frac{n}{2} \right) \left(\frac{n-3}{n-2} \right) \right]$$

$$f = \left(\frac{1}{2} \right) \frac{n(n-1)}{(n-2)^2}$$

n : 検査員の数

k : 試料の数

χ_{ij} : 正解数

全員正解 $u=1$

16/2名正解 $u=-0.067$

検定：自由度 f の X^2 二乗分布の 1% 点と比較して $X_{\frac{n}{2}}^2 = \chi^2(f, 0.01)$ ならば n 人の判断は何らかの一一致がある。

同表により危険率 1%， $f=26$ の時 $\chi^2=45.6$ となり、 $X_{\frac{n}{2}}^2$ の値は X^2 より十分大きいので HgC 2 差のかたさの硬軟の判断については、16名の検査員の判断に何

表1 検査員16名の判断の結果

HgC	63	61	59	57	55	53	51
63		16	15	16	15	16	16
61	0		12	14	16	15	15
59	1	4		15	12	15	15
57	0	2	1		7	13	13
55	1	0	4	9		10	12
53	0	1	1	3	6		10
51	0	1	1	3	4	6	

表2 検査員の判断の一意性

実験条件	検査員	反復の回数	判断の一一致した数	一致性的係数 u	自由度 f	$X_{\frac{n}{2}}^2$	$X_{(0.01)}^2$
HgC 51~63	16名	1	1982	0.573	26	232.0 > 45.6	100
HgC 2 差		2	2115	0.679	26	270.0 > 45.6	90
7 本組		3	2161	0.715	26	283.1 > 45.6	80
21 組合せ		4	2197	0.744	26	293.4 > 45.6	70
HgC 57~62	19名	1	1869	0.457	18	155.8 > 34.8	50
HgC 1 差		2	2081	0.623	18	205.7 > 34.8	40
6 本組		3	1957	0.526	18	176.5 > 34.8	30
15 組合せ		4	2077	0.619	18	204.7 > 34.8	20

らかの一致があると考えられ、しかも反覆の回をかさねると一致性的の係数はよくなっていることが知れた。

(3) 判別の結果

検査員全員が4回反覆すなわち64回の検査で2本の試験片のかたさを比較した、試験片ごとの正解率は図1の左図の通りである。一对比較法では検査員に判別的能力がまったくない場合は確率により正解率は50%となる。同図において50%の線より上は軟らかい試験片と比較した場合の正解率、50%の線より下は硬い試験片と比較した正解率を示してある。たとえばH_gC 59の試料と他の試料を比較した場合の正解率の曲線はH_gC 59と正解率50%を通る曲線(左から3本目)であり、H_gC 59とH_gC 57を比較した場合の正解率は約80%、H_gC 53と比較した場合の正解率は約97%、H_gC 61と比較した場合の正解率は約90%である。またH_gC 63とH_gC 61, 59, 57, 55, 53, 51を比較した場合(左から1本目の曲線)は正解率はすべてが100%であることが知れる。

これらの結果から、比較する試験片のかたさの差が大なるほど、またかたさの高い試験片どうしの比較ほど正解率はよく、かたさの差が少いほど、また軟らかい試験片どうしの比較ほど正解率は悪くなっていることが知れる。またやすりあたりによるかたさの判別は未経験者でもH_gC 2の硬度程度の判別が可能であり、とくにH_gC 59以上では1硬度差のかたさの判別もできるようと思われる。

2. H_gC 57～62 の1硬度とびのかたさの判別

(1) 方法

前第の実験ではH_gC 57以上の硬い試験片間のかた

さの判別の精度は高いことが知れたので、本実験ではH_gC 57～62の範囲で1硬度とびの6本グループ15組合せについて判別の精度について実験を行なった。検査員は前第の検査員に新しく3名の未経験者を加えて19名とし、一般にやすりによりかたさを判別するにはやすりを手に持って行なうので、今回は試験片を固定しやすりは手に持って動かす方法を採用した。なお判別は4回反覆し、比較する組合せの順序はランダムの順にした。

(2) 判断の一致性

19名の検査員に対し前第と同様な手順により一致性の係数を求めてその結果を表2の下段に示した。同表より1硬度差の判別においても19名の検査員の判断に何らかの一致があることが知れ、反覆の回数をかねると一致性の係数はよくなっている。ただし1硬度差の一致性は前第の2硬度差の一致性よりも悪い。

(3) 判断の一意性

一对比較法では検査員個人にまったく判別的能力がなく、でたらめに判定しても正解率は50%になるので正解率のみでは検査員の判定能力がよくわからない。そこで1名の検査員が硬軟2本の試験片15組合せのかたさの比較を行なった結果を示した図で、矢印のむいた方が硬いと答えたことを示す。同図においてとえばH_gC 57, 58, 59の3本の試験片の判別の状態を三角形で見ると矢印が三角形を一巡していることが知れる。このような状態を一巡三角形といい、判断に矛盾のあることが知れる。

この一巡三角形の数を用いて判別能力の目安をえる

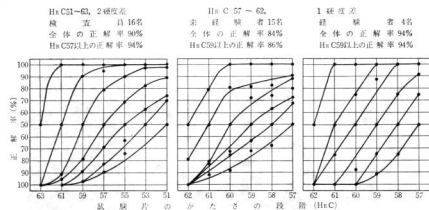


図1 判別の正解率

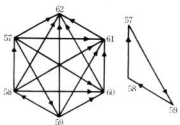


図2 判断の結果

ものが一意性の係数である。すなわち一過三角形の数が少ないほど検査員に判別能力があると考えられる。

全検査員の4回反復76回の判定について図2のような6角形を作り次式¹²により一過三角形の数および一意性の係数を求めた。同式の数値は図2の検査員の判断の検定を行なったもので、危険率5%の限界値 $d_{0.05} = 1$ で

一過三角形の数 d

$$= \frac{1}{6} k(k-1)(k-2) - \frac{1}{2} \sum_{i=1}^k ai(ai-1)$$

$$= \frac{1}{6} \times 6 \times 5 \times 4 - \frac{1}{2} (5 \times 4 + 4 \times 3 + 3 \times 2) \\ = 1$$

$$\text{一意性の係数} \zeta = 1 - \frac{24d}{k^3 - 4k}$$

$$= 1 - \frac{24 \times 1}{6^3 - 4 \times 6}$$

$$= 0.875$$

ai : 各頂点に右から矢印の数

k : 試料の数

あるから $d \leq d_{0.05}$ となり、この検査員は判別能力があるものと考えられる。この検査法では一過三角形の数が1以下の検査員は信頼度95%で1硬差のかたさが判別で

きると考えてよいとなる。以上のような計算法により全員の一過三角形の数および一意性の係数を求めた結果が表3である。同表によると未経験者の約半数および経験者の全員は判断の能力を持っていることが知れる。

表3 検査員の判断の一意性

検査員	未経験者 15名	経験者 4名
1過三角形の数 d	0 1 2以上	0
一意性の係数 ζ	1 0.875 0.75以下	1
反覆の回数	1 6名 2 8 3 5 4 6	0名 4名 9名 7
の数		4名 4 4 4

(4) 判別の結果

検査員全員が4回反復するうち76回の検査を行ない、各反復の正解率を表4に示す。同表によると15組合せの硬差の判別で完全正解および1回の誤のある検査員が多く見受けられ、未経験者、経験者をとわずその判定能力は高いこと、および反覆の回をかさねると正解率が上昇していることで知れる。図1の右図は比較した2本の試験片ごとの正解率を示したもので、HgC 1差の比較においても、前節の結果と同様に比較する試験片のかたさの差が大なるほど、またかたさの高い試験片どうしの比較ほど正解率はよく、かたさの差が少ないと、また軟かい試験片どうしの比較ほど正解率は低下している。この結果より未経験者でも HgC 57~62 の範囲では HgC 1のかたさの差の判別は可能であり、経験者は HgC 1 の差の判別能力を持っていることが知れた。

3. かたさの判別が困難な試料

前節までの実験でやすりあたりによるかたさの判別は

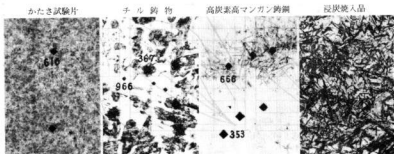


写真1 試料の顕微鏡写真 Hv(0.05) (×200)

相当精度別が困難 (0.88%
22%
22%
効硬化試片とのか
ような軽
低い値を
さの高い
感じると
このよ
れること
マルテン
いるのに
炭化物
が混在す
入の混入
中に歯ら
いる組織
大きい硬
押込かた
試験法に
すりあた
り²³、我

表4 検査員の各反復の正解率

検査員	未経験者 15名			経験者 4名			正解率	
	正解数/試験回数 15回			正解数/試験回数 15回				
	15/15	14/15	13/15以下	15/15	14/15	13/15以下		
1	0名	2名	13名	0.80	1名	2名	1名	0.90
2	1	4	10	0.87	0	4	0	0.93
3	1	4	10	0.82	1	3	0	0.95
4	0	4	11	0.86	2	2	0	0.97

表5 かたさ判別の結果

試 料	HgC (信頼度95%)	硬いと判別した検査員の数		
		検査員 30名	検査員 15名	検査員 15名
かたさ試験片	55.30±0.18	0	0	0
チル鉄物	46.06±1.73	30名		
高炭素高マングン鉄鋼	43.58±2.23		15名	
浸炭部品	51.40±0.39			15名

相当精度の高いことが知れたが、この方法によっては判別が困難と想像されるチル鉄物、高炭素高マングン鉄鋼(0.88%C, 7.86%Mn, 8.25%Si)、浸炭焼入品(SCM22を930°Cで40時間浸炭し、1000°Cで水焼入れし、有効硬化層深さ約2.7mmのもの)の3試料とかたさ試験片とのかたさを一对比較法で検査したところ表5に示すような結果を得た。同表によるロフツウェルのかたさで低い値を示したチル鉄物、鉄鋼、浸炭焼入品の方がかたさの高い試験片よりもやすりあたりでは、いつれも硬く感じると全検査員が誤った判断を下している。

このようなかたさの判断をあやまる原因として考えられることは、写真1に示すようにかたさ試験片の組織はマルテンサイト地に微細な球状炭化物が均一に分布しているのに対し、チル鉄物は非常にかたさの高い巨大な炭化物(白い部分)と軟らかいバーライト(黒い部分)が混在する組織であり、高炭素高マングン鉄鋼と高温焼入の浸炭部品は硬いマルテンサイト(黒い針状組織)の中に軟らかい残留オーマライト(白い部分)が混在している組織が原因していると考えられる。すなわち比較的大きい硬い組織と軟らかい組織が混在しているとHgCの押込かたさは低くあらわれるが、やすりあたりでは切削試験法になるので、硬い組織が切削抵抗にあらわれ、やすりあたりによるかたさの判定は硬く感じることとなり³⁾。判定を誤るものと思われる。このような組織を持

つ試料にはやすりあたりによるかたさの判別は適さない。

IV 結 言

かたさ試験機によるかたさ測定の補助として、やすりあたりによるかたさの判別が HgC 51~63 の範囲でどのような精度および範囲で行なえるものか、官能検査の手法を使用して実験した結果次のようことが知れた。

1. かたさの判別について検査員間の判断には一致性があり、各検査員の判断に矛盾のない者が半数近くいる。

2. かたさの判別に対する能力は意外に高く、過去にやすりでかたさをあたったことのある検査員では HgC 1 のかたさの差の判別が可能であり、やすりでかたさをあたったことのない検査員でも HgC 59 以上では HgC 1~2 のかたさの差の判別が可能である。しかし判別能力は一般的にいってかたさが低くなるにつれて悪くなる。

3. 反復の回数が増すと判別能力はよくなる。

4. チル鉄物および多量の残留オーステナイトを混在する焼入材などはやすりあたりによるかたさの判別は困難である。

以上の結果から HgC 50 以上の硬い部品に対するやすりあたりによるかたさの官能検査は、やすりによるかたさの判別を全く行なったことのない人でも相当な判別

能力があり、さらにある程度訓練を行なうと $HgC\ 1$ のかたさの差が判別できるものと推察でき、その結果の信頼度も高くなると思われる。また検査に使用するやすりを焼もどして、やすりのかたさを試料のかたさに近くすると、 $HgC\ 55$ 以下のかたさの低い部品についても判別の能力は増すものと考えられる。

この検査法により中小企業の関係作業者を訓練し、かたさ試験機によるかたさ検査の補助としてやすりあたりによるかたさの判別法を工程途上のかたさ検査法に導入することにより、部品のかたさ管理が能率的に行なえるので中小企業の熱処理技術、検査能率ならびに品質の向

上が期待できる。

終りに本研究を行なうにあたり終始懇切な御指導を賜わった計量研究所の飯塚幸三課長、矢野宏課長および官能検査に協力を戴いた各検査員の皆様に深く感謝します。

文 献

- 1) 増山、三浦：工業における官能検査ハンドブック、日科技連（1968）
- 2) 鶴下、矢野：硬さと強さの研究 3 (1970) 21
- 3) 大和久：熱処理 6 (1966) 154

我が
その
地は東
り、鉄
東アジア
東南ア
メリ
これ
り厳重
内向や
る。輸
その一
部の切
て検査
が、輸
~15%
驗擇が
の切味
ている
本研
目切部
で、そ
かる目

输出
種で行
なる R
5°, 6°,
10種類の
 $HgC\ 54$
しては、
双光か
間の不
で現の形

やすりに関する研究(第36報)

輸出やすりの切味不良原因について

新田 明, 石田 節, 鈴木 寛

【 謹 言 】

我が國より輸出されているやすりは年間約5億円で、その100%が県下仁方地区で生産されている。その仕向地は東南アジア、東アジア、南北アメリカが主体であり、鉄工やすり(Flat file, Hand file)は東南アジア、東アジア、鋸やすり(Mill file, Web file, Slim file)は東南アジア、南北アメリカ、やすりセットはヨーロッパ、アメリカにそれぞれ輸出されている。

これら輸出されるやすりは日本機械金属検査協会により厳重な輸出検査が行なわれているが、一般にいって国内向やすりよりやや品質がおどっているように思われる。輸出検査は全般的にJISの規格よりややゆるく、その一例としては国内のJIS規格によるやすりの目切部の切味検査は H_{RC} 56~59 の試験棒をやすりにあてて検査した場合すべりを生じてはならないとされているが、輸出検査では兎目通り、学童やすりでは H_{RC} 42~45 の試験棒、他のやすりでは H_{RC} 52~55 の試験棒がすべりを生じてはならないとされていて、目切部の切味の検査も輸出用やすりの方がややゆるやかになっている。

本研究では輸出検査時に前記のような検査を行ない、目切部の切味不良により不合格になったやすりについて、その不良原因を探求し、輸出やすりの品質向上をはかる目的で種々の調査を行なった。

【 試料と実験方法 】

輸出検査時に目切部の切味の検査を H_{RC} 54 の試験棒で行ない不合格となったやすりの中で形状大きさの異なる Round file 6", 7 1/4", Spade file 8", Regular file 5", 6", 8", Extra slim file 4", 6", 7", Slim file 4", の10種類の各1本を取り出し、実験試料とした。目切部に H_{RC} 54 のかたさ試験棒をあててすべりを生じる原因としては、刃の形状不良、刃先かたさの不良が考えられ、刃先かたさの不良としては、焼入冷却速度不良、加熱時間の不良、脱炭層の削除不足などが主原因と思われる刃の形状、組織は金属顕微鏡により調べ、刃先のかた

さはマイクロビッカースかたさ試験機(荷重200g)により測定した。また参考のため両刃やすり 5" の目切部の切味検査良好なやすりについても組織調査を行なった。

【 実験結果と考察 】

調査した切味不良原因別に各やすりを区分すると表1

表1 切削不良原因

試料番号	刃の形状	冷却速度	保持時間	脱炭層	写真番号
1	Round file 6"			×	2
2	Round file 7 1/4"			×	2
3	Spade file 8"	×			1
4	Regular file 5"		×		2
5	Regular file 6"	×	×		1, 2
6	Regular file 8"			×	2
7	Extra slim file 4"		×		2
8	Extra slim file 6"			×	2
9	Extra slim file 7"			×	2
10	Slim file 4"			×	1, 2
11	両刃やすり 5"				2

が得られ、切削不良原因と思われる箇所に×印を記入した。同表によれば切削不良原因は刃の形状不良、冷却速度不良、加熱保持時間の不良、脱炭層の削除不良の順になっていて、不良原因の重複しているやすりも見受けられる。従来の研究より調査からも切削不良原因としては脱炭層の削除不足が最大の原因となっており、本調査でも同様の結果が得られた。各原因別の調査は次のとおりである。

1. 刃の形状不良

試料の刃の形状は全般的に見て、刃先の形状、すくい角、逃げ角¹⁾などが多いものが多く切削不良と思われるやすりが相当見受けられた。特に問題のある試料3、5の刃の形状は写真1に示した。試料3はすくい角がマイナスで大きく、また刃先の形状が悪く、試料5は逃げ角

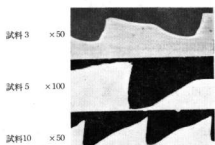
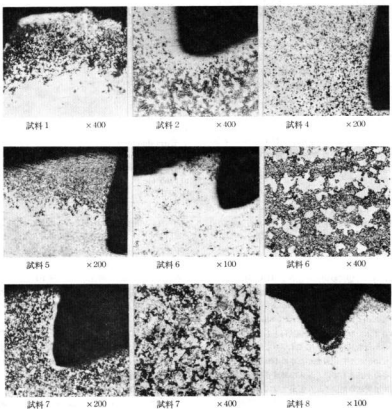


写真1 刃の形状

がほとんどない。このような刃の形状では切削は悪くなる。同写真の試料10は刃の形状が比較的よいものを示し

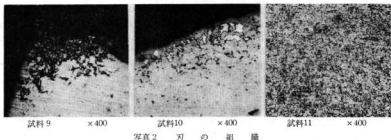


た。

2. 冷却速さ不良

焼入冷却速さ不良が原因で刃先かたさが低く切削不良と思われる試料は試料4、5であり、その組織は写真2に示した。試料4は試料全体がマルテンサイトになっているがこの組織の中に黒い焼入トルースタイト組織がみられ、かたさは H_V 600~700 であった。良質なやすりの硬さは H_V 800 以上あり、かたさがやや低い、このような組織を生じたのは冷却速さが体的に遅い場合に生じる。また試料5は試料の中心部は完全マルテンサイトになっているが、刃先部に焼もどしマルテンサイトを生じていて、この附近のかたさは H_V 730 前後である。この焼もどしマルテンサイト中には白い球状のセメントイトが存在していることから、脱炭によるものではなく焼入途中で刃部に気泡などが付着したか、冷却が十分行なわれない時期にやすりが水中より引き上げられたため、

一度マスカルピウム熱浴槽に投入され、その後熱したままの温度で冷却してしまったものと推定される。



一度マルテンサイトになったものが内部からの熱で焼もどされたものと考えられる。このような不良原因は、加熱したやすりをすみやかに水中に入れ搅拌急冷し、やすりの温度が M_s 点附近になったとき湯の中に入れかえることにより防止できる。

3. 加熱保持時間の不具合

加熱保持時間が短かいため、オーステナイト化が完全に行なわれず、不完全な熱処理が行なわれ（焼入温度がやや低い場合もこれと同様な現象となる）双刃かたさが低く切味不良と思われる試料は試料 2, 6, 7 であり、その組織は写真 2 に示した。試料 2 の写真的白い組織は低炭素マルテンサイトで黒い組織はオーステナイト化しなかったフェライトと球状セメンタイトの混合組織である。この部分のかたさは H_V 340 前後で軟らかい。試料 6 の写真的双刃の黒い組織は焼もどしマルテンサイトで内部は低炭素マルテンサイトとフェライトと球状セメンタイトの混合組織である。400 倍の写真是試料の中央部組織で白いマルテンサイトと黒い組織のフェライトと球状セメンタイトの混合組織がよく知れる。試料 7 の双刃前面の白い組織は低炭素マルテンサイトで内部は低炭素マルテンサイトと焼入トルースタイドとフェライトと球状セメンタイトの混合組織であり、かたさは H_V 320 前後である。400 倍の写真是試料の中央部の組織で黒い一次トルースタイド、白い低炭素マルテンサイト、球状セメンタイト、灰色のフェライトの混合組織である。良好な焼入組織は試料 11 の組織で示すようにマルテンサイト地に硬い球状セメンタイトが均一に分布してかたさは H_V 850 程度ある。以上のようにやすりの加熱保持時間が不足するとオーステナイト化した相とオーステナイト化しない相の混合状態で焼入れられたため焼きの入ったところと入らないところの混合組織になる。このように加熱保持時間が不足する場合には偶然に刃部のみが硬化し切削良好なやすりを製作することはできるが、加熱時間が短いため作業が不安定となり、したがって均等なやすりの焼入は困難となり、不良製品が数多くできる

ことになる。実際に生産工場ではやすりの焼入本数を多くするために、やすりの加熱保持時間を短くしていることがよく見受けられ、このような欠陥が生じるので、やすりの加熱保持時間はやすりの大きさに応じて十分にとらなければならない。

4. 脱炭層の削除不具合

やすり素材表面の脱炭層の削除が十分でなく、刃先部に素材の含有炭素量よりも低い脱炭層をもっているため刃先かたさが低く切味不良と思われる試料は試料 1, 6, 8, 9, 10 であり、その組織は写真 2 に示す。試料 1, 6, 8, 9 の組織は刃先で低炭素になっているため黒い組織の焼もどしマルテンサイトを生じている。（刃先部には白い粒状のセメンタイトが見られない）刃先の炭素量が低いと焼入した場合、脱炭部分は内部の高炭素部分よりも M_s 点の温度が高いので早くマルテンサイトになるが、やすり内部の熱により焼もどされて刃先に焼もどしマルテンサイトが生じるものと考えられる。この部分のかたさは H_V 700~760 で、内部に行くにしたがって H_V 800 以上のかたさとなっている。試料 10 は刃先の炭素量が特に低くまで脱炭しているため焼入温度ではオーステナイト中にフェライト相が存在して焼入によりマルテンサイト中に白いフェライト相がそのまま残ったもので、この部分のかたさは H_V 670~760 である。これら脱炭層が刃先にある原因は、圧延材の脱炭層がとくに深かったから。焼なまし作業不良により脱炭層がより深くなつたためか、工数をはぶく目的で焼なまし後の脱炭層の除去が不十分であったことが考えられる。

IV 総 論

输出やすりの切味不良原因を調査したところつぎのようなことがおもな原因であることが知れた。

1. 刃の形状不良、すなわち刃の先端の形状、逃げ角、すくい角などがよくないこと。
2. 烧入のさい冷却速度が十分でないこと。
3. 烧入温度に加熱保持する時間が十分でないこと。

4. 素材表面の脱炭層の削除が十分でないこと。

以上の結果より目切部の切味不良をなくするために、目切作業を十分注意し、目の形状をよくし、適正な焼入温度にやすりを十分加熱保持し、やすりの冷却はできるだけ早く行なうように注意しなければならない。つぎに脱炭層の除去については圧延材の脱炭深さを検査し、あまり脱炭層の深い圧延材は使用しないようにし、焼なまし作業では試料を十分酸化させ、できるだけ脱炭層を少なくするように心掛け、焼なまし後の脱炭層の削除は十分行なう必要がある。輸出向やすりでは生産コストを低下させる目的で、作業中以上のような点が軽視さ

れる傾向があり、切れ味不良により不合格となるやすりが相当数見受けられ、不良品率が高くなり、その結果逆に生産コストが上昇し、また国外での日本製品の悪評を生むので、各やすりメーカーの自覺を望む。

終りに本実験を行なうにあたり試料の採集を戴いた日本機械金属検査協会検査所に心からお礼申し上げます。

文 載

- 1) 石田、大下、上田、加城：本報告 9 (1963) 1

物語
を失
を從來
であっ
圧延産
れるよ
川才
性に文
脱炭
多くの
こよ
件と各
と考か
た。
漫談
的な軽
る。ま
ではれ
等が分
分布。
こそ
と思わ
よび新
を得る
究、そ
関係有
業界。

本
よび
もに

供

1tx

1.6

薄鋼板の表面処理と強度*

加城正義, 横山宏樹, 一河文夫**

緒言

従来から浸炭用鋼としては肌焼鋼を使用するのが普通であったが、最近自動車部品あるいは精米機部品に冷間圧延鋼板をプレス成形した部品に浸炭後調質して使用されるようになった。

これらの加工法は最近の新しい傾向であり、耐摩耗性に対しては問題がないが、使用中の割れ事故または浸炭焼入れにおけるひずみの問題が発生し、関連企業から多くの技術相談がある。

これらの問題を解決するには、まず薄鋼板への浸炭条件と各強さ等の実験研究による基礎データが必要であると考え、45年度の重点研究題目として本実験を計画した。

浸炭部品の機械的性質に結びつけることのできる現場的な特性としては表面硬かたさは浸炭硬化層深さである。また機械的性質に影響を与える要因として、材料面では材質の化学成分、結晶粒度、非金属介在物、焼入性等があり、浸炭調質処理の面では表面浸炭量、炭素濃度分布、組織、焼入れ焼もどし条件等多くの要因がある。

これらの要因のうち、もっとも強度に大きく影響すると思われる結晶粒度の変化、浸炭層深さ、焼入れ条件および組織の影響等を明確にし、工業的に応用できるデータを得るために、現在使用されている冷間圧延鋼板の素材研究、各浸炭処理条件における浸炭硬さおよび曲げ抵抗の関係を求めるとともに、割れに対する組織の調整法等を業界に指導することを目的とした。

試料と実験方法

本実験に用いた供試材は冷間圧延鋼板 1t の SPCE および 1.6t の SPCE の二種である。試験片の大きさはともに巾 3mm、長さ 50mm でその化学成分を表 1 に示す。

表 1 試験片の化学成分 (%)

供試材	C	Si	Mn	P	S
1t × 3 × 50	0.07	0.01	0.35	0.008	0.024
1.6t × 3 × 50	0.07	0.01	0.40	0.016	0.028

浸炭試験片は 1t および 1.6t の各試験片に浸炭温度 850°C で液体浸炭を行ない、浸炭時間を 25 分および 50 分の工業的なごく薄い二種類について試験を行なった。

曲げ抵抗の測定は島津式微小万能試験機で荷重 kg、ひずみ倍率 1/2.5、曲げスパン 20mm、ボンチ曲率半径 1mm で光テコ式記録装置により測定した。

曲げ試験速度は 2.2 mm/min に一定し、一標準については 4 回くり返してその平均値を測定値とした。浸炭層のかたさ測定はマイクロビックカースカタサ試験機、300g で有効浸炭硬化層の中央部を三点測定して、その平均値、また試験片中央部のかたさも同様に三点測定し、その平均値を測定値とした。

実験結果および考察

1. 材料フェライト粒度と强度特性

試験片 1.6t × 3 × 50mm を用い、ヒートパック加熱により再結晶温度以上の 650~900°C に各 5 分保持し空冷処理を行ない、フェライト粒度の変化と曲げ抵抗およびかたさの関係を調べたのが図 1 ならびに図 2 に示し、曲げ抵抗の記録例を図 3 に示した。

加熱温度が上昇すると試験片横断面中央部におけるフェライト粒度 (JIS G 0552、フェライト結晶粒度試験法、顯微鏡による比較法) は大きく成長して、最大曲げ抵抗、曲げ降伏瞬間抵抗および試験片断面かたさはゆるやかに減少する。曲げ抵抗に図 3 のように曲げ降伏瞬間

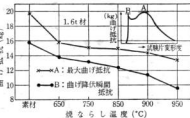


図 1 素材焼ならし温度と曲げ抵抗の関係

* 日本国金属学会中国四国支部講演大会 (1971.8月) 発表予定

** 韶佐竹製作所 生産技術課

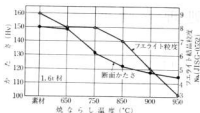


図2 素材焼ならし温度とたさおよびフェライト粒度番号の関係

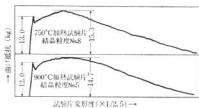


図3 曲げ抵抗の記録例

抵抗から一度低下し、ついで加工硬化現象により二次抵抗として最大曲げ抵抗を示し、以後は徐々に降伏する。曲げ降伏瞬間抵抗にくらべて、最大曲げ抵抗の減少度が小さいのはフェライト粒度の要因を超えた加工硬化現象の効果が強まるとともに大きくなっているためであると考えられる。

加熱温度650°Cから850°C附近まではフェライト粒度および硬さの低下の急激な変化は見られないが、850°Cから950°Cの加熱では急激に変化を現わしており、曲げ

抵抗の減少度は小さい。

これらのことから現在行なわれている浸炭温度850°Cで処理する場合、結晶粒度に依存した強度低下としてはとりあがる必要がなく、850°C以上の浸炭温度ではフェライト粒度の成長に問題がある。

2 材料の加熱・急冷によるバーライト混粒と強度特性

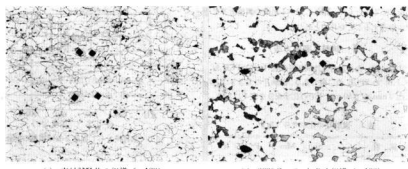
試験片1tならびに1.6tを用い、800°Cに2分保持後、水冷して、曲げ抵抗および断面かたさの関係を表2に示す。この結果は素材の曲げ抵抗ならびに断面かたさよりも800°Cの急冷試験片の曲げ抵抗およびかたさは1t、1.6t試験片とも上昇している。とくにかたさは、1.6t材が Hv 38、1t材は Hv 74 となりの上昇を示した。この增加理由は写真(a)のように素材は冷間圧延により、微小量の球状セメントタイトが存在している。この組織状態のものを加熱することにより、セメントタイトを固溶してバーライト混粒組織となり、ついで写真1(b)のように焼入により低炭素マルテンサイトになる。

表2 素材および急冷材の曲げ抵抗とかたさ

	曲げ抵抗 (σ_B) kg		かたさ (Hv)	
	素 材	急 冷 材	素 材	急 冷 材
1t 材	7.4	9.1	131	204
1.6t 材	18.7	23.7	141	184

素材フェライト粒のかたさは Hv 111 で、焼入試験片のフェライト粒のかたさは Hv 115~125、焼入試験片の低炭素マルテンサイトかたさは Hv 257 に増加している。

これらの現象は薄鋼板のプレス成形品を津炭層の強さ



(a) 素材試験片の組織 ($\times 100$)

(b) 800°C × 2 min急冷組織 ($\times 100$)

写真1 素材および急冷材の顯微鏡組織

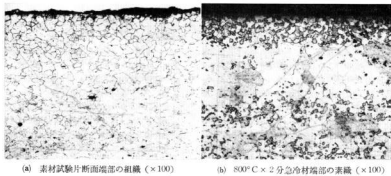
(a) 素材試験片断面端部の組織 ($\times 100$)(b) $800^{\circ}\text{C} \times 2$ 分急冷材端部の組織 ($\times 100$)

写真 2 素材および急冷材の試験片横断面端部の顕微鏡組織

を増加させることができ、強度上昇に貢献している。

つぎは写真2(a)は試験片1.6tで横断面端部の組織であり写真2(b)は同試験片を 800°C で焼入れした横断面端部の組織を示す。冷間延圧鋼板へ浸炭した組織においても写真2(b)と同様に断面端部 0.1 mm から 0.3 mm 左右程度に結晶粒度が成長している。同試験中の中央部は写真1(b)のように素材結晶粒度よりやや成長しているこの現象は材料の冷間延圧法、圧延度に関係しているのではないかと考えられ、浸炭プレス品には端部の異常成長したフェライト粒度の出現は強度的に不利であり、これについては引づいて検討する予定である。

3 浸炭焼入れ焼もどし温度と曲げおよびかたさ特性

- (1) 1t材の焼もどし温度一曲げ抵抗およびかたさの関係

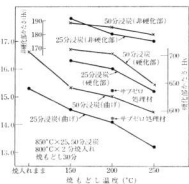
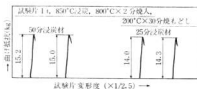


図4 1t材焼もどし温度と曲げ抵抗・かたさの関係

試験片1tについて浸炭温度 850°C 、浸炭時間25分および50分で浸炭深さを変化させた試験片により、 800°C のソルトバスで2分保持して焼入れ、各温度に30分焼もどした試験片については、曲げ抵抗および硬化部、非硬化部のかたさの関係を図4に示す。

この結果は25分および50分浸炭材とも焼もどし温度が上昇するに従って、曲げ抵抗ならびに硬化部、非硬化部のかたさは減少する。ときに 250°C 焼もどし温度に対して硬化部の硬さおよび曲げ抵抗が急激に低下するが、非硬化部のかたさは低下が小さい。また焼入れ後、 -78°C で30分サブゼロ処理した試験を 200°C で焼もどした材料は50分の浸炭材の曲げ抵抗がややサブゼロの効果を現わし、25分浸炭材ではその差はない。

つぎに焼もどし温度 300°C 試験片の曲げ抵抗記録曲線を図5に示すように引張側硬化部における曲げ応力によるクラックが入ると同時に曲げ抵抗はゼロとなる。すなわち非硬化部の塑性および曲げ圧縮側の抵抗は試験片1tにおいてはまったく示さないことがわかった。したがって1t鋼板の浸炭部品では耐摩耗としての機能はあるが、耐衝撃性および耐疲労強さとしての期待はできない。

図5 浸炭焼入れ、 200°C 焼もどしにおける曲げ抵抗の記録例

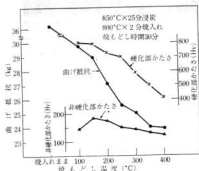


図6 1.6t材焼もどし温度と曲げ抵抗・かたさの関係

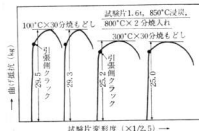


図7 浸炭焼入れ、焼もどしにおける曲げ抵抗の記録例

(2) 1.6t材の焼もどし温度-曲げ抵抗および硬さの関係

試験片1.6t材について、浸炭温度850°C、浸炭時間25分で処理した試験片を100~400°Cの各温度に焼もどした試験片の曲げ抵抗および硬化部・非硬化部のかたさの関係を図6に示した。

1t 試験片と同様に焼もどし温度が高くなると曲げ抵抗および硬化部かたさは減少する。また1.6t試験片は1t試験片にくらべて曲げ破壊機構が異なっている。すなわち曲げ応力に対して、まず引張り側の浸炭硬化層にクラックが入り、試験片は急激に変形して圧縮側浸炭硬化層の破壊で最高曲げ抵抗を示す。試験片の変形度は焼もどし温度が高いほど大きい。これらの現象は図7に示すとおりである。

1.6t試験片への浸炭調質部品は耐摩耗性のはか、耐疲労性は1t試験片にくらべてかなり期待できることが予想され、自動車部品または精米機部品としては250~300°Cに焼もどし処理することが必要である。

4 浸炭時間と曲げ強度特性

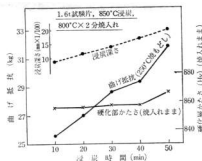


図8 浸炭時間と曲げ抵抗、かたさ、浸炭深さの関係

試験片1.6tについて、浸炭温度を850°Cに一定、浸炭時間を10~50分の各時間で浸炭し、800°C、2分の焼入れ後、250°Cで焼もどしを行ない、曲げ抵抗値、硬化部かたさおよび浸炭深さの関係を図8に示した。

工業上冷間圧延鋼板の浸炭深さは30~40分で浸炭深さ0.15~0.2 mmを目標に行なっているが、本実験では30分浸炭で0.13~0.14、50分浸炭で0.18~0.2 mmの有効浸炭深さを得ている。

焼入れ後、250°Cで焼もどした曲げ抵抗においても浸炭時間40~50分で急激に増加しており、薄鋼板の曲げ抵抗も30kg程度は必要であろう。また焼入れまでの硬化部かたさは浸炭時間10~40分までは Hv 850 附近で変らず、50分浸炭でやややかたい、Hv 870 を示した。非硬化部かたさは Hv 185~181 で、50分浸炭試験片がわずかにかたく Hv 190 である。

薄鋼板における耐摩耗性およびある程度の韌性を期待する場合は液体浸炭時間50分が必要である。

IV 結 言

冷間圧延鋼板をプレス成形し、ついで浸炭後調質して使用される部品が多く使用される傾向にある。

そこでこれらの部品の強度や耐摩耗性は処理条件、そのたの多くの影響する因子があるが、もっとも大きく影響すると思われる結晶粒度、浸炭層深さ、焼入れ焼もどし条件の影響など試験片により得た結果はつぎのように要約できる。

1 冷間圧延薄鋼板を再結晶温度以上に焼ならした場合、フェライト粒度は成長し、断面かたさおよび曲げ抵抗はかなり低下する。結晶粒度の成長は浸炭温度850°Cでは問題なく、850°C以上の浸炭では急激な成長により強度低下が推定され、薄鋼板では低温長時間浸炭が有利である。

2 冷
タイトが
変り、つ
ることか
がって薄
の強度上
3 冷
境界が
この現象
いると考
ては引
4 1
では耐摩

である。

2 冷間圧延薄鋼板を加熱すると素材の微少量セメントが固溶し、一つの粒界内がオーステナイト組織に変り、ついで焼入れによって低炭素マルテンサイトになることから、焼入れのみによって強度が上昇する。したがって薄鋼板の強度は浸炭による強度と中央の非浸炭部の強度上昇がプラスされて有利である。

3 冷間圧延薄鋼板の浸炭組織は浸炭層と非浸炭部の境界部が素材結晶粒度より、かなり成長を起している。この現象は鋼板の圧延法、圧延度、圧延素材に関係していると考えられ、強度的に不利である。この現象については引つづいて研究しなければならない。

4 1 mm 厚冷間圧延鋼板の浸炭焼入れ焼もどし部品では耐摩耗性としての機能はあるが、耐衝撃性および耐

疲れ性強さとしては、曲げ抵抗過程の分析および硬化層かたさから期待できないことがわかった。

5 1.6 mm 厚冷間圧延鋼板の浸炭焼入れ焼もどし部品では曲げ破壊機構が異なり、圧縮側浸炭硬化層の破壊で最高曲げ抵抗を示し、試験片の変形度は焼もどし温度が高いほど大きい。1.6 t 鋼板のプレス成形浸炭調質部品は耐摩耗性のほか靭性についてもかなり、その強度に期待がもたれ、自動車部品または精米機部品としては250~300°C に焼もどし処理して使用する必要がある。

6 冷間圧延鋼板の浸炭深さは浸炭温度850°C、浸炭時間50分で 0.2 mm の浸炭層が必要であると考えられる。

おわりに試料の提供をいただいたデルタ工業株式会社ならびに株式会社佐竹製作所にお礼を申上げます。

薄鋼板の特殊表面処理と曲げ抵抗*

加城 正義, 横山 宏樹, 一河 文夫**

I 緒 言

浸炭焼入処理は古くから重要な表面硬化法として用いられ、また多くの研究がある^{1,2,3)}。これらのデータは部品の形状、材質、浸炭処理条件および残留応力等それぞれ異なり、かたさや浸炭硬化層深さなどで単に各強度の比較や設計への参考にするわけにはいかない場合がある。

また他の表面硬化法の一つとして最近、韧性、および耐摩耗性の大きい、ごく薄い空化層が得られるタフトライド処理が工業化されている。おもに耐摩耗性部品に応用されているが、耐疲労性や耐食性がすぐれているという報告がある⁴⁾。

精米機部品や機械部品を薄鋼板に浸炭一調質した部品が最近多く使用される傾向がある⁵⁾。薄鋼板プレス成形品における疲れ強さをさらに改善するため、等温変態表面硬化法やタフトライド表面硬化法の利用を考えねばならない。

等温変態表面硬化法は浸炭部品の浸炭層と中央部の二つの等温変態曲線の変態時差を利用して、表面に圧縮残留応力を導入させようとする方法で、オーステンバ表面硬化法とオーステンバマルクエンチ表面硬化法の二つがある。

薄鋼板試験片によりプレス成形品の浸炭層に圧縮応力を残存させるなど等温変態表面硬化法あるいはタフトライド処理により部品の強度上昇を期待して本応用研究を計画し、疲れ強さや耐摩耗性の目安として、曲げ抵抗、かたさ、曲げ破壊までのたわみ量、変形仕事量など比較検討した結果を報告する。

II 試料と実験方法

実験に使用した供試材は冷間圧延鋼板 SPCE で、試験片の大きさは厚さ 1 および 1.6 mm、巾 3 mm、長さ 50 mm で、その化学成分を表 1 に示す。

表 1 試験片の化学成分 (%)

供試材	C	Si	Mn	P	S
1t × 3 × 50	0.07	0.01	0.35	0.008	0.024
1.6t × 3 × 50	0.07	0.01	0.40	0.016	0.028

液体浸炭温度を 850°C で一定にし、浸炭時間を 25 分 (

浸炭層 0.13~0.15 mm) より 50 分 (浸炭層 0.18~0.2 mm) のごく薄い浸炭層二種の試験片を作製した。

またすべての曲げ抵抗の測定は島津式微小万能試験機で荷重 50 kg、変形倍率 1/2.5、曲げスパン 20 mm、ポンチ曲率半径 1 mm で光テコ式記録装置により測定した。曲げ速度は 2.2 mm/min に一定し、一水準について 8 回くり返し、その平均を測定値とした。かたさについては有効浸炭硬化層の中央部三点を測定し、その平均値とした。また変形仕事量は曲げ抵抗線図をプランメーターで測定した。

オーステンバおよびオーステンバマルクエンチ処理は、浸炭試験片を 800°C 2 分鉱石バスで加熱し、ついで低温ソルトバスにより等温変態させた。

タフトライド処理については 400°C で 30 分子熱し、タフトライド処理温度 570°C で 90 分および 120 分などの処理条件で工場における処理試験片である。

III 実験結果および考察

1. オーステンバ

25 分および 50 分の浸炭試験片に 800°C で 2 分加熱後、

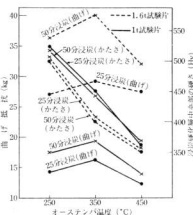


図 1 オーステンバ温度と曲げ抵抗およびかたさの関係

* 日本熱処理技術協会誌「熱処理」Vol. 11, No. 2 (1971) 123, 第 9 回かたさ標準統一に関する研究会に発表 (計量研究所)

** 株式会社 佐竹製作所 生産技術課

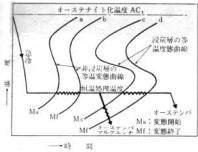


図2 等温変態表面硬化処理

各温度で1時間オーステンバ処理を行ない、曲げ抵抗および試料横断面の硬化層中央部のかたさの関係が図1である。1tおよび1.6t試験片とも 350°C 、1時間処理における曲げ抵抗が最高を示し、硬化層中央部のかたさはオーステンバ温度が高くなるにしたがって低下している。

350°C 、オーステンバで曲げ抵抗値の最大を示すのは表面硬化部かたさと非硬化部かたさとの配合と割合が適切であり、さらに表面浸炭層に最大の圧縮残留応力が存在していることが推定される。

このことは図2において、浸炭部品は浸炭硬化層と中央部の非浸炭部の二つの等温変態曲線をもっており、各温度のオーステンバで中央部の低C部が変態を起し、まだ変態を起していない表面部に引張力を与える。ついで表面浸炭部がペイナイト変態を起してさらに膨張し、最終的には表面部は応力が反転して圧縮応力が残留することとなる。

浸炭試験片25分と50分の曲げ抵抗の差は浸炭厚さの差による圧縮残留応力の大小の差であると考えられる。

写真1(a)は 350°C オーステンバ処理した試験片にお

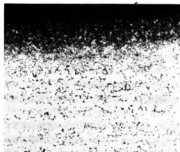
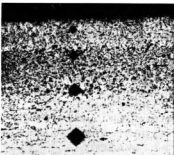
(a) 1t試験片 350°C オーステンバ、 $850^{\circ}\text{C} \times 25\text{分}$ 浸炭 ($\times 100$)(b) 1t試験片 280°C オーステンバマルクエンチ、 $850^{\circ}\text{C} \times 50\text{分}$ 浸炭 ($\times 100$)

写真1 等温変態処理の組織

ける横断面の硬化層附近の顯微鏡組織の例で、ペイナイト組織であり、組織構成も理想的である。

冷間圧延薄鋼板の浸炭焼入れ焼もどし組織は断面端0.1mmから0.3mm巾程度、急激な結晶粒の成長する現象があるが¹²⁾。等温変態硬化処理の場合にはこの現象は現われない。

2. オーステンバマルクエンチ

浸炭時間25分および50分試験片について、 800°C 、2分加熱後ただちに各温度の等温ルートパスに10分保持してオーステンバマルクエンチ処理試験片の曲げ抵抗および硬化部中央のかたさ変化を調査したのが図3である。

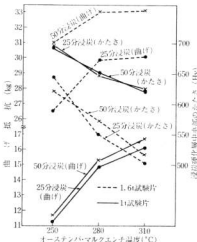


図3 オーステンバ・マルクエンチ温度と曲げ抵抗およびかたさの関係

硬化部かたさは処理温度の上昇にともない低下し、曲げ抵抗は 280°C および 310°C 附近で上昇し、各処理温度とも浸炭時間50分の試験片が $3\sim4\text{kg}$ の曲げ抵抗の増加を得た。

試験片1tはオーステンバマルクエンチ温度、 310°C が曲げ抵抗に対して強く、かたさは 310°C で最低値を示している。試験片1.6tにおいても曲げ抵抗およびかたさの傾向は1t材と同様である。

写真1(b)は試験片1t、 280°C オーステンバマルクエンチした組織例で、最外層は焼もどしマルテンサイト組織でかたさ勾配も現想的である。

オーステンバマルクエンチ表面硬化法も低温変態表面硬化法の一種でとくに小物浸炭部品に応用される。

オーステンバ表面硬化法と同様に二つの恒温変態曲線を利用して、最初に中心部にオーステン化し、ついで浸炭層に対してマルクエンチさせる方法である。

すなわち図2のように恒温保持中に中心部の低C部が変態を起してオーステン化に変態を終了させる。したがって表面部の高C部は変態の開始線がなお右側にあるので、これが変態開始しないうちに取出してマルクエンチする方法である。中心部がオーステン化で変態を完了すると膨張するので、いまだ変態を起きない浸炭層に引張力が生じ、ついで表面部がマルクエンチによってマルテンサイト化して膨張するので表面が硬化すると同時に大きいかずれ強留応力を生ずることになる。

オーステンバおよびオーステンバマルクエンチ処理とも硬化層かたさは浸炭焼入れ焼もどしと同かたさであっても曲げ抵抗が大きな値を示すのは表面圧縮応力の影響であると考えられる。

3. タフトライド処理

試験片材1.6tについて、 $400^{\circ}\text{C} \times 30分で予熱し、タフトライド処理温度 $570^{\circ}\text{C} \times 90$ 分および120分でタフトライド処理した試験片の曲げ抵抗およびかたさの結果を表2に示す。$

表2 タフトライド処理の曲げ抵抗とかたさ

試験片	曲げ抵抗 (kg)	かたさ(Hv)		
		拡散層 (0.05~0.2mm)	断面 中央部	断面
90 min	max	45.3		168.5
	min	46.0	260~232	169
		44.8		167
120 min	max	48.9		167.2
	min	49.5	262~229	168
		47.2		166

曲げ抵抗値は今までの浸炭調質、オーステンバおよ

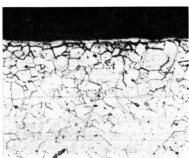


写真2 タフトライドの横断面
組織例、 $570^{\circ}\text{C} \times 120\text{min}$ ($\times 200$)

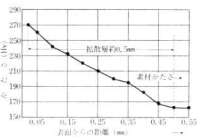


図4 タフトライド表面からのかたさ分布

びオーステンバマルクエンチ処理等よりももっとも大きな値を示した。120分タフトライド処理した横断面の頭微鏡組織の1例を写真2に示し、化合物層(表面の白い層)の厚さは約5μで、断面かたさの測定は不可能である。たゞデータあるいはオストリ当りから、かたさを推定すると Hv 800 前後である。また拡散層を組織から判定することも困難で通常素地のかたさ以上のところまでも拡散層とされており図4のように表面からのかたさ分布の測定結果から約 0.5 mm が本実験の場合の拡散層となっている。

図6における各試験片の曲げ抵抗曲線の記録例からもわかるように曲げ引張側の破壊点Aに至るまで大きいかたさを示し、ついで曲げた圧縮側の破壊点Bで二次抵抗を示す破壊機構は、たゞの処理における曲げ破壊過程より異なっている。

タフトライド処理は KCNO 32~38%, KCN 50%, Na_2CO_3 残余の配合フルトの低温度、100分前後の処理で5μ程度の硬い窒化層が得られる。処理中は幹燥空気を吹き込み、 $\text{KCN} + \text{O}_2 \rightarrow \text{KCNO}$ となり、CNO 横はただちに分解して発生したNおよびCを発生する。発生機

のNが溶解し、成されるド処理並イシング。このJ層でおれ、オーステン化角4.各間圧を比較すイド用具ンチ、燒

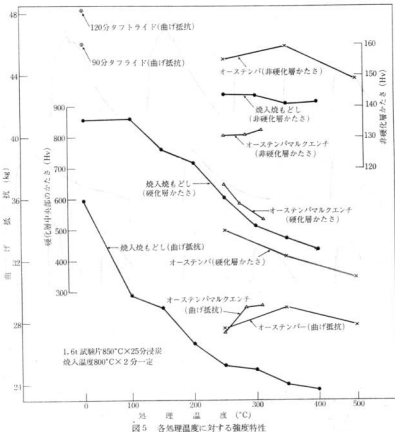


図5 各処理温度に対する強度特性

のNおよびCは鋼板表面層のフェライト (α +Fe) 中に溶解し、 $Fe_2N+Fe_3N+20\%FeC$ の硬化層が表面に形成されるといわれる⁶⁾。空気の吹込みおよびタフライド処理剤は特許となっており、本処理は日本バーカーライジング㈱広島工場で行なったものである。

このようにプレス成形あるいは試験片の表面を硬い層でおおうことにより大きな曲げ抵抗を示したと考えられ、オーステンバまたはオーステンバマルクエンチ表面硬化処理よりも有効であることがわかる。

4. 各表面硬化処理の強度の比較と曲げ抵抗曲線

冷間圧延鋼の疲労部品に対する各表面硬化処理と強度を比較すると図5のように曲げ抵抗に対してはタフライド処理、ついでオーステンバ、オーステンバマルクエンチ、焼入焼もどしの各処理試験片の順で、かたさでは

タフライド処理をのぞいてはその逆の現象を示している。タフライド処理品を別に考えた場合、かたさ、すなわち耐摩耗性をいくらかギセイにして耐疲労性、韌性からは焼入れ焼もどしよりオーステンバ硬化処理が有利であるといえる。各処理における曲げ抵抗曲線の記録例を図6に示し、これらの記録から試験片を曲げ加工に要する変形仕事量に相当するF、最高曲げ抵抗A、C、Dの試験片破壊までのたわみ量E等を測定し、各表面硬化処理の関係をみたのが図7である。

タフライド処理試験中はまことにのべたように曲げ破壊機構がたの処理試験片にくらべて異なっており、引張り側破壊までの最高曲げ抵抗、たわみおよび変形仕事量もたの処理にくらべていちじるしく大きい。

また浸炭焼入れ焼もどし試験片はたわみ量および破壊

もっとも大き
く構断面の割
合の白い
は不可能であ
らかたさを推定
組織から判定
ところでも
のかたさ分布
合の試験例と

記録例からも
まで大きな抵
抗で二次抵抗を
能過程より異

KCN 55%。
分前後の処理
中は静電空氣
CNO 程はた
する。発生機

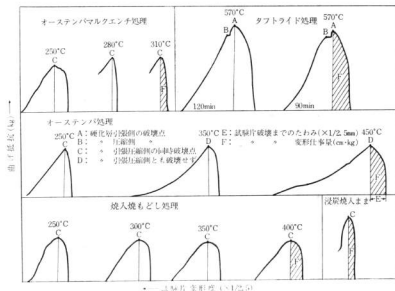


図6 曲げ抵抗曲線の例 (段階850°C × 25min, 焼入800°C × 2min)

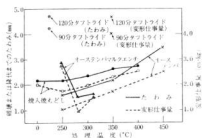


図7 各処理温度とたわみおよび変形仕事量

までの変形仕事量は焼もどし温度が高くなるにしたがって上昇しているのに対して、曲げ抵抗は図5から焼もどし温度が高くなるにしたがって急激に低下する。すなわち焼もどし温度が上昇すると曲げに対する降伏は急低下するが、たわみ量が上昇する特性をもち、耐衝撃性を発揮する。

オーステンバ处理では曲げ抵抗が350°Cで最高を示し450°Cまでの各温度ではたわみ量および変形仕事量は上昇している。350°Cおよび450°Cのオーステンバ处理試験片は他の処理にくらべてたさがもっとも低く引張り側、圧縮側とも破壊しない。

硬化層かたさ、曲げ抵抗、曲げ破壊までのたわみ量、変形仕事量から浸炭焼入れ焼もどし処理条件としては、150~200°Cの焼もどし温度が一般に適当である。オーステンバマルクエンチ処理は焼入れ焼もどし処理およびオーステンバ処理もこの条件では不利である。

IV 結 言

最近冷間圧延鋼板のプレス成形品に浸炭焼入れ処理して使用する例が多くなり、従来の浸炭調質処理よりもさらに強度を上昇させるため等温変態硬化処理としてオーステンバマルクエンチ処理、オーステンバ処理、さらにタフトライド処理試験中により、主として耐衝撃性向上について曲げ抵抗、硬化層かたさ、曲げ破壊までのたわみ量、仕事量の各方面から検討した結果、タフトライド処理がすべての点で有利である。

タフトライド処理は一般に中炭素鋼や合金鋼に有効であるといわれているが、低炭素用鋼板のプレス部品でも使用条件によっては理想的な表面硬化処理といえ、浸炭調質、オーステンバおよびオーステンバマルクエンチ硬化処理よりも耐摩耗性および剛性の点、いちばんしく有利であり、積極的に利用すべきであろう。

耐摩耗性と耐衝撃性等の使用条件を勘案し、浸炭調質処理よりもオーステンバ処理で疲れ破壊が大きく、また

焼入時
処理は
的にな
したう
おお
およ
いたれ
を中止

焼入時のひずみや割れが改善される。これらの等温硬化処理におけるデータは試験片による硬化処理実験で工業的には等温槽の温度管理、部品の大きさと形状など検討したうえで処理する必要がある。

おわりに試料の提供をいただいたデルタ工業株式会社および株式会社佐竹製作所ならびに実験の協力をいただいた株式会社日本バークリング広島工場に厚くお礼を申上げます。

文 献

- 1) 菊池、吉田：金属材料、2 (1966) 93, 3 (1966) 93.
- 2) 鮎谷：熱処理、2 (1967) 97
- 3) 寺沢：金属、4 (1969) 42
- 4) 鮎谷：金属材料、6 (1967) 26
- 5) 加城、二河：本報告13 (1971) 45
- 6) Metal Progress, 6 (1961) 118掲載スタッフレポート
　　：“Progress in Nitriding”，金属、5 (1969) 88

わみ量、
しては、
る。オー
運および

れ処理し
よりもさ
してオー
。さらに
れ性向上
でのわた
トライド

に有効で
部品でも
丸、浸炭
エンチ硬
るしく有

品質調質
く、また

薄鋼板の浸炭有効硬化層深さと 表面かたさの関係*

横山 宏樹, 石田 節, 鈴木 寛

I 緒 言

鋼の表面硬化法の一種として、浸炭焼入法が工業的に広く使用されている。一般に浸炭焼入法は機械構成部品には、JISで規定してあるはだ焼鋼が使用されているが、最近は生産コストの低減および大量生産を目的として、JISで規定していない冷間圧延鋼板をプレス加工したのち、部品の強度および耐摩耗性を向上させるため、浸炭焼入したもののが、自動車部品およびその他の小物製品に多く使用されるようになってきた。

浸炭部品の耐摩耗性および強度は、その浸炭焼入層深さに主として影響されるので、JISでは試料の断面のかたさ分布を試験荷重1kgまたは300gのピッカースかたさ試験機を用いて測定し、表面から Hv 513 (H₉₀C 50)までの深さを求めるが、またはマクロ組織により Hv 513 に相当する着色部分までの深さを求めて、有効硬化層深さを判定するように規定している。しかしこれらの測定法は、大変多くの時間および設備を必要とし、現場的な管理法に適さないので、簡易法として工場では部品の表面をロックウェル・スーパーフィシャルかたさ試験機で測定し、浸炭深さとかたさを管理している。

本研究では現場的な見地から冷間圧延鋼板を使用し、種々の条件で液体供給を行ない、浸炭深さおよびかたさ分布のことなる試料を作製し、有効硬化層深さを試料断面のかたさ分布およびマクロ組織より求め、これと試料表面から測定したロックウェル・スーパーフィシャルかたさとの関係を調べ、表面かたさを測定することによって、有効硬化層深さの推定が可能かどうか、また作業管理ができるかどうかについて求めた。

II 試料と実験方法

1. 試 料

本実験に用いた試料は表1に示すような化学成分をもつ、JIS規格の冷間圧延鋼板である。冷間圧延鋼板は分析結果によると Si が 0.1% 以下で一般に少なくリムド鋼的な材質であり、異常浸炭も生じ易い材料であるが、本実験に関してはそのような傾向はみられなかっ

た。試料の板厚は工場で浸炭部品としてよく使用されている、1, 2, 3.2 mm のものを採用し、大きさはいずれも 30×50 mmとした。

表1 試料の化学成分(%)

試料(mm)	化学成分(%)	C	Si	Mn	P	S
冷間圧延鋼板 1種	1×30×50	0.070	0.010	0.35	0.008	0.024
SPCC	2×30×50	0.040	0.010	0.30	0.009	0.011
	3.2×30×50	0.040	0.010	0.33	0.016	0.022

試料表面のあらさとかたさの関係はすでに研究され¹⁾、表面のあらさの大小はかたさ値にはほとんど無関係で、あらさがあらくなるとばらつきが大きくなる傾向になっている。本実験はあくまでも現場的な立場からの観察ゆえに、工場のかたさ測定の条件と同様に、多少のばらつきはあるが、試料の表面は研削せずに素材表面のまま(6 S程度)で実験を行なった。なお試料のあらさが浸炭前と浸炭処理後においていかほどの差があると認められるかあらさ計で測定してみたが、ほとんど差はみられなかっ

2. 実験方法

試料の液体浸炭および焼入れは表2に示すような条件で、各試料とも3個の試料を作成した。とくに浸炭層の深い試料を作るために、3.2 mm板に限り、浸炭温度850°Cで浸炭時間2, 3, 4時間の試料を作った。液体浸炭剤には万世化学工業株式会社製のTIC 60を使用し

表2 試料の熱処理条件

熱処理	液体浸炭条件	焼入条件
加熱温度(°C)	800, 850, 920	800
保持時間(min)	5, 10, 15, 30, 60	116(1mm), 194(2mm), 2(3.2mm) 保持後24°Cの5%食塩水中に焼入
冷却法	保持後空冷	

*昭和44年度技術開発研究費補助金による研究で。

1971年2月日本金属学会中国四国講演大会に発表。

焼入れに使用したソルトは $\text{BaCl}_2 + \text{NaCl}$ である。液体浸炭後は空冷し、その後 800°C の焼入用ノルトで再加熱し 5% 食塩水中 (24°C) に焼入れたのち、 100°C の温水で 1 時間の焼もどしを行なった。この試料の断面かたさ分布は、ピッカースかたさ試験機（荷重 50 g）で測定し、つぎに断面の浸炭組織より有効硬化層深さの検出を行ない。最後に試料表面のかたさをロックウェル・スープラーフィッシュかたさ試験機で 15-N, 30-N, 45-N の各測定を行なって、有効硬化層深さと表面かたさの関係を求めた。

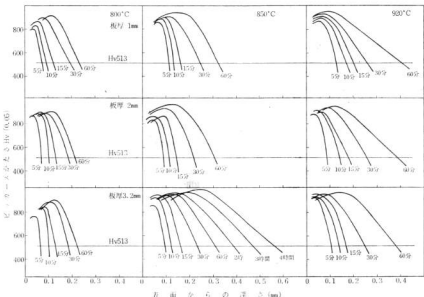


図1 各試料のかたさ分布曲線

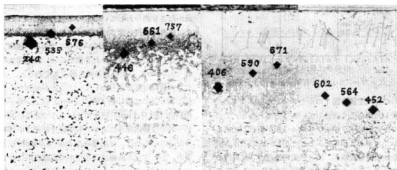


写真1 浸炭組織とかたさの関係 ($\times 100$)

Hv(0.3)

■ 実験結果および考察

1. 試料断面のかたさ分布

試料断面のかたさ分布は本実験のような浅い浸炭層では、JIS に規定してある荷重 1 kg または 300 g のような大きな荷重では、十分なかたさの分布が得られない。荷重を 50 g として測定を行なった。その結果は図1 に示してある。有効硬化層深さは Hv 513 の横標と各浸炭時間における測定曲線との交点であらわされている。

たとえば 920°C で 60 分間浸炭したものであれば板厚 1 mm で 0.41 mm、板厚 2 mm で 0.39 mm、板厚 3.2 mm で 0.38 mm の有効硬化層深さがある。有効硬化層深さは浸炭温度が高いほど深くなり、また浸炭時間が長くなるほど深くなっているが、板厚が厚くなると浸炭深さはやや浅くなる傾向が認められる。さらに焼時間の浸炭ほど写真 1 に示すように、マルテンサイト相とフェライト析出相の境がはっきりしていて、かたさ分布曲線は急であるが、長時間の浸炭では傾斜がゆるやかになっていると同時に、最高かたさは表面から相当離れた部分に存在する。これは表面附近に ϵ 相が存在するかまたは過共析による残留オーステナイトが残存しているものと思われる。

2. 断面組織による有効硬化層深さ

前項の方法で有効硬化層深さを求めるには非常に労力および時間を要することと、JIS による $H_V(0.3)$ の測定が困難なため、試料の断面の組織により有効硬化層深さを求めた。写真 1 に示すようにマルテンサイト均一相からフェライト相が析出し始める点をはさんで、その両側をビッカースカタ試験機（荷重 300 g）で測定し、測定点を直線で結び、 $H_V 513$ の線と交わる点から有効硬化層深さを求めたのが図 2 である。たとえば板厚 1 mm のものを 920°C で 60 分間浸炭したものの測定値は表面より 0.38 mm のところで $H_V 550$ 、0.45 mm のところで $H_V 450$ 、この 2 点を直線で結び $H_V 513$ の横線との交点は 0.41 mm となり、有効硬化層である。

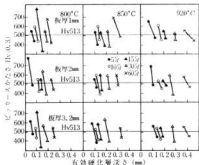


図 2 ビッカースカタと有効硬化層深さの関係

これらの各測定値を図 1 のかたさ分布曲線より求めた値と比較した場合よく合致していることがわかる。このようにマルテンサイト相にフェライト相が析出し始める附近のかたさが $H_V 513$ であることが知られたので、各試料の顯微鏡組織を観察し、同一熱処理条件の 3 試料内の 3 点、計 9 点の有効硬化層深さを測定し、信頼度 95% で深さの信頼限界を求めた。²⁾ この結果が図 3 で

ある。各試料の浸炭深さを測定した場合、その他の 95% まではこの範囲にはいり、横線の長さが長いほどばらつきが大きいことを意味し、短いほどばらつきは小さい。

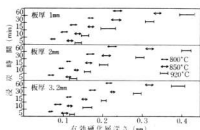


図 3 浸炭時間と有効硬化層深さの関係

また温度が高くなるほど、浸炭時間が長いほどばらつきは大きくなる傾向を示している。これは浸炭層が厚くなるにしたがって境界部が自然としないため、ばらつきが大きくなるものと思われる。一般に浸炭深さは 0.1 mm 単位以上で指定されることが多いが、同図の信頼限界すなわち測定値の分布は、ばらつきの大きいものでも 0.05 mm 程度にある。したがって本方法は比較的精度も高く、かたさ分布曲線より求める方法にくらべ、簡単で容易に実用できることが知れた。

3. 表面かたさと有効硬化層深さの関係

試料の表面かたさと有効硬化層深さの関係を求めるため、同一熱処理条件 3 試料、1 試料内に 3 点計 9 点の表面かたさをロックウェル・スーパーフィシャルかたさ試験機の 15-N、30-N、45-N かたさで測定し、そのかたさの平均値と前項で求めた有効硬化層深さの平均値との関係を示したのが図 4 である。いずれの場合においても有効硬化層深さがある値までは深くなるにつれて表面かたさは上っているが、それ以上になるとかたさ値は同一の値となり曲線は水平となる。水平部のかたさは表面かたさをあらわしているものと思われ黒九印をついた。白丸印は押込深さに対し、浸炭深さが浅いため表面かたさが歎かくあらわれているものである。同図より押込深さの浅い 15-N のかたさ測定では、押込深さの約 20 倍 (0.2 mm) 以上の有効硬化層深さであると、表面かたさの最高附近をあらわしていることが知れた。これに対し 30-N では約 15 倍 (約 0.3 mm) 以上、45-N では約 14 倍 (約 0.4 mm) 以上でよいようである。30-N、45-N では押込深さに対し、有効硬化層深さの倍率が低くなっているのは、浸炭層の深さが 0.3 mm 以上になると、かたさ分布曲線はゆるやかで内部のかたさが高いことが原因と思われる。また有効硬化層深さが所定の倍率以下の場合 (白丸) において表面かたさがわかれれば、

各曲
知る
ロット
0.2
層深さ
では能
以上で
SPO
般に
らかし
深さを
45-N
ぐと深
れかで
ること

本研
1.
線の傾
ど、急

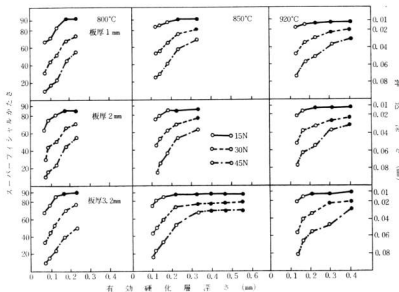


図4 有効硬化層深さと表面かたさの関係

各曲線の交点から浸炭温度に関係なく逆に有効硬化層深さを知ることができる。たとえば15-Nで測定したときに、ロックウェル・スーパーフィシャルかたさが50あれば約0.2 mm以上、80あれば約0.1 mm以上の有効硬化層深さを有しており45-Nの測定であれば、かたさが70では約0.4 mm以上、かたさが40あれば約0.18 mm以上の有効硬化層深さを有していることがわかる。

SPCC材の浸炭部品に要求される有効硬化層深さは一般的に0.3 mm以下の場合が多いので、以上の結果からあらかじめかたさ分布法または組織法によって有効硬化層深さを求める。さらに試料表面のかたさを15-N, 30-N, 45-Nかたさで測定し図4のような関係図を製作しておくと部品の表面かたさを15-N, 30-N, 45-Nのいずれかで測定することによって、有効硬化層深さを推察することができる。

IV 結 言

本研究によりつぎのことがわかった。

1) 液体浸炭を行なった冷間圧延鋼板のかたさ分布曲線の傾斜は浸炭時間が短いほど、また浸炭温度が低いほど、急に傾斜している。

2) 浸炭有効硬化層深さを求めるにはかたさ分布法によるよりも組織より求めるほうが作業が容易であり相当な精度もある。

3) ロックウェル・スーパーフィシャルかたさ試験機で浸炭部品の表面かたさを15-N, 30-N, 45-Nで測定し、この測定値と部品の有効硬化層深さの関係図を求めておくと、浸炭層深さ0.4 mm以下の場合には浸炭部品の有効硬化層深さをある程度推察することができる。

本研究の結果、表面かたさの測定によって有効硬化層深さが容易に推察できるので、作業管理の能率向上に役立つものと思われる。関連企業の利用が望まれる。

終りに本実験を行なうにあたり、試料の提供をいただいたデルタ工業株式会社に心からお礼を申し上げます。

文 献

- 吉沢：かたさ試験法とその応用 黄華房 (1967) 84.
- 中井、池沢：品質管理と工場統計 日本文化興業株式会社 (1964).

含有炭素量のちがいによるかたさ換算*

苅山信行, 石田節
横山宏樹, 新田明

I 緒言

耐摩耗性が要求される機械構成部品、工具、刃物などは一般に0.5~1.5%の広範囲な炭素量を含有する種々な鋼種が使用されていて、これらの製品のかたさは普通ロックウェルかたさ H_RC で測定されることが多い。しかし製品の大きさ、形状、厚さ、表面状態などによりロックウェルかたさ試験機では測定が不可能な場合、他のかたさ試験機を使用しなければならないことが工場ではしばしばみうけられる。県下の中小企業で製造されている、やすり、針、板ばね、刃物、工具などの小物製品では、ロックウェルかたさ試験機 (H_RA, 15-N) またはビッカースかたさ試験機 (H_V) で測定し、ロックウェル C スケール (H_RC) に換算することが多い。この場合、

ASTM, SAE, DIN などいろいろな換算表があるが、この換算表はどのような金属材料を使用し、そしてどのような測定条件のもとでつくられたものか、などの点が問題になる。そこでかたさの測定条件を一定にして、H_RC 50~65までのかたさと H_RA, 15-N, H_V かたさの換算関係を求めるとともに、含有炭素量のちがいがこれらのかたさ換算にいかに影響を与えるかを求めるために本研究を行なった。

II 試料と実験方法

1. 試料

試料の素材は表1に示すような化学成分をもつ JIS 规格の S50C, SK6, SKS8 の三種類の鋼材を使用した。

表1 試料の化学成分(%)

鋼種	C	Si	Mn	P	S	Ni	Cr	Cu	
合金工具鋼 S 8 種	SKS8	1.40	0.14	0.23	0.012	0.023	0.03	0.48	0.10
炭素工具鋼 6 種	SK6	0.74	0.27	0.37	0.012	0.011	0.03	0.00	0.04
機械構造用炭素鋼鋼材	S50C	0.47	0.23	0.70	0.015	0.019	0.02	0.00	0.05

これらの試料は Cr を含有している SKS8 のほかは焼入性が悪いので、表2に示すような厚さの薄い試験片に統一した。

表2 試料の形状

鋼種	SKS8	SK6	S50C
試料寸法(mm)	48×20×3.9	48×20×4.7	48×20×4.2

また試料の標準組織は、写真1に示すように過共析鋼の S50C はフェライトとバーライトの混合組織、共析鋼の SK6 はバーライト組織、過共析鋼の SKS8 はバーライト中に網状炭化物が混在している組織であり、組織的にはまったく異なっている。これらの試料は焼入前に一般に炭化物を球状化組織にするため、写真1に示すような組織に調質した。

試料の加熱はソルトバスにより、S50C は 810°C、

SK6 および SKS8 は 795°C に 3 分間加熱保持したのも、5% 食塩水 (22~27°C) 中に急冷した。試料の焼入組織は写真1に示すように S50C, SK6 はマルテンサイト組織、SKS8 はマルテンサイト組織に微細な球状炭化物が分布している組織である。つぎに焼入した試料を低温ソルトバスで図1に示すような各温度で 1 時間焼もどしを行なった。試料の焼もどし温度とかたさの関係は図1のとおりで、焼もどし抵抗は S50C が最も低く、炭素量が多く Cr を含有している SKS8 が最も高い。

熱処理後、試料の表面をエメリーペーパーで仕上げ、つぎにバフ仕上げにより試料表面のあらさを 0.4 S 程度にした。試料の表面のかたさを予備実験で測定したところ、一試料内で H_RC 0.5 以上のかたさのバラツキがあつたので全試料の表面の顯微鏡組織を検査すると、写真

* 昭和44年度技術開発研究費補助金による高硬度材料におけるかたさ換算の研究で昭和45年広島、名古屋、長野で発表

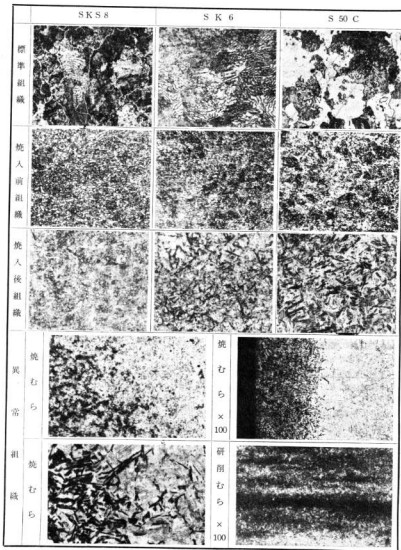


写真1 試料の顕微鏡組織

(×400)

1に示すように試料の表面から約0.05mmの深さまで焼きむらによる異常組織が数多くみつけられた。この異常組織を取り除くため、全試料の表面を約0.1mm研削したのも前述のような表面仕上げを行なった。試料表面の

研削が比較的強烈になると、同写真に示すような研削焼もどしをうけ、試料内のかたさのバラツキが大きくなるので研削加工はとくに注意深く行なった。

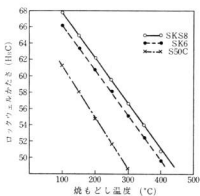


図1 焼もどし温度とかたさの関係

2. 実験方法

H_{RC} , H_{RA} , 15-N のかたさ測定には十分管理している計量研磨万能基準かたさ試験機, H_V のかたさの測定には明石製 AVK 型マイクロメータ式計測顕微鏡付のピッカースかたさ試験機を使用した。かたさの測定の規格は表3, 条件は表4に示すとおりである。試料の測定は S50C, SK 6, SKS 8 の試料41個をランダムな順序で、また1試料内の三区画の測定順序もランダムな順序で行な

表3 かたさ測定の規格

試料の 材 質	かたさの段階 H_{RC}	試料反復 試料の個数 の 区画回数		かたさの 種 類
		各段階 3 個	各段階 1 個	
SKS8	50, 55, 60, 65	各段階 3 個		H_{RC} , H_{RA}
SK 6	52.5, 57.5, 62.5	各段階 1 個		
S50C	50, 55, 60	各段階 3 個	3	15-N, $H_V(30)$
	52.5, 57.5	各段階 1 個		

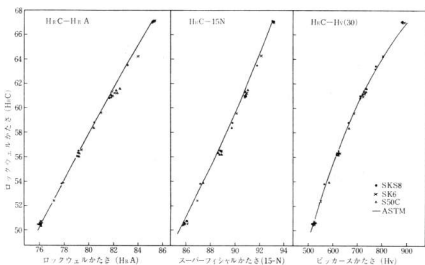
表4 かたさ測定の条件

測定条件	かたさの種類			
	H_{RC}	H_{RA}	15-N	$H_V(30)$
負荷時間 (sec)	10	10	10	10
保持時間 (sec)	10	10	10	15

った。第1回測定より2日間の後に、第2回目の測定を1回と同様にランダムに行なった。

■ 結 果

前節で行なったかたさ測定により、反復2回のかたさ測定値 (\bar{H}_c) の平均値をプロットして各かたさ間の関係を求めたものが図2である。同図によれば、炭素量のちがいによる換算関係はやや異なるようにみうけられるが明確でない。なお参考のために ASTM の換算曲線を実線で記入した。

図2 H_{RC} かたさと H_{RA} , 15-N, H_V かたさの関係

IV 解析と考察

前節のように、実測値の平均値をプロットしたのでは誤差量のちがいによるかたさの換算関係が明確でないのと、精度の高い換算関係を求めるために最小二乗法を直交多項式の形で用いたのが手順によって行なった。

普通の最小二乗法は多项式の場合

$$y = a_0 + a_1 x + a_2 x^2 + \dots + a_n x^n \quad \dots \dots (1)$$

この式を用いて、 x と y の測定データから a_j を決定するがこれは労力が大変なことと、 n (試料)の大きさが異なる場合最初から計算をやり直さなければならない。そこで直交多項式を用いれば便利である。 y を

$$y = A_1 P_1(x) + A_2 P_2(x) + \dots + A_n P_n(x) \quad \dots \dots (2)$$

の形に書けるものと仮定する。 $P_1(x)$ は x にかかるわらず常に1とし、 $P_2(x)$ は x の1次式、 $P_j(x)$ は x の $j-1$ 次式であるとし、 A_1, A_2, \dots, A_n はそれぞれ係数(定数)とする。

最小二乗法は残差二乗和(SE)

$$SE = \sum_{i=1}^n (y_i - A_1 P_1(x_i) - \dots - A_n P_n(x_i))^2 \quad \dots \dots (3)$$

を最小にする A_j (A_1, A_2, \dots, A_n)をそれぞれ求めることである。

計算の手順として

1. 多項式の次数の決定

$P_j(x)$ すなはち多項式の次数を求める。これは、 $P_1(x)=1$

$$P_2(x) = x - C_2 \quad (C_2 = \bar{x} = \frac{1}{m} \sum_{i=1}^m x_i)$$

とし、 j が2より大きい $P_j(x)$ は

$$P_j(x) = (x - C_j) P_{j-1}(x) - D_j P_{j-2}(x) \quad \dots \dots (4)$$

とおいて、 C_j, D_j を決定する。すなはち

$$C_j = \sum_{i=1}^m x_i P_{j-1}(x_i)^2 / \sum_{i=1}^m P_{j-1}(x_i)^2$$

$$D_j = \sum_{i=1}^m x_i P_{j-1}(x_i) P_{j-2}(x_i) / \sum_{i=1}^m P_{j-2}(x_i)^2$$

となる。これによって必要な次数まで、 $P_3(x), P_4(x)$ と求めてゆけばよい。

2. 多項式の各次数の係数決定

最小二乗法では、 SE の最小値を求めるために(3)式を各 A_j で微分して0になる A_j の解を求める。まず(3)式を開発すると

$$\begin{aligned} SE &= \sum_{i=1}^m (y_i^2 + A_1^2 P_1(x_i)^2 + A_2^2 P_2(x_i)^2 + \dots \\ &\quad + A_n^2 P_n(x_i)^2 + 2A_1 A_1 P_1(x_i) \times A_2 P_2(x_i) \\ &\quad + 2A_1 A_2 P_1(x_i) \times A_3 P_3(x_i) + \dots + 2A_{n-1} A_n P_{n-1}(x_i) \\ &\quad - 2y_i (A_1 P_1(x_i) + A_2 P_2(x_i) + \dots + A_n P_n(x_i))) \quad \dots \dots (5) \end{aligned}$$

となる。これは $P_j(x)$ が互に直交していることにより、 $\sum_{i=1}^m A_1 P_1(x_i) \cdot A_2 P_2(x_i)$ などの項がすべて0になる。

(5)式 j 項で微分すれば

$$2A_j \sum_{i=1}^m P_j(x_i) - 2 \sum_{i=1}^m y_i P_j(x_i) \quad \dots \dots (6)$$

となり他の項は消えてしまう。したがって、最小二乗法により(6)式を0とおくと

$$A_j = \sum_{i=1}^m y_i P_j(x_i) / \sum_{i=1}^m P_j(x_i)^2 \quad \dots \dots (7)$$

となる。例えば $j=2$ のとき

$$A_2 = \sum_{i=1}^m y_i P_2(x_i) / \sum_{i=1}^m P_2(x_i)^2 \quad \dots \dots (8)$$

となり計算することができる。以下 A_3, A_4, \dots と求めることができる。

3. 各次数の効果

各次数の効果、すなはち分散分析の手法により何回次まで有意であるかを決定する。(7)式を $\sum_{i=1}^m y_i P_j(x_i) = A_j \sum_{i=1}^m P_j^2(x_i)$ としてこれを(5)式に代入する

$$SE = \sum_{i=1}^m (y_i^2 - A_1^2 P_1(x_i)^2 - A_2^2 P_2(x_i)^2 - \dots -$$

$$A_n^2 P_n(x_i)^2) = \sum_{i=1}^m y_i^2 - \sum_{i=1}^m A_j^2 \sum_{i=1}^m P_i(x_i)^2 \quad \dots \dots (9)$$

(9)式の第2項は、分散分析のとき各次数の効果を表す二乗和として使うことができる。

それらの自由度はそれぞれ1であり、 SE の自由度は $m-n$ となる。直交多項式では何回次まで有意かを統計的に検定してきめる。この分散分析では検定するより高次の項の効果をプールするから、 $j=1$ から順番に全平方和 $ST(\sum y_i^2)$ より各次数の効果を差し引いて、 SE に番号をつけておき対応する効果(S_j)を検定する。

第 j 項の効果 S_j は

$$S_j = A_j^2 \sum_{i=1}^m P_j(x_i)^2 = (\sum_{i=1}^m y_i P_j(x_i))^2 / \sum_{i=1}^m P_j(x_i)^2$$

$$SE_j = SE_{j-1} - S_j$$

$$ST = SE_0 = \sum_{i=1}^m y_i^2$$

となる。例えば

$$S_1 = (\sum_{i=1}^m y_i P_1(x_i))^2 / \sum_{i=1}^m P_1(x_i)^2$$

$$SE_1 = ST - S_1$$

$$VE_1 = SE_1 / \phi \quad (\text{自由度})$$

$$S_2 = (\sum_{i=1}^m y_i P_2(x_i))^2 / \sum_{i=1}^m P_2(x_i)^2$$

$$SE_2 = SE_1 - S_2$$

$$VE_2 = SE_2 / \phi - 1$$

F比は

$$F_1 = S_1 / V E_1, \quad F_2 = S_2 / V E_2$$

となりこれを自由度 1 と $n-j$ ($j=1, 2, \dots, n$) の F 分布を用いて検定する。

表 5 は前記手順により求めた SK 6 の $HgC-HgA$ の分散分析表である。同表より、 j は 3 項で有意になっておりこの換算方程式は 2 次式まで求めればよいこと

表 5 $HgC-HgA$ 分散分析表

J	AJ	SJ	SEJ	J	VEJ	F_0
$ST = 52484.95$						
1	58.86	51968.67	516.28	14	36.88	1409.25
2	1.77		516.04	0.24	13	0.018
3	-0.0099		0.13	0.103	12	0.0086
4	-0.00076	0.0033	0.100	11	0.0091	0.36

になり、 $C_j D_j$ より $P_1(x)$, $P_2(x)$, $P_3(x)$ まで求め、これを(2)式に代入して展開すると

$$y = 0.009925813x^2 + 3.37195x - 148.5155$$

となる。同様に SK 6 の $HgC-15N$, $HgC-HgV$ の換算方程式はそれぞれ

$$y = 0.005287988x^2 - 7.160708x + 275.2911$$

$$y = -0.0000418091x^2 + 0.104975x + 7.227317$$

となる。つぎに、測定データ全体から定めた換算曲線から個々の測定値の偏差を新たにデータとして、分散分析を行ない表 6 のような結果を得た。同表より炭素量間に

表 6 換算方程式より求めた分散分析表

要 因	HgA	$15-N$	HgV
R (反覆)	* *	* *	* *
A (炭素量)	* *	* *	* *
B (かたさの段階)			* *
A × B		* *	* *

有意差 1% があるので SKS 8, S50C の $HgC-HgA$, $HgC-15N$, $HgC-HgV$ についてさらに直交多項式による回帰分析を行なって、表 7 に示すような各々の換算方程式を求めた。これらの方程式の x に HgA (75.0~86.0), 15-N (85.0~94.0), HgV (500~900) の値を代入して、 y すなはち HgC の値を求め表 8 にこれらの換算関係を示した。

表 7 かたさの換算方程式

		炭素量のちがいによる換算方程式
$HgC-HgA$	SKS 8	$y = -126.6361 + 2.841853x - 0.006651174x^2$
	S K 6	$y = -148.5155 + 3.37195x - 0.009925813x^2$
	S50 C	$y = -84.46444 + 1.776528x$
$HgC-15N$	SKS 8	$y = -8468.996 + 286.567x - 3.233719x^2 + 0.01225009x^3$
	S K 6	$y = 275.2911 - 7.160708x + 0.104975x^2$
	S50 C	$y = -52562.4 + 1782.253x - 20.14201x^2 + 0.0759517x^3$
$HgC-HgV$	SKS 8	$y = 8.688703 + 0.1023956x - 0.00004073645x^2$
	S K 6	$y = 7.227317 + 0.104975x - 0.0000418091x^2$
	S50 C	$y = -0.4281338 + 0.1282131x - 0.00005941953x^2$

方程式の使用範囲 SKS 8, SK 6: HgC 50~67
S50C: HgC 50~61

これらの換算式の x に実測の HgA , 15-N, HgV 値を代入して求めた計算値の HgC を、実測の HgC から差し引いた値をプロットしたのが図 3 および図 4 の黒丸で

ある。図中の実線は ASTM 換算値から換算式より求めた計算値を差し引いた値であり、点線は計算値の 95% 信頼限界である。

75
77
79
81
83
85
87
89
91
93
95
97
99
100

SKS 8
S K 6
S50 C
HgC 75
算用関
15-N
きくな
表 8
の SKS
の差は
と 15-
と SK
はかた
限界方
式によ
べ SK

表8 かたさの換算方程式により求めた換算表

HgA	HgC				15-N	HgC				Hv 50	HgC			
	SKS8	SK6	S50C	ASTM		SKS8	SK6	S50C	ASTM		SKS8	SK6	S50C	ASTM
75.0	48.8	48.5	48.8	48.5	85.0	48.7	48.7	46.9	49.0	500	49.7	49.3	48.8	49.1
75.5	49.7	49.5	49.7	49.5	85.5	49.8	49.6	48.9	50.0	520	50.9	50.5	50.2	50.5
76.0	50.6	50.4	50.6	50.3	86.0	50.9	50.6	50.5	51.2	540	52.1	51.7	51.5	51.7
76.5	51.5	51.4	51.4	51.4	86.5	52.0	51.6	51.9	52.2	560	53.2	52.9	52.7	53.0
77.0	52.5	52.3	52.3	52.3	87.0	53.0	52.6	53.1	53.2	580	54.4	54.0	53.9	54.1
77.5	53.4	53.2	53.2	53.2	87.5	54.1	53.6	54.1	54.1	600	55.5	55.2	55.1	55.2
78.0	54.3	54.1	54.1	54.0	88.0	55.1	54.7	55.0	55.2	620	56.5	56.2	56.2	56.3
78.5	55.2	55.0	55.0	55.0	88.5	56.1	55.7	55.9	56.3	640	57.5	57.3	57.3	57.3
79.0	56.1	55.9	55.9	55.9	89.0	57.1	56.9	56.8	57.2	660	58.5	58.3	58.3	58.3
79.5	57.0	56.8	56.8	56.9	89.5	58.2	58.0	57.7	58.4	680	59.5	59.3	59.3	59.2
80.0	57.8	57.7	57.7	57.8	90.0	59.2	59.2	58.8	59.5	700	60.4	60.2	60.2	60.1
80.5	58.7	58.6	58.5	58.7	90.5	60.3	60.3	60.1	60.6	720	61.3	61.1	61.1	61.0
81.0	59.6	59.5	59.4	59.6	91.0	61.5	61.6	61.6	61.8	740	62.1	62.0	61.9	61.8
81.5	60.5	60.4	60.3	60.5	91.5	62.7	62.8	63.2	63.2	760	63.0	62.9	62.5	62.5
82.0	61.4	61.2	61.2	61.4	92.0	64.0	64.1	64.5	64.5	780	63.8	63.7	63.3	63.3
82.5	62.2	62.1	62.3	62.5	92.5	65.3	65.4	65.9	65.9	800	64.5	64.5	64.0	64.0
83.0	63.1	63.0	63.3	63.0	93.0	66.7	66.7	67.3	67.3	820	65.2	65.2	64.7	64.7
83.5	64.0	63.8	64.2	63.5	93.5	68.3	68.1			840	65.9	65.9	65.3	65.3
84.0	64.8	64.7	65.2	94.0	69.9	69.4				860	66.6	66.6	65.9	65.9
84.5	65.7	65.5	66.0							880	67.2	67.2	66.4	66.4
85.0	66.6	66.4	67.0							900	67.8	67.8	67.0	67.0
85.5	67.4	67.2	67.8											
86.0	68.3	68.1												

図3および図4によると HgC 50 以上のかたさでは、SKS8, SK6 の HgC と HvA, Hv の換算関係および S50C の HgC と HvA の換算関係の信頼限界は、信頼度95%で約 HgC ± 0.1 以上となって非常によいが、S50C の HgC と Hv および SKS8, SK6 の HgC と 15-N の換算関係では HgC ± 0.2 となっており、S50C の HgC と 15-N の換算関係では HvC ± 0.4 となり信頼限界は大きくなっている。

表8および図3、図4の結果を総合すると HvC と HvA の SKS8, SK6, S50C 各々の換算方程式より求めた HgC の差は 0.2 を少なく、95%信頼限界も ± 0.1 とよい。HgC と 15-N の 3つの換算方程式による HgC の値は、SKS8 と SK6 の差は 0.3 ～ 0.4 とあまり大きくないが、S50C はかたさの低い HvN 85 附近では 1.4 と大きく、95%信頼限界も ± 0.2 ～ 0.4 と大きい。HgC と Hv の 3つの換算方程式による HgC の値は、Hv 500 以下では SKS8 にくらべ SK6 は 0.3 ～ 0.1 と低く、S50C は 0.6 ～ 0.8 と低く

なっており、95%信頼限界は SKS8, SK6 は ± 0.1 であり、S50C は ± 0.2 である。また各換算式より求めた値と、ASTM の値との差を求めてみたが、ASTM の換算表の測定条件が明確でないので参考値として考えたい。

以上の結果より、HgC と 15-N の換算関係で換算式の信頼限界が大きくなっていることは、15-N の測定ではダイヤモンド压子の押込み深さが 15 μ 以下と非常に浅く、かたさの測定が压子の先端の球面で行なわれていることが原因の一つとして考えられる。また炭素量の低い S50C の各換算方程式の95%信頼限界がとくに大きくなっていることは、S50C の焼入性の悪いことが影響していると思われる。また試料の含有炭素量が異なることにより、かたさの換算関係がやや変化することは、マルテンサイト中の含有炭素量および残留炭化物、残留オーステナイトが影響しているように思われ、さらに焼入性の差も影響していると思われる。

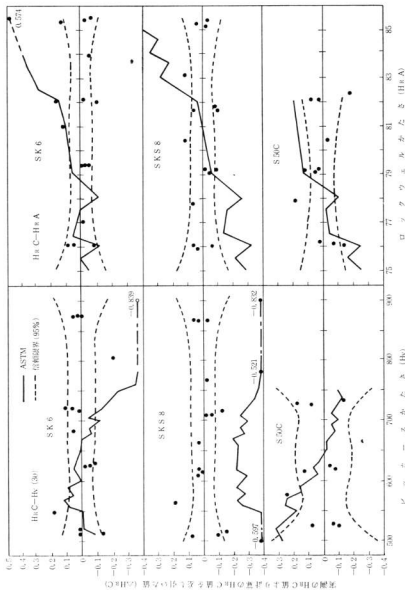


図3 実測値と方程式より求めた計算値の差および95%信頼限界

本報
61のか
たさの
差が相
まわな
2.
%信頼
および
~0.4

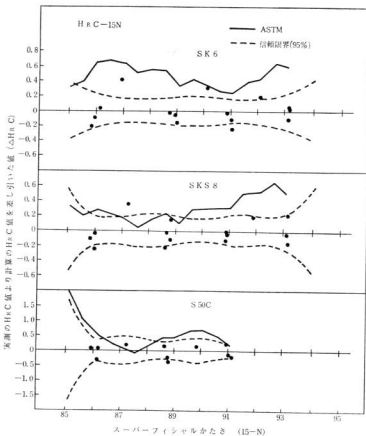


図4 実測値と方程式より求めた計算値の差および95%信頼限界

V 結 言

本研究を要約するとつぎのようになる。

1. SKS8, SK6 の H_{RC} 50~67, S50C の H_{RC} 50~64のかたさの範囲内では、その炭素含有量の差によりかたさの換算関係はやや変化する。しかし H_{RC} 1程度の差が問題にならない場合にはこれらの差を無視してもかまわない。

2. H_{RC} と H_{RA} および H_{RC} と H_V の換算方程式の95%信頼限界は $H_{RA} \pm 0.1 \sim 0.2$ と小さく、 H_{RC} と 15-N および S50C の換算方程式の95%信頼限界は $H_{RA} \pm 0.2 \sim 0.4$ とやや大きいが各換算方程式は実用には差しつか

えないと考えられる。

3. ASTM 換算関係とはやや異なる。

本研究で求めた換算表は製品の H_{RA} , 15-N, H_V の実測値より H_{RC} かたさを推察する場合に適し、また一般にかたさ測定はかたさ試験機の精度、測定条件、測定規模によりかたさ値は相当変化し、換算関係も変化すると思われる所以換算表を実用するにあたってはこれらのことに十分注意する必要がある。

終りに本研究を行なうにあたり、御指導、助言をいただいた計量研究所の飯塚幸三、矢野宏尚課長、後藤光夫技官ならびにかたさ研究室の皆様に深く感謝します。

高炭素鋼の熱処理組織差によるかたさ換算*

刈山信行, 石田一節, 横山宏樹
新田明, 加城正義

I 緒 言

工具および刃物は切削、耐摩耗性が要求されるので一般に高炭素鋼が使用されている。その組織は、微細炭化物が均一に分布しているマルテンサイト地がよい。しかし中小企業では、不完全な熱処理によりマルテンサイト地に網状炭化物が残っているもの、または高温焼入により粗大なマルテンサイトに残留オーステナイトが残って

いる製品がしばしばみられる。これらの熱処理組織差が、 H_{RC} と H_{RA} , $15-N$, H_V のかたさ換算にいかに影響を与えるかを求めるために本研究を行なった。

II 試料と実験方法

1. 試 料

試料の素材は表1に示すような化学成分をもつJIS規格のSK2に相当する鋼材を使用した。試料の形状は外

表1 試料の化学成分(%)

鋼種	種	C	Si	Mn	P	S	Ni	Cr	Cu
炭素工具鋼	SK2	1.25	0.21	0.50	0.024	0.023	0.04	0.00	0.08

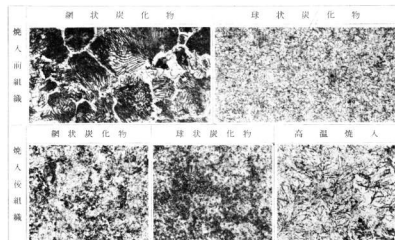


写真1 試料の顕微鏡組織 ($\times 400$)

径35mm、内径9mm、厚さ10mmのリング状のものとした。この素材を使用して焼入組織が異なる試料を作成するため、表2に示す熱処理により写真1のような網状および球状炭化物の2種類の素材組織に調質し、つぎにこれらの試料をソルトバスで加熱し表3に示す焼入条件により焼入組織のある3種類の試料を作成した。写真1はこれらの組織を示している。この焼入試料をソル

トバスで各温度に1時間焼もどしを行なって、 H_{RC} 50～60の範囲で計33個の試料を製作した。試料の焼もどし温度とかたさの関係は表4に示すように、前報¹²のSKS8の焼もどし曲線とよく似ている。試料表面の仕

* 昭和44年度技術開発研究費補助金による高硬度材料におけるかたさ換算の研究で昭和45年弘島、名古屋、長野で発表。

表2 素材の調質条件

素材番号	焼入前の処理	組成
No.1	900°C 20min 保持→水冷 700°C 90min 保持→炉冷	球状炭化物
No.2	950°C 20min 保持→炉冷	網状炭化物+バーライト

表3 試料の焼入条件

組織番号	素材	焼入条件	焼入後の組織
1	No.1	780°C 3min 保持→水冷	マルテンサイト+残留球状炭化物
2	No.2	〃	マルテンサイト+残留網状炭化物
3	No.1	950°C 3min 保持→水冷	マルテンサイト+残留オーステナイト

表4 焼もどし温度とたさの関係

たさの段階	H _g C 50	H _g C 55	H _g C 60
焼もどし条件	400°C 1 h	320°C 1 h	240°C 1 h

上げは前報と同じようにした。

2. 実験方法

測定に使用した試験機、測定条件、測定順序などは前報と同じに行ない、たさの測定の規模は表5のようを行なった。

表5 たさ測定の規模

組織の種類	たさの段階	試料の個数	試料反復の回数	たさの種類
3	H _g C	各段階 3 個	3	H _g C, H _{vA}
	50, 55, 60 52.5, 57.5	各段階 1 個	2	15-N, H _{vB0}

■ 結 果

前節で行なった測定により、反復2回のかたさ測定値(6点)の平均値をプロットして各たさ間の関係を求めたのが図1である。開固の実線はASTMの換算曲線である。

IV 解析と考察

図1では組織のちがいが、換算関係にどのように影響するかが明確でないので、前報と同じように最小二乗法を直交多項式の形で用い回帰分析および分散分析を球状炭化物について行ない表6を得た。つぎに測定データ全体から定めた換算曲線からの個々の測定値の偏差を新たにデータとして、分散分析を行なって表7のような結果を得た。同表より組織のちがいに有意差がないので他の2種類の組織も表6の方程式で代表できる。これらの換算方程式のxにH_gA(75.0~82.0), 15-N(85.0~91.0), H_v(500~740)の値を代入して、yすなわち

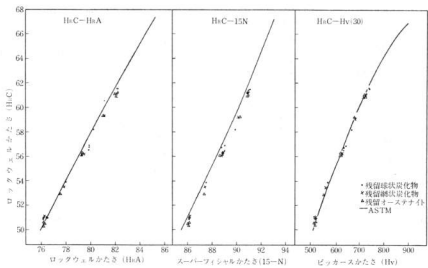
図1 H_gC たさと H_gA, 15-N, HV たさの関係

表6 組織のちがいによる換算方程式

HgC-HgA		$y = -88.35276 + 1.822374x$
HgC-15N	SK 2	$y = -135.3218 + 2.160434x$
HgC-Hv		$y = 7.789836 + 0.1058624x - 0.00004406238x^2$

方程式の使用範囲 SK 2 : HgC 50~61

表7 換算方程式より求めた分散分析表

要 因	HgA	15-N	Hv
R (反復)	*	*	
A (組織差)			
B (かたさの段階)	*	*	
A × B		*	*

表8 かたさの換算方程式より求めた換算表

HgA	HgC		15-N		HgC		Hv		HgC	
	SK2	ASTM	N	SK2	ASTM	(30)	SK2	ASTM		
75.0	48.3	48.5	85.0	48.3	49.0	500	49.7	49.1		
75.5	49.2	49.5	85.5	49.4	50.0	520	50.9	50.5		
76.0	50.1	50.3	86.0	50.5	51.2	540	52.1	51.7		
76.5	51.1	51.4	86.5	51.6	52.2	560	53.3	53.0		
77.0	52.0	52.3	87.0	52.6	53.2	580	54.4	54.1		
77.5	52.9	53.2	87.5	53.7	54.1	600	55.4	55.2		
78.0	53.8	54.0	88.0	54.8	55.2	620	56.5	56.3		
78.5	54.7	55.0	88.5	55.9	56.3	640	57.5	57.3		
79.0	55.6	56.0	89.0	57.0	57.2	660	58.5	58.3		
79.5	56.5	56.9	89.5	58.0	58.4	680	59.4	59.2		
80.0	57.4	57.8	90.0	59.1	59.5	700	60.3	60.1		
80.5	58.3	58.7	90.5	60.2	60.6	720	61.2	61.0		
81.0	59.3	59.6	91.0	61.3	61.8	740	62.0	61.8		
81.5	60.2	60.5	91.5		63.2	760		62.5		
82.0	61.1	61.4	92.0		64.5	780		63.3		
82.5		62.4	92.5		66.0	800		64.0		
83.0		63.3	93.0		67.3	820		64.7		
83.5		64.2	93.5			840		65.3		
84.0		65.2	94.0			860		65.9		
84.5		66.0				880		66.4		
85.0		67.0				900		67.0		
85.5		67.8								
86.0										

HgC の値を求めたものが表8である。つぎにこれらの換算式に実測の HgA, 15-N, Hv 値を代入して求めた

計算値の HgC を実測の HgC 値から差し引いた値をプロットし、またこれらの換算曲線の95%信頼限界を求めたのが図2である。

図中の点線は95%信頼限界、実線は ASTM の値より計算値を差し引いたものである。

表8および図1の結果を総合すると、HgC と HgA の換算関係は前報の換算値 HgC と比較するとかたさの低いところでは HgC 0.3~0.4低い。HgC と 15-N の換算関係は、SKS 8 の HgC 値より 0.2~0.4低い。HgC と Hv の換算関係は SKS 8 の換算値によく一致している。また HgC 50~60のかたさの間では、3種類の組織を一つにまとめた HgC と HgA, 15-N, Hv の換算方程式の95%信頼限界は約 HgC ± 0.2 以内となり、これらの換算方程式は実用できると思われる。

V 結 言

本研究を要約するとつぎのようになる。

1. SK 2材の HgC 50~60 のかたさの範囲では、焼入統もどし組織が異なっていてもかたさの換算関係にはほとんど影響がない。

2. 各換算方程式の95%信頼限界は HgC ± 0.2 とよく、実用できると思われる。

3. ASTM の換算関係とはやや異なる。

本研究で求めた換算表は SK 2 の HgA, 15-N, Hv (30) の実測値より HgC かたさを推察する場合に適し、また換算表を実用する場合は前報の終りで述べたような注意が必要である。本研究により、組織のちがいが換算関係にあまり影響しないことがわかったが、組織により製品の諸性質は大きく変わるので、かたさの値のみによって性質を判断することは注意を要する。

終りに本研究を行なうにあたり、御指導、助言をいただいた計量研究室の飯塚幸三課長、矢野左課長、後藤光夫技官ならびにかたさ研究室の皆様に深く感謝します。

文 献

1) 刈山、石田、横山、新田：本報告13 (1971)

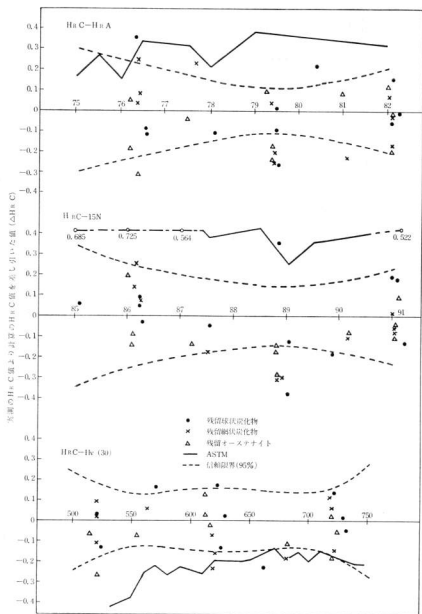


図2 実測値と方程式より求めた計算値の差および95%信頼限界

半自動アーケル溶接に関する研究（第1報）

CO₂ アーケル溶接の基本条件

片山義孝，芳野光利，野地英治，
蒲田政信，池田哲郎

緒言

溶接の作業量は年を重ねるにしたがって増加し、製造工程中に溶接作業が組みこまれる場合が多くなってきたが、その作業量に対する作業員の数は絶対数において不足している。

このような現状を救済するには、作業能率の向上と省力化を計るよりほかに方法がなくなってきた。そのため溶接業界では溶接作業を自動化することによって、目的を達成しようと努力しており、中小企業でもその動きが活発となってきた。

とくに応用範囲の広い半自動溶接の採用はめざましいものがある。このような状態にあるため、日本溶接協会では半自動アーケル溶接の技量検定試験を実施し、技量の認定によって技術向上を計っており、受験者の数も年を追って増加している。

しかしながらこれら受験者の中には、半自動アーケル溶接を十分理解していないために、溶接条件の設定をあまり不合格となるものも少なくない。このようなことから、われわれは半自動アーケル溶接の技術指導の必要性を感じ、すでに発表されている各種の資料を参考にして、現場作業に適応できる資料を作成する手段として、まずCO₂ガスアーケル溶接法の基本的な問題について実験を行うことにした。

実験方法

1. 装置および試料

本実験に使用したアーケル溶接機は、300 A直流溶接機で、ワイヤーはMG50の1.2mm^Ø、溶接作業は溶接速度を一定に保つため、自動ガス切断機の走行装置を改良して行った。また、CO₂ガスは3種、被溶接材料はSS41材を使用し、大きさは100×250×9mmとした。

2. 実験方法

CO₂ガスアーケル溶接法の基本的条件およびビード形状については、すでに発表されているが、これらの資料¹⁾を参考にしてその範囲をさらに具体的にあらわすため、

各条件ごとのビードを作成し比較検討した。

(1) 溶接電流と電圧の設定

溶接電流はショートアーケル領域の値を選び、これに対する電圧は標準電圧の計算式²⁾ ($0.04 \times \text{電流} + 16$) の値を参考にして、図1のようにあらかじめ手動によってアーケルの発生状況を検討した。その結果標準電圧よりも上方に広い安定領域を得たので実験の範囲内で電圧設定を行なった。

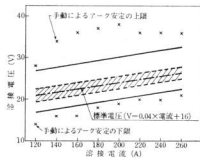


図1 電圧設定範囲

溶接電流と電圧の関係は表1のとおりである。

表1 溶接電流と電圧

電流 (A)	電圧 (V)		
120	16.8	18.8	20.8
140	17.6	19.6	21.6
160	18.4	20.4	22.4
180	19.2	21.2	23.2
200	20.0	22.0	24.0
220	20.8	22.8	24.8
240	21.6	23.6	25.6
260	22.4	24.4	26.4

(2) 溶接速度

溶接速度は各電流、電圧ごとに20, 40, 60, 80, 100 cm/

min とした。

(3) 突出し長さとガス流量

突出し長さは溶接電流の関係で 15mm を選び、ガス流量は 20 l/min とした。

(4) ビード置き

ビード置きは 1 試料につき 3 本とし、溶接時の被溶接材の温度は常温とした。またこの場合ホルダーの保持角度は 90° とし、溶接方法は後退法とした。

(5) ビード調査

試料ごとのビード外観は、ビードを三等分して、それについて判定しそれらを総合して良い順に、A, B, C に分類した。

またビード断面のマクロエッティングにより、ビード巾、溶込みの深さ、余盛り高さを測定した。

実験結果と考察

1. ビード外観

ビード外観の判定は各人の個人差があり、極めて困難な問題であるが、図 2 に示すように一般的には溶接速度が遅く、溶接電流が増加するにしたがって良くなるようである。また溶接電流と電圧の関係からみると、低電流の場合にはその電圧が標準よりいくぶん低くても良い外観を得ることができるが、電流が増すにつれて標準電圧より高い方が良いようである。

なお、200A以上の溶接電流の場合、設定した電圧の最低の値ではアーキが不安定であり実験の対象にならないため実験を中止した。

2. ビード巾と余盛り高さ

溶接電流と電圧の関係がビード巾と余盛り高さにおよぼす影響を溶接速度別にあらわしたのが図 3 である。これらの状態は従来の資料と同じように一定電流の場合、電圧が上昇するにしたがってビード巾は広くなり、余盛り高さは減少している。また溶接電流が増加するにつれて溶接速度の変化がかなり影響するようである。

図 4 は標準電圧の場合の状態をあらわしたものであるが、溶接速度 40cm/min を中心にビード巾の差が大きな傾向にあり、余盛り高さは 200 A 位までは高くなるが、それ以上の電流ではあまり変化しないようである。

3. 溶込み深さ

溶接電流と電圧の関係が溶込み深さにおよぼす影響を溶接速度別にまとめたのが図 5 である。

溶接速度が速く、電圧が高くなると溶込み深さは浅くなるのは当然であるが、この図 5 から見ると一般に溶接電流に対する標準電圧領域が溶込みが深く、その前後は浅くなる傾向を示している。

図 6 は標準電圧を 0 とし、それ以下の電圧を (-)、それ以上を (+) に取って各溶接電流ごとにあらわしたものである。

図 6 にもあらわしているように、低電圧の場合溶込み深さが浅くなるのは、アーキの発生状況からわかるように低電流の方が高電流に比べて低電圧でも安定している。すなわち電流 160 A 以下では -4 V、それ以上では +2 Vあたりがアーキ発生の限界であり、アーキが安定しているとはいえない。そのため溶込みが浅くなつたものと思われる。

図 7 ~ 9 は各溶接電流に対する標準電圧と標準電圧よりも 2 V, 4 V 高い場合の溶込み状況である。これから

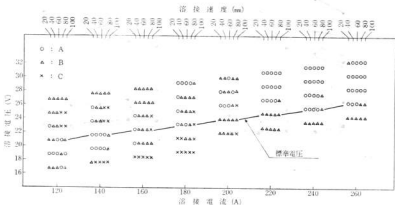


図 2 各種条件の外観状況

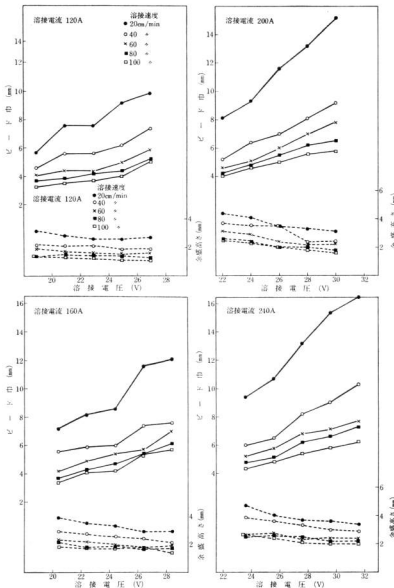


図3 ビード巾と余盛り高さ

推察すると電圧の増加とともに溶込み深さは浅くなるが、全体的な関係には大差のないことがうかがわれる。

4. 溶着金属量の変化

図10は各溶接電流に対する標準電圧の関係が溶着量におよぼす影響を速度別にあらわしたものである。大体において電流値に比例して溶着量は増加しており溶接速度による変化はあまりみられない。

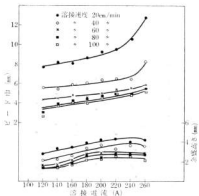


図4 標準電圧のビード巾と余盛り高さ

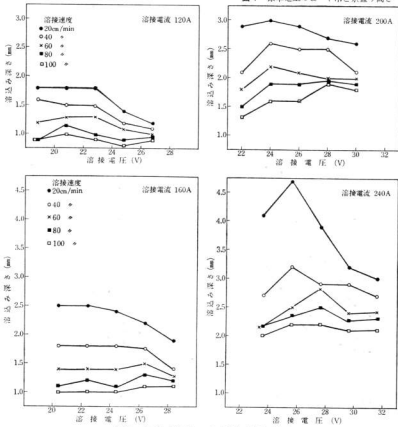


図5 電流、電圧による溶込み深さ

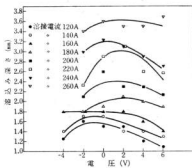


図6 電圧変化による深込み深さ

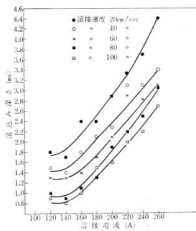


図8 (標準電圧+2V)による溶込み

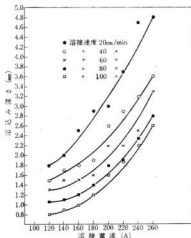


図7 標準電圧による溶込み

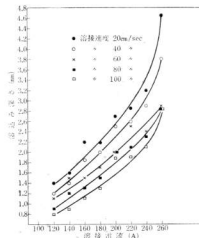


図9 (標準電圧+4V)による溶込み

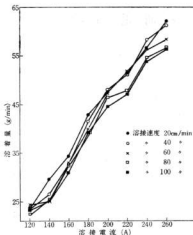


図10 標準電圧と速度による溶着量の変化

IV 総 言

本実験から得た資料は既成の結果と大差はないが、さらに細分割し、個々にわたって溶接速度を組み検討を加えたものである。

以上の実験を総合して推察すると、つぎのことがうかがわれる。

1. ピード外観は標準電圧よりもいくぶん高めの電圧を使用した方が良い結果が得られるようである。そのためか実作業では高めの電圧が使用されているようであるが、一つは外観を良くするための方法のように思われる

。

2. ピード巾と余盛り高さの関係は、電圧の変化で相反する現象をあらわすのは周知のことである。

ピード巾は溶接電流の増加するにつれて溶接速度が影響するが、余盛り高さは全般的には速度による変化はないようである。

3. 溶込み深さは電流と電圧の関係が最も影響するものであるが、本実験の結果からみると標準電圧領域が溶込みが深いようである。

また一定電流で電圧を変化させた場合を比較してみると、いずれも同様な傾向を示しており特異な状態は認められない。

4. 溶着量は電流増加に比例して増加していくが、溶接速度による溶着金属の損失はあまりないようである。

本実験の結果は直接現場作業に適用できるものではないが、CO₂アーケ溶接を行なう場合常に念頭においておかなければならないことがある。

今後われわれは本実験の資料を基にして、実作業に必要なトーチの保持角度、溶接速度、スミ内溶接、および半自動溶接の際技量差から起る諸問題などについて引続実験を進めて行く予定である。

文 献

- 1) 鈴木：炭酸ガスおよびノーガスアーケ溶接、産報（1970）
- 日本溶接協会：溶接技術、1 (1968), 13
- 長田、奥：溶接学会誌、34 (1965), 753
- 2) 松下電器産業株式会社：炭酸ガスアーケ溶接法について

溶接欠陥防止に関する研究（第一報）

厚鋼板溶接の層間温度が銀点と側曲げにおよぼす影響

蒲田政信, 芳野光利
野地英治, 片山義孝

緒言

軟鋼厚板での溶接施工試験で引張、衝撃、カタサ、マクロ、X線透過試験に合格しながら曲げ試験（側曲げ）でワレが発生し、不合格になるのをよく経験する。ワレはプローホール、スラブ巻込み、融合不良等から発生するワレとはかなり違っていて、小さなワレが多数密集しており、この場合引張試験片被面に銀点の発生が認められる。このことは銀点の発生が側曲げ試験のワレに何らかの影響をおよぼすのではないかと考えられるので、銀点の発生状態と側曲げ試験のワレ発生との関係について研究を行なうこととした。

銀点についてはこれまでの報告によると、銀点の成因、銀点と水素量の関係、銀点におよぼす被覆剤の影響、銀点と溶着金属の諸性質^{1,2,3)}などで銀点の発生が側曲げ試験におよぼす影響についての報告はまだないようである。

今回の実験では予熱、後熱が許されない場合銀点の発生は層間温度を高くすれば減少すると考えられるので、各層間温度で溶接を行ない銀点の発生状態、側曲げのワレの発生状態を観察した。

試料と実験方法

1. 溶接棒

溶接棒はイルミナイト系溶接棒（D4301）で棒径4mmと5mmを使用した。溶接棒をイルミナイト系としたのは実際の溶接施工試験で多く使われており、それと関連させるためである。なお、溶接棒の種類は試験結果に大きな影響があると考えられるので、溶接前、100°Cで1時間の再乾燥を行なった。

2. 試験材および試験片

試験用鋼板にはSS41（板厚25mm）を使用した。試験材寸法および各種試験片の採取位置ならびに試験片形状を図1、図2に示す。

図2でみられるとおり引張試験片は溶着金属表面の銀点をみると目的なので溶着金属で破断するような形

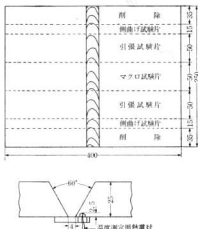


図1 試験材および試験片採取位置

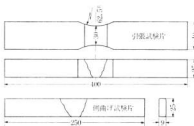


図2 試験片形状

状にした。

3. 溶接施工条件

溶接施工条件を表1に示す。溶接姿勢は下向とし、第1層目の溶接は4mm棒でおこない、第2層目以降は全道5mm棒で溶接した。なお、運棒法はウーピング法

表1 溶接施工条件

試料番号	10	11	12	13	14	15
層間温度	室温	125°C	150°C	175°C	200°C	連続溶接
溶接電流 4 mm	175A	175A	175A	175A	175A	175A
溶接電流 5 mm	235A	230A	230A	230A	230A	180~235A

により、15~18層で溶接を終了した。

本実験の目的である層間温度は室温、125°C、150°C、175°C、200°C、連続溶接の6水準をとった。

ここで、層間温度は各層の溶接終了後自然冷却しつぎの溶接を行なうときの温度とした。

層間温度の測定は0.3φアルメルクロメル熱電対を試験材中央部の開先面より約2mm母材側のところで図1に示す位置にバーカッショソ溶接して行なった。

熱電対の溶接箇所は予備実験の結果、本実験の温度範囲内では図1に示す位置で十分なことが確認されたので試験材中央部のみとした。また、各層溶接の前にテンピルスティックでビード表面の温度チェックも行なった。

125°C以上の層間温度で溶接するときは試験材の予熱はおこなわざ室温の状態から溶接を行ない、目標の層間温度以上になると自然冷却した。

4. 引張試験および曲げ試験

銀点の発生には水素の放出効果も考えられるので、引張および曲げ試験は溶接終了後加工も含めて一週間以内に実験した。側曲げ試験は曲げ半径19mm、曲げ角度180°としローラ曲げ試験法により行なった。

5. マクロ組織

各層間温度で溶接した試験材はすべてマクロ組織の観察をした。

実験結果および考察

1. 層間温度

図3は層間温度の測定結果で室温から溶接を始めても約4層目あたりから目標層間温度にすることができた。

また、テンピルスティックでのチェック結果とも一致していた。

2. 引張試験および曲げ試験結果

引張および側曲げ試験結果を写真1に示す。引張破面の銀点は層間温度が高くなるにつれて少なくなり連続溶接ではまったくなくなってしまった。側曲げ試験のワレも層間温度が高くなるにつれて少なくなっている。各ワレ長さを層間温度別に合計した結果を図4に示す。図4によると層間温度175°C付近でワレ長さは非常に小さくなつた。

また、破面の銀点も175°C付近から急激に少なくなつた。

ている。

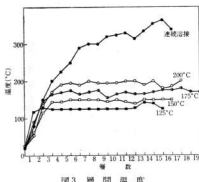


図3 層間温度

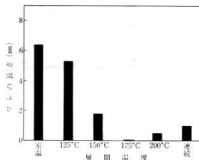


図4 ワレ長さと層間温度の関係

3. マクロ組織

マクロ組織には異常が認められないが層間温度が高くなると熱影響部が大きくなりビード下置きによって溶着金属が焼純され溶着金属の延性がある程度回復されているのではないかと思われる。

4. 銀点

銀点を観察してみると銀点の中央には小さな気孔、介在物の存在が認められ、それらが銀点の核となり銀白色のものと白い破面となっていた。層間温度が室温のものは比較的小さな銀点が多段階状に発生しているのが認められた。125°C、150°Cでは室温のものとくらべ比較的大きな銀点が少數発生していた。175°C以上では銀点は非常に少なくなつた。

5. 銀点と側曲げ試験のワレ発生の関係

層間温度175°C以上で銀点の発生度が小さく、ワレの発生も少ないとことからつぎのように考察した。

層間温度を低くすると溶融金属の冷却速度が増し溶着金属中に残存する小さな気孔、介在物が多くなる。ま

試料番号	層間温度	引張試験($\times 34$)		曲げ試験($\times 32$)			
		溶接始側	溶接終側	曲げ半径 19mm	曲げ角度 180°	欠陥	
10	室温					1.8mm×1 1.1mm×1 0.5mm×2 0.4mm×1	
11	125°C					1.8mm×1 1.5mm×1 1.2mm×1 0.2mm×1	
12	150°C					ワレなし	
						1.3mm×1	

写真1 引張試験および曲げ試験結果(その1)

試料番号	層間温度	引張試験($\times 34$)		曲げ試験($\times 32$)			
		溶接始側	溶接終側	曲げ半径 19mm	曲げ角度 180°	欠陥	
13	175°C					ワレなし	
14	200°C					ワレなし	
15	連続溶接					ワレなし	
						0.5mm×1	
						1.0mm×1	

写真1 引張試験および曲げ試験結果(その2)

た。冷却部圧、水する気孔を発生する。
なうとすぐ発生する。
すなはにワレ。

しか
およぼ
ワレに
また
で銀点
討して

銀点
影響を
である

た、冷却速度が増すことによって溶着金属中の水素の内部圧、水素量も大きくなる¹⁾。そこで溶着金属中に残留する気孔、介在物に銀点の成因である水素が拡散、集合し気孔や介在物の周辺をせき化させて、側曲げ試験を行なうと気孔や介在物を中心にワレが多数（あるいは大きく）発生するものと思われる。

すなわち、銀点を発生しうるような状態が側曲げ試験にワレを発生させる原因となるのではないかと思われる。

しかし、層間温度の水素量におよぼす影響、介在物におよぼす影響などの実験も行なわないと銀点は側曲げのワレに影響するといえない。

また、後熱処理により銀点は消失するとされているので銀点の消失と水素量および側曲げのワレとの関係も検討してみる必要があると思われる。

IV 総 言

銀点と側曲げ試験のワレ発生状態について層間温度の影響をとりあげて実験した結果を要約するとつぎのようである。

1. 銀点の発生は層間温度を高くすると減少する。
2. 層間温度175°C以上で銀点は非常に少なくなる。
3. 銀点の発生が少なくなると側曲げ試験のワレも少なくなる。

4. 溶接施工試験で予熱、後熱がゆるされない場合、側曲げ試験のワレを少なくするためにには約150°C~200°Cの層間温度で溶接すると有効である。

銀点と側曲げのワレ発生にはまだ被覆剤のタイプ、後熱処理、被覆剤中の水分などの影響も考えられるので順次検討をかねね銀点とワレの関連をあきらかにしていきたい。

おわりにこの実験のため終始協力していただいた尾道内燃機工業協同組合の方々に深く感謝の意を表します。

文 献

- 1) 関口、安藤；溶接棒、庄屋(1968) 219
- 2) 安藤、森；溶接学会誌、30(1961) 407
- 3) 渡辺；溶接学会誌、29(1960) 142, 509
- 4) 忠和；溶接技術講習会テキスト(1968) 52

軟鋼の機械的性質(その3)

軟鋼の試験片形状と伸びについて*

芳野光利, 濑田政信

緒言

鋼材の引張試験において機械的性質は同一材質のものであっても形状、寸法によりある程度変化する。¹⁾

軟鋼について伸び率は試験片の巾と標点距離の比が異なると、非常に大きな差がでてくることは前報²⁾の結果からもうかがわれる。そのため試験片がJISに規定された形状、寸法でできない場合、測定した伸び率でもってJISの規格値と比較することはできない。JISにきめられた形状、寸法どおりの引張試験片がえられないことはしばしばあるが、この場合、断面積の平方根と標点距離の比を一定にすると、同一材料では实际上一定値の伸びがえられるという相似の法則が利用できれば、適当な形状、寸法および標点距離を選ぶことにより、正規の試験片と同等な結果が求められ都合がよい。

板状試験片では、巾に対する厚さの割合も変えなければ相似にならないが、前報では Barba の定数 a_1, β を SM41 について求め、伸び率の計算式を求めたが、厚さが同一の場合、巾がわざわざも断面積の平方根と標点距離の比が正規の試験片と同一になるように適当な標点距離をえらべば正規の試験片と同様な伸び率がえられると思われる。今回、JIS Z2201 の1号試験片について試みた。

また、1号試験片では A, B の2種類が定めてあるが、寸法のちがいにより引張試験結果がことなる場合もあるのではないかと考え、厚さが等しい場合の A, B 試験片についての引張試験について検討してみた。

試料と実験方法

1. 試験片

試験材として、一般に1号試験片でおこなう SS41 を使用した。試験片は厚さ 6 mm, 巾 910 mm, 長さ 1820 mm の鋼板から圧延方向と平行に両端を 200 mm 除いた部分より、引張方向と圧延方向が一致するように採取した。試験材の化学成分は表1に示すとおりである。

試験片の形状、寸法を図1および表2に示す。

板厚が 6 mm の鋼板の場合、1号試験片(巾 40 mm, 標点距離 200 mm)では

表1 化学成分(%)

C	Si	Mn	P	S
0.14	0.19	0.54	0.027	0.029



図1 試験片形状

$$\sqrt{tw/l_0} = 0.0775$$

w : 巾
 t : 厚さ (6 mm)
 l₀ : 標点距離

となるので、巾をえた場合 $\sqrt{tw/l_0}$ の値が 0.0775 となるように、標点距離を定めた。これを表2に示す。

表2 試験片の巾と標点距離(mm)

NO	1	2	3	4	5	6	7	8
巾	15	20	25	30	35	40	25	28
標点距離 l_0	122	141	158	173	187	200	200	200

2. 実験方法

引張試験はリーレ型 50t 万能試験機(東京衡機製)で行なった。標点距離は標点分離器により 5 mm 等間隔に分割しておき、破断位置 B の場合は JIS Z2241 により破断伸びの修正をした。

引張速度は降伏点をこえるまでは、平均応力増加率を $1\text{kg/mm}^2/\text{sec}$ を標準とし、以後は試験片平行部のひずみ増加率が、50% /min になるようにした。

実験結果と考察

1. 伸び率の測定結果を表3に示す。

ここで Ni は試験片枚数で $\bar{\alpha}_i$ は伸び率の相加平均である。

* 昭和44年度第1回工業技術連絡会議中国・四国・九州地方機械金属合同部会において発表

この結果では多少の上下はあるが、JIS に規定してあるとおり 1 位に丸めれば同じ値となり、差は認められなくなる。

2. 上、下降伏点および引張強さは図 2 に示すとおりである。

表3 伸び率測定値

試料番号	Ni	$\delta(\%)$	試料番号	Ni	$\delta(\%)$
1	5	28.90	4	5	28.94
2	5	29.26	5	5	28.52
3	5	29.39	6	5	28.76

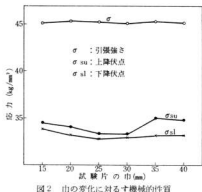


図2 巾の変化に対する機械的性質

図2でわかるように、上、下降伏点については多少の差がみとめられたが、引張強さは、巾のちがいによる影響は、ほとんどみあたらなかった。

3. つぎに同じ材料を用いて1号試験片のAで巾40 mm, 38 mm およびBで25 mmについての引張試験結果を表4に示す。

表4 巾の変化による機械的性質

項目 符号	上降伏点 (kg/mm²)	下降伏点 (kg/mm²)	引張強さ (kg/mm²)	伸び (%)
A(巾40)	34.78	33.20	45.10	28.76
A(巾38)	34.30	33.02	45.04	28.18
B	34.80	33.52	45.12	26.23

表4で明らかとなおり上、下降伏点、引張強さについては、試験片の巾の差による影響は少ないが、伸び率は巾が小さいほど少くなっている。これは標点距離が等しい場合、厚さが同一であるから巾がせまいほど \sqrt{tw}/l_0 の値が少くなり、伸びが減少したものと考えられる。

IV 結 言

\sqrt{tw}/l_0 を1号試験片の値(巾40 mm)に等しくとれば板厚 6 mm SS41 のを使用した場合、試験片の巾が15~40 mmの範囲では、正規の試験片とはほぼ同一の伸び率がえられることがわかった。また本実験の結果では、他の機械的性質についても一応 JIS の規格値内におさまっていた。とくに引張強さは、ほとんど差が認められない。

また1号試験片ではA、Bと巾がことなった場合、同一厚さの試験片については上、下降伏点、引張強さは、ほとんど変わらないが、伸び率は試験片の巾がせまくなるほど、伸びは少なくなっているので注意しなければならない。

おわりにのぞみ、本実験に終始御協力を頂いた株式会社ダイクレの開発研究部の方々に深く感謝します。

文 献

- 1) 山田良之助: 材料試験法, 内田老鶴園 (1961), 56
- 2) 蒲田, 芳野, 野地, 池田: 本報告, 12 (1969), 101

手溶接における基本的な溶接施工条件の検討

野地英治, 蒲田政信, 片山義孝

I 緒言

手動アーケル溶接は歴史も古く、現在のように溶接の自動化が呼ばれるながらも、その作業量は全溶接量の大半が手動で行なわれている。

しかしながら、これらの技術者のなかには先輩の指導を受けられる者もあるが、自分なりのみようみまねで極めて大きな労力と努力を払って一人前の技術者になった者もあり、全部が全部優秀な技量を身につけていとはいい難い。

われわれは長年のあいだ、優秀な技能者の施工方法を参考に、また基本的な施工条件に基づいて工夫をこらし、より完全な溶接部を得るために実験を重ねながら指導も行なってきた。その実績から人それぞれの技量は大切であるが、それに加えて開先条件および施工条件いかに大切であるかを感じた。それでこれらのことを見証するために、溶接作業に全く様のない人達の協力により、われわれが設定した溶接施工条件に基づいて溶接を実施してもらい、その結果を曲げ試験により判定することにした。

II 試料と実験方法

1. 使用機器および材料

本実験に使用した溶接機は、300A 交流溶接機で、溶接棒はイリミナイト系被覆アーケル溶接棒の 4mmφ、被溶接材料は SS 41、150×250×9 mm のサイズのものを使用した。

2. 溶接施工条件

(1) 開先形状

本溶接は V 型突合せ下向溶接で行ない、開先角度、ルート間隔、ルート面および裏当金の大きさは、図 1 のとおりである。

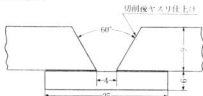
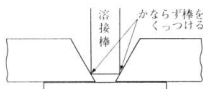
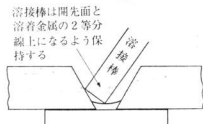


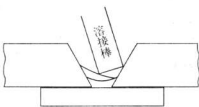
図 1 開先形状



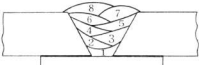
第 1 層



第 2 層



第 3 層



できあがり形状

図 2 溶接棒の保持角度

(2)
電
C
(3)
本
番
号
1
2
3
4
5
6
7
8
9
10
11
12
13
14
15
16
17
18
19
20
21
22
23
24

(2) 溶接条件

- (a) ビード置きはストレート法を用いた。
 (b) 溶接電流の各バスごとの値は表1のとおりとした。

表1 溶接電流(A)

層 数	1	2	3	4	5	6	7	8
電 流 (A)	175	170	165	160	155	150	145	140

(c) 一層および各バスごとの溶接棒の保持角度は図2のように定めた。

(d) 溶接速度は約 300 mm/min とした。

(e) 溶接施工者に対する指導

本実験に協力してもらった人達は、溶接作業にまつた

く経験のないものばかりであるため、各人10本の溶接棒を渡し、あらかじめつぎの項目にしたがってビード置きの練習を行なった。

- (a) 溶接棒は母材にくっつけて溶接する。
 (b) 溶接速度は 150mm (試験材の長さ) を溶接棒の約半分で溶接できる速度にする。
 (c) 溶接棒の保持角度を60°前後に保持する。

- (d) 本溶接の実施と調査
 本溶接を行なうにあたっては、施工者一人に一人の指導員がつき、各層(各バス)ごとに溶接棒の保持角度、溶接速度の指導を行ない、溶接電流を調整してその都度の状況を明確に記録し、曲げ試験結果の参考にした。

(f) X線透過試験

各試料はX線写真を撮影し、旧 JIS Z 2341 によって判定した。この場合ビード始めと終りはそれぞれ 10 mmづつ判定対象から取り除いた。

表2 判定結果

番 号	曲 げ 試 験			XRay 判定	番 号	曲 げ 試 験			XRay 判定
	表 曲 げ	裏 曲 げ	行 け			表 曲 げ	裏 曲 げ	行 け	
1 U 小 0.5 × 2 2.5	○	0	○	2 級	25	0	○	0.5	○
2 U 小 0	○	0.6 0.2	○	1 ×	26	U 小 0	○	1.4 1.2 1.7 0.5 1.1 1.3 × 3 0.8 0.8	×
3 0	○	0.5 0.3	○	1 ×	27	U 小 4.5 3.4 2.2 ×	0	○	6 ×
4 1.9 3.5 U 小 7.5	×	3.0 2.4 1.1 9.7 0.4 0.3	×	4 ×	28	U 小 6.5 1.3 0.4 ×	0.3	○	3 ×
5 0	○	0	○	2 ×	29	0	○	1.4	○
6 0	○	0.5	○	2 ×	30	0	○	0.8 × 2 9.2 × 2	○
7 0	○	0.7	○	2 ×	31	0	○	0	○
8 U 小 1.0 3.5	×	0	○	3 ×	32	0	○	0	○
9 U 小 0	○	0	○	1 ×	33	U 小 3.6 1.5 ×	0.2 × 2	○	2 ×
10 0.6	○	0	○	1 ×	34	U 小 1.5	○	0	○
11 5.0(S) × U 小 0.8 1.1 2.4	0.7 0.3	○	4 ×	35	U 中 2.5 1.5	○	0	○	4 ×
12 U 中 3.8 9.5 3.4 ×	1.0	○	4 ×	36	U 中 0.7 0.6 0.3 0.5 0.7 1.5	○	1.1 1.3 1.5 0.4 0.3 0.2	○	4 ×
13 0.2 × 2	○	0	○	1 ×	37	0	○	0	○
14 0	○	0	○	3 ×	38	U 小 0.7	○	0	○
15 0	○	P 小 0	○	3 ×	39	0	○	0.8 0.5	○
16 U 小 1.0 × 2 2.6	○	0.3	○	2 ×	40	0.1	○	0.2	○
17 U 小 0	○	0	○	1 ×	41	8.7	×	0	○
18 U 小 1.6	○	0	○	1 ×	42	U 小 0	○	0	○
19 0	○	1.3 0.5	○	1 ×	43	0	○	0.2	○
20 U 小 0	○	0	○	1 ×	44	U 小 0	○	0.4 0.3 0.2	○
21 0	○	0	○	1 ×	45	U 小 0.2	○	0.2	○
22 0	○	0	○	1 ×	46	13	×	0	○
23 U 小 0	○	0	○	1 ×	47	0	○	P 小 0	○
24 0	○	0	○	1 ×					

■ 実験結果

上記の条件および要領で溶接した試験材の外観は、技量不足のためけっしてよいとはいえない。

X線透過試験と曲げ試験の結果は表2のとおりである。

IV 結 言

本実験に対しては47名の協力により、突合せ下向溶接を行ない、その試験片を JIS Z 3801 の溶接工技量試験の曲げ試験の判定規準に基づいて判定した。

その結果は表曲げ合格者は38名、裏曲げ合格者は45名、表裏曲げを総合した場合の合格者数は37名であり、それぞれの合格率は81%、96%、79%となった。

この合格率は最近の中國溶接工検定委員会での同姿勢の合格率85%に比べると、やや低いが、これはすでに6ヶ月以上の経験者であるため仕事のないことである。

また一般検定試験の場合、不合格になるのは、ほとんどが裏曲げであるが、本実験では裏曲げは極めて高い合格率を示している。

これは施工者の技量不足が原因で起った結果であり、やむを得ないと思われるが、開先条件、溶接施工法などの基礎的な条件を把握することがいかに大切であるかということがうかがわれる。

X線透過試験の結果と曲げの関係は、欠陥の種類により例外はあっても一応級が下るにしたがって成績も低下している。

今回われわれは技量の差があまり現れない下向姿勢を選んで実験を行なったが、このことは立向、横向、上向姿勢にもいえることであり、今後の課題として実験を進めたいと思う。

最後に本実験を行なうにあたって協力を頂いた広島県立呉工業高校の先生、ならびに生徒諸君に対し厚く感謝いたします。

水ガラ
有してお
作業にあ

トラフ
度の変化
現在採
ガラスと
が、この
けやすくな
る。この
の異なる
たりして
きや型こ
いるのか

本報告
気候条件
かについ

なお、
度の内外
討を十分

1. ■
実験に

メタ:
三栄堂
黒井け

* ■

自硬性鋳型に関する研究(第2報)

無機自硬性鋳型における気候条件の影響*

丸下清志, 内藤達也
世良時夫, 原信彦

緒 言

1~表5に示すとおりである。

水ガラスを粘結材とする自硬性鋳型はすぐれた特性を有しており、多くの工場で採用されているが、現場での作業にあたっては種々トラブルの発生がみられる。

トラブルの一つに気候条件による自硬性鋳型の硬化速度の変化に対する調節の困難性がある。

現在採用されている自硬性鋳型の硬化はほとんどが水ガラスと硬化材との化学反応によるゲル化によっているが、このような化学反応は気候、特に気温の影響を受けやすく、高温時には進行がはやく、低温時にはおくれる。このことは本質的なものであり、対策としてモル比の異なる水ガラスを使いわけたり、硬化材の量を加減したりしているが、十分調節しきれずに雑型の隙のしみつきや型こわれ、可使時間などで多くの工場が悩まされているのが現状である。

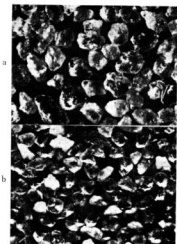
本報告はこのようなトラブルの解消に寄与するため、気候条件とくに気温が自硬性鋳型にどのように影響するかについて調べたものである。

なお、工場での鋳型は小型の試験片と異なり、硬化速度の内外差が大きいことが問題となるので内部硬化の検討を行なった。

II 試料と実験方法

1. 試 料

実験に使用した諸材料およびその性状は、写真1、表



a. 三栄銀砂 (65メッシュ) ×20
b. 黒井けい砂 (100メッシュ) ×20

写真1 けい砂の粒形

表1 けい砂の粒度分布

メッシュ	20	28	35	48	65	100	150	200	270	フルイ下	粘土分	粒度指数
三栄銀砂	—	—	0.4	13.0	49.8	26.6	6.4	3.2	0.2	0.2	0.2	107.0
黒井けい砂	ir	0.4	3.6	14.0	30.2	43.6	6.8	0.6	0.2	0.2	0.2	108.4

* 研究(その1)昭和44年度技術開拓研究費補助金による。

表2 けい砂の性状

	化成分(%)								耐火度(°C)	pH	
	SiO ₂	Al ₂ O ₃	Fe ₂ O ₃	CaO	MgO	K ₂ O	Na ₂ O	IgLoss			
三采原砂	98.98	0.38	0.18	0.08	0.06	0.07	0.01	0.31	100.07	1750	6.5
黒井けい砂	92.88	3.79	1.04	0.05	0.01	1.22	0.31	0.66	99.96	1690	6.3

表3 本ガラスの性状

比重(Bé)	化成分(%)				pH	粘度(C.P.)			
	SiO ₂	Na ₂ O	Fe ₂ O ₃	モル比		31°C	17°C	1°C	
S 2	48	30.92	12.20	0.05	2.62	12.6	220	500	1300
メーカー規格	47~48	28~35	11~13	0.03以下	26~27	—	—	—	—

表4 硬化材の粒度分布

メッシュ	20	28	35	48	65	100	150	200	270	フルイ下
MFバウダー	0.8	0.8	0.7	0.7	0.8	1.2	2.1	6.4	11.0	75.5

表5 硬化材の性状

	化成分(%)						耐火度(°C)	pH	
	CaO	SiO ₂	MgO	Al ₂ O ₃	Fe ₂ O ₃	Cr ₂ O ₃			
MFバウダー	42.89	27.24	12.43	4.56	0.48	4.54	1.57	1530	11.3
メーカー規格	45~46	26~27	12~13	8~9	1.0以下	4.5~5.5	1.7~1.75	—	—

2. 実験方法

供試砂の調整には化学用万能攪拌機を公転 60 r.p.m., 自転 135 r.p.m. で使用し、けい砂に硬化材を加えて 30 秒攪拌後ケイ酸ソーダを加えて 60 秒攪拌し供試砂とした。

実験は夏(H)、秋(M)、冬(L)の各季においてつぎの順序について実施した。

(1) 放置強度および水分量の変化

放置強度の測定には 50φ × 50 mm の試験片(以下 S と呼ぶ)を使用し、所定時間放置後の圧縮強さを測定し、同時に残留水分の測定も行なった。

(2) 内部硬化性

51φ × 150 mm の塩化ビニールパイプ内に高さ 50 mm につき固め、その両端にとも砂をつめて放置し、所定時間経過後の圧縮強さを測定した(この試験片を P と呼ぶ)。

(3) 混練後成形までの時間の影響

供試砂を調整し所定時間経過後に試験片 S を作製し、5 時間および 24 時間放置後の圧縮強さを測定した。

(4) 表面安定性(SSI)

試験片 S を製造後 5 時間および 24 時間放置したものを 6 メッシュふるいの上でロータップ型ふるい機で 1 分間振

とうし、前後の重量比(%)で示すこととした。

III 実験結果と考察

供試砂の配合および実験時の気候条件は表 6 および表 7 に示すとおりである。

表6 供試砂の配合

配合 N.O.	けい砂	本ガラス S 2	硬化材 MF
1	三采	100	6
2	〃	〃	3
3	黒井	100	2
4	〃	〃	3

表7 実験時の気候条件

種別	気温(°C)	湿度(%)
夏(H)	31~36	52~74
秋(M)	15~20	50~75
冬(L)	0~7	55~70

1. 放置強度におよぼす気候条件の影響

実験結果は図1および図2に示すとおりである。

- (1) 放置強度の立上りは気温の低下にしたがってゆるやかになるが、夏(31~36°C)と秋(15~20°C)との差はそれほど大きなものではない。
- (2) 長時間放置後の強度には気温によるあきらかな差は認められなかった。
- (3) 初期の強度の立上りは黒井けい砂を用いたばあい

の方が三栄銀砂のばあいよりもはやく、放置5時間までにはあきらかな差が認められた。しかし長時間経過後の強度にはあきらかな差は認められなかった。

(4) 硬化材を3%用いたばあいは2%のはあいにくらべ強度の立上りは、はやいが、長時間放置後の強度は逆に低くなる傾向がある。

2. 水分量の変化におよぼす気候条件の影響

実験結果は図3に示すとおりである。

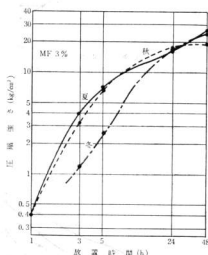
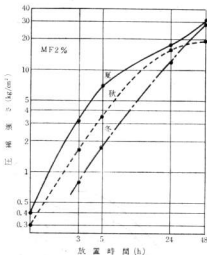


図1 放置強度におよぼす気候条件の影響(三栄銀砂)

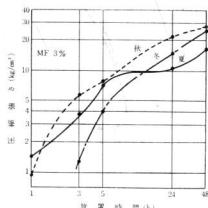
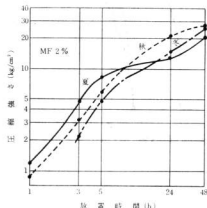


図2 放置強度におよぼす気候条件の影響(黒井けい砂)

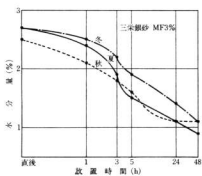


図3 水分量の変化におよぼす気候の影響

- (1) 冬季（0～7°C）は水分減少がゆるやかである。
- (2) 残留水分量が1%近くまで減少すると減少速度はきわめてゆるやかになる。

3. 内部硬化性におよぼす気候の影響

実験結果は図4、図5に示すとおりである。

- (1) 強度は試験片Sのばあいにくらべていちじるしく低いが、条件との対応性は良くでおり、規則的に推移している。

(2) 放置による強度の上昇は、試験片Sでは初期には夏と秋との間にあきらかな差が認められず、長時間後には一層気候の差が認められなくなつたが、この試験片Pでは夏、秋、冬の間にはあきらかな差があった。

- (3) 三栄銀砂に比べて黒井けい砂を用いたばあい全般に強度が大きい。

- (4) 硬化材3%のばあいが2%のばあいに比べて全般に強度が大きい。

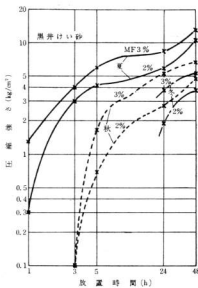
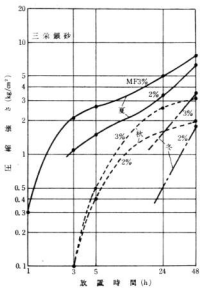


図4 内部硬化性におよぼす気候条件の影響(その1)

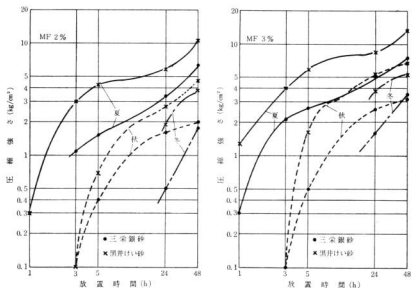


図 5 内部硬化性におよぼす気候条件の影響(その2)

4. 混練後成型までの時間と放置強度との関係における 気候の影響

実験結果は表8～表10に示すとおりである。

(1) アンダーラインは混練後成型までの時間を異にする

各砂の24時間放置後の強度のうち最高を示したものにつ
けた。

(2) 試験片Pを用いたばあい夏の強度は試験片Sを用
いたばあいに比べ全般に低いが、混練後成型までの時間

表 8 夏季における混練後成型までの時間と放置強度との関係

成型までの時間 (min)	圧縮強さ (kg/cm²)											
	0		20		40		60		80		100	
放置時間(h)	5	24	5	24	5	24	5	24	5	24	5	24
種別	H-1	1.5	3.3	1.8	3.3	1.6	3.2	1.5	2.3	1.3	2.1	1.2
	H-2	2.6	5.0	2.8	3.9	1.8	3.4	1.7	3.2	1.4	2.4	—
	H-3	4.2	5.8	3.9	6.4	3.2	5.0	2.1	3.6	1.6	2.5	0.9
	H-4	5.8	8.5	4.7	7.0	3.4	5.0	2.4	4.0	1.4	2.4	—

表 9 秋季における混練後成型までの時間と放置強度との関係

成型までの時間 (min)	圧縮強さ (kg/cm²)											
	0		20		40		60		80		100	
放置時間(h)	5	24	5	24	5	24	5	24	5	24	5	24
種別	M-1	3.5	16.6	5.3	25.4	3.8	19.3	3.8	13.6	4.6	22.0	3.8
	M-2	6.6	17.8	5.7	18.3	5.0	15.2	4.5	12.2	4.5	12.2	4.3
	M-3	5.8	20.6	6.2	19.2	7.9	14.8	5.3	18.2	5.5	14.8	4.8
	M-4	7.9	21.8	4.5	15.8	5.4	16.3	6.3	18.8	5.6	16.8	4.9

表 10 冬季における混練後成型までの時間と放置強度との関係

成形までの時間 (min)	圧縮強さ (kg/cm²)																
	0		30		60		90		120		150		180		240		
放置時間(h)	5	24	5	24	5	24	5	24	5	24	5	24	5	24	5	24	
種別	L-1	1.7	12.4	3.2	13.7	1.7	11.5	2.7	15.4	2.9	14.9	2.8	13.2	2.6	15.6	2.3	15.0
	L-2	2.5	16.6	3.2	15.3	3.0	17.8	4.3	18.2	3.8	19.6	3.8	16.5	4.4	16.8	4.3	18.5
	L-3	4.8	14.7	4.4	14.5	2.7	14.8	2.8	15.3	3.0	15.5	3.0	14.4	3.3	14.4	2.8	13.1
	L-4	4.0	14.8	4.5	15.8	3.9	18.3	4.7	18.2	4.4	15.5	4.4	14.5	4.4	14.9	3.8	12.2

と放置強度との関係の推移は順調で可使時間を判断しやすい。Sを用いた秋と冬は気候的に可使時間が長くなる時期もあるが、放置強度に起伏が多く、可使時間の判定が困難である。

(3) 明確な結果を得られなかったが、放置強度が最高値の80%程度に低下する時間を可使時間とすれば、夏で30~40分、秋で60分程度と考えられ、冬では3~4時間はさしきれないようである。

(4) 黒井けい砂を用いたばあいは三栄銀砂のばあいよりも可使時間は短かいようである。これは放置による強度の立上りが大きいことからうなづける。

(5) 硬化材の量は3%のばあいが2%のばあいより可使時間はいくぶん短かいようである。

5. 表面安定性におよぼす気候の影響

実験結果は表11に示すとおりである。

表11 表面安定性

種別	SSI (%)					
	H		M		L	
放置時間(h)	5	24	5	24	5	24
配 1	95.1	93.9	97.6	98.4	98.2	97.7
2	94.8	94.6	97.2	98.2	97.9	97.6
合 3	95.3	94.7	98.1	98.6	98.2	98.1
NO 4	95.4	94.7	98.0	98.4	98.3	97.7

- 夏は秋、冬にくらべ SSI が低い。
- 夏と冬には放置24時間の SSI は 5 時間よりも低下しているが秋には上昇している。
- 硬化材が 3% のばあい、2% のばあいよりも SSI は幾分低いようであるがいちじるしい差はない。
- 黒井けい砂を用いたばあい、三栄銀砂のばあいよりも SSI は高めである。

IV 結 論

自硬性鉄型におよぼす気候条件を夏、秋および冬につ

いて調べ、あわせてけい砂など材料による相違についても調べた結果を要約するとつぎのとおりである。

1. 放置強度の立上りおよび内部硬化性は気温が高いほど大きい。しかし開放型の試験片 S では長時間経過後には気温による差はあきらかでなくなつた。また試験片 S は試験片 P にくらべて非常に高い強度を示した。

これは S では水分の蒸発による影響が加わるためであり、実際の鉄型においては表面と内部との硬化の相違には十分注意することが必要である。

2. 可使時間は気温が高くなるほど短くなる。夏で 120~40 分、秋で 60 分、冬は 3~4 時間とみてよい。

3. 表面安定性は夏が他にくらべておどる。

4. 放置時間が増加するにしたがって SSI の水分量は減少するが、残存量が 1% 近くなると減少はきわめてゆるやかになる。なお水分量の減少は冬季にはゆるやかになる。

5. 硬化材の量を多くすると、初期の強度の立上りおよび内部硬化性は大きくなるが、S では長時間後の強度はかえって低目になる傾向があり、同時に可使時間の短縮、SSI の低下が生じた。

6. 黒井けい砂を用いたばあい、三栄銀砂に比べ初期の強度の立上りおよび内部硬化性が大きく、可使時間は短かめになり、SSI は高めになる。

7. 1において述べたように開放型試験片 S では水分の蒸発の影響を大きく受けるので、実際の鉄型で経験するよりも強度が高くなるし、気温等条件との対応性の点で内部硬化性試験片 P におとるようである。したがって表面に関する試験を除いて、自硬性鉄型の試験とくに構成材料の特性を調べるのには P がすぐれている。

以上、本報告によるデータは現場作業において気候条件に対応する配合、可使時間、鉄型から離型までの時間などを設定する資料として有効であると確信し、また内部硬化性試験は表面の硬化状況のみに頼って鉄型を取扱うことによる鉄型の破損や、脱型時期の過早による失敗を防止するのに有効であると考えられる。

自硬性鋳型に関する研究 (第3報)

無機自硬性鋳型の常温性質におよぼす古砂の影響*

世良時夫, 内藤達也
原信彦, 丸下清志

緒言

水ガラスを粘結材とする自硬性鋳型の古砂は、コスト低減、とくに鉄物砂は海外から購入するため砂代が高くなることや、資源不足対策のほか、廃棄に伴う公害問題もあって、回収使用をはかる工場が増加している。しかし自硬性古砂は水ガラスと砂粒の分離がしにくく、砂の劣化も大きい。

通常古砂の使用は70%程度におさえられているが、それでもいろいろな問題を起している。筆者らは現場で回収使用されている古砂2種類について実態を調べ、常温性質の検討を行なった。

実験方法

コア・ノックアウト・マシンで回収されている古砂Aと、ブレーカー・スクリーンで回収されている古砂Bについて、まずその性状を調べた。なお原砂とともに江津けい砂である。つぎに古砂の配合比を0%から25%おきに100%までかえて、常温性質を調べた。混練および試験項目は前報¹²のとおりである。ただし硬化材は工場で

使用しているKパウダを使用した。さらに古砂Bの処理効果について検討した。この実験の気候条件は、気温が-2~10°C、湿度が40~80%である。

実験結果と考察

1. 古砂の性状

(1) 粒度分布

新砂および古砂の粒度分布は表1に示すとおりである。

古砂Aはコア・ノックアウト・マシンで回収されているため、新砂に比べていちじるしく細粒化している。古砂Bはブレーカー・スクリーンで回収されているが、48メッシュ以上には複合粒子が多く、微粉も多い。

(2) 化学成分と性質

新砂および古砂の化学成分と性質は表2に示すとおりである。

SiO₂は古砂A、さらに古砂Bと低下がいちじるしく逆にCaO、Na₂Oなどがふえており、硬化材、水ガラスの残留分が多いことがわかる。したがって耐火度は低下し、pHは上昇している。さらに古砂Bは水分を2.5%

表1 粒 度 分 布 (%)

メ フ シ ュ	20	28	35	48	65	100	150	200	270	Pan	粘土分	粒度指數
江津けい砂	2.0	14.4	25.8	16.2	19.8	18.4	2.4	0.2	tr	0.2	0.6	74.1
古砂 A	0.2	2.6	11.4	16.2	26.4	25.0	10.0	4.6	1.6	1.4	0.6	115.9
古砂 B	2.6	16.4	27.2	21.8	18.2	8.8	1.4	0.8	2.4	0.4	1.6	74.6

表2 化 学 成 分 と 性 質

	化 学 成 分 (%)							耐火度 (°C)	pH	水分(%)
	SiO ₂	Al ₂ O ₃	Fe ₂ O ₃	CaO	MgO	K ₂ O	Na ₂ O			
江津けい砂	85.96	9.03	0.80	0.45	0.31	2.38	1.43	0.52	1,690	6.3
古砂 A	81.40	9.22	0.68	1.38	0.14	2.26	2.53	1.72	1,250	11.0
古砂 B	76.71	7.55	1.09	4.49	1.41	1.89	3.21	2.88	1,140	12.4

* 昭和41年度技術開発研究費補助金による研究(その2)

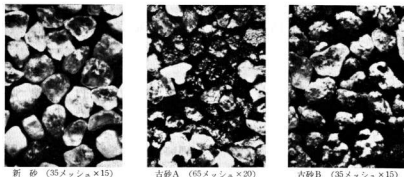


写真1 新砂および古砂の粒形

含有しているが、しめた感じは全然なく、ほこりがたつ状態で、残留物が水分を吸着しているものと思われる。

(3) 粒形

新砂および古砂の粒形は写真1に示すとおりである。

新砂は比較的粒形がよい。古砂Aは破碎されて角ばっており、古砂Bは複合粒子になっているのがわかる。

以上の結果、古砂は新砂に比べて性状は劣化しており、とくに古砂Bはいもちるしい。

2. 新砂-古砂配合比が硬化性におよぼす影響

(1) 放置強度におよぼす配合比の影響

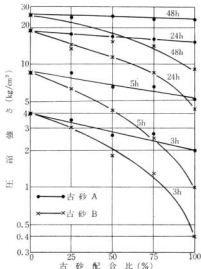


図1 新砂-古砂配合比の放置強度におよぼす影響

実験結果は図1に示すとおりである。

古砂Aの場合、古砂配合比が多くなると圧縮強さはほぼ直線で低下する。しかし放置時間が長くなるとその傾向は小さくなる。古砂Bの場合、古砂配合比が多くなると圧縮強さはいちじるしく低下する。その傾向は初期強度で大きい。

表3 新砂-古砂配合比と試験片重量の関係 (g)

古砂配合比 (%)	0	25	50	75	100
古砂 A	158	155	152	147	145
古砂 B	158	153	149	147	139

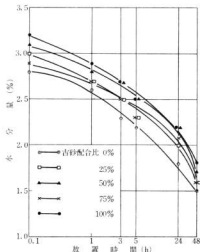


図2 古砂Aの放置時間と水分量の変化との関係

表3に試験片の重量を示す。

古砂配合比が多くなると試験片の重量は軽くなる傾向で、とくに古砂Bはいちいちるしい。このことは複合粒子が多いので充てん性が悪くなり、圧縮強さにも影響しているものと考えられる。

(2) 放置時間と水分量の変化との関係

実験結果は図2および図3に示すとおりである。

回収した古砂の含有水分量はA砂が0.3%で、B砂が2.5%もあるため、古砂配合比が多くなると試験片成型時の水分量は多くなっている。しかし放置中の水分の減少量には大きな差がない。

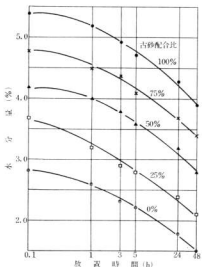


図3 古砂Bの放置時間と水分量の変化との関係

(3) 内部硬化性におよぼす配合比の影響

実験結果は図4に示すとおりである。

開放試験片の放置強度にくらべ、内部硬化性はA砂とB砂との差は少ない。また、両者とも古砂配合比50%までは新砂とはほぼ変わらない。

(4) 混練後成型までの時間と放置強度との関係におよぼす配合比の影響

実験結果は図4に示すとおりである。

古砂配合比のいずれも、放置強度(24 h)のピークは混練後成型までの時間が30~60分のところにある。可使時間(圧縮強さがピークの80%に低下)は90~120分程度である。

(5) 表面安定におよぼす配合比の影響

実験結果は表5に示すとおりである。

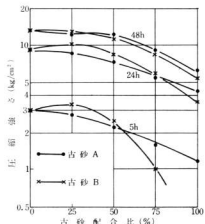


図4 新砂—古砂配合比の内部硬化性におよぼす影響

表4 混練後成型までの時間と放置強度との関係におよぼす古砂配合比の影響

成型までの時間 (min)		圧縮強さ (kg/cm²)							
		0	30	60	90	120	150	180	24 h
古砂配合比 (%)		0	19.6	25.2	28.2	24.2	16.4	9.8	6.9
古砂 A	0	19.6	25.2	28.2	24.2	16.4	9.8	6.9	
	25	18.4	21.8	17.3	15.7	11.3	7.5	4.9	
	50	17.3	18.4	19.8	17.0	14.1	10.8	7.6	
	75	16.7	20.0	16.5	16.8	13.1	9.7	6.8	
	100	15.3	16.4	14.3	13.2	11.5	9.3	6.7	
古砂 B	0	14.4	15.0	13.8	13.4	9.1	6.0	2.2	
	25	11.6	13.2	11.8	8.9	5.8	4.7	2.8	
	50	8.6	8.2	8.7	7.7	8.7	6.3	5.7	
	100	4.5	6.5	5.9	6.3	5.3	5.5	4.4	

表5 表面安定性

放置時間(h)		S	S	I (%)
古砂配合比 (%)		5	24	48
新砂	0	97.8	97.8	98.3
古砂 A	25	97.7	98.0	97.7
	50	97.9	97.5	97.7
	75	97.2	97.1	97.4
	100	96.8	96.8	97.5
古砂 B	25	96.6	96.0	96.3
	50	96.2	95.8	96.5
	75	94.5	95.1	95.5
	100	89.0	92.8	94.5

表6 処理した古砂 B の粒度分布の変化 (%)

メッシュ	20	28	35	48	65	100	150	200	270	Pan	粘土分	粒度指數
古砂 B	2.6	16.4	27.2	21.8	18.2	8.8	1.4	0.8	2.4	0.4	1.6	74.6
古砂 B'	1.9	14.2	25.0	22.4	18.9	10.4	2.0	1.1	0.6	0.8	2.0	75.6
古砂 B"	tr	6.4	26.5	25.5	21.5	13.8	2.6	1.1	0.6	0.6	1.2	81.0

し、48~200メッシュが増加、Panと粘土分も増加している。これは複合粒子の分解と微粉のはく離によるものであろう。B'砂をふるい分けたB"砂では20~28メッシュの粗粒が減少し、Pan、粘土分もやや減少した。

(2) 処理が古砂 B の放置強度、内部硬化性におよぼす影響

実験結果は図5に示すとおりである。

本項3の試験では試験片のつき固めに51φ×150mmの塩ビパイプを用いた。

B砂は放置3時間でも圧縮強さは測定できなかったが、B'砂では強度のたち上がりが改善され、B"砂ではA砂と同程度まで向上している。内部硬化性も放置強度と同様の傾向である。

(3) 处理が古砂 B の表面安定性におよぼす影響

実験結果は表7に示すとおりである。

表7 处理がB砂の表面安定性におよぼす影響

種別	放置時間(h)		
	5	24	48
古砂 A	96.4	97.7	97.4
古砂 B	—	96.1	97.6
古砂 B'	—	98.0	98.6
古砂 B"	98.0	98.2	99.1

古砂を配合するとSSIは低下し、とくにB砂のばあいがいちじるしい。A砂では古砂75%でも新砂とあまり変わらないが、B砂では古砂25%でも明らかに劣っている。

3. 古砂 B の処理効果

古砂 B の改善を目的として処理を行なった。その処理条件は古砂をミックスマラで20分からびきしたものを古砂 B' とし、さらに B' 砂をふるいわけたものを古砂 B" とした。配合は古砂 100% に水ガラス 6%、硬化材 3% で混練した。さらに古砂 A を加えて比較した。古砂の含有水分は A 砂は 0.2%、B、B' および B" 砂とも 2.2% であった。

(1) 処理した古砂 B の粒度分布の変化

実験結果は表6に示すとおりである。

処理した B' 砂は B 砂に比べ、20~35メッシュが減少

処理すると SSI の改善はあきらかで、とくに B" 砂は A 砂よりもすぐれていた。またこの試験では全般に SSI が高かったが、これは試験片つき固めに用いた、塩ビ

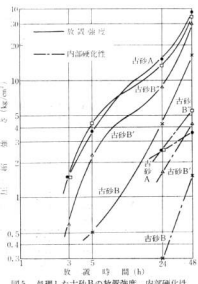


図5 処理した古砂 B の放置強度、内部硬化性。

パイプのすぐれた離型性によるものである。

以上の結果を総合して検討すると、古砂の回収方法で性質が異なるといえる。古砂Bは古砂Aに比べて諸性質が劣っているが、処理をすればA砂と同程度に向上去ることがわかった。したがって古砂の回収は十分に粉碎して複合粒子を少なくするか、ふるいわけて除くのが望ましい。また微粉も十分に除くのがよいと思われる。

IV 結 言

自硬性鉄型の古砂2種類について、これらの配合が常温性質におよぼす影響を調べた結果をまとめるとつきのとおりである。

1. この実験に用いた古砂Aおよび古砂Bの原砂は同一鉱物のものであるが、回収装置のちがいで両者の性状は著しく異なっている。

2. A砂は回収過程で大きなショックを受けるため細粒化は著しいが、残留分はB砂に比べて少なく、耐火度の低下も少ない。

3. B砂は回収過程で受けるショックが少ないため、砂粒どうしの結合の破壊や、砂粒の被覆物のはく離が十分でなく、除塵も不十分なため、複合粒子や微粉が多

く、水分を含めた残留分が多くなっているので、A砂に比べて耐火度は低く、pHは高くなっている。

B砂は水分を2.5%含有しているにかかわらずしみった感じがなく、ほこりがたつ状態であるのは残留分が吸着しているためである。したがって自然乾燥はしにくい。

4. 古砂を配合すると初期の硬化速度がおそくなり、B砂の場合は長時間経過後の強度も低かった。

5. B砂では古砂に水分が多いため、混練時の水分が多くなり、長時間放置後も残留量は高かった。しかし以前の経験で、B砂のような古砂の水分を強制的に除去すると、ボロツクため高水分はやむおえない。

6. 可使時間への古砂配合の影響は明らかでなかった。

7. 表面安定性は古砂配合によって低下し、とくにB砂のばいはなはだしかった。

8. 古砂Bをからびきすることによって諸性質が改善され、さらにふるいわけると一層の向上が得られる。

文 献

1) 丸下、内藤、世良、原：本報告、13 (1971)

自硬性鋳型に関する研究(第4報)

無機自硬性鋳型の高温性質におよぼす古砂の影響*

原信彦, 内藤達也
世良時夫, 丸下清志

I 緒言

自硬性鋳型は有機、無機をとわざ広く用いられているが、水ガラスを粘結材とするものは特に多くの工場で採用されているようである。

これらは比較的大物に使用されるため焼着、型張、ペイニングなどの欠陥が発生しやすく、とくに古砂を多く使用するとこの現象は助長される。

著者らは前報^{1,2)}において古砂の常温性質について検討し古砂は回収方法によって性状がいちじるしく異なり常温性質にかなりの相違があることを報告した。

本報においては新砂、古砂の高温性質を知るとともに、鉄込み実験を行ない、崩壊性および鉄込み欠陥と高温性質との関係を検討したので報告する。

II 試料と実験方法

1. 試料

試料は前報^{1,2)}と同様のものを使用した。

けい砂は三栄銀砂、黒井けい砂、江津けい砂および原砂は江津けい砂で回収装置の異なるA、B二種類の古砂を使用した。

粘結剤は水ガラスS2 (モル比2.62) を使用し、硬化材はMFパウダーと古砂に使用していたKパウダーを用いた。

2. 実験方法

徐熱膨脹量の測定は28φ×50mmの試験片を作製し開放で24時間放置後、横型熱膨脹試験装置に装入し、5°C/minで1,100°Cまで昇温し、その際の長さの変化を変位測定器で検出記録した。

残留強度は50φ×50mmの試験片を用い、開放で24時間放置後、200°C～1,200°Cまで200°Cおきの各温度で1時間保持し、冷却後の圧縮強さを測定して残留強度とした。

鋳型砂の耐火性の比較試験は、セーベルコーン状の16mm×16mm×19mmの底辺で高さ60mmの試験片を、各砂に水ガラス6%、硬化材3%を配合して成型し、1,200°Cの炉中で30分間加熱した。

鉄込み試験の鋳造品は二種類とした。

一つは径165mm、高さ100mmのブロックで焼着の生じやすさを見るためのものである。

他の一つは径60mm、長さ500mmの丸棒で、たて鉄込みにより溶湯温度と溶湯圧を受け生じる型張りが鋳造品におよぼす影響を見るためのものである。

なお前者には弾発性塗型を施した。

鋳型は所定の配合砂で成型し24時間放置後、高周波溶解炉で溶製したFC20の溶湯を1,400°Cで鉄込、前者は焼着の発生状況を観察し、後者は鋳造品の寸法測定を行なった。

III 実験結果と考察

徐熱膨脹量の測定は表1の供試砂を用いて実験し、その結果は図1に示すとおりである。

表1 徐熱膨脹量および残留強度測定用供試砂の配合(%)

種別	けい砂	水ガラス S ₂	硬化材
①	三栄銀砂	100	6 MF 3
②	黒井けい砂	100	タタタタ
③	江津けい砂	100	タ K タ
④	古砂 A	100	タタタタ
⑤	古砂 B	100	タタタタ

全般に100°C～150°Cで試験片の乾燥に伴う収縮を示し、新砂グループは550°C～600°Cでα～β変態に伴う膨張曲線の急上昇を示し、650°C付近で膨張量は最高となるが、けい砂のSiO₂分が高いほど膨張量は大きい。

古砂グループのBは250°Cまで収縮をつづけ、以後ゆるやかに膨張するが、550°C辺から異常に膨張し、700°Cでは膨張量2.86%を示した。

この異常膨張や古砂Aおよび古砂Bの950°C辺からの異常な収縮は耐火度や残留強度試験の結果を考え合わせて、単なる熱膨脹収縮ではなく、構成材料の軟化に伴う変形やクラックの発生が影響しているものと思われる。残留強度の測定は徐熱膨脹量の測定に用いた供試砂と同

* 昭和44年度技術開発研究費補助金による研究(その3)

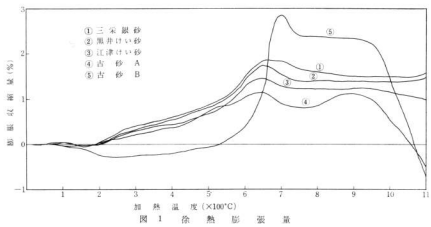


図 1 残熱影響量

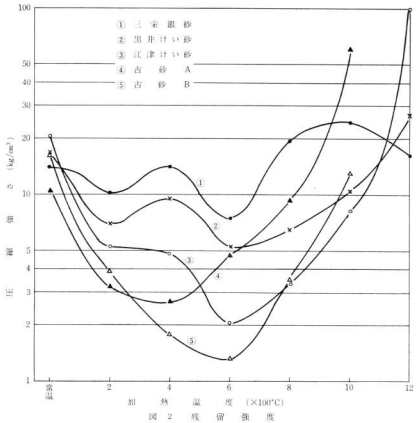


図 2 残留強度

様表1の配合で作製し、その結果は図2に示すとおりである。

加熱温度600°Cまでは温度が高くなるにつれて、おおむね強度は低下するが、CO₂型では通常200°C付近にピークを生じるのにくらべ大きな相違で、崩壊性の点で有利なことを示している。

600°Cを越えるといずれも残存強度は上昇するが、とくに江津けい砂の1,000°C～1,200°C、古砂二種の800°C～1,000°Cでの急上昇が目立つが、これはけい砂自体の耐火性が低いのに加えて、古砂では残留分が影響して焼結を促進したものと考えられる。

古砂では試験片の変形がいちじるしいため、1,200°Cでの試験は不可能であった。

このような古砂を多く配合するときは焼結、焼着、型張りなどを生じやすくなるので注意が必要である。

自硬性鉄型砂の耐火性の比較試験の結果を写真1に示す。

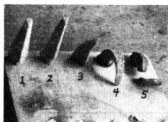


写真1 自硬性鉄型砂の耐火性の比較

三采と黒井はともに変形していないが、古砂AおよびBはともに軟化して先端が完全に受台に接触していた。

とくにBは溶解して流れた感じで、しかも途中から折れ、緑色をおびていた。

新砂でも江津はかなり頭を垂れている。

江津けい砂は粒度が適当なので、最近大物に、かなり使われているが、大量の古砂使用には問題があるようである。

鉄込み試験の供試砂の配合を表2に示す。

表2 鉄込み試験の供試砂の配合(%)

種別	けい砂	水ガラス	S ₂	硬化材
①	三采銀砂	100	6	M.F. 3
②	黒井けい砂	100	タ	タ
③	江津けい砂	100	タ	K. タ
④	古砂A 75 + 江津25	タ	タ	タ
⑤	古砂B 75 + 江津25	タ	タ	タ

鉄込み試験の結果はブロック鉄物の1～4においては焼着は見られなかったが、耐火度がとくに低い、硬化性の劣る古砂Bを用いた5のみは、底面中心付近に焼着を生じた。

丸棒鉄物の鉄込み結果を図3に示す。

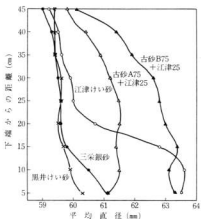


図3 鉄造した丸棒の寸法と型砂との関係

純度が高く、耐火度の高い三采、黒井を用いたばあい、は鉄造品の怪がごく下部を除いては鉄型寸法より小さくなっているのに対し、古砂Aおよび古砂Bを用いたばあいは全体が大きくなってしまい、とくにBでは下部は3mm以上大きくなっている。

新砂(江津)は上記2グループの中間的な性状をもっているが、鉄込みの結果も中間を示し耐火性試験の結果ともよく合致している。

造型時の作業性は古砂使用の2者が良く、他の3者のなかでは三采銀砂が幾分良かった。

IV 結 言

水ガラスを粘結剤とした自硬性鉄型砂の高温性質を調べた結果、古砂は新砂に比べいちじるしく劣化し、また古砂どうでも回収方法により、大きな相違のあることがわかった。

1. 徐熱形眼量の最高値は古砂AおよびBでは大差があり、Aが最低であったのにに対し、Bは最高で、新砂グループはその中間であった。

また水分を多く含んだ古砂Bは200°C～300°C付近の収縮が大きい。

2. 残留強度は古砂A、古砂Bは1,000°Cの加熱では

クラック
また此
~1,200
3. 例
きく、
4. 1

いては
硬化性
焼着を

クラックや変型がはなはだしかった。

また耐火度の低い江津けい砂も、古砂と同様1,000°C
~1,200°Cで残存強度は急上昇した。

3. 耐火性試験の結果は、古砂A、古砂Bの変形が大
きく、とくにBは表面が溶けていた。

4. 鉄込み試験は、この程度の鉄造品でも古砂を多量

に配合したばあい、焼着や型張りを生ずることがわかつ
た。

文 献

1) 世良、内藤、原、丸下：本報告 13 (1971)

2) 丸下、内藤、世良、原：本報告 13 (1971)

鋳型材料に関する研究(第2報)

(塗型へのシリカゾルの添加の効果について) *

原 信彦、内藤 達也

1. 緒 言

自硬性鋳型に施す重型は通常押発性重型が用いられるが、この重型は簡便である反面、鋳造の際焼死やめがしが発生しやすい欠点がある。とくに古砂を使用する場合この種の欠陥が発生しやすい。

これに対して、最近一部で塗型にシリカゾルを添加することが行なわれ、かなりの効果をあげているようである。

ここではシリカゾル添加の影響をばく熱試験によって調べた結果を報告する。

II 試料と実験方法

1. 試 料

けい砂は江津けい砂と、K社製古砂を使用した。塗型材はトーブライトを使用しシリカゾルはスノーテックス30を用いた。

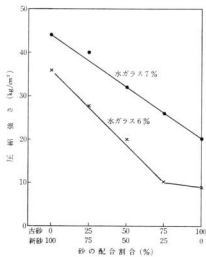


図1 砂の配合が放置強度におよぼす影響

2. 実験方法

試験片の作製には自硬性砂を使用し、その配合はつぎのとおりである。

新砂と古砂の割合を0~100%まで25%おきに変化させ、水ガラスの添加量は6%および7%とし、硬化漬は2%とした。

ばく熱試験片の強度を知るために行なった強度試験は28φ×50mmの試験片を用い、24時間放置後の圧縮強さを測定した。

塗型のきれつ発生に大きく影響すると思われる急熱膨張量の測定は、28φ×50mmの試験片を24時間放置後、1150°Cに保持した横型熱膨張試験装置に装入し、その際の長さの変化を変位測定器で検出記録した。

塗型のばく熱試験にはばく熱試験器を使用し、成型後24時間放置した無拘束の試験片に重型を施し、着火後1320°C(光高温計の読み)で15秒ばく熱した。

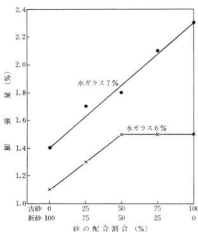


図2 砂の配合が急熱膨張量におよぼす影響

* 昭和45年日本鉄物協会中国四国支部鉄物技術研究発表会に発表

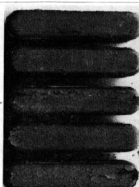
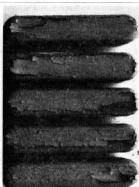
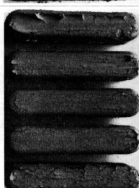
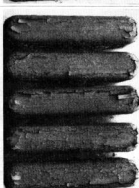
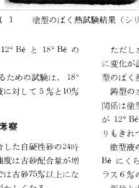
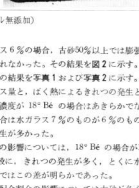
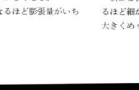
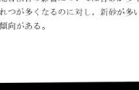
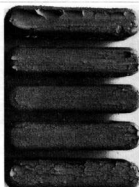
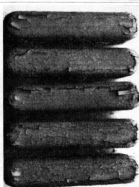
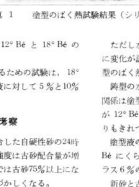
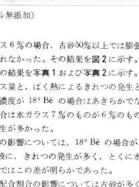
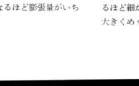
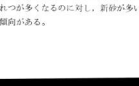
水ガラス添加量	砂の配合		塗型液の濃度(Bé)	
	新砂	古砂	12	18
6%	100	0		
	75	25		
	50	50		
	25	75		
	0	100		
	100	0		
7%	75	25		
	50	50		
	25	75		
	0	100		

写真1 塗型のばく熱試験結果(シリカゾル無添加)

塗型は彈性とし、その濃度は12°Béと18°Béの2種類とした。

また、シリカゾルの影響を調べるための試験は、18°Béの塗型液にスノーテックスを液に対して5%と10%添加したものを使用した。

実験結果と考察

新砂と古砂とを所定の割合で配合した自硬性砂の24時間放置の強度を図1に示す。放置強度は古砂配合量が増すにつれて低下し、水ガラス6%では古砂75%以上になるとバラフキが激しく、成形がむづかしくなる。

急熱膨張については古砂が多くなるほど膨張量がいちじるしく増加する。

ただし水ガラス6%の場合、古砂50%以上では膨張量に変化が認められなかった。その結果を図2に示す。塗型のばく熱試験の結果を写真1および写真2に示す。

塗型の水ガラス量と、ばく熱によるきれつの発生との関係は塗型液の濃度が18°Béの場合はあきらかでないが、12°Béの場合は水ガラス7%のものが6%のものよりもきれつの発生が多かった。

塗型液の濃度については、18°Béの場合が12°Béにくらべ全般に、きれつの発生が多く、とくに水ガラス6%のものではこの差が明らかであった。

新砂と古砂の配合割合の影響については古砂が多くなるほど細かいきれつが多くなるのに対し、新砂が多いと大きめくれる傾向がある。

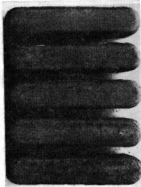
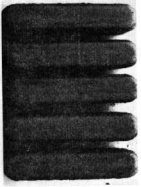
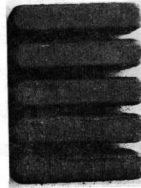
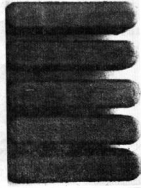
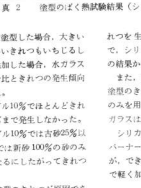
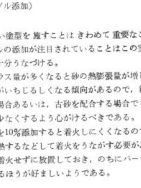
塗型 濃度	水ガラス添加量	砂の配合量		シリカゾル添加量(%)	
		新砂	古砂	5	10
6%	18B6	100	0		
		75	25		
		50	50		
		25	75		
		0	100		

写真2 塗型のばく熱試験結果(シリカゾル添加)

シリカゾルを添加した塗型液で塗型した場合、大きいまくれは全般でなくなり、細かいまくれもいちじるしく減少した。なおシリカゾルを添加した場合、水ガラス量の多少および新砂—古砂の配合比とまくれの発生傾向との関係がきわめて明瞭になった。

水ガラス6%の砂ではシリカゾル10%でほとんどまくれが発生せず、5%でも古砂50%まで発生しなかった。

水ガラス7%の場合、シリカゾル10%では古砂25%以下でまくれの発生はなく、5%では新砂100%の砂のみまくれが発生せず、古砂が多くなるにしたがってまくれは多くなる。

滑溜のさしこみ(めざし)は塗型のまくれが原因であるとされていることから考えると、乾燥や注湯によりき

れつを生じない塗型を施することはきわめて重要なことで、シリカゾルの添加が注目されていることはこの実験の結果からも十分うなづける。

また、水ガラス量が多くなると砂の熱膨張量が増し、塗型のまくれがいちじるしくなる傾向があるので、新砂のみを用いる場合あるいは、古砂を配合する場合でも水ガラスは極力少なくするよう心がけるべきである。

シリカゾルを10%添加すると着火にくくなるので、バーナーで加熱するなどして着火をうながす必要があるが、できれば着火せずに放置しておき、のちにバーナーで軽く加熱するほうが好ましいようである。

IV 結 言

自硬性鉄型に施す揮発性塗型に対するシリカゾル添加が塗型のきれつ防止におよぼす効果について、ばく熱試験により検討した結果を要約するとつぎのようになる。

1. 鉄型砂が新砂の場合、ばく熱により塗型に大きいめくれを生じやすく、古砂配合量が多くなるほど細かい

きれつを多く生じた。

2. シリカゾルの添加により、塗型の大きいめくれは発生しなくなり、細かいきれつもいちじるしく減少した。

3. 古砂配合量および水ガラス量が増加するほど、塗型のきれつ発生がいちじるしくなる傾向があるが、シリカゾルを塗型液に添加したものではその傾向が一層あきらかに示された。

重要なこと
この実験

が増し、
で、新砂
場合でも水
る。
るので、
要がある
バナー

鉄物砂に関する研究（第17報）

マイクロウェーブの鉄型への利用*

原 信彦, 内藤達也

I 緒 言

マイクロウェーブ（極超短波）は周知のように、無線通信・テレビ・レーダーなどの情報伝達手段として利用されているが、また一方では加熱にも利用され、とくに最近は電子レンジと称して家庭にも料理用として進出するにいたっている。

マイクロウェーブを含む高周波を加熱に用いることは以前から行なわれておらず、高周波誘導加熱による金属の溶解や焼入がその例である。

この誘導加熱に対して誘電加熱は非電導体に対して、その誘電体損失による自己発熱を利用して温度上昇をはかるもので木材の乾燥・合板の接着・ゴムの加硫・塩化ビニールの接着・食品の加工などに利用されている。

通常の高周波（短波）では発熱が小さいので、超短波あるいは極超短波のいわゆるマイクロウェーブが適用される。

本実験はマイクロウェーブを鉄物砂の乾燥あるいは硬化反応の促進に利用することについて検討したものである。

マイクロウェーブによる加熱の利点としてつぎのことがあげられる。

1. 外部加熱方式にくらべて急速加熱が可能である。
2. 一様な電界中では被加熱物を内外均一に加熱できる。
3. 目的物以外は加熱されないので熱効率が高い。
4. 操作が簡単でスイッチ・オンと同時に作業をはじめられる。
5. コンベヤシステムの採用が容易である。
6. 作業環境が良好である。

II 試料と実験方法

この実験に使用したマイクロウェーブ（UHF）発生装置は周波数2450MHz、高周波出力560Wのものである。

けい砂は黒井6号を使用し、粘結剤は粉末リグニンP201、同P50L、水ガラス（モル比2.7）、エボノール樹脂ならびにアマニ油を使用した。

混練には万能混合攪拌機を用いた。

混練は粘結剤によって差はあるがいずれも3分以内で行なった。

本実験では試験片の昇温速度が重要であることに注目し次のような方法でそれを測定した。

水ガラス系、リグニン系のように誘電体損失の大きい水を含み、水の蒸発により硬化する砂については試験砂を内径50φ×50mmの塩ビパイプにつめ200°Cのアルコール温度計をさしこみ加熱装置の中央部におき試験片の中心部がUHFの照射により100°Cに達するまでの時間を測定した。

また油、エボノール樹脂などのように、それ自体ではほとんど発熱しないものために数十種の発熱剤を検討した結果カーボン質のものが有効であることを知り、カーボンサンダントリント状黒鉛を使用して、その温度上昇を測定した。

測定方法は砂と発熱剤を所定量（カーボンサンダントリント10%～70%まで10%おき、トリント状黒鉛は5%～20%まで5%おき）混合し100ccのビーカー（約50φ）に入れ、前法と同様にして100°Cと200°Cとに達するまでの時間を測定した。

発熱による水分の蒸発量の測定は50φ×50mmの試験片を用いUHFを所定時間照射したのも15分間放置して試験片の重量の変化を測定した。

強度の測定は50mm×50mmの試験片を用い所定時間UHFを照射したのも15分間放置して2.5tの油圧式圧縮試験機で圧縮強度を測定した。

III 実験結果と考察

昇温速度の測定の結果はリグニン砂（リグニン3%添加）では添加水分を1～3%まで0.5%おきに変化させた場合、水分が多くなるほど昇温速度は大きくなり水分1%では中心部が100°Cに達するまでに2分30秒前後かかったが3%では1分30秒前後であった。

* 昭和44年日本鉄物協会中国四国支部鉄物技術研究発表会に発表。

またP201とP501とでは大きな差はなかった。
その結果を図1に示す。

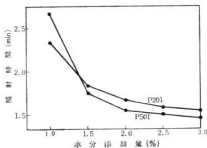


図1 試験片の中心が100°Cに達するまでの照射時間と水分添加量の関係

水ガラスの場合はリグニン砂より昇温速度は大きく水ガラス2%添加のものでも1分36秒で100°Cに達した。

またリグニン砂と同様水ガラスの増量による水分の増加とともに昇温速度は上昇する。

その結果を図2に示す。

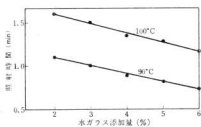


図2 水ガラスの添加量と昇温との関係

水分による蒸熱の場合は図2からもわかるように85~90°Cくらいまでは温度は急速に上昇するがそれを越えると速度は低下する。

これは蒸発による水分の減少のための損失係数の低下と蒸発潜熱によるものと思われる。

発熱剤として黒鉛、カーボンサンドを使用した結果を図3、図4に示す。

カーボンサンドの昇温速度に及ぼす影響は黒井い砂に対して添加量40%までは、その量を増すほど昇温速度は大きくなるが、それ以上増してもほとんど効果がない。

リン状黒鉛では10%で極大を示している。

添加水分量と残留水分量との関係は短時間の照射では前者が多いほど後者も多いが照射時間が長くなると蒸発が激しいため、前者が多いほど後者が少なくなる傾向が

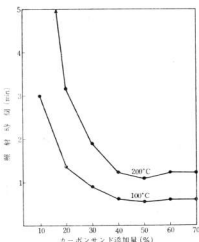


図3 カーボンサンドの添加量と昇温との関係

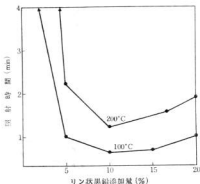


図4 リン状黒鉛の添加量と昇温との関係

見られる。

その一例を図5に示す。

リグニン砂の圧縮強さはP201の場合3分までは照射時間が長くなるほど強くなり3分間照射すると水分3%のものは33kg/cm²に達し、この時の残留水分は0.15%であった。

またP501の場合はP201とは異なり水分2%以上では照射時間2分で極大となり水分3%のものは34kg/cm²になった。

その結果を図6、図7に示す。

P501の場合UHFを3分間照射したときの強度が低下したのはリグニン砂、特にP501の場合残留水分が0に近づくと強度が低下する性質があるためと思われる。

水ガラスを粘結剤に使用した場合は水ガラスの量が増すにつれて、また照射時間が長くなるほど強度は上昇する。

しかも、水ガラス量3%でも実用上十分な強度と表面

安定性が得られた。

その結果を図8に示す。

フェノール樹脂、アマニ油のように熱硬化性のものは焼成に100°C以上の温度を必要とするので、カーボン質の発熱剤を添加してUHFを照射した。

この場合硬化させることには成功したが加熱むらが発生するため実用にはまだ問題がある。

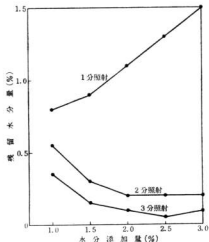


図5 P501の水分添加量と残留水分の関係

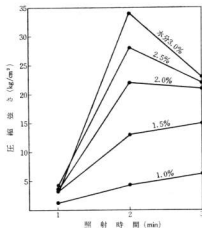


図7 リグニン砂P501の照射時間と強度の関係

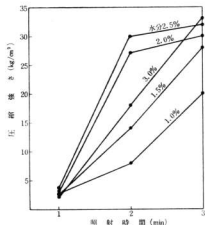


図6 リグニン砂P201の照射時間と強度の関係

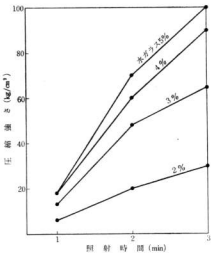


図8 水ガラス砂の照射時間と強度の関係

IV 結 言

1. 粉末リグニン P201, P501を 3% 添加したリグニン砂にマイクロウエーブを照射することにより急速硬化させることができ、照射時間は 50φ×50mm の試験片の場合 P201は 3 分、P501では 2 分が適当である。

また、添加水分は型によって 1.5%~3% の範囲で変

化せるとよい。

2. 水ガラスを粘結剤に使用した場合水ガラス 3% 添加でも十分使用できる強度と表面安定性がえられる。

3. 热硬化性樹脂の硬化については加熱むらがあるためマイクロウエーブ発生装置を改良するか、発熱剤の選択が必要である。

自硬性鋳型に関する研究(第5報)

有機自硬性鋳型の常温性質におよぼす粘結剤添加量の影響

世 良 時 夫, 原 信 彦

I 緒 言

有機粘結剤を使用する自硬性鋳型は、エアセッタ法が最初で、国内に紹介されて10年以上を経過している。粘結剤に乾性油を使用して、酸化重合で硬化するが、本報告¹⁾にもすでに報告している。その後フラン系樹脂にリソニン酸触媒を利用した、フラン系自硬性鋳型が開発され現在にいたっている。

一方、一昨年アッシュランド社の開発になるリノキュー法が紹介され、有機自硬性鋳型への関心は一段と高まっている。ここ数年来、無機自硬性鋳型の採用で、生産性を向上することができたが、後処理などの問題から一部は有機自硬性鋳型に移行する傾向にあると考えられる。このような状況を考え、筆者らはまずリノキュー法を選び、常温での諸性質を検討したので、その結果について報告する。

II 試料と実験方法

供試砂は100メッシュピーカで粒度指数109の黒井けい砂を使用した。有機自硬性粘結剤はH社製のもので、3成分からなり、A液は特殊アルキド組成物、B液は金属化合物、およびC液はポリイソシアネート組成物で、それぞれの添加量を変えて実験した。

調和は万能混合攪拌機を使用し、回転数(R=90 r.p.m., Q=205 r.p.m.)を一定として混練した。試験片の作製方法や混練方法については予備実験を行なって決めた。

実験は試験片作製後、所定時間での圧縮強さを測定した。つぎに、5, 24時間放置した試験片の表面安定性を測定した。表面安定性試験は、6メッシュのふるいをロータップ型ふるい機にとりつけ1分間振とうし、前後の重量比(%)で示した。さらに、混練後成型までの時間を、混練直後、10分、20分、30分と変えて試験片を作製後24時間放置し、圧縮強さを測定して、可使用時間を検討した。

III 実験結果と考察

1. 予備実験

黒井けい砂 5kg に A液を 2%, B液を A液の 5%添

加して1分、さらにC液をA液の30%添加して1分混練して供試砂とした。試験片のつき固めに51φ×150mmの塗ビパイプを用いた。

その結果を表1に示す。

表1 放置強度(kg/cm²)

放置時間 h	24				直後	10min	20min
	1	2	3	4			
圧縮強さ	4.4	9.6	10.7	9.39	0.49	32.3	14.9

放置強度は十分と思われるが、混練後成型までの時間を24時間放置の圧縮強さで比べると、10分経過すると15kg/cm²以上も低下することがわかった。したがって試験片は混練後、すばやく成型することが必要である。しかしそうして成型すると、10~15分位の時間がかかるので強度のバラツキは大きくなることが推測される。

そこで、試験片の作製方法をaは前述のつき固め機を使用する方法とし、bは51φ×50mmの塗ビパイプに混練砂を洗いこみ十分おさえ、上面をかきとる方法の両者を比較した。b法での試験片作製時間は3分程度である。

混練は前述の方法で配合をB液4%, C液25%にして調合した。

その結果を表2に示す。

表2 放置強度(kg/cm²)

放置時間 h	24			
	a	b	c	d
1	11.0	20.1	24.9	43.0
2	11.3	21.3	28.2	48.0

aはbに比べて圧縮強さが低く、バラツキも大きいことがわかった。この有機自硬性鋳型は硬化反応がはやく、混練後成型までの時間が大きく影響するため、手洗いによるバラツキよりもはるかに大きいことがわかる。

つぎにA液とB液の添加量を、前述の単独に添加して混練する方法cと、A, B液をあらかじめ混ぜあわせて添加する方法dとで比較した。混練サイクルはけい砂にA液2%, B液4%添加して2分、さらにC液25%を加え

て1分とした。

その結果を表3に示す。

表3 放置強度 (kg/cm²)

放置時間 h	1	2	3	4	5	24
c	4.2	9.7	19.4	24.9	31.8	47.2
d	5.2	17.1	26.8	31.8	34.6	53.1

A, B液はあらかじめ混合した場合が全般に圧縮強さは高い。

以上の結果をまとめるとつぎのとおりである。

(1) 本実験に使用した粘結剤は、混練後すばやく成型する必要があり試験片は、51φ×50mmの塩ビパイプに混練砂を流しきみ、十分おさえ、上面をかきとる方法がよかったです。

(2) A, B液はあらかじめ混合してけい砂に添加するのがよかったです。

2. A, B, C液の添加量が放置強度におよぼす影響

A, B, C液の添加量を表4に示す。

基本配合としてA液は1.8%, B液はA液の5%, C液はA液の25%とした。混練条件はつぎのとおりである。

黒井けい砂(7kg)+(A, B液混合), 2分混練→C液, 1分混練

実験時の温度は19~24°C, 湿度45~75%であった。

実験結果を図1に示す。

A液は特殊アルキド組成物で酸化重合反応で硬化するといわれている²⁾。添加量をふやすとほぼ直線で圧縮

表4 粘結剤の配合(%)

配合No.	A液	B液	C液
1	1.4	A液の5%	A液の25%
2	1.6	タタ	タタ
3	1.8	タタ	タタ
4	2.0	タタ	タタ
5	1.8	タ1	タタ
6	タ	タ3	タタ
7	タ	タ7	タタ
8	タ	タ5	タ20
9	タ	タタ	タ30

強さは上昇する。しかもその傾向は、成型後3時間位から大きくなり、24時間ではもっともいちじるしい。

B液はA, C液の硬化反応に有効な金属化合物の触媒で、初期には添加量の多いほど圧縮強さはいちじるしく上昇する。しかし5時間では直線の傾向を示し、さらに24時間では、初期と逆の曲線になり、適量範囲は3~5%程度である。

C液はポリイソシアネート組成物で初期硬化に影響するといわれている²⁾。本実験の添加量10%の違いは、初期強度に大きな差はなかった。しかし放置24時間では添加量の影響は大きい。

参考に5, 24時間での測定値から圧縮強さを γ として、A, B, C液の添加量の関数形を推定するとつぎのようになる。

$$\gamma_5 = 17.17A - 7.11$$

$$\gamma_{24} = 25.58A - 8.20$$

A : A液の添加量

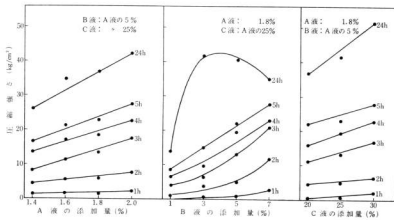


図1 A, B, C液の添加量が放置強度におよぼす影響

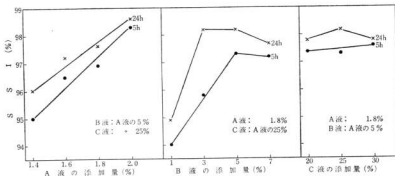


図2 A, B, C液の添加量が表面安定性におよぼす影響

$$y_{24} = 3.23B + 5.41$$

B : B液の添加量

$$y_{24} = -2.07B^2 + 19.72B - 2.62$$

C : C液の添加量

$$y_{24} = 0.58C + 9.61$$

A : A液の添加量

$$y_{24} = 1.58C + 3.78$$

24時間での圧縮強さはA液の添加量0.2%で約5kg/cm²、C液の添加量5%で約8kg/cm²の差がある。またB液の添加量は約5%でピークとなる。

3. A, B, C液の添加量が表面安定性におよぼす影響 実験結果を図2に示す。

A液の添加量が多くなるとほぼ直線でS S Iは向上する。また放置時間は長い場合がすぐれている。この傾向は圧縮強さとよくしている。

B液は放置5時間では5%まで、24時間では3%までS S Iは向上するが、それ以上ではむしろ低下する傾向にある。

C液は添加量の影響がほとんどない。

本実験のS S Iが96~97%以上であると指での感じから表面の安定性はほぼ良好である。

つぎに表面安定性と圧縮強さの相関を調べた散布図を図3に示す。

相関係数を求めるとき $r=0.82$ で検定の結果は有意である。回帰線を求めるとき $y=7.36x-685.2$ を得た。

$$y = 7.36x - 685.2$$

y : 圧縮強さ

x : 表面安定性

以上の結果、表面安定性と圧縮強さは相関があるといえる。

4. A, B, C液の添加量が可使時間におよぼす影響

可使時間の定義は本実験では図3を参考にして、放置24時間での圧縮強さが20kg/cm²まで低下する時間を可使時間と決めた。すなわち図3のS S Iが96%弱で表面のボロツキが大きくなると感じられるところである。

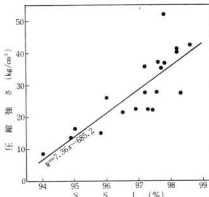


図3 表面安定性と圧縮強さの散布図と回帰線

実験結果を図4に示す。

A液は添加量が多いほど圧縮強さが高く、混練後成型までの時間経過とともに、直線的に低下する。またその傾向は添加量に関係なくほぼひとしく下がっている。

B液の添加量、1%は混練直後でも強さは20kg/cm²以下である。3%は強さも高く、ほぼ直線で低下し、そのかたむきもゆるやかである。5%、7%添加もほぼ直線で低下する。

C液の添加量が多いほど混練直後の圧縮強さは上昇するが、成型までの時間経過とともにいちじるしく低下する。

以上の結果から圧縮強さ20kg/cm²まで低下する、混練後成型までの時間、すなわち可使時間をプロットすると図5に示すようになる。

放置強度、表面安定性、可使時間が基本配合と比較し

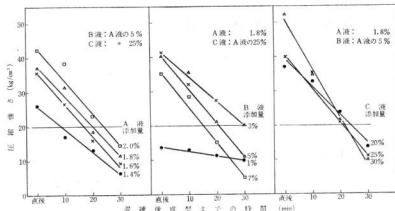
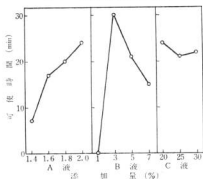


図4 配練後成形までの時間とA,B,C液の添加量が圧縮強さにおよぼす影響(24h放置)

図5 A,B,C液の添加量と可使時間の関係
表5 基本配合と諸性質の比較

配	合	放	強度	安	定	性	可使
A液(%)	B液(%)	C液(%)	初期	24h	5h	24h	時間
1.4	A液の5	A液の25	×	×	×	×	×
1.6	タ	タ	×	×	×	×	×
1.8	タ	タ	△	△	△	△	△
2.0	タ	タ	○	○	○	○	○
1.8	A液の1	タ	×	×	×	×	×
タ	タ 3	タ	×	△	×	△	○
タ	タ 7	タ	○	×	△	×	×
タ	タ 5	A液の30	△	×	△	△	○
タ	タ 5	タ 30	△	○	△	△	△

○基本配合より非常にすぐれている

○ タ すぐれている

△ タ 同程度

× タ より悪いもの

× × タ より非常に悪いもの

て、添加量の変化がどのように影響しているかを表5にまとめて示す。

IV 結 言

有機自硬性説型にリノキア法を選び常温での諸性質を検討した。その結果をまとめるとつきのとおりである。

1. 本実験の試験片は $51\phi \times 50\text{mm}$ の塩ビパイプに混練砂を流し込み十分おさえ、上面をかきとる方法がよかった。

2. A、B液はあらかじめ混合して添加するのがよかった。

3. A液は圧縮強さ、表面安定性に大きく影響し、添加量をふやすと性質は向上する。

4. B液は適量範囲があり、諸性質に大きく影響する。添加量はA液の3～5%がよかった。

5. C液の添加量をふやすと、とくに後期の圧縮強さが上昇する。

文 獻

1) 宗吉、中村、原：本報告、7(1960), 72.

2) 小林：総合誌物、11(1970)3, 23

球状黒鉛鋳鉄に関する研究(第3報)

球状黒鉛鋳鉄の Si 量および加熱速度が
オーステナイト化温度におよぼす影響*

西川 浩成, 横山 宏樹, 内藤 達也

I 緒 言

従来、鋳鉄の熱処理は可鍛鉄が代表的なものと考えられ、その他のほとんどどの鋳鉄は鑄造状態でいかに強力にするかの溶製法に多くの努力が払われて、固化後の処理については比較的関心が払われなかった。しかし熱処理により、その性質をいちじるしく向上できる球状黒鉛鋳鉄の生産も多くなり、また機械その他の部品として表面硬化処理などによる耐摩耗性の向上が要望されるようになった今日、鋳鉄の熱処理という問題は中小鋳物工場あるいは生産加工工場においても近い将来重要課題の一つとなることが予想される。

著者らは、球状黒鉛鋳鉄の熱処理の研究の一端としてその焼入性に関する基礎的な資料を得、熱処理条件の指針を確立するため、Si 量および加熱速度が、オーステナイト化温度におよぼす影響について実験し、関連企業への熱処理技術指導データとした。

II 試料と実験方法

1. 試 料

地金は釜石ダクタイル鉄 1 号 C と SS41 を用いた。ダクタイル鉄の化学成分(%)は、C4.20, Si1.54, Mn0.15, P0.040, S0.015 である。球化剤は KC 液 11 号、元湯の成分調整は 75% Fe-Si, 75% Fe-Mn を用いた。高周波溶解により、地金 13kg(ダクタイル鉄 90%, SS41 10%)を溶解し成分調整後、光高温計読み 1,400°C で出湯し、KC 液 11 号(1.5%)を添加して球状化処理を行い、図 1 に示す形状に鍛込んだ。この九本の両端を除いた部分を図 2 に示す形状に加工し試料とした。各試料の化学成分と CE 値は表 1 に、各試料に相当する組織組織は写真 1(a), (b), (c)に示すとおりである。

2. 実験方法

図 2 に示す形状に機械加工した試料にバーカッショングウェルダーで、0.2 mmφ の P.R. 热電対を穴の底に接続したものを、富士電波工機製の全自动変態測定装置(高周波出力 3 kW, 周波数 1.7 MHz)により、加熱速度

(°C/min)を 5, 15, 30, 87, 154, 307 に変化させて加熱し、熱膨脹曲線からオーステナイト化温度を解析した。

III 実験結果と考察

試料の加熱による膨胀曲線におけるバーライトのオーステナイト化温度におよぼす影響

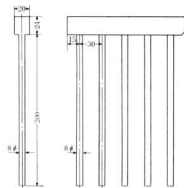


図 1 鍛造方案

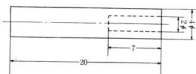
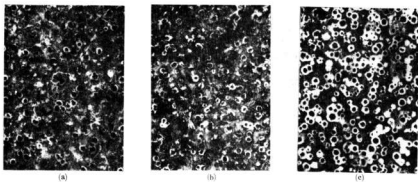


図 2 試料形状

表 1 試料の化学成分(%)

試料	C	Si	Mn	P	S	CE
a	3.31	2.38	0.60	0.076	0.027	4.13
b	3.41	2.51	0.50	0.069	0.024	4.27
c	3.38	3.17	0.53	0.071	0.023	4.46

* 第1回鋳造技術担当者会議(名工試)で発表

写真1 試料の顕微鏡組織 ($\times 100$)

スナイト化による収縮の開始点の温度を変態開始温度とし、オーステナイト化が終了し再び膨脹に転ずる点の温度を変態終了温度とした。その測定結果をまとめると図3に示すとおりである。

Si量が増加すると、変態開始温度および、終了温度

とも高くなっている。加熱速度の影響に関しては、15~87°C/minの間では加熱速度を増すと開始温度の上昇がいちじるしく、とくにSi量の高いもので顕著であるが、それ以上加熱速度を増しても、開始温度は上昇せず、低Siのものではむしろ低下している。終了温度についてはバラツキがあるが明確なことはいえないが、すう勢としては開始温度と同様である。オーステナイト変態開始温度と終了温度との差はSi量の高いものほど大きい傾向がある。変態所要時間も長くなっている。

この実験の結果はバラツキがかなりあって、明確な結論は得たいたいが、Si量と変態温度との関係は一応あきらかにすることできた。

今後は実験方法、装置の改善によってデータの充実をはかるとともに、高周波焼入との関連性を求めてさらに研究を進める方針である。

四 結 言

球状黒鉛鉄は今後、中小鉄物工場または機械工具加工場において熱処理を施し、強制材質として使用されることを予想し、適切な熱処理条件を指導しなければならない。

そこで球状黒鉛鉄のオーステナイト化温度におよぼすSi量と加熱速度の関係について研究した結果はつぎのようになり、鉄物中小企業に対して指導に役立てたい。

1. Si量が増加するにしたがってオーステナイト変態開始および終了温度とも上昇する傾向にある。したがって球状黒鉛のSi量により適当な焼入れ温度を選択する必要がある。

2. オーステナイト化への加熱温度の影響については、一部変態開始温度との明らかな関係が得られたが、これについてはなお研究の余地がある。

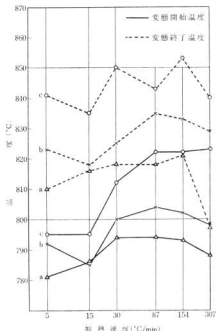


図3 Si量とオーステナイト化温度の関係

文 献

- 1) 加城, 石田, 横山: 日本国金属学会誌, 10 (1965) 932
- 2) 池田, 上田, 田谷: 本報告, 11 (1967) 38
- 3) 日本国金属学会鉄造分科会編: 球状黒鉛鉄の理論と
実際, 丸善 (1966) 295
- 4) 依田: ファンドリーニュース, 32. 1

メッキに関する研究(第9報)

アルカリ性銅メッキ液中のクロムの分析法について

渡部英雄, 田谷征雄, 清水達磨

I 緒言

電気メッキは、液中に他の金属不純物が混入することによって、メッキの品質が著しく低下し、作業に支障をきたす。クロム酸もその一つであり、これの存在によって光沢、つきまわりが悪くなり、密着不良、電流効率の低下、ビリなどのメッキ不良の悪影響がある。

青化銅メッキにおいてもヒッカケ治具、クロムメッキミストなどからクロム酸が混入した場合、電流効率の低下、ムラ状メッキ、ビリなどの欠陥を生ずるためクロムを迅速に分析し、メッキ液管理を行なう必要がある。青化銅メッキ液中には多量の銅、ナトリウム、カリウムが存在するので、これらの共存物質を分離する必要があるが、原子吸光分光分析法により分離操作を行なわずに迅速分析を行った。原子吸光分光分析法によるクロムの定量は、鉄鋼¹⁾、鉄筋石²⁾などのものが行なわれているが、今回分離操作を行なわず、青化銅メッキ液中のクロムを定量してほぼ満足する結果を得たので報告する。

II 実験方法

1 試薬

クロム標準溶液：標準試薬の重クロム酸カリウム(99.99%)を150°Cで乾燥し、2.8285 gを水で溶解したのち、これを希釈して1 Lとして1,000ppm溶液を調製した。使用に際してはこの原液を適当にうすめて調製した。

妨害元素を調べるために各元素の標準溶液は、すべて各元素の塩化物を用い、水で希釈して一定量にうすめて調製した。また試薬はすべて特級試薬を使用した。

2 装置

日本 Jarrell Ash 社製 AA-1 型を使用、光源は Westinghouse 社製の hollow cathode lamp (Cu-Fe-Mn-Ni-Co-Cr) を使用した。バーナーは水冷魚尾型 100mm スリットを用い、スリット幅は 100μ (固定) を用い、空気アセチレン炎を用いた。

3 測定条件の検討

原子吸光度計を用いてクロムを定量する場合、まず測定条件の選定が問題となる。そこでフロム 10 ppm 溶液を作り、測定波長、ランプ電流値、バーナーの高さ、ガス流量の影響、酸濃度の影響、共存元素の影響について検討した。ただしスケール拡大を行なう場合は 2 ppm 溶液で行なった。

4 検量線の作製

クロムとして 50, 100, 150, 200, 250 μg を 100 mL のメスフラスコにそれぞれ採取して、これに銅、ナトリウム、カリウムをそれぞれ 25,000 ppm, 15,000 ppm, 5,000 ppm になるように添加し、これに塩酸 (1 + 3) 40 mL 添加して水で希釈して 100 mL とする。これを原子吸光度計によりスケール拡大を 5 倍にして検量線を求める。

5 メッキ液の分析

メッキ液 25 mL を 300 mL のビーカーに正確にとり、塩酸 30 mL と過酸化水素 10 mL を加え、加熱してシアンを完全に分解する。これを加熱濃縮して蒸発乾固する。冷却後にこれに塩酸 (1 + 3) 40 mL を加え加熱溶解する。放冷後これを 100 mL のメスフラスコ中に移し、水で標線まで希釈する。この溶液を原子吸光度計により測定して、あらかじめ求めた検量線よりクロムの含有量を求める。

III 実験結果と考察

1 測定条件の決定

(1) 波長、ランプ電流値およびバーナーの高さ

クロムの測定波長は 3579, 4254 Å の二つの波長があるが、吸光度を測定して 4254 Å を用いた。ランプ電流値は電流値が高くなると吸光度はわずかに減少するが、スケール拡大した時の S/N を考慮して 14 mA を用いた。バーナーの高さは光軸より 4 mm のところに調節した。

(2) ガス流量と吸光度の関係

クロム 10 ppm 溶液を使用して、空気およびアセチレン流量を変化させて、炎が安定で最高の吸光度が得られる流量に設定した。図 1 は空気流量を 8.0 L/min に設定

してアセチレン流量の変化によるクロムの吸光度の変化を示す。

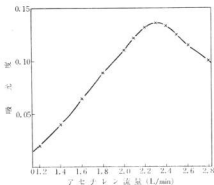


図1 アセチレン流量の影響

図1により空気流量は8.0L/min、アセチレン流量は2.3L/minが最大の吸光度が得られた。以下の実験では測定条件として表1に示すとおりに設定した。

表1 クロムの測定条件

波長(Å)	ランプ電流値	アセチレン流量(mA)	空気流量(L/min)
4254	14	2.3	8.0

2 酸濃度の影響

前処理としてメキシ液中のシアンを分解するために用いる酸として塩酸、硝酸、硫酸の濃度の影響について検討した。クロム10ppm溶液を用い、酸濃度として0~1.6Nの範囲で変化させて吸光度の変化を調べた。その結果を図2に示す。図2より塩酸、硝酸はこの濃度範囲

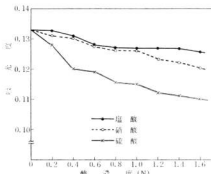


図2 酸濃度の影響

ではほとんど影響しないが、硫酸は濃度が増すにしたがって吸光度が低下した。以下の実験では使用する酸は塩酸を用い、酸濃度としては1.2Nを使用する。

3 共存元素の影響

クロム10ppm溶液中にメキシ液中に含まれる共存元素として銅(0~2.5g)、ナトリウム(0~1.5g)、カリウム(0~0.5g)を別々に添加してその影響を検討した。銅、ナトリウム、カリウムはこの範囲ではほとんど影響しなかった。しかしこれ以上共存物質を添加するとマトリックスの影響で吸光度は低下した。

4 定量結果

II-4より求めた検量線を図3に示す。図3より再現

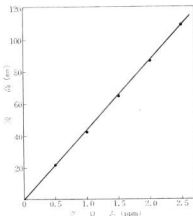


図3 クロム検査線

性の良い直線の検量線が得られた。実試料の分析を行なう場合メキシ液中のシアンを分解するために使用する酸化剤として過酸化水素と過マンガン酸カリウムについて検討したところ、マンガンの共存はクロムの吸光度を低下させるが、約1gの塩化カリウムの存在で影響は除けたが、原子吸光度計に噴霧した時スリットバー中にマンガンの酸化物が多量に付着したため、過酸化水素を使用した。

表2 メキシ液分析結果

添加したクロム量 (μg)	測定したクロム量 (μg)
50	52
100	101
150	150
200	194

実試料の分析としてはクロムを含まないメッキ液 (CuCN 90g/L, NaCN 100g/L, KOH 20g/L) を作り、これにクロム標準溶液を添加して II-5 によって得られた結果が表 2 である。

表 2 より添加したクロム量と検量線より求めたクロム量とはほとんど一致した。これより青化銅メッキ液中のクロムの定量は可能で定量下限は 2 ppm であった。

IV 結 言

実験結果を要約するとつぎのとおりである。

1) クロムを定量する際、フレームとして空気-アセチレン炎を用いる場合、多燃料フレームを用いると吸光

度が高くなった。

2) 光源に複合ランプ (Cu-Fe-Mn-Ni-Co-Cr) を用いた場合スケール拡大は最大 5 倍であった。

3) メッキ液中には多量の銅、ナトリウム、カリウムが存在するので、メッキ液を多量にとるとマトリックスの影響により吸光度は低下する。今回メッキ液中の共存物質を分離せずに行なったので定量下限は 2 ppm であった。

文 献

- 1) 遠藤, 畠, 中原: 鉄と鋼, 55 (1969) 116
- 2) 遠藤, 畠, 中原: 分析化学, 18 (1969) 833

化学的公害に関する研究（第6報）

メッキ工場廃水処理スラッジについて（その1）

田 谷 征 雄, 清 水 達 嘉
金 本 正, 応 和 尚

I 緒 言

電気メッキ工場排水は、シアンおよび種々の重金属類を含むため、厳しい取扱いの対象となっている。通常これららの廃水処理は、シアン系、クロム系、他の重金属系、その他に分別排水し、シアン系は NaClO によるアルカリ塩素化法、クロム系は $\text{Cr}^{6+}-\text{Cr}^{3+}$ に還元後、他系統の廃水と合せ金属イオンを水酸化物として中和沈殿除去を行っている。

これにより生じるスラッジは有機性スラッジと異なり不燃性であり、かつ重金属類およびシアンを含むために二次公害のおそれがあり簡単に埋立などの施設処分ができない。産業廃棄物の有効利用、回収という面においても、メッキ企業の大半が零細企業であり、工場規模も小さく、生成スラッジが量的に少なく、成分も均一でないなどのいくつかの不利な点があげられている。そこで以下の大手工場8社10試料のスラッジについて、化学分析、生スラッジの加熱によるシアン除去、産業廃棄物の利用などを考慮して 1200°Cにおける焼成試験などを行ない、実際のスラッジに対する予備知識を得るとともに、今後のスラッジ処理方法を検討した。

II 試料と実験方法

1. 試 料

スラッジの排出工場の特徴および廃水処理方法を表1に示す。化学分析の一部（pH 測定および CN⁻定量）および加熱試験を除きすべて 105~110°C で乾燥し恒量としたものを用いた（乾燥基準）。

2. スラッジの化学分析

pH：湿润試料（生スラッジ）1g を水 100mL に懸濁させ、ガラス電極 pH 計で測定した。

酸不溶分：試料 1g を 5wt% H₂SO₄ 50mL を用い 30°C で 1 時間処理し、汎過洗浄後約 1000°C で恒量とした。

灼熱減量：約 1000°C で 30 分間灼熱して求めた。

金属分：王水で溶解し、蒸発乾固後再び HCl にとかし Cu は常法により電解法で、Ni はジメチルグリオキシムによる重量法で、Zn は銅電解液に H₂S を通じ ZnS とした後 EDTA 滴定でそれぞれ定量した。Cr は過硫酸アンモニウムで酸化後過マンガン酸カリウム滴定法で、Fe は SnCl₂ で還元後過マンガン酸カリウムで滴定した。SO₄²⁻ : BaSO₄ による重量法で定量した。

表 1 供 試 ス ラ ッ ジ

試料 No.	メ ッ キ 工 場	メ ッ キ の 種 類	中 和 剤	ス ラ ッ ジ の 脱 水
1	A	シアン化 Cu-Ni-Cr, シアン化 Zn	NaOH, H ₂ SO ₄	布袋による
2	〃	〃	〃	ス ラ ッ ジ 損
3	B	焚 焚 Ni-Ni-Cr	Ca(OH) ₂ , NaOH	真空脱水
4	C	焚 焚 Ni-Ni-Cr, シアン化 Cu	Ca(OH) ₂ , NaOH	〃
5	D	シアン化 Zn 後のクロム系のみ	NaOH	ス ラ ッ ジ 損
6	E	シアン化 Ag, バレル Ni, 鋼合金キリン上	NaOH	小型ボイラ上で長期乾燥
7	〃	〃	〃	布袋で脱水
8	F	シアン化 Zn, Cu-Ni-Cr	NaOH	ス ラ ッ ジ 損
9	G	Al 開極酸化	Ca(OH) ₂	〃
10	H	i-Cr	NaOH, Ca(OH) ₂	新聞紙で脱水

CN⁻ : 湿潤試料約1gをとり、JIS K0102 工場排水分析法全シアン(蒸留法)に準じ定量した。

3. スラッジの加熱処理

生スラッジを比較的低温の200~600°Cに加熱した場合No.1とNo.8の二試料についてスラッジ中のシアン含量の変化を検討するため図1のような装置で加熱し、発生ガスおよび加熱スラッジ中のCN⁻量を測定した。また加熱によりスラッジ中のクロム分が水溶性の六価のクロム化合物となるおそれがありこれについても検討した。

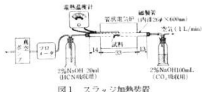


図1 スラッジ加熱装置

(1) 発生ガスおよび加熱スラッジ中のCN⁻測定

空気流量を1L/minとしCN⁻吸収液は2%NaOH 20mLを用いた。加熱スラッジ中のCN⁻はJIS K0102に準じ加熱蒸留による前処理をしたものについて比色法で定量した。

(2) 水溶性クロムの定量

磁性ポート上の加熱スラッジを沸騰水で約10分間処理

し、溶出クロムをJIS K0102に準じ比色法で定量した。

4. スラッジの焼成試験

(1) 供試品

スラッジを110°Cで約5時間無風乾燥後粉末とし約3gをとり試験成型器にて直径12mm、高さ20mmの円柱状に加圧成形して用いた。

(2) 焼成

試料をシャモット質耐火物の板上にならべ、エレマ発熱体電気炉で1,200°Cで焼成し呈色、形状などを観察した。

■ 実験結果と考察

1. スラッジの化学分析

分析結果を表2に示す。廃水処理によって生じるスラッジの組成は、メッキの種類、素材、メッキ方法(工程)、設備、および加工量比、回収方式、分別排水、廃水処理対策および中和、沈殿、スラッジの脱水など廃水処理方法によって大きく異なるのは当然である。

No.1およびNo.2は、シアン化亜鉛メッキおよび亜鉛ダイキャスト上のCu-Ni-Ni-Crメッキを行っている同一工場のスラッジでNaOH-H₂SO₄で中和している。脱水方式とスラッジ生成の日時が異なるが分析結果に大きな差は認められない。布袋による脱水がわずかに水分が少なく、また工場担当者の意見では脱水速度も大きい。

表2 スラッジの化学分析結果(%)

試料	メキ	pH	成 分 分 析								
			水 分	酸不溶 分	均 減 量	Cu	Ni	Cr	Zn	Fe	SO ₄ ²⁻
1	A	7.0	89.5 (852)	10.0	27.1	4.1	0.8	18.4	15.5	1.0	5.9
2	〃	6.7	91.0 (1011)	6.2	25.4	3.9	0.8	21.0	16.5	0.9	9.0
3	B	9.2	67.2 (205)	11.0	21.6	0.2	10.2	2.5	0.0	0.6	11.3
4	C	11.6	74.2 (288)	14.4	25.9	—	1.2	3.7	2.2	6.4	—
5	D	8.8	93.8 (1512)	0.8	21.5	0.0	0.0	20.2	23.1	1.2	8.6
6	E	8.3	44.6 (803)	1.5	23.5	15.1	17.4	0.1	7.8	1.5	3.1
7	〃	8.0	91.5 (1064)	0.8	23.4	16.4	20.8	0.7	7.7	1.6	3.0
8	F	9.1	92.6 (1251)	13.7	23.9	6.5	4.7	9.9	6.1	11.6	0.6
9	G	6.7	67.4 (207)	5.0	24.7	0.2	0.0	4.9	2.8	0.7	7.2
10	H	9.3	80.4 (410)	13.8	8.1	—	—	6.6	—	—	なし

() 内は乾燥基準の水分

ようである。Zn および Cr が多く、CN⁻ もかなり認められる。

No.3 は全自動メッキ装置の Ni-Ni-Cr メッキ工場で中和は NaOH、Ca(OH)₂-H₂SO₄ で行っている。Ca(OH)₂ を多用し、真空脱水を行っているため水分が W% で 67.2% と低く脱水率は良好である。Cr 分は二段回収しているため少なく Ni は一段のみで 10.2% と高い値を示している。

No.4 はシアノ化亜鉛メッキ、および Ni-Ni-Cr メッキ工場で回収を十分行っており、かつ廃水処理で多量の Ca(OH)₂ と FeCl₃ を用い真空脱水を行っているため水分も少なく Cr, Ni, Zn 等の金属分も少ない。Fe は報酬用助剤として多用するため 6.37% と大きい。

No.5 は、シアノ化亜鉛メッキ後のクロメート処理施水および廃液中の全クロム分除去処理のスラッジでは Zn および Cr が多い。中和は NaOH のみで、脱水はスラッジ槽のもので水分が著しく多く、脱水方法を改善する必要がある。

No.6, No.7 は、パレルニッケルメッキおよび銅合金のキリシスを行っている工場で NaOH 中和後布袋により脱水しており No.6 はさらに小型ボイラ上で長時間乾燥したもので著しく水分が少なく、効果的であることを示している。No.8 はシアノ化亜鉛メッキ、Cu-Ni-Cr メッキ工場で NaOH 中和後スラッジ槽のもので脱水している。

No.9 は Al の電解研磨等の工場で中和に多量の Ca(OH)₂ を用いている。

No.10 は硬質 Cr メッキ専業工場で、中和は NaOH、Ca(OH)₂ を併用しており、スラッジ槽で脱水している。当試料は高分子凝集剤を用いているため、形成フロックが大きく脱水性もかなりよいが、さらに新聞紙上で約 10 分間脱水したため水分が 50.4% と少ない。

以上のように生スラッジの大部分が水分であり、有用重金属類の回収および他産業への利用をはかるなどかかる場合でもこの点が大きな問題であり、とくにスラッジ槽のごとく、重力による自然脱水では 90% 以上の水分を含むため、この点の改善が必要である。さらに高価な真空または加圧脱水機を用いることなく、いかに迅速にかつ経済的に水分を減すかが重要な課題となることが考えられる。

2. スラッジの加熱処理

加熱温度による生スラッジ中の CN⁻ 量の影響を表 3 に示す。No.1, No.8 の両スラッジとも 200°C, 30 分の加熱では相当量の CN⁻ が残っているが 300°C 以上では著しく減少している。ガス中の CN⁻ は No.1 と No.8 では逆の傾向を示しているが量的には少ない。

表 3 加熱温度の影響 (単位 ppm)

試料	ガス中 CN ⁻ 残 CN ⁻	生スラッジ				
		200°C	300°C	400°C	500°C	600°C
No.1	120	18.5	4.9	3.5	2.1	1.0
		47.4	0.9	なし	なし	なし
No.8	392	1.0	1.0	1.4	1.7	3.2
		250.0	4.3	1.9	0.2	なし

表 4 加熱時間の影響 (単位 ppm)

試料	ガス中 CN ⁻ 残 CN ⁻	加熱時間			
		10min	20min	30min	60min
No.1	ガス中 400°C CN ⁻	0.26	1.58	3.50	0.15
	残 CN ⁻	1.10	0.94	なし	なし
No.8	ガス中 500°C CN ⁻	0.42	3.29	2.12	2.50
	残 CN ⁻	0.30	0.24	なし	なし
No.8	ガス中 400°C CN ⁻	2.91	1.76	1.35	1.35
	残 CN ⁻	1.67	1.01	1.85	1.30
No.8	ガス中 500°C CN ⁻	1.95	2.61	1.66	2.36
	残 CN ⁻	0.40	0.29	0.15	なし

表 5 加熱温度による溶出クロムの変化(単位 ppm)

試料	加熱温度		
	400°C	500°C	600°C
No. 1	2.85	1.78	0.43
No. 8	10.67	8.76	4.45

400°C および 500°C における加熱時間の影響を表 4 に示す。一定の傾向はみられないが、量的には少ない。また加熱処理による水溶性クロムの変化について検討した結果を表 5 に示す。本試料においては、高温ほど減少する傾向を示している。

3. スラッジ焼成試験

エレマ電気炉にて 300°C/h の昇温速度で 1200°C での焼成試験結果を表 6 に示す。この結果焼成呈色、溶剤としても特別有利な条件はないが、スラッジ焼成処理法としての焼成法は可能ではないかと思われる。なお、No.1, No.2, No.5, No.7, No.8 の試料は、水分が多いため、熱風乾燥後の量が極めて少量となり、乾燥コストが大きいことがうかがえた。

表 6 1200°C 焼成後の試料状態

試 料 No.	直 径 (mm)	色 調	焼 き 繕 り 状 態	形 態 (容 積)
No. 1	8	黒鉛色	小ヒビあり 焼結	小
No. 2	7.5	〃	〃	〃
No. 3	10	茶褐色	焼 固	原形に近い
No. 4	10	〃	〃	〃
No. 5	7	黒鉛色	酸性耐火物板上に接触している部分から溶解変形	極 小
No. 6	7	〃	〃	〃
No. 7	8	〃	焼 結	小
No. 8		茶黒色	800°C で 溶 解	ガラス状

* 直径12mmの試料の焼成後における直径を示す。

IV 結 言

メッキ工場の廃水処理によって生じるスラッジ処理を行なうにあたり、予備知識を得るために、化学分析、加熱処理、焼成試験等を行ないつぎのような結果を得た。

1. 化学組成は、生産面の内容と廃水処理方式とくに中和剤、スラッジの脱水方式の影響が大きい。

2. スラッジ処理の問題点は高含水率にあることが考えられる。とくに自然脱水のみでは不十分であり、脱水設備および脱水方法の改善が必要である。

3. 脱水後のスラッジを経済的に乾燥するために他の施設の有効利用を考慮する必要がある。

4. スラッジの 500~600°C による 加熱処理により CN⁻ はほとんど除去できる。

5. 実業関係への利用はとくに有利な条件はないがカルシウム含量が高い場合は比較的溶融温度が高いのでスラッジ排出量の大きいものはさらに検討する必要がある。

6. 有用金属の回収等をはかる場合、現在のごとく多大の経費と時間をかけて、水酸化物とする方法を根本的に変更し、イオン交換法、各種濃縮法等の採用も考慮する必要がある。

化学的公害に関する研究(第7報)

(メッキ排水の簡易シアン測定法について)

清水達磨, 下勝秋夫, 蒲原敏博

I 緒言

現在、排水中のシアン規制は毒物取扱法(全シアン 2ppm)、水質保全法(全シアン 1ppm)、広島県公害防止条例(全シアン 1ppm)などによっており、全シアンの分析は JIS K 0102 工場排水分析方法(蒸留法)で行なう必要がある。この方法は、蒸留装置、光電比色計が必要であること、分析時間が長いことなどで、現場での排水処理技術の指導効果を迅速に判定することができず、指導効果の向上、能率化をはかるためのネックになっている。

これを解決するために、最近国产化されたシアンイオン活性測定電極とガラス電極 pH 計を組合せ、シアン電極の特性、シアン錯塩の分解方法(予備処理)、妨害物質の検討など二、三の実験を行った。

II 実験方法と結果

1. シアン電極の特性

使用したシアン電極は、難溶性金属塩膜りを惑応素子とした市販品を用い、比較電極を飽和甘草電極とし、液測定液は一定条件で攪拌しながら卓上型ガラス電極 pH 計で電位を測定した。

図1は、3本のシアン電極について、pCN⁻—電極電位(mV)の関係を示したもので、電極Cはも配がほかに小さく、電極A、Bも低濃度で多少のバラツキがみられるがいずれも直線性を示している。

図2は、NaOH 濃度が CN⁻電極電位におよぼす影響を示したもので、相当の影響がみられる。この原因としては、NaOH 試薬中の重金属類の影響とも考えられるので pH 調整、または予備処理に用いる試薬の不純物に注意する必要がある。図3は温度の影響を示す。

2. シアン錯塩の分解

シアンは、Cu, Ni, Fe など安定な錯化合物を形成し、これらは水溶液中でわずかしか CN⁻ を解離しないため活性を測定する電極法では全シアン濃度を測定することができない。

JIS K 0102 では、10% EDTA, H₃PO₄ 10mL を加

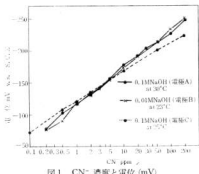


図1 CN⁻ 濃度と電位 (mV)

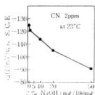


図2 NaOH 濃度と電位

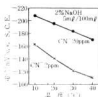


図3 溫度と電位の関係

え pH 2.5以下として加熱蒸留する方法がとられている。ここでは、蒸留法と同じ試薬を用い、JIS K 0102 通気法に準じた装置を使用し試料水 100mL をとり、EDTA, H₃PO₄ を添加後 80~82°C, 通気量 1L/min で 15 分間通風した。

表1は、CN⁻ および金属分とともに 20ppm とした試料をそのまま電極法で CN⁻ を測定したものの、上記通気法および JIS K 0102 の蒸留法(全シアン)で予備処理後電極で測定した結果を示す。

通気法によても蒸留法に近い値が得られるが、鉄錯塩については、CN⁻回収率が低く、今後さらに検討する必要がある。電極法に関しては、予備処理を行なうことにより、全シアンの測定が十分できることを示している。

表1 予備処理の影響 (CN⁻ ppm)

金属分 子	NaOH 濃度	予備処理せざ る		JIS K 0102 による蒸 留法
		0.025	0.1M	0.1M
K ⁺	20.0	20.0	20.0	20.0
Zn ²⁺	15.6	17.6	20.0	19.2
Cd ²⁺	16.8	17.6	17.0	19.2
Cu ²⁺	3.4	5.3	—	13.4
Ni ²⁺	0.2以下	0.3	19.2	19.2
Co ²⁺	0.1以下	0.8	0.4	3.5
Fe(CN) ₆ ⁴⁻	0.1以下	0.1以下	9.8	19.2
Fe ₄ [Fe(CN) ₆] ₃	—	0.1以下	10.6	19.2
Fe(CN) ₆ ³⁻	0.1以下	0.1以下	2.8	20.7
Fe ₃ [Fe(CN) ₆] ₂	—	0.1以下	9.0	20.0

3. 防害物質

現在、廃水中の CN⁻ 处理は、次亜塩素酸鉄 (NaClO₂ サラン粉等) によるアルカリ塩素化法が一般的であり。この処理水には必然的に残留塩素が存在する、また廃水中に硫化物が存在することも多い。これらは電極法にかぎらず CN⁻ 測定を妨害するため、あらかじめ NaHSO₃ または Na₂SO₃ および PbCO₃ · Pb(OH)₂ で処理する必要がある。

図4は、これらの影響を示したもので、NaHSO₃ の存在で低い値となり、PbCO₃ · Pb(OH)₂ ははじじるし

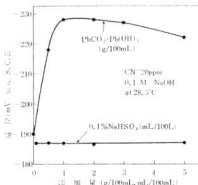


図4 電極法における NaHSO₃、PbCO₃、Pb(OH)₂ が電位に及ぼす影響

く高い値を示す。これの排除のため、硫化物除去後、蒸留などの操作を行うことが必要である。

4. 実際の工場排水分析例

実際のメッキ工場排水を試料とし、直接シアン電極による CN⁻ 測定、EDTA、H₃PO₄ を用いる通気法、JIS K 0102 の蒸留法などによる CN⁻ 分析値を比較したものを表2に示す。実際の排水においても、蒸留操作を行なえば電極法もかなり JIS K 0102 による分析結果に近い値が得られる。

表2 実際の工場排水分析例 (CN⁻ ppm)

No.	メッキ工場	電極法	通気法	蒸留後 ビリジン ピラゾン法	電極法
1	Zn(パレル) Ni-Cr	6.2	4.5	—	46.2
2	全自動 Zn	0.1以下	0.2以下	—	2.47
3	Zn, Cu, Ni, Cr	タ	3.5	—	6.87
4	Zn, Ni, Cr	0.55	19.5	—	21.5
5	Zn	0.1以下	0.2以下	—	1.37
6	Zn (パレル)	タ	—	—	1.59
7	Zn (パレル)	タ	0.1以下	0.1以下	0.07
8	Zn (静止)	タ	0.2以下	1.65	1.66
9	Zn, Ni, Cr	タ	2.0	2.9	2.79
10	Zn, Ni, Cr	タ	0.3	0.6	0.82

■ 総 言

1. シアン活量測定電極は pCN⁻ 一電位に直線性を有しているが、使用にあたっては温度の影響および pH 調整用の NaOH 添加量の影響を考慮する必要がある。

2. 廃水中の硫化物除去用に用いる PbCO₃ · Pb(OH)₂ が電極電位に及ぼす影響は大きい。

3. 電極法を用いる全 CN⁻ 測定は JIS K 0102 の蒸留操作後行えば、近似的な値を得ることができる。

全シアンの簡易迅速測定における問題点は加熱蒸留操作の迅速化であり今後さらに検討を要する。

おわりに本実験に終始御協力戴いた近畿大学卒論生森本安繁君に感謝いたします。

文 献

- 1) 浅野泰一: 電気化学 37 (1969), 611

FRP の成形と物性に関する研究（第6報）

ポリプロピレン繊維の FRP への応用とその物性*

高崎宗利 東正十郎

1 緒 言

FRP の補強材としては、ほとんどガラス繊維が用いられているが、合成繊維であるポリプロピレンおよびビニロンなどを使用した積層品、プリミックス製品は高い衝撃性を有して軽量化および耐摩耗性の良好なことなど、特徴あるものが得られる^{1,2)}。しかし、合成繊維を補強材とする FRP はガラス繊維を基材とする FRP にくらべ、弾性率が低く、引張強さおよび曲げ強さなど機械的性質がかなり劣るため構造材料としては不適である。ガラス繊維とポリプロピレン繊維の併用により両者の特徴が相乗的に発揮される結果^{3,4)}からみて、ポリプロピレン繊維の FRP への応用は製品性能の改良に興味あるものと考えられる。

筆者らは、前報³⁾に引き続いてポリプロピレン繊維とガラス繊維との併用実験を進め、短期間であるが屋外曝露およびウェザーメータによる促進試験などを行ったので、その結果について報告する。

2 実験方法と試料

2.1 3ply 積層試料の作成と試験

前報において、ガラス繊維およびポリプロピレン繊維のマット、ローピングクロス組合せの 4ply について検討したが、表 1 に示す基材構成による 3ply の試料をハンドレイアップにて積層した。

表 1 3ply 積層試料の基材構成

No.	基材構成	構成比(W%)		厚さ mm	比重	
		樹脂	ガラス ポリプロ ピレン			
1	MRM	46.0	54.0	—	1.555	
2	RMR	56.0	44.0	—	1.635	
3	MMM	60.3	39.7	—	1.514	
4	MmM	71.2	23.3	5.5	1.375	
5	MCM	60.5	36.0	3.2	2.35	1.445
6	CmC	77.3	—	22.7	2.63	1.134
7	mCm	85.3	—	14.7	3.07	1.142
8	CMC	64.5	26.3	9.2	2.10	1.331

ハンドレイアップにて積層した。

M および R はガラス繊維のマット 600g/m²、ローピングクロス 580g/m² を示し、m および c はポリプロピレン繊維のマット 300g/m²、クロス 100g/m² の使用であり、ポリエチレン樹脂は一般成形用のものを用いた。

比重の測定は静水置換法により、物性試験は JIS K 6911 に準拠した。

2.2 屋外曝露試料

ポリプロピレン繊維はマットとして PND-200、クロスは PC-120 を使用し、ガラス繊維は EMG-450 および EWR-580 を用いた。なお、繊維の数字は g/m² の単位重量を示すものである。

ポリプロピレン繊維とガラス繊維の併用実験として、表 2 の構成による 4ply の積層板(400×500mm)をハンドレイアップにて成形した。

表 2 屋外曝露試料の積層構成

No.	基材構成
1	P(M+C+M+C)
2	GM+P(C+M+C)
3	PM+G(R+M+R)
4	GM+PC+G(M+R)
5	G(M+R+M+R)
6	P(M+C)+G(M+R)
7	G(M+R)+P(M+C)
8	PM+G(R+M)+PC
9	GM+P(C+M)GR

ただし、G：ガラス繊維 P：ポリプロピレン繊維
M：マット R：ローピングクロス
C：クロス

積層した試験板は曝露後の物性と比較するための未曝露試料分を残したもの、当場三階屋上において昼間太陽光線の照射を最大限に受けるように南面45度傾斜の位置

*1970年10月日本化学会中国四国支部20周年記念中国四国・九州支部合同大会に発表

で大気曝露(7月～9月)を行い、曝露1ヶ月および3ヶ月経過の物性について検討した。

なお、曝露後の物性検討の試験は曝露試験板から切削加工した試験片によって行った。また、表2の基材構成において、試験板の端面は構成の左側から受け、曲げ試験およびアイソット衝撃試験は被暴露側から負荷を受けるように試験した。

3. ウエザーメータ照射試料

ウェザーメータ照射実験試料はマットのみの 3ply として、表3に示す構成によって積層試料の厚さをできるだけ均等に調整するため、樹脂および基材の構成比を考慮しながらハンドレイアップにて積層成形した。

ガラス繊維は 600g/m² マットおよびポリプロピレンマット 300g/m²、樹脂は一般成形用のものを使用した。

表3 ウエザーメータ照射促進試料の積層構成

No.	基材構成	構成比(W%)			厚さ mm	比重
		樹脂	ガラス	ポリプロ ピレン		
1	G(M,M,M)	74.2	25.8	—	5.50	1.378
2	GM,PM,GM	77.0	18.4	4.6	4.89	1.296
3	PM,GM,PM	80.2	9.9	9.9	5.09	1.216
4	P(M,M,M)	85.7	—	14.3	5.36	1.130

ただし、G：ガラス繊維、P：ポリプロピレン繊維

促進試験はカーボンアーケュエザーメータを使用し、試験条件はスプレー 18 分/30 分、最高温度 72 ± 2°C、アーケ電圧 120 ~ 145 V、アーケ電流 15 ~ 18 A にて行い、100 時間および 200 時間の照射試料について検討した。

4. ポリプロピレン繊維の混酸処理

ポリプロピレン繊維の表面活性を期待すべく、つぎの処理による混酸処理を施した。

混酸処理方法

K₂Cr₂O₇ 75 g
純水 120 g, 2 時間浸漬 (25°C) —
濃硫酸(比重 1.84) 1500 g
水洗一常温乾燥

混酸処理したポリプロピレン繊維は、表4に示す構成比の積層板をハンドレイアップ成形によって作成した。

表4 混酸処理積層試料の構成比

No.	構成比(W%)			厚さ mm
	樹脂	ガラス	ポリプロ ピレン	
1	74.2	25.8	—	5.50
2	78.4	17.2	4.4	5.50
3	83.8	7.9	8.3	5.93
4	86.7	—	13.3	6.03

補強基材の構成はウェザーメータ照射試料と同様のもので、処理のないガラス繊維のみの構成のものはウェザーメータ照射試料を採用した。

■ 実験結果と考察

1. 3ply 積層試料の物性

No.1～No.8 の組合せの物性を積層試料の比重から検討したものが、図1に示すもので、比重 1.375 以上のもの

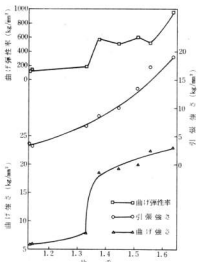


図1 3ply 組合せ積層板の比重と物性の関係

がガラス繊維の入ったもので、引張強さはガラス繊維に依存して、その種類、含量によって積層品の強度が顕著に表わされているが、曲げ強さおよび曲げ弾性率においてポリプロピレン繊維の1枚混入組合せのNo.4、No.5はガラス繊維のみのNo.1およびNo.3にくらべて良好な物性を与え、強度メリット σ_b/ρ 、 $\sqrt{\sigma_b}/\rho$ 、剛性メリット E/ρ 、 \sqrt{E}/ρ はガラス繊維のものに比し有利になっている。

図2に上れば、ポリプロピレン繊維が表面部にある組合せは温度の影響を受ける。ガラス繊維の積層は鈴木⁴⁾の報告に一致して衝撃値は低温において高くなる傾向が認められたが、ポリプロピレン繊維の表面のものは温度の低下とともに衝撃値も低くなる傾向にある。

3ply の積層組合せにおいては、前報 4ply 積層実験の結果同様にポリプロピレン繊維をガラス繊維の中に組合せることが、曲げ強さおよび衝撃強さの関係からポリプロピレン繊維の緩衝効果³⁾を生かすために有効と考え

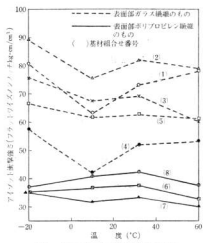


図2 3 ply 組合せ積層板の温度特性

られる。

2. 屋外曝露の検討

実験No.1はポリプロピレン繊維のみのFRPであり、No.2, 3, 4はポリプロピレン繊維の枚数の変化、No.5はガラス繊維のみである。また、No.6～No.9はガラス繊維とポリプロピレン繊維をおのおの2枚ずつ併用して組合せを変化させて実験したものである。

屋外曝露1ヶ月および3ヶ月経過の諸物性について、図3, 4, 5, 6, 7に示す。

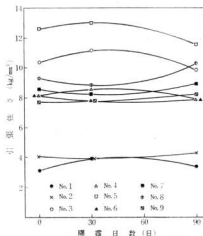


図3 屋外曝露と引張強さ

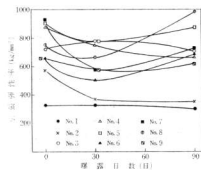


図4 屋外曝露と引張弾性率

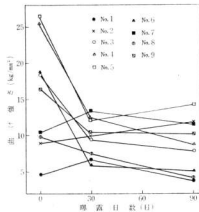


図5 屋外曝露と曲げ強さ

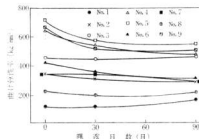


図6 屋外曝露と曲げ弾性率

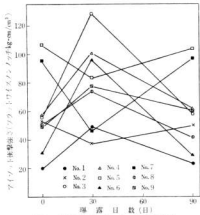


図7 屋外曝露とアイソット衝撃強さ

引張強さにおいて、ガラス繊維の強度に及ぼす影響は顕著であるが、屋外曝露による劣化はほとんど認められない。引張弾性率はガラス繊維の表面積層のものが僅かであるが、ポリプロピレン繊維に比し低下の傾向が認められる。

曲げ強さにおいて、No. 3, 4, 5, 6, 8, 9 の組合せは3ヶ月経過にて40~70%の強度低下を認めるが、ポリプロピレン繊維の表面積層は強度低下が大きい。曲げ強さおよび曲げ弾性率とともにNo. 9の組合せは良好であり、曝露低下も少ない。ポリプロピレン繊維を表面積層とする組合せを除いて考慮した場合、図3, 4, 5 からガラス繊維基材の含量の高いものはポリプロピレン繊維の含量の高いものと比較して物性の低下は大きいと考えられる。

これらよりNo. 9の組合せのようなガラス繊維の中に厚さを付加する構成が曝露に対する抵抗性が大きく、また、軽構造メリットも高いといえる。

図7の衝撃強さにおいて、ポリプロピレン繊維の表面積層品は1ヶ月曝露により強度は向上し、ガラス繊維のものは低下の傾向にあるが、3ヶ月経過により両者ともに末曝露衝撃強さにある。

曲げ強さおよび衝撃強さなど剛性メリットが曝露の初期において低下が著しいが、これは短時間の曝露により試験板の裏面の薄層までの光の吸収であって、積層板の厚さ全体が均一な状態と異なり屋外曝露初期の表面層部分の影響を受ける強度低下、すなわち硬化の速度、使用する樹脂の耐候性および基材と樹脂との密着などにより、試験時、片面負荷である曲げおよび衝撃試験において、その影響を受けると考えられ、3ヶ月経過後、そ

れらの物性が安定することから判断される。

いずれにしても、屋外曝露を受ける構造材は耐候性の良い樹脂を使用することが、補強基材を生かすことになりポリプロピレン繊維の併用効果を大きくすると考えられる。

3. ウェザーメータ照射試料の物性

屋外曝露試験が3ヶ月間の短期間であったため、ウェザーメータによる促進試験を積層試料について200時間（一般的に屋外曝露の1ヶ年に相当）照射した。その結果は図8, 9, 10, 11, 12に示す。

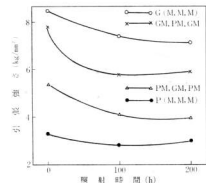


図8 ウェザーメータ照射と引張強さの変化

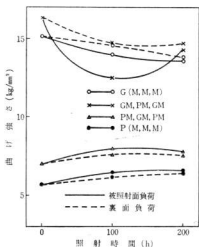


図9 ウェザーメータ照射時間と曲げ強さの変化

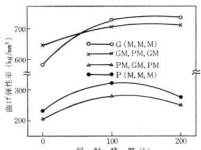


図10 ウェザーメータ照射時間と曲げ弾性率の変化

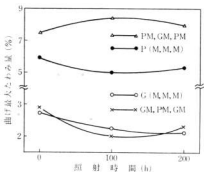


図11 ウェザーメータ照射時間とたわみ量の変化

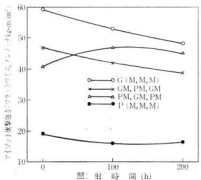


図12 ウェザーメータ照射時間とアイソント衝撃強さの変化

引張強さはカーボンアーケーの吸収により、いずれも以下の傾向を示してあるが、図9において、ガラス繊維の表面のものはポリプロピレン繊維のものが増加の傾向にあるにもかかわらず低下している。すなわち、ガラス繊

維の表面のものはカーボンアーケーの吸収の吸収の少ない裏面に比較して理性が低いことからカーボンアーケーの吸収によりガラス繊維は低下の傾向にあることを示している。

また、曲げ弾性率は曲げ強さの逆にガラス繊維の表面のものが増加の傾向にあるが、これは図11に示されるように曲げ最大たわみがカーボンアーケーの吸収によってガラス繊維のものはポリプロピレン繊維に比し本来低いくにもかかわらず低下の傾向にあるため、たわみ量の低下と共に剛性の増加になっていると考えられる。

図12に示されるように片面負荷を受ける場合、曲げ強さ同様ガラス繊維のものはポリプロピレン繊維のものに比し低下の傾向は大きい。ガラス繊維を中にはさんだNo.3は曲げ弾性率が低く、曲げ最大たわみ量が大きいことから高い衝撃吸収を示している。

カーボンアーケー促進試験においては、屋外曝露との相關性はないことが、ガラス繊維とポリプロピレン繊維の併用の場合いえる。すなわち、屋外曝露の場合、短期間ではあるがポリプロピレン繊維の表面は物性低下がガラス繊維のものに比し大きいが、カーボンアーケーによる促進においてはガラス繊維の低下が大きい。

なお、この組合せ積層板の未照射試料の比重からみた物性を考慮すれば、(図13)、ガラス繊維のみのNo.1に対してNo.2は剛性メリットが無いことが認められる。また、引張強さ σ_t と比重 ρ の比 σ_t/ρ においても、No.2はNo.1と強度メリットは大差なくNo.2は構造材料としての適性が高いといえる。マット3plyによるガラス繊維とポリプロピレン繊維の併用においても、ポリプロピレン繊維をガラス繊維の中間に使用することが軽量化とともに良好な物性の期待ができる。

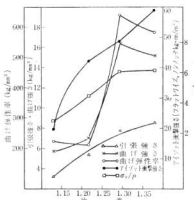


図13 未照射試料の比重と物性の関係

4. ポリプロピレン繊維の混酸処理物性

複合材料であるFRPのマトリックスと補強材の密着性向上を考慮してポリオレフィンの表面接着処理法⁵⁾である混酸処理を施して横層板をハンドレイアップにて成形し表5の結果を得た。なお、筆者らが本実験に使用したポリプロピレン繊維はFRPの基材として市販されているが表面処理はなされていない。

表5 ポリプロピレン繊維の混酸処理横層板の物性

No.	引張強さ kg/mm ²	曲げ強さ kg/mm ²	曲げ弾性率 kg/mm ²	曲げ最大たわみ量 % % % % %	引張強さ kg/mm ²	曲げ強さ kg/mm ²	曲げ弾性率 kg/mm ²	曲げ最大たわみ量 % % % % %	引張強さ kg/mm ²	曲げ強さ kg/mm ²	曲げ弾性率 kg/mm ²	曲げ最大たわみ量 % % % % %	
1	8.68	15.17	583	2.81	59.0	—	—	—	—	—	—	—	—
2 未処理	7.77	16.35	644	2.84	47.5	—	—	—	—	—	—	—	—
2 処理	6.84	15.10	645	2.83	32.9	—	—	—	—	—	—	—	—
3 未処理	5.40	6.99	212	7.55	41.7	—	—	—	—	—	—	—	—
3 処理	5.14	6.51	211	4.81	28.5	—	—	—	—	—	—	—	—
4 未処理	3.26	5.70	222	5.99	19.6	—	—	—	—	—	—	—	—
4 処理	3.36	6.33	209	6.69	11.2	—	—	—	—	—	—	—	—

混酸処理によりポリプロピレン繊維とマトリックスとの密着度の向上を期待したが良好な結果は得られなかつた。ポリプロピレン繊維のみのNo.4において、引張強さ、曲げ強さの若干の増加を認めたが、曲げ最大たわみの増加とともに曲げ弾性率の低下がみられる。No.3の曲げ最大たわみ量の低下の大きいことは中間挿入のガラス繊維の低いたわみに影響されてポリプロピレン繊維の特徴である伸びを失ったと考えられる。ポリプロピレン繊維を混酸処理することによってNo.3のように曲げたわみ量がガラス繊維に影響されることは試験時の負荷に対してポリプロピレン繊維がガラス繊維のたわみに近い挙動を示していると考えられ、No.2のようにガラス繊維の比率の高い場合はほとんどガラス繊維の性質に依存している。

ポリプロピレン繊維の混酸処理にあたって、浸漬時間1、2、3および24時間の処理のものについて繊維の表面活性を400倍率にて観察したが未処理のものとはほとんど変化が認められなかつた。

ポリオレフィンの表面処理としてASTM⁶⁾では混酸に少なくとも1時間浸漬するとあり、筆者らは横層用として2時間浸漬を行つた。

また、No.4のポリプロピレン繊維のみのFRPの場合引張試験時の伸びが無処理(3.66%)にくらべ8.1%、曲げ試験時のたわみ量が約10%増加しており、写真1に示す引張試験片の破断時の平行部は伸びの増加によって無数の亀裂が観察される。混酸処理の結果、ポリプロピ

レン繊維のみの場合は僅かな効果があるが、ガラス繊維との併用の場合は処理効果の期待がほとんどできない。

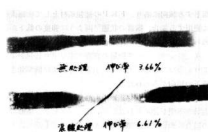


写真1 ポリプロピレンFRPの引張破断状態

なお、混酸処理によるポリプロピレン繊維の成形性として未処理のものとポリエチル樹脂の含浸を比較した結果、図14に示すように10%程度の含浸差を認めた。

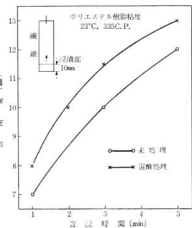


図14 ポリプロピレン繊維の樹脂含浸度

結 言

比重の小さいポリプロピレン繊維(比重0.91~0.93)をFRPの補強材として応用する実験の結果、つぎの所見を得た。

1 3plyの横層板においても、前報4ply同様に軽量化とともに曲げ剛性の期待が大きく、ガラス繊維の中にポリプロピレン繊維をはさむ組合せが効果的である。

2 ポリプロピレン繊維によるFRP、特に表面部に

ポリプロピレン繊維の場合は低温に対する温度影響を受けて耐衝撃性が低下する傾向にある。

3 屋外曝露に対しポリプロピレン繊維は強度がやや低下する傾向にあり、FRPの補強材として曝露表面に使用する場合、繊維の状態²⁾同様に強度の低下が認められた。

4 ウェザーメータ照射の影響はポリプロピレン繊維よりもガラス繊維が大きく、引張強さおよび衝撃強さに低下の傾向がみられた。

5 ポリプロピレン繊維の混酸処理を施した積層板は顯著な効果が認められないが、ポリプロピレン繊維のみの場合において伸び率の増加がみられる。しかし、ガラス繊維との併用は混酸処理によってガラス繊維の性質に左右されることが認められた。また、処理することによりポリエチル樹脂の含浸は良好となり成形性は若干向上する。

6 マットおよびクロスの3ply、マットのみの3ply

の積層組合せにおいて、ガラス繊維の中間にポリプロピレンを構成とする組合せは耐候性の低下も少なく、剛性および強度メリットの大きいことを認めた。

終りにあたり試料の提供をいただいた三菱レイヨン(株)、互栄商事(株)および近畿大学卒論生長迫克之、宮原義幸、登喜義郎、藤井隆の諸君の協力に謝意を表します。

文 献

- 1) 三菱レイヨン(株) : 強化プラスチック 1 (1970), 52
- 2) 竹内 : ibid, 2 (1967), 74
- 3) 高崎、東 : 本報告, 12 (1969), 33
- 4) 鈴木 : 強化プラスチック 1 (1967)
- 5) 永田 : 工業材料 9 (1967), 162
- 6) ASTMD-2093-63T : Preparation of surfaces of plastics prior to adhesive bonding
- 7) 日本化学会編 : 工業材料 12 (1963), 66

石油化学副生品に関する研究(第10報)

アタクチックポリプロピレンに関する研究(その2)

関 守 雄 東 正十郎

I 緒 言

ポリプロピレン(以下APPと略す)は昭和44年、42万トンとプラスチック中、最も高い伸長率で生産されている。しかしAPPは製造時、非晶質なアタクチックポリプロピレン(以下APPと略す)が5~10%副生する。近年生産量の増大に伴い、産業廃棄物の有効利用などの問題化により、その有効用途の開拓が急がれている。

広島県西部のAPPメーカーはAPPを200°Cにおける粘度により低粘度品、中粘度品(500~1500センチボイズ)、高粘度品と類別し、用途は錫膏と練合せて風呂燃料ワックス代用品、アスファルト代用品など、バインダーとして利用されている。しかしこれらも加工性、粘着性から一般に低粘度品が好まれるのにに対し、APPの大部分が、中、高粘度品であるため、一部が未利用で黒積する傾向にある。

そこで筆者らも有効用途開拓のためいくぶんの実験を行なったので、つぎに報告する。

II 試料と実験方法

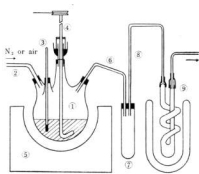
1. 極限粘度、分子量の測定

M社中粘度品APPを試料としてソックスレー抽出器を用い、図1のように分別し、ウッペローデ粘度計により135°C、テトラリン溶液(0.5g~2g/dL)の極限粘度を測定し、分子量を算出した。



2. 熱分解実験(1)

100mL四つ口フラスコに試料20gを秤量し、図2のように装置を組立てる。加热開始と共にキャリヤガスとして窒素または空気を100mL/minの割合で流し、試料が溶融してから搅拌(100 r.p.m.)する。分解温度に達してから所定時間その温度に保つ。分解後試料の分解率、分解生成物、分解残留物の分析を行なった。



① 四つ口フラスコ
② キャリヤーガス導入管
③ 温度計
④ 搅拌器
⑤ マッフル炉
⑥ 分解生成物導出管
⑦ 凝縮器(1)
⑧ 空気冷却用ガス管
⑨ 凝縮器(2)

図2 热 分 解 装 置

3. 热分解実験(2)

ガスクロマトグラフ用熱分解装置を用い、試料をヘリウムガス中で15秒間分解し、分解ガスの成分分析を行なった。

4. 平均分子量

実験(1)の凝縮器(図2、⑦)に捕集した熱分解生成物を、JIS-K0070に準拠してヨウ素価を測定し、1分子中に1個の二重結合があるとして次式¹⁾より平均分子量を求めた。

$$M_n = \frac{253.8 \times 100}{a} \quad M_n : \text{数平均分子量}$$

$a : \text{ヨウ素価}$

5. 赤外吸収スペクトル

熱分解実験(1)で得た、分解生成物、分解残渣物を日立 EPI-G3 を用い、ヌリツケ法 (KBr) で測定した。

■ 実験結果と考察

1. 標限粘度、分子量

表1よりソックスレーを用いての抽出分別は抽出温度が低いためn-ヘプタン抽出分別物が Natta の沸騰抽出による文献値²⁾より低くなつたと考えられる。

2. 热分解実験 (1)

APPは熱分解により表2のように分子量の低下を起

表1 標限粘度と分子量

	標限粘度 (η)	分子量 (M)
アセトン可溶分	(0.020)	(600)
エーテル可溶分	(0.252) 0.251	(14,500) 14,000
n-ヘブタン可溶分	(0.457) 0.331	(32,000) 23,000
n-ヘブタン不溶分	(0.750) 0.597	(47,000) 35,000

() は文献値

表2 APP热分解(1)結果

試料	分解温度 °C	分解時間 h	分解率 %	抽出分別			
				アセトン 可溶分 %	エーテル 可溶分 %	n-ヘブタン 可溶分 %	n-ヘブタン 不溶分 %
APP				7	65	16.5	11.5
				m.p. °C	48~55	121~125	166~170
キャリヤーガス	窒	250	24	10	2.5	65.5	20.5
		300	24	15	4	73.5	16.5
		325	24	20	14	68	13.5
		350	24	50	28	65	7
		370	24	82.5	32.5	64	3.5
		空気	250	24	25	42.5	53.5
	空気	300	7	35	32.5	61	6.5

す。その傾向は高温ほど強く、不活性ガス中よりも空気中のほうが強い。空素熱分解生成物中、凝縮器(1)捕集物は比重0.71~0.75の淡黄色液体で、捕集率は分解率の60~80%でガスクロマトグラフ (SE-52, 3m, 50~250°C, 6°C/min) の分析では灯一軽油分に相当し、成分ピーク数は70以上で、分解温度が高くなるほど、無色化し低分子量分が多くなる傾向にある。そしてこの分解生成油はAPPをよく膨潤溶解するので、APPの溶媒となり、APPを低粘度化することができる。

-20°C の凝縮器(2)には 分解率の2%ほどのガソリン留分に相当する無色透明の液体を捕集した。

空気熱分解の残渣物は黒色で、分解温度が高くなると炭化を起す。その分解生成物は水分を多量に含む黄色の強烈液体で、水分中よりギ酸、酚酸、銀鏡反応よりアルdehyドを確認した。

3. 热分解実験 (2)

表3より高温ほど脱水素反応が激しく、また、炭素の残留が認められた。600°C以下ではモノマー/プロピレンの生成は認められなかった。また、600°Cにおいてプロ

ピレン17%の生成はプロピレン製造原料として再使用され得ると思われる。

表3 APP热分解(2)ガス組成

成分配 vol %	水素	メタン	プロピレン	ブテン-1 イソブレン
600	57	19	17	6
800	87	9	3	1
1,000	94	5	1	trace

ガスクロマトグラフィー

Model:島津 GC-IC

カラム:島津LPG専用カラム

カラム温度:室温

デテクター温度:50°C

キャリヤーガス:ヘリウム

* 流量:40ml/min

4. 平均分子量

空素中熱分解生成物の平均分子量は表4にみるように分解温度が高くなるほど低くなる傾向にある。

表4 热分解生成物の平均分子量

分解 温 度 °C	300	325	350	370	400
ヨウ素 値	51.6	62.9	82.5	91.2	113
平均 分 子 量	492	404	308	278	225

5. 赤外吸収スペクトル

Pの赤外吸収スペクトルは、 998cm^{-1} , 974cm^{-1} , 841cm^{-1} の吸収帯が特長で、 998cm^{-1} は立体規則性、結晶化度³⁾を、 888cm^{-1} は末端基二重結合¹⁾を示している。これら吸収帯の特長は図3、スペクトル(2), (3),

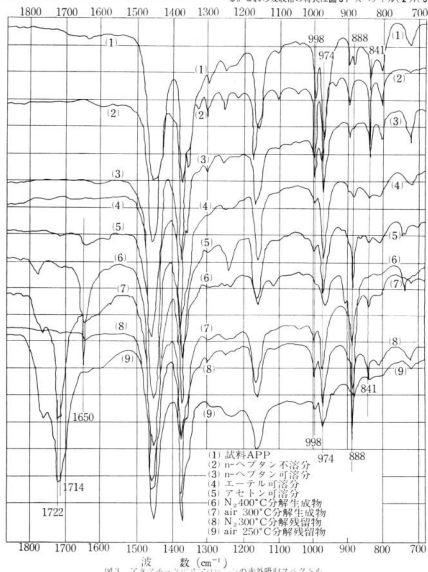


図3 アタフチックポリプロピレンの赤外吸収スペクトル

(4), (5) の抽出分別物によく現われている。APPは窒素中で熱分解すると、分解温度250°Cでは残留物はスペクトル(1)試料APPと類似しているが、300°Cでは(8)のように(5)のアセトン可溶分に、分解温度、分解率が高くなるほど888cm⁻¹吸収帯が強くなる。これは表2より、アセトン可溶分の増加と、その分子量が試料のアセトン可溶分より低下したためと考えられる。窒素中熱分解生成物、凝縮器(1)の捕集物はスペクトル(6)のように888, 1650cm⁻¹の末端二重結合の吸収が非常に強く現われる。これはアセトン可溶分の平均分子量600~700に対し、窒素熱分解生成物は表4の如く、400°Cでは平均分子量224と低いオレフィン油になっているためと考えられる。

空気熱分解生成物および残留物はスペクトル(7), (9)のごとく888cm⁻¹の末端二重結合の吸収よりも、1714cm⁻¹, 1722cm⁻¹にC=O, C-Oによる強い吸収をもっている。これは空気熱分解生成物中に水、カルボン酸、アルデヒドが含まれることより、空気熱分解は窒素熱分解が熱的分子切断による二重結合の生成に対し、酸素による酸化分解反応であるといえる。

IV 結 言

1. フックスレー抽出器でのローブタン抽出はAPP中のアイソタクチック分を完全に分別できない。
2. APPは不活性ガス中、600°C以下で熱分解すると、常温で液体のオレフィン油が得られる。
3. このオレフィン油はAPPをよく溶解するので、APPの軟化剤として、APPを低粘度化できる。
4. APPは不活性ガス中600°C以上で熱分解すると水素、メタン、プロピレンが得られる。
5. APPは空気中で熱分解すると、酸素により酸化分解し、その分子切断効果は不活性ガスより強い。

おわりに本研究に協力いただいた、三井東圧化学㈱大竹工場所、近畿大学生、渡辺、藤井、宮原の諸君にお礼を申し上げます。

文 献

- 1) 小方、松山：工化、71 (1968) 1050
- 2) 中井、多田：ラバーダイジェスト、6 (1967) 2
- 3) 神原、藤：高分子ハンドブック、朝倉書店、(1967)、

光照射による南洋材成分の変化

東 正十郎, 清水 加津子

【緒 言】

内地材の不足、高騰からコンクリート用木製パネルに安価な輸入南洋材の利用がはかられつつあるが、光線暴露部でコンクリート硬化不良の欠陥が生ずる。これは木材表層に存在する物質に起因するもので、Sandermann^{1), 2)} は木材中水溶性成分が阻害を起こすとし、さらに糖類、多面アルコール、オキシ酸及びフェノール類などについて硬化阻害作用を認めている。また鈴木ら³⁾も同様に糖類、多糖類、糖アルコール、高分子酸やオキシ酸などが阻害原因物質であることを指摘している。

硬化不良の程度は樹種によっても大差があり、近藤ら⁴⁾は約40種類の木材について硬化不良の比較を行ない、南洋材がかなりコンクリート硬化を阻害することを認めている。筆者らは輸入南洋材ニュージーランドパインのコンクリートパネルへの利用について硬化阻害物質を解明し、その除去法を究明するため、光照射(太陽光、紫外線)前後の木材表層成分(主として樹脂分、糖分アルカリ可溶分)の分析などを行ない、二、三の知見を得たので、つぎに報告する。

【試料と実験方法】

1. 試 料

供試南洋材ニュージーランドパインは製材直後の光照射を受けていないものを用いた。その心材および辺材を110×250×18mmの大きさに切り、当場3階屋上に南面45°に傾斜して建てかけ、1週間～2ヶ月間太陽光照射を行った後、その表層を約1.5～2.0mm深さまで木工ヤスリで削り取った木粉中35～65メッシュのものを分析試料とした。また紫外線照射の試料は木材全体を木工ヤスリで細粉にし、よく混合したものを差しシャーレに薄く入れ、紫外線ランプ(東芝GT-1010 NB type、波長2537Å、10W 1灯)直下15cmの位置で2時間～8日間照射し成分分析に供した。

2. 木材成分分析法

(1) 樹脂分……乾燥木粉約5gをエタノール：ベンゼン(1:2)で6時間抽出、溶剤留去後、樹脂分を算出した。

(2) 湿水抽出物……木粉約2gに蒸留水100mLを加え、3時間煮沸後、1G 3グラスフィルターで汎過、湿水洗浄。残渣を105°Cで恒量まで乾燥、乾燥重量の減量から求めた。

(3) アルカリ抽出物……木粉約2gに0.5%または2.0%NaOH溶液200mLを加え、30～40分室温放置後、1G 3グラスフィルターで汎過、十分水洗し、残渣を105°Cで恒量まで乾燥、乾燥重量の減量から算出した。

(4) 糖分(ピクリン酸法による)……木粉約1.5gを蒸留水150mLと共に3hrs煮沸還流し、1G 3フィルターで汎過。沪液を100mLに濃縮し、その10mLに酢和ピクリン酸液10mL、20%炭酸ナトリウム液5mLを加え、30分間沸騰水浴中で加熱後、ただちに冷却。50mLとし、530mμでの吸光度を測定して糖量を求めた。

【実験結果と考察】

1. 糖維素分の変化

常法により全纖維素、ホロセルローズ、 α 、 β 、 γ セルローズの定量を行なったが、3週間日光照射したものそれらは無照射のものと、心材、辺材ともに大差が認められなかった。

2. 日光照射による樹脂分の変化

照射前の心材部の樹脂分は2.4%、辺材部のそれは1.1%で、心材部が辺材部の2倍以上の樹脂分を含有していた。

これを1～3週間日光照射した結果、図1に示すごとく心材部のそれは漸次増加したが、反対に辺材部では殆んど含有量の変化が認められなかった。

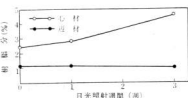


図1 日光照射による樹脂分の変化

心材部に光作用を受けて樹脂分化する不安定成分の存在が考えられる。

3. 糖分の変化

日光及び紫外線照射を行なった結果、糖分の増加が共に認められ、とくに前者の場合その増加率が高かった。

(1) 日光照射の場合

照射前の糖分は心材部で1.8%、辺材部で1.4%であったが、60日照射後ではおのおの、5.2%および4.2%と心材部での含有量が若干多かった。

その増加の様子を図2に示す。

Bechikら⁵⁾が指摘した如く低重合度纖維素分が光分解を受けて、構成糖が分離したか、または蒸ら⁶⁾が述べたようにヘミセルロース分が光分解してキシロース、アラビノース、アルドビウロン酸などが単離したためなどによって糖分が増加したものと考えられる。この単糖にまで光分解されたものがセメントの硬化不良に影響することが大であろう。

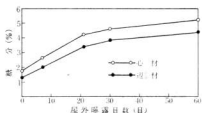


図2 日光照射による糖分の増加

(2) 紫外線照射の場合

図3に示すごとく日光照射に比し、紫外線の照射時間が短かかったためもあって前者の場合よりも糖分の増加は少い結果を得たが、前者同様心材部での糖分の増加率が辺材部よりも大であった。

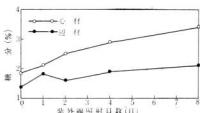


図3 紫外線照射による糖分の増加

4. 温水抽出物の変化

日光および紫外線照射による温水抽出物の増加結果を

図4および図5に示す。

(1) 日光照射の場合

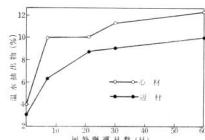


図4 日光照射による温水抽出物の増加

(2) 紫外線照射の場合

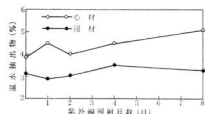


図5 紫外線照射による温水抽出物の増加

温水抽出物は日光照射、紫外線照射とともに概分量の約2倍量で、照射時間と共に漸増している。このことは照射により糖分以外の成分の増加も考えられる。

5. アルカリ抽出物の変化

0.5および2.0%NaOH液による室温抽出物の量も照射時間の増加に比例して増加したが、とくに日光照射の場合その増加率が大であった。

(1) 日光照射の場合

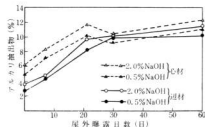


図6 日光照射によるアルカリ抽出物の増加

図6から明らかなように、NaOH 0.5%と2.0%の濃度差による抽出量の差は余り大きくなかった。わずかに後者が多い程度であった。アルカリ抽出後の残存糖分を定量した結果は日光照射試料で平均0.6%，紫外線照射のそれは0.8%で、前者の場合60日照射分の糖分が心材で3.8%，辺材で3.2%であったことからしても、稀アルカリ洗浄により大部分の糖分を除去することが可能であることを認めた。

(2) 紫外線照射の場合

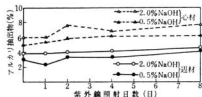


図7 紫外線照射によるアルカリ抽出物の増加

6. リグニン塗布木材片上でのセメント硬化状態

リグニンとしてSP粉末リグニン、山陽バルブ製Na₅₀₁、糖含有量7%を用い、糖分がセメント硬化におよぼす影響を試験した。このリグニンは糖分が多く含むため未照射木片に対して硬化不良が予想される。

SPリグニンの10~30%溶液を木片上に塗布乾燥し、紫外線ランプ1週間照射後セメントモルタルを流しこみ、2日間養生後、セメントの硬化状態を調べた。

リグニン未塗布部分のセメントモルタル接触面は表層より0.5~1.5mm深さまで硬化不良であったが、リグニン塗布部分の接触面は2.5~3.5mm深さまで著しい硬化不良を起していた。リグニン液塗布によるセメントモルタルのひどい硬化阻害はその含有糖分の多いことに起因するものと考えられる。

IV 結 言

ニュージーランドパインを実験試料とし、光照射による成分の変化などを実験した結果、つぎの結論を得た。

1. 光照射によって樹脂分、糖分の増加が起るが、特に辺材部より心材部にその傾向が大きい。

2. 光照射により温水抽出物、アルカリ抽出物も増加する。日光照射の場合は光照射の影響のみでなく熱による²⁾抵抗性の低いヘミセルロースなどの分解もあると考えられる。

3. 0.5%程度の稀アルカリによって生成糖分はかなり減少せしめることができ、硬化阻害成分として考えられる糖分の除去には稀アルカリ処理が有効的であろう。

4. 糖分を多く含むリグニン液を塗布した木片は著しいセメントモルタルの硬化不良をきたした。

本実験のため木材及び資料の提供を戴いた鹿島建設、および実験に協力した近畿大学卒業学生小川敏明君に感謝する。

文 献

- 1) W. Sandermann, U. Dehn; Holz als Roh- u. Werkstoff, **9** (1951), 97
- 2) W. Sandermann, M. Brendel; ibid **14**, (1956), 307
- 3) 鈴木, 西:セメント技術年報 (1959), 160
- 4) 近藤, 宮本:建築技術 **117** (1961), 38
- 5) A. Béclik, T. K. Hamilton; Papier, **13** (1959), 77, J. Org. Chem., **26** (1961), 5074
- 6) 彦, 喜本, 南:第15回日本木材学会大会研究発表要旨 (1965)
- 7) 南, 河村:日本林学会誌, **40** (1958), 33

大気汚染・悪臭防除技術の研究（第1報）

ゼオライトによる各種有害ガスの吸着に関する研究（その1）

好満芳邦、永富精

I 緒 言

技術革新時代といわれる現代にあって、その規模、多様性においてめざましく発展する諸工業の主要工程および副次工程に応用される吸着技術は、急速に進展し重要な単位操作として成長しつつある。

吸着剤、吸着技術に関しては、環境衛生面ならびに産業公害防止面においても数多くの研究がなされ、有用な単位操作として認められてきている。

筆者らは、こうした吸着操作による有害ガスの処理に使用される吸着剤として、古くから特異な吸着特性と大きな陽イオン交換能をもつて注目されてきた天然産のゼオライトを、それが安価で比較的大量に产出されるということからこの研究にとりあげた。最近、Linde社の合成ゼオライト、いわゆるモレキュラーシェーブ（分子ふるい）の開発によって、ゼオライトは再びその注目をあつめているが、筆者らは、各種の有害ガスを除去して大気汚染の防除のため有効な吸着剤として、まず、家畜飼育用すなわち飼料添加剤、脱臭剤、あるいは農業用土壤改良剤、工業用水処理剤等として市販されているゼオライト-S（商品名、粒度：28メッシュ～35メッシュ）について、その結晶学的構造、物理的性質および吸着性能等に関する予備的実験を行なった。その結果、いくぶんの知見を得たので報告する。

II 実験方法と試料

1. 試 料

S社から商品名ゼオライト-Sとして市販されているものを試料とした。これは、秋田県山本郡二ツ井町切石産出の二ツ井ゼオライト（サン・ゼオライト工業㈱採掘）と呼ばれるものである。この試料は青味がかった白色を呈し、粉粹、整粒によって粒度は各種のものが得られるが、市販品は粒度28～250メッシュの間にあるものである。

2. 実験方法

(1) 構造および物性に関する検討

ゼオライトは、鉱物学上はテクト珪酸塩に属する含水

鉱物で、Na、Caなどのアルカリまたはアルカリ土類元素を含有するアルミニウム酸塩でフッ石と呼ばれる結晶水を有し、その種類が多く結晶構造も複雑である¹⁾。二ツ井ゼオライトの構造、物性を明らかにするため、X線回折、加熱変化、破碎性等に着目して下記の実験を行なった。

(a) X線回折分析による検討

本研究の実験に使用した二ツ井ゼオライトの鉱物種を明確にするため、X線回折装置（東芝製ADG-101型）を用いて分析を行なった。試料は、粒度65メッシュのものをめのう乳鉢で粉砕して250メッシュ以下の微粉末として実験した。

X線回折分析の記録条件は、下記のとおりである。

X線出力 Cu K α (Ni フィルター使用)

管電圧、電流 : 35kV, 12mA

スリット S₁ : 1°, S₂ : 0.2mm, S₃ : 1°

GMP走査速度 1°(2O)/min.

時定数 1sec.

なお、65メッシュの試料を600°C, 1hr. 加熱処理したものについても、250メッシュ以下の粉末として同一条件で回折記録した。

(b) 热的性質に関する検討

試料の热的性質を明らかにするため、示差熱分析装置（島津製、DT-2 A型）、熱天秤（同付風扇装置）を用いて分析を行なった。記録条件は下記のとおりである。

（示差熱分析）

試料量 0.702g

中性物質 α-Al₂O₃

雰囲気 大気中

感度 ±50μV

チャートスピード 125mm/hr.

加熱速度 10°C/min.

試料容器 pt

（熱天秤）

粒度 250メッシュ以下

雰囲気 大気中

昇温速度 5°C/min.

(e) ポットミルによる破碎性の検討

フルイ分けにより粒度28メッシュにそろえた試料をそのまま200gとりポットミルにかけたものと、600°C、1時間処理したものと同様にポットミルにかけたものを経時による破碎量により硬度を比較した。さらに、600°Cで処理した試料もボールミルにかけ、その破碎性を検討した。いずれもポットミルの回転数は、60 r.p.m.である。

(2) ガス吸着に関する実験

(a) 各種ガスの吸着量の検討

セオライトがいかなるガスをよく吸着するかといった点について検討するため、図1に示した(a)および(b)の実験装置^{2),3)}を用いて吸着テストを行なった。なお、対象としたガスは亜硫酸ガス、アンモニアガス、ホルムアルデヒド、硫化水素および酢酸蒸気の5種類であり、ガス発生法ならびにインジケーターについては表1に示すとおりである。

(b) 亜硫酸ガスによる粒度の異なるセオライトとガス吸着量との比較実験

上記5種類の中でもただ一つ100%ガスである亜硫酸ガ

スをとりあげ、セオライト（粒度35メッシュ以上、35～200メッシュ、200メッシュ以下の3種）と同一試料を600°C、1 hr 处理したものについて、図1aの装置を用いて、活性炭(豆つぶ大)との比較を行なった。また、200メッシュ以下に破碎したセオライトおよび活性炭の見かけ単位体積を比重ビンを用いて測ったものについて見かけ単位体積当りの吸着量の比較を行なった。（ガス温度は20°C）

(c) 亜硫酸ガスの濃度変化による吸着量変化の測定

等温等圧吸着においてガス濃度が吸着剤におよぼす影響を検討する目的で下記の実験を行なった。

内容量既知のL試薬瓶を用いて図2に示す実験装置を作成し、排気管Aのコックを開いて真空ポンプを用いて容器内の空気を吸引し去り同コックを閉じる。亜硫酸ガスボンベから一定量の亜硫酸ガスを注射器を用いて取り出し、注入管Bに注射器を連結したのもコックを開いて容器内にガスを注入する。さらに、空気を大気圧まで吹き込んだ後、コックを閉じて振り混ぜ、よく洗浄し乾燥した注射器を用いてその20mLを注入管のコックを開いて採取し3%過酸化水素水を反応液として用い吸収させた後、排気管Aのコックを開いてセオライトの適量(3.0～0.5g)をロートを用いて容器内に導入しコックを閉じ振り混ぜる。20分間放置後、排気管のコックを開きしばらく閉じた後、5分間放置し、注射器を用いて同様にガス採取を行ない、吸着前後の吸収液についてアルセナソリ法により分析し亜硫酸ガス吸着量を求めた。

(d) 吸着層温度変化による吸着量変化の検討

セオライトによる亜硫酸ガス吸

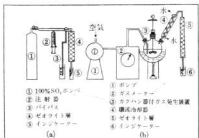


図1 吸着実験装置

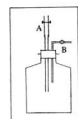


図2 混合気調節器

表1 各種ガス発生法ならびに吸着量測定結果

対象ガス	ガス発生法	インジケーター	吸着熱	吸着量 mL/g
SO ₂	市販100%ボンベ	メチルオレンジ/H ₂ O ₂	++	45
NH ₃	(1:1)アンモニア水	チモールブルー	+++	109
CH ₃ COOH	50%酢酸水溶液	メチルオレンジ	感じない	536
HCHO	5%ホルマリン	過マンガン酸カリウム	+++	92
H ₂ S	H ₂ S 鮑和水溶液	5%酢酸カドミウム	感じない	6

但し、吸着熱の項 ++ : 吸着管に手を触れてあつく感じる。

+++ : 吸着管に手を触れておれない。

尚、SO₂ガスを除いて、通気ガス速度は0.3L/Mである。

着が温度変化の影響をどのようにうけるかについて、図1aの装置に水浴を取りつけたものを用いて吸着実験を行なった。

(e) 脱着実験

亜硫酸ガスを飽和吸着させたゼオライト層から空気洗浄によってどの程度脱着可能であるかを知るために下記条件により脱着実験を行なった。

試料 600°C 烧成ゼオライトを 100±5°C 2hrs 烘燥したもの

粒度 35 メッシュ 試料量 17 g

飽和吸着量 500ml(at 20°C) 通気ガス 室内空気

通気ガス温度 20°C, 150°C 通気速度 1.0 l/min.

なお、150°Cにて脱着したものについて再吸着量の測定を行なった。

■ 実験結果と考察

1. 構造および物性に関する実験結果と考察

(f) ニッケルゼオライトについてのX線回折分析結果を表2および図3に示す。同試料の結晶構造は、表2に付記した輝フッ石 ($\text{Ca}(\text{Al}_2\text{Si}_7\text{O}_{18}) \cdot 6\text{H}_2\text{O}$) の ASTM カードのデータ) の X線回折分析値、すなわち、面間隔

表2 ニッケルゼオライトのX線回折分析結果

原試料(図3参照)		600°C, 1h 加熱		輝フッ石	
d(Å)	I/I ₁	d(Å)	I/I ₁	d(Å)	I/I ₁
8.95	100	8.89	100	8.92	100
7.90		7.86			
6.81		6.72			
5.91		5.91			
5.24		5.20			
5.11		5.10			
4.64		4.62			
4.33		4.33			
4.08		4.06			
3.96	65	3.94	70	3.97	20
3.90		3.89			
3.69		3.71			
3.55		3.54			
3.414		3.408			
3.383		3.372			
3.340		3.334			
3.161		3.164			
3.121		3.108			
3.069		3.060			
2.968	35	2.961	35	2.97	65
2.921					
2.793		2.787			

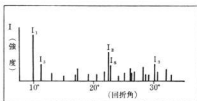


図3 ニッケルゼオライトのX線回折線

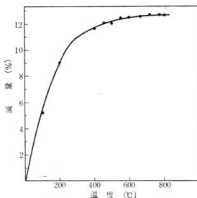


図4 ゼオライトの熱減量曲線

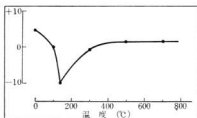


図5 ゼオライトの示差熱分析結果

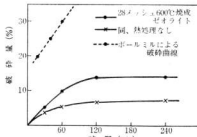


図6 ゼオライトの破壊性

$d(A)$ および相対強度 (I/I_1) の比較で輝フッ石と同定される鉱物種（構造）である。

(2) 热的性質についての実験結果と考察

熱天秤による熱減量曲線および示差熱分析結果を図4および図5に示す。なお、 600°C 以上の高温で処理した場合、赤味がかった呈色を認めたがX線回折から明らかに結晶構造の変化は認められない。

(3) 破碎性に関する実験結果と考察

図6に結果を示すようにそれ自身でおだやかに摩擦し合うだけでその一部（7~14%）に破碎が生じ、細粉化したもののが残存粒の破碎進行をとどめるペアリング効果をなすことがボットミルによる破碎曲線から推測される。したがって吸着操作においては流動床よりも固定床への応用が適当であり、さらに、進んで造粒技術の開発が今後の研究課題と考えられる。

2. ガス吸着に関する実験結果と考察

(1) 各種ガス吸着量に関する実験結果は表1のように供試料が一部を除いて各種ガスをかなり吸着することが認められるが、本吸着反応の中でとくに興味ある現象は対象ガスの違いによって吸着熱が著しく異なる点である。 NH_3 、 HCHO のように吸着管を手に持てないものから、 CH_3COOH のように全く感じないものまでいろいろである。

(2) 活性炭との吸着量における比較については表3、表4に示すごとく、見かけ単位体積当たりのガス吸着量は同程度かもしくはいくぶん多いことが認められる。粒度および熱処理条件においては粒度が大きく、 600°C 以上の高温で処理したものが良好である。

表3 SO_2 ガスによる活性炭との比較

吸着剤	粒度 (メッシュ)	吸着量 (ml/g)			
		100°C, 3 h	100°C, 6 h	200°C, 2 h	600°C, 1 h
二ツ井	35<	23	29	37	45
ゼオライト	35~200	—	—	—	34
	200>	12	17	30	21
活性炭 (豆つぶ)	139	177	208	—	—

表4 見かけ単位体積当たりの吸着量比較結果

吸着剤	粒度 (メッシュ)	10.0 cm ³ の重量 (g)	見かけ単位体積 (cm ³ /g)	見かけ単位体積当たり吸着量 (ml/g)
二ツ井ゼオライト $600^{\circ}\text{C}, 1\text{h}$ 焼成	200>	11.3	0.88	51
活性炭	200>	2.2	4.61	45

表5 SO_2 ガスの濃度変化による吸着量の変動

濃度(容量%)	0.46	1.16	2.51	5.30	8.95
吸着量 (ml/g)	5.8	8.8	11.9	26.3	32.5

(3) 亜硫酸ガス濃度の変化による吸着量の変動に関する実験結果を表5に示す。理論的に出されている指數函数式¹¹に対して大きくばらついているが、傾向はよく一致しており、低濃度になるほど吸着量が低下している。

(4) 吸着層の温度変化による吸着量変動に関する実験結果を図7に示す。バラツキが大きいため3回同じ実験を繰返したが結果はグラフのとおりである。とくに $10^{\circ}\text{C} \sim 60^{\circ}\text{C}$ の範囲でガス速度と吸着熱の影響によるものと考えられる現象が認められる。

(5) 脱着に関する実験結果については図8に示すようにわざかにヒステリシスが認められるが、熱気によって簡単に脱着可能であり、また、脱着後 SO_2 ボンベを用いて再吸着を行なったところ 17 g 当たり 560 mL の吸着を認めた。したがって、脱着→再生→吸着のサイクルを採用できると考えられる。

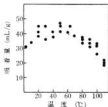


図7 吸着層の温度変化による吸着量変動

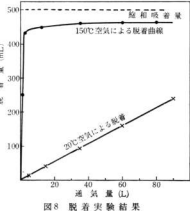


図8 脱着実験結果

IV 結 言

二ツ井ゼオライトを用い、その構造、物性およびガス吸着に関する予備実験を行ない、つぎの結論を得た。

1. X線回折分析から、その結晶構造は輝フッ石と同定された。

2. 500°Cでの熱減量は12%、600°Cで淡赤色化したが結晶構造の変化は認められず、吸着能は処理前より良好であった。

3. ポットミル(60 r.p.m)での28メッシュ原料の破碎は2時間で7%、600°C焼成物のそれは14%程度であった。

4. 吸着ガスの種類により、吸着熱および吸着量がかなり異なる。亜硫酸ガス、アンモニアおよびホルムアルデヒドではいちじるしく発熱を認めた。吸着量においては、~~硫酸~~蒸気の吸着がいちじるしく、ついで、アンモニア、亜硫酸ガスの順であった。

5. 見かけ単位体積当りの亜硫酸ガス吸着量は活性炭のそれにくらべ、同程度か若干高く、600°C焼成のもの

がより効果的であった。

6. 亜硫酸ガス通気速度が大になると吸着熱が大となる。

7. 亜硫酸ガス吸着ゼオライトの再生は150°C熱風吹込みにより90%以上可能で、吸脱着による循環使用の可能性が認められた。

なお、本報告の終りにあたって、筆者らの研究に協力戴いた近畿大学工学部四年の土屋明剛君に謝意を表します。

文 献

- 1) ゼオライトとその利用、編集委員会：ゼオライトとその利用、技報堂(1970)
- 2) 植田、菊田、吉野：公害、3 (1967), 148
- 3) 中村、岩本、他：公害、1 (1969) 31
- 4) Neumann, Sverdrup & Sæbo X-RAY POWOER PATTERNS for MINERAL, KOMMISJON HOS JACOB DYBWAD, (1955)
- 5) マンテル：吸着および吸着剤、(1969)

化学的公害に関する研究(第8報)

含油廃水の処理研究(その二) テスト・ プラントによる冷間圧延廃水の処理実験*

藤本宗之, 丸下清志, 東正十郎

I 緒言

鉄鋼業における冷間圧延廃水は、バーム油、牛脂などの中でもとくに問題となる廃水であり、油が廃水中でエマルジョンの状態になっているため、その処理にも相当の難しさがある。現在のところでは冷間圧延廃水は加圧浮上などの処理を行なったのも排出されており、分離した油は焼却されるか、または土砂などを混合して埋め立てなどの方法によって処分されているばかりが多い。

筆者らは冷間圧延廃水の完全処理と同時に油の回収利用の面での研究を進めており^{1,2)}、廃水の処理については室内実験により検討した結果実用可能な方法として加圧浮上法がもっとも適した処理法であるという結論を得た。処理量2~3m³/hのテスト・プラントを作製し現場における処理実験を行なったので、つぎに報告する。

II 試料と実験方法

1. 試料

実験に使用した冷間圧延廃水としては廃水タンクに貯留中にスカムを生ずるため、スカムを取り除いた下層の乳化層を試料とした。

2. 実験方法

(1) ジャー・テストによる処理条件の決定

500mLビーカーに試料を500mL入れ図1に示す順序で各種濃度の凝集剤を添加したのち急速搅拌しながら10%カッソーダ、または10%硫酸でpHを調整する。つづいて急速搅拌を行なったのも静置し処理水を分析した。

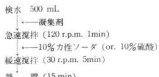


図1 ジャー・テストの処理系統

ジャー・テストに使用した凝集剤を表1に示す。

表1 実験に使用した凝集剤

高分子凝集剤	カチオン系 アニオン系 ノニオン系	ポリアミン系 ポリアクリルアミド系 ポリアクリルアミド系
無機凝集剤		硫酸アルミニウム 塩化第2鉄

(2) 小型水槽による処理実験
内容量50Lのプラスチック製水槽(300W×300L×600H)を作製し、これに廃水を入れジャー・テストの結果にもとづき10%硫酸アルミニウムを500ppmとなるよう加えたのち5分間急速搅拌し、さらに10%カッソーダでpH 6~7に調整し10分間緩慢搅拌したのち30分間静置しスカムの量の測定と処理水の分析を行なった。

(3) テスト・プラントによる現場実験

ジャー・テストおよび小型水槽による実験の結果にもとづいてテスト・プラントによる現場実験を行なった。使用したプラントの仕様を表2に示す。

テスト・プラントは各装置に分割したのちフォーク・リフトまたは少人数の人力などで容易に移動、設置できるように重量配分を行なった。また実験の状況がよく観察できること、および補修の容易なことを考慮して水槽となる部分は透明塗化ビニル製とした。さらにテスト・プラントであるためバイピングの変更により各種の処理方式が可能なよう考慮した。テスト・プラントの組み合わせにより処理可能な方法を図2に示す。

現場におけるプラントの配置を図3に示す。

プラントによる実験は表3に示す条件で行なった。

処理法はまず原水に10%硫酸アルミニウム溶液を添加し急速搅拌槽に送り、ここで10%カッソーダによりpHを6~7に調整して緩慢搅拌槽に送る。つづいて全量加

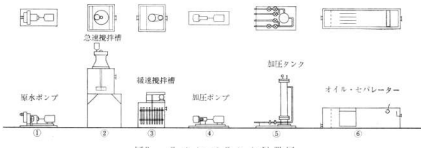
* 昭和44年度技術開発研究費補助金による研究

表2 含油废水处理テスト・プラント仕様

名 称	仕 样	全重 (kg)
原水ポンプ	塩ビ製自吸式渦巻ポンプ 揚水量 60L/min 揚程 10m 電動機 0.75KW × 200V	75
	透明塩ビ製 670W × 670L × 750H 容量 300L 攪拌機 4翼タービン型 300 rpm 電動機 0.4KW × 200V	
	透明塩ビ製 670W × 670L × 750H 容量 300L 攪拌機 45~7.5 rpm 羽根板 2.5W × 500L × 4枚 × 4翼 電動機 0.1KW × 100V	
オイル・セバレーター	透明塩ビ製 500 W × 2,200L × 600H 容量 550L オイル・スキマー 手動式 傾斜板 13枚	130
	耐酸ガスケードポンプ 揚水量 20L/min 揚程 40m 電動機 2.2KW × 200V	
	円筒形 200φ × 1,200L 容量 28.4L	
加圧タンク		90

表3 テスト・プラントによる実験条件

	部分加圧法	全加圧法
原水流量 (m³/h)	1.0	2.0
加圧水量 (m³/h)	0.5	2.0
加圧タンク内圧 (kg/cm²)	4.0	4.0
凝集剤濃度 (ppm)	1,500	1,500



圧のばいは廃水全量を加圧タンクに送り加圧したのちオイル・セバレーターに放出して浮上分離を行なう。また部分加圧のばいは加圧水として工業用水を使用し、この加圧水と凝集処理水とを混合してオイル・セバレーターに送る。

■ 実験結果と考察

1. 試料

実験に使用した試料の性状は表4に示すとおりであるが、圧延废水の他に圧延作業場での洗浄廃水などが混入してくるため油分濃度は5,000~20,000 ppmの間で大きく変動している。

2. ジャー・テストによる処理条件の決定

(1) 凝集最適PH

表4 廃水の性状

pH	濁度(ppm)	懸濁物質(ppm)	COD(ppm)	油分(ppm)
6.8	1,400	5,100	2,200	8,000

各種凝集剤を用いて無機凝集剤は500ppm、高分子凝集剤は50ppm添加した時の凝集最適pHをジャー・テストにより求めた。結果は図4に示すとおり無機凝集剤を用いた場合の凝集最適pHは5~8の間にある。高分子凝集剤ではアニオニン系、カチオニン系、ノニオニン系のいずれもまったく、またはほとんど凝集効果がみられなかった。

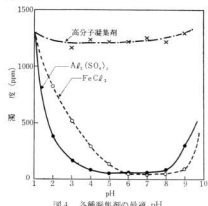


図4 各種凝集剤の最適pH

(2) 凝集最適濃度

凝集最適pHを求めたときと同様に各種凝集剤を用いてpH 6~7における最適凝集剤濃度を求めた。結果を図5に示す。

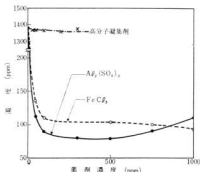


図5 各種凝集剤の最適濃度

無機凝集剤を使用したばあい、100~800ppmの間で良好な凝集効果がみられた。塩化第2鉄を使用したばあい、pH 6~8では処理水が残留鉄により着色する難点が認められた。高分子凝集剤では相当高濃度にしても良好な凝集効果はみられなかった。

(3) 小型水槽による処理実験

ジャー・テストによる結果をもとに、さらにスケール・アップして室内実験を行なった結果表5に示す性状の処理水が得られた。処理水はCODがかなり高く、このままでは工場排水としてやや難点がある。

表5 処理水の性状

pH	濁度(ppm)	懸濁物質(ppm)	COD(ppm)	油分(ppm)
6.5	21.6	1以下	160	4.2

(4) テスト・プラントによる現場実験

現場実験を行なったときの廃水中油分は約20,000ppmであったため凝集剤濃度もジャー・テストのばあいよりも高くした。

(a) 部分加圧法

加圧水として廃水、処理水、工業用水を使用したが、廃水を使用したばあいは充分な処理効果が得られず、また、処理水を循環使用したばあいは加圧操作が安定せず良好な加圧水が得られなかった。工業用水を使用したばあいももっと良好であった。処理水は透視度30以上油分5以下ではほぼ無色透明であった。生成したスカムは处理水量に対して20~40%であった。

(b) 全加圧法

凝集剤を加え凝縮復性を行ない、フロックを生成させてから加圧するためフロックが微細化する傾向がみられた。また、廃水の温度が40°C前後のため加圧タンク内で空気が充分に溶解せずオイル・セバレーターでのフロックの浮上が不完全であった。スカムの生成量は全処理水の60~80%であった。

IV 結 論

1. 冷間圧延廃水の処理法は凝集加圧浮上法が他の方法²⁾に比べ技術的にも経済的にも有利である。

2. 凝集剤としては硫酸アルミニウムがすぐれている。また加圧方法は部分加圧法が適当と考える。

3. 廃水は油分濃度が5,000~20,000ppmの間で大きく変動するため凝集が不安定となりやすい。したがい、良好な処理効果をあげるために、廃水の水質を安定させさらに廃水の温度を低下させるための大型の貯槽設置

が必要である。

4. 浮上処理により生成するスカムは処理水量の20～40%でかなり多量となるため、加温静置などの適当なスカムの処理を行なう必要がある。

おわりにあたり終始実験に協力いただいた近畿大学卒論生金田昭君に厚くお礼申し上げると共に試料を提供い

ただいた鈴鹿川製鋼所興工場に謝意を表します。

文 献

- 1) 藤本, 高崎, 東: 本報告 8 (1962), 98
- 2) 藤本, 他: 本報告 11 (1967), 141

研削砥石結合剤に関する研究（第4報）

ソーダ系長石を用いたヴィトリファイド砥石結合剤について

森田健次、山県康男、藏本範雄

緒言

ヴィトリファイド砥石の結合剤に用いられる長石の量は、一般に40～60%の多さを占め。したがってこれに用いられる長石の砥石結合剤の性状に与える影響は大きいものと考えられる。本研究は、近来まで利用度の比較的少なかったソーダ長石資源の活用と、高速研磨に要求される高強度の砥石に用うる結合剤の基礎的研究とを目的として行った。従来、陶磁器釉薬におけると同様に、砥石結合剤にはカリ長石が好んで用いられるようであるが、カリ長石よりセーゲル錫溶浴温度の低いソーダ系の長石を用いた場合、砥石は今までより低温度で焼成でき、また同じ温度で焼成したときはさらに強度の増した

ものが得られるものと考え、ソーダ系長石と比較するに福島長石および釜戸長石を用いて、結合剤のセーゲル錫溶浴温度、硬度、熱膨張などを測定し、これを用いた砥石の曲げ強さとの関連性などについて検討を行った。

試料と実験方法

1. 結合剤の原料と配合

ソーダ系長石の原料として、山陽銀砂工業所（広島県府中市）より入手した岡山県井原市附近に産出する長石（山陽長石と仮称）を用いた。原料はいずれも120meshのふるいを通して秤量配合してボットミルにて乾式混合した。使用した主原料の化学分析値およびX線回折図を、表1と図1に示した。

表1 原料の化学分析値(%)

原料	Ig. loss	SiO ₂	Al ₂ O ₃	Fe ₂ O ₃	CaO	MgO	Na ₂ O	K ₂ O	耐火度
山陽長石	0.6	66.3	20.5	0.1	0.9	0.1	8.8	2.6	SK3a
釜戸長石	0.4	74.3	15.8	0.6	0.4	0.1	4.2	4.1	SK8
福島長石	0.5	69.7	16.5	0.2	0.1	0.8	3.0	9.2	SK8*
天草陶石	4.2	75.1	16.3	0.6	0.1	0.8	0.2	2.6	SK26
黄土	6.2	64.5	17.7	7.8	0.2	0.3	1.0	2.3	SK13*
木待	6.6	61.0	16.6	4.3	5.1	2.1	2.9	1.4	SK1a

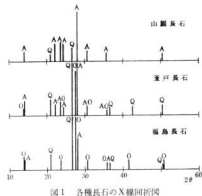


図1 各種長石のX線回折図

結合剤原料の配合は文献配合例^{2), 3)}より表2の4種を選んで行った。いずれもWA砥石用結合剤で、1, 2は白色系、3, 4は赤色着色系のものである。結合剤番号として、用いた長石により山陽、釜戸、福島長石にそれぞれS, K, F, の記号をつけこれに配合番号1～4をつけてこれを示した。

2. 結合剤のセーゲル錫溶浴温度

配合した結合剤にてセーゲル小型錠を作り、エレマ電気炉にてその溶浴温度を測定して図2に示す。

3. 試験体の成型と焼成

結合剤自身の性質を見るために焼成試験体を作る。混合の完了した結合剤15gを25×40mmの大きさに金型で加圧成型し、サヤの底にG C細紙粒を平らにつめた上に並べ、さらに高温における軟化流動を防ぐために試験体の

表2 結合剤の配合

配合番号	原料 長石	石英	草石	黄土	木	骨	目土	石灰石
1	80	10	—	—	—	10	—	—
2	65	23	—	—	—	7	5	—
3	40	40	20	—	—	—	—	—
4	40	40	—	20	—	—	—	—

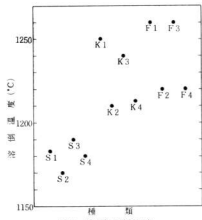


図2 結合剤の溶剤温度

厚さまでその間に底粒をつめた。つぎに砥石の強度試験体はWA#60の砥粒と、その15W%の結合剤とを適量のデキストリン溶液を加えて混練し、 $110 \times 25 \times 20\text{mm}$ の大きさに金型を用いて加圧成型した。なお、できた砥石試験体は砥粒率が49%（砥粒の占める容積）になるよう、材料の比重より計算して1箇の重量をきめた。成型体は乾燥のち各試料より3箇ずつ集め無作為にサハに充填した。

表3 砥石試験体の曲げ強さ (kg/cm^2) と結合度 (ピットくいこみ深さ mm)

砥石の 焼成温度	強度		S 1	S 2	S 3	S 4	K 1	K 2	K 3	K 4	F 1	F 2	F 3	F 4
	曲げ強さ	結合度												
1250°C	曲げ強さ	269	191	202	259	165	151	133	188	202	179	162	223	
	結合度	0.71	0.86	0.84	0.69	0.97	1.06	1.20	0.82	0.95	0.91	1.00	0.77	
1300°C	曲げ強さ	277	252	205	250	195	226	139	196	203	260	190	240	
	結合度	0.71	0.72	0.76	0.68	0.89	0.86	1.09	0.80	0.99	0.70	0.90	0.71	
1350°C	曲げ強さ	337	366	267	320	258	280	204	258	280	315	240	272	
	結合度	0.57	0.57	0.63	0.57	0.65	0.65	0.83	0.69	0.63	0.56	0.61	0.61	

焼成は結合剤、砥石いずれの試験体もエレマ電気炉中昇温速度 $3\sim4^{\circ}\text{C}/\text{min}$ にて加熱し、所定温度に1時間保留した後スイッチを切って自然冷却した。最高温度は 1250° , 1300° , 1350°C とした。

4. 摩耗硬度、熱膨脹の測定

焼成した結合剤試験体は、溶融により付着した砥粒をすり落して表面摩耗硬度を、ガラスの摩耗硬度測定法⁴⁾に準じて炭化珪素砥粒 1 kg の落下による摩耗減量を測定し、連続3回の減量測定平均値を求めた。硬度測定の終った試験体は自記熱膨脹測定装置を用いて（加熱速度 $12^{\circ}\text{C}/\text{min}$ ） $200\sim500^{\circ}\text{C}$ の平均熱膨脹係数を求めた。なお No. 3, No. 4 の結合剤は焼成によって免泡膨張して変形も大きく、これらの試験は行わなかった。

5. 砥石試験体の曲げ強さと結合度

焼成した砥石試験体は、油圧式材料試験機を用いて曲げ強さを測定し、つぎに JIS による大歯式結合度試験機により、ピットくいこみ深さを計り、いずれも3試料の平均値を求めて表3に示し、これをプロットして図3に示した。

6. 热衝撃試験

曲げ強さ測定と同じ砥石試験体を、別に各々6ヶ作り前と同様に最高 1300°C に焼成し、その中各3ヶを 300°C の温度に1時間加熱したのち室温水の中に投入して急冷し、乾燥後の曲げ強さを、また残りの3ヶは未処理のまま強さを測定して、熱衝撃による強度の変化をしらべた

■ 実験結果と考察

ヴィトリファイド結合剤においては、セーゲル錐溶剤温度より約 $50\sim100^{\circ}\text{C}$ 高い温度で砥石を焼成する場合、結合剤の効力が充分なことが知られていてが、実験に用いたソーダ長石の結合剤はいずれも $1170\sim1190^{\circ}\text{C}$ と低く、したがって 1350°C で砥石を焼成した場合、 150°C 以上も高い温度で焼くことになり、結合剤のとけ過ぎなどで強度の低下その他の欠点もでることを予想したが、山陽長石を用いた砥石はいずれも他のものにくらべ高い

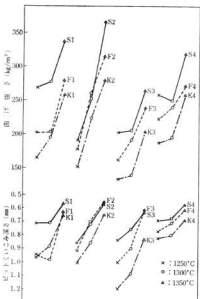


図3 砥石の曲げ強さと結合度(ビットくいこみ深さ)

強度を示し(図3)この点では効果のあることが判った。さらに急熱急冷による強度変化を見るべく熱衝撃試験を表4に示した。試験体砥石 S1 は変化率 0.54 とその中の最高値を示し、山陽長石を用いた砥石は福島長石を用いたものに比してその値は幾分大きい傾向は見られるが、その差は僅少で山陽長石を用いた砥石の強度の変化がとくに大きいとは考えられない。配合 No. 2 の結合剤の砥石はいずれも焼成温度の差による強度の増減が比較的大きく、これら結合剤砥石の焼成には温度分布の均一が肝要であろう。

砥石は全般的に高温度で焼かれたものほど強度も増すものと考え、実験で得た結果、図2および図3より溶剤温

表4 砥石の熱衝撃試験

砥石	処理前		処理後		強度変化率
	曲げ強さA(kg/cm²)	曲げ強さB(kg/cm²)	曲げ強さA(kg/cm²)	曲げ強さB(kg/cm²)	
S 1	315.0	145.0	145.0	137.0	0.54
S 2	275.0	126.0	275.0	126.0	0.50
S 3	219.0	111.7	219.0	104.7	0.43
S 4	229.3	111.7	229.3	105.3	0.51
K 1	208.3	155.0	208.3	155.0	0.46
K 2	229.3	91.0	229.3	91.0	0.43
K 3	159.0	105.3	159.0	105.3	0.52
K 4	219.3	120.3	219.3	120.3	0.49
F 1	234.0	136.7	234.0	136.7	0.45
F 2	248.7	96.0	248.7	96.0	0.48
F 3	184.3	121.0	184.3	121.0	0.49
F 4	238.0	—	238.0	—	0.49

度(順位)は低いものより)と、砥石の曲げ強さとの相関性を Spearman の順位相関式⁶⁾を用いて順位相関係数を求めて見た結果、0.50～0.73とかなりの相関度が認められた。

結合剤自体の強度を求めるには砥石に対する結合剤の融着度合を調べるにも必要と考えるが、結合剤原料は焼成により軟化变形を起すものが多く一定形状の強度測定試験体を得ることはかなり困難である。寺田等⁷⁾は焼成により生成する結合材マトリックス部分のカタサは砥石の強度に影響するとして、そのカタサをマルテンス硬度計で測定しているが、本実験では炭化珪素砥石落石法を用いてその摩耗減量を求めカタサを計った。焼成した試験体は表面は大体平滑であったが内部は小気泡が残っているものも多く、毎回の減量測定値に変動がありデーターの信頼性は少いが、焼成温度の高いもの、ガラスマトリックス量の多いと思われるものが減量が大きい傾向は多少見られる。同試験による比較値として測定した板ガラスおよび粘土質鏡板の硬度はそれぞれ 7.2mg, 12.0mg であった。

結合剤焼成試験体の各試料を差動変圧器方式の堅型自

表5 結合剤の溶剤温度と砥石強度の順位相関 (n=12)

	S 1	S 2	S 3	S 4	K 1	K 2	K 3	K 4	F 1	F 2	F 3	F 4	$\sum(x_i - y_i)^2$	r_s
x	3	1	4	2	10	5	9	6	11	7	11	7	—	
y ₁	1	6	4	2	9	11	12	7	4	8	10	3	143	0.50
y ₂	1	3	7	4	10	6	12	9	8	2	11	5	78	0.73
y ₃	2	1	8	3	9	5	12	9	5	4	11	7	82	0.71

$$r_s = 1 - \frac{6 \cdot \sum(x_i - y_i)^2}{n^3 - n}$$

x: ゼーゲル錐溶剤温度低いものより順位 y_1, y_2, y_3 : それぞれ 1250, 1300, 1350°C で焼かれた砥石強度の順位

表 6 結合剤の硬度と熱膨脹係数

試験 焼成温度	摩耗硬度 (mg)						熱膨脹係数 ($\times 10^{-4}$)						
	結合剤	S 1	S 2	K 1	K 2	F 1	F 2	S 1	S 2	K 1	K 2	F 1	F 2
1250°C		6.1	5.6	5.0	4.7	5.4	5.3	6.5	6.4	7.5	6.9	6.9	6.6
1300°C		5.6	6.0	5.0	6.0	5.6	6.0	6.4	5.9	6.8	5.3	6.6	5.9
1350°C		6.5	9.5	4.8	7.2	6.0	9.5	5.9	4.9	5.7	5.2	5.4	5.5

記熱膨脹測定装置を用いて熱膨脹を測定し、ほぼ直線的な伸びを示した 200~500°C における平均熱膨脹係数を求めた。結合剤の熱膨脹については一の瀬⁷⁾等の研究があるが、原料配合物の熱膨脹測定の結果が多く焼成された結合剤自身の測定結果は殆どない。Postel は結合剤の具備すべき条件の一として、膨脹係数は砥石より大きいこと、としているが本実験に用いた結合剤の膨脹係数は WA 砥粒の熱膨脹係数 $7 \sim 8 \times 10^{-6}$ に比して小であり、高温に焼成され砥石として高強度を示した結合剤、また全般的に強度の大であったフーダ長石系結合剤ほど小となっている傾向が幾分見られた。この様な結果から砥粒と結合剤の熱膨脹係数の近似が砥石の強度に好結果を与えるとは考えられない。

なお熱衝撃試験に用いた砥石試験体は焼成前後における寸法を計り焼成による変形の有無等観察した結果焼成による膨脹、収縮、変形などいづれも認められなかった。

IV 結 言

フーダ系長石を結合剤に用いた砥石の性状を研究するために、4種の結合剤の配合を選び、福島長石、釜戸長石を用いたものと共に砥粒率49%、結合剤率15%のWA 60の砥石試験体を作り、1250°、1300°、1350°C の各温度に焼成しその曲げ強さ、結合度、耐熱衝撃性、焼成による変形などについて実験を行った結果、焼成による収縮などもなく比較的高強度の砥石が得られた。また結合剤の溶剤温度、結合剤自身のカタサ、熱膨脹性等を測定して砥石強度との相関性についてしらべて、つぎの結論を得た。

1. 砥石結合剤にフーダ長石を用いたとき、福島長石、釜戸長石の場合よりも高い強度の砥石が得られる。

2. 結合剤のビーケル離溶剤温度が低い程、砥石の強度はおおむね大となる。

3. 砥粒と結合剤の熱膨脹係数の近似が砥石の強度を大とするという関連性は認められない。

以上、フーダ長石を用いた砥石について一通りの実験を行ったが、結合剤としての適合性はさらに砥粒粒度、結合剤量の増減による変化には回転、研削性などの試験も必要であり、また C 系砥粒との適合性についても研究を進みたいと思う。

本報告の一部は工業技術連絡会議工業連合部会中国四国九州部会において発表した。

文 献

- 1) 砥粒加工研究会編：砥粒加工技術便覧 日刊工業新聞社 (1965) 42
- 2) 工業協会編：工業工学ハンドブック 技報堂 (1966) 1420
- 3) 鹿谷直次郎：機械と工具 2 (1968) 38
- 4) 大工試：大工試ニュース 10 (1966) No.12
- 5) 寺田、山田：名工試報告 7 (1960) 342
- 6) 品質管理便覧編集委員会：品質管理便覧 日本規格協会 634
- 7) 一の瀬、山縣、浜岡：名工試報告 11 (1967) 120

トンネルキルン焼成による県産 赤レンガの品質について* (第2報)

木原 博, 金本 正, 浜岡 英男

I 結 言

前報ではトンネルキルン設置工場のうち一社を選び、2群の試料の品質について解析を行なったが、本報では県下トンネルキルン設置の3社すべての工場より製出する製品の品質につき各種試験を行ない、各製品間の異同につきまとめた結果を報告する。

II 試料と実験方法

1. 試料

試料はすべて前記3社の協力を得て焼成用トンネルキルン台車上の製品を垂直方向(いざれも13層になつてゐるが、最下層のみは除外した。なお、以下に記した層の数は實際はこれに1を加えた層であることを付言する)ならびに水平方向に均一に採取したもので、製品1個を半切し、その一つを吸水率、他の一つを圧縮強度測定用供試体とした。

2 実験方法

吸水率、圧縮強度はJIS R1250—1951に準拠して行なった。

なお、3社で使用している原土はいざれも採掘場所を異にし、異種のものであるため、化学分析、耐火度試験を併せ行なった。

III 実験方法と考察

吸水率、圧縮強度試験結果は表1、表2、表3に、各社毎の使用原土の化学成分、耐火度は表4にそれぞれ示した。

表1ないし表3の試料欄の数字は台車上の下底第2層を1、最上層を12とし、試料採取箇所の層序を示し、アルファベット大文字は水平方向に(火葬噴射新向)一端より他端へ順次ABC順に記号を付したものである。

また、各層ごとに吸水率、圧縮強度の平均値(\bar{x}_j 、 \bar{y}_j)

標準偏差(S_j 、 S'_{ij})を記入した。

なお前記2物理量間の相関係数を算出するため表6、表7、表8に各社ごとの相関表を付した。

1 焼成層と品質

(1) 焼成層別吸水率

図1に示すように數値の差はあるが、層ごとの変化の状態はきわめて類似している。すなわち層4を最小とし、これより下層の層別変化は比較的大であるが上層部分ではかなり小さくなっているのが特長である。これは下層ではかなり熱分布が不均一であるのにに対し、上層ではその分布が比較的均一であるとみなされる。

また、層別の標準偏差は図2に示すごとく一般に下層に比し、上層部分では小である。これも熱の均、不均一の差から生ずるものと思われる。

(2) 焼成層と圧縮強度

図3に示すように上層部分が下層部分にくらべ、吸水率の場合と同じように、層別の変動が小さい。なお圧縮強度については各社とも層5で最大値を示している。

吸水率の層4で最小値を示すのに対し、1層ずれを生じているのは興味深い現象である。この点の操作を向後検討したい。

標準偏差については吸水率のそれのように画一的なことはいえないが、図4にみられるように、圧縮強度の大なる値を示している社の製品ほど標準偏差が大きくなってしまい、また比較的低値をとっている層8ないし層9の個所で標準偏差が小さくなっている。(変動の比較的小さいB社は強度の最大値を示す層5に近い層6で標準偏差が小さくなっている。)これから類推すると、層ごとの変動が少なければ少ないほど標準偏差の最小値の個所と強度の最大値を示す個所とが近づくのではないだろうか。

この点も向後この種の試験を繰返し行ない、確かめたい。

なお、一般的に強度が比較的小である部分のバラツキは小さい。

* 本稿は本報告12(1968)161に引き続き第2報とする。

表1 吸水率—圧縮強度一覧表 (A社試料)

試料	吸水率 (%)	圧縮強さ (kg/cm²)	試料	吸水率 (%)	圧縮強さ (kg/cm²)	試料	吸水率 (%)	圧縮強さ (kg/cm²)	試料	吸水率 (%)	圧縮強さ (kg/cm²)
1-A	15.90	300	4-B	13.86	245	7-C	15.66	303	10-D	17.45	183
1-A	17.16	263	4-B	15.10	228	7-C	16.12	298	10-D	16.49	253
1-B	18.88	226	4-C	15.18	413	7-D	17.18	192	10-E	16.29	317
1-B	18.47	181	4-C	10.19	353	7-D	16.76	269	10-E	15.68	300
1-C	18.47	230	4-D	19.25	273	7-E	16.87	285	10-F	16.18	237
1-C	17.28	282	4-D	15.53	327	7-E	15.81	325	10-F	16.04	306
1-D	17.64	323	4-E	13.57	275	7-F	15.44	250	10段	$x_{10}=16.45$ $S_{10}=0.490$ $S'_{10}=59.1$	273
1-D	17.75	334	4-E	13.12	285	7-F	14.72	432			
1-E	17.22	201	4-F	12.97	457	7段	$\bar{x}_7=15.69$ $S_7=0.939$ $S'_7=83.8$	11-A	15.69	257	
1-E	17.92	291	4-F	13.55	344				11-A	16.20	245
1-F	13.54	272	4段	$\bar{x}_4=13.79$ $S_4=2.363$ $S'_4=80.7$	539	8-A	15.37	375	11-B	16.81	222
1-F	14.27	206			8-A	15.43	310	11-B	15.96	250	
1段	$\bar{x}_1=17.04$ $S_1=1.256$ $S'_1=49.8$	5-A	13.01	439	8-B	15.80	372	11-C	17.06	282	
2-A	5-A	12.70	366	8-B	16.26	331	11-C	15.75	241		
2-A	15.15	298	5-B	15.66	287	8-C	16.23	328	11-D	16.96	281
2-A	13.96	253	5-B	14.95	278	8-C	15.88	342	11-D	15.57	396
2-B	16.44	310	5-C	15.80	340	8-D	15.91	231	11-E	16.03	277
2-B	15.95	222	5-C	15.06	257	8-D	16.39	317	11-E	16.66	335
2-C	17.98	201	5-D	16.32	267	8-E	15.64	314	11-F	15.14	324
2-C	16.49	310	5-D	15.56	266	8-E	16.00	245	11-F	14.06	516
2-D	17.64	257	5-E	12.89	541	8-F	14.47	324	11段	$\bar{x}_{11}=15.99$ $S_{11}=0.854$ $S'_{11}=83.0$	302
2-D	17.07	263	5-E	15.33	373	8-F	14.69	282			
2-E	15.42	281	5-F	12.02	533	8段	$\bar{x}_8=15.67$ $S_8=0.594$ $S'_8=43.9$	12-A	15.73	467	
2-E	16.08	265	5-F	11.51	509				12-A	15.71	412
2-F	12.34	303	5段	$\bar{x}_5=14.23$ $S_5=1.678$ $S'_5=95.8$	530	9-A	15.67	346	12-B	15.55	360
2-F	13.39	246			9-A	15.99	267	12-B	16.36	261	
2段	$\bar{x}_2=15.66$ $S_2=1.712$ $S'_2=34.8$	6-A	14.15	373	9-B	16.29	321	12-C	16.50	246	
3-A	6-A	14.27	477	9-B	16.32	275	12-C	16.19	257		
3-A	12.78	366	6-B	15.40	378	9-C	16.82	293	12-D	16.23	336
3-A	12.29	455	6-B	14.10	307	9-C	16.20	336	12-D	15.30	393
3-B	15.66	183	6-C	15.87	250	9-D	16.56	192	12-E	15.40	257
3-B	15.17	269	6-C	16.28	258	9-D	16.54	252	12-E	15.90	341
3-C	16.28	240	6-D	16.18	203	9-E	16.06	246	12-F	15.52	168
3-C	15.85	350	6-D	16.11	204	9-E	16.60	214	12-F	14.78	425
3-D	15.43	321	6-E	15.02	255	9-F	13.77	341	12段	$\bar{x}_{12}=15.76$ $S_{12}=0.499$ $S'_{12}=89.5$	327
3-D	15.22	309	6-E	14.11	270	9-F	14.77	296			
3-E	13.97	230	6-F	12.96	555	9段	$\bar{x}_9=15.97$ $S_9=0.876$ $S'_9=50.0$				
3-E	13.17	270	6-F	12.52	258						
3-F	10.16	442	6段	$\bar{x}_6=14.75$ $S_6=1.264$ $S'_6=104.2$	325	10-A	16.24	225			
3-F	10.42	353			10-A	16.75	247				
3段	$\bar{x}_3=13.87$ $S_3=2.105$ $S'_3=80.8$	7-A	14.68	320	10-B	16.45	282				
4-A	11.85	398	7-B	14.28	361	10-C	16.01	409			
4-A	11.34	465	7-B	15.87	416	10-C	17.02	300			

表2 吸水率—圧縮強度一覧表(B社試料)

試料	吸水率 (%)	圧縮強サ (kg/cm ²)	試料	吸水率 (%)	圧縮強サ (kg/cm ²)	試料	吸水率 (%)	圧縮強サ (kg/cm ²)	試料	吸水率 (%)	圧縮強サ (kg/cm ²)
1-A	18.83	282	4-A	15.55	346	7-B	16.63	282	10-A	16.06	293
1-A	18.85	317	4-B	16.89	242	7-B	17.71	337	10-A	17.33	310
1-B	19.22	137	4-B	17.13	204	7-C	18.40	212	10-B	17.65	257
1-B	19.98	171	4-C	15.60	226	7-C	17.19	303	10-B	18.00	279
1-C	19.04	187	4-C	16.05	309	7-D	17.71	248	10-C	18.37	262
1-C	20.05	151	4-D	15.33	246	7-D	16.69	275	10-C	17.17	274
1-D	18.92	185	4-D	14.74	281	7-E	18.31	226	10-D	16.93	225
1-D	18.75	203	4段 $\bar{x}_4=15.93$ $S_4=0.798$	$\bar{y}_4=266$ $S'_4=46.2$	7-E	17.26	262	10-D	17.34	318	
1段 $S_1=0.520$	$\bar{x}_1=19.21$	$\bar{y}_1=204$	4段 $S_4=0.798$	$\bar{x}_4=17.12$ $S_4=52.8$	7-E $S_7=1,166$	$\bar{y}_7=286$	10-E	18.29	288		
2-A	17.44	288	5-A	13.82	282	8-A	16.07	415	10段 $S_{10}=0.707$	$\bar{x}_{10}=17.52$ $\bar{y}_{10}=279$	
2-A	17.21	301	5-B	16.59	218	8-A	17.17	301	11-A	17.50	341
2-B	18.58	282	5-B	16.03	248	8-B	17.29	326	11-B	17.29	203
2-B	17.67	214	5-C	17.02	370	8-B	17.22	281	11-C	17.19	295
2-C	17.41	177	5-G	15.10	350	8-C	18.38	201	11-B	17.04	295
2-C	19.08	229	5-D	17.00	368	8-C	16.50	190	11-B	18.60	240
2-D	16.10	287	5-D	16.96	317	8-D	16.33	252	11-C	18.87	264
2-D	18.52	262	5段 $\bar{x}_5=1619$ $S_5=1,167$	$\bar{y}_5=298$ $S'_5=62.2$	8-E	17.68	254	11-C	17.50	230	
2段 $S_2=0.947$	$\bar{x}_2=17.75$	$\bar{y}_2=255$	6-A	15.46	357	8-E	17.96	218	11-D	16.42	290
3-A	16.71	258	6-A	15.46	347	8-E	17.24	314	11-E	18.48	246
3-A	16.41	287	6-B	16.62	234	8段 $S_8=0.713$	$\bar{x}_8=17.24$ $S'_8=65.8$	11-E	16.99	252	
3-B	16.69	196	6-B	16.21	347	9-A	16.93	293	11段 $S_{11}=0.799$	$\bar{x}_{11}=17.59$ $S'_{11}=40.0$	
3-B	17.45	234	6-C	17.79	262	9-A	16.36	265	12	17.49	239
3-C	17.10	229	6-C	16.45	298	9-A	16.36	265	12	16.95	257
3-C	18.18	234	6-D	17.37	232	9-B	17.19	320	12	17.97	285
3-D	18.99	165	6-D	18.05	241	9-B	16.62	238	12	16.92	247
3-D	17.56	201	6-E	17.68	293	9-C	17.00	253	12	18.87	301
3-E	18.43	211	6-E	17.90	298	9-D	18.12	270	12	18.10	304
3-E	16.75	229	6-F	16.99	252	9-E	16.45	288	12	16.51	274
3-F	16.82	268	6-F	17.60	296	9-E	18.56	278	12	17.54	273
3-F	16.66	235	6-G	16.39	346	9-F	16.29	260	12	17.59	23.9
3-G	15.53	277	6-G	16.77	296	9-F	18.01	238	12段 $S_{12}=0.823$	$\bar{x}_{12}=17.54$ $S'_{12}=23.9$	
3-G	16.66	265	6段 $\bar{x}_6=16.91$ $S_6=0.860$	$\bar{y}_6=293$ $S'_6=44.2$	9-G	16.92	273	12	17.09	271	
3段 $S_3=0.906$	$\bar{x}_3=17.14$	$\bar{y}_3=235$	7-A	14.29	381	9-G	16.59	270	12	17.09	271
4-A	16.16	271	7-A	16.97	330	9段 $S_9=0.750$	$\bar{y}_9=271$ $S'_9=23.1$	12	16.06	293	

表3 吸水率—圧縮強度一覧表(C社試料)

試料	吸水率 (%)	圧縮強さ (kg/cm²)	試料	吸水率 (%)	圧縮強さ (kg/cm²)	試料	吸水率 (%)	圧縮強さ (kg/cm²)	試料	吸水率 (%)	圧縮強さ (kg/cm²)
1-A	18.31	371	4-B	17.50	404	6-C	19.78	573	9-C	18.79	488
1-A	17.28	364	4-B	17.94	615	6-D	18.27	327	9-D	17.85	537
1-B	19.72	335	4-B	18.94	573	6-D	16.24	794	9-D	19.00	396
1-B	19.23	423	4-C	17.64	448	6-D	18.18	411	9-D	18.52	433
1-C	21.73	228	4-C	14.70	473	6-D	17.48	537	9段	$x_4=18.46$ $S_4=0.585$	$y_0=485$ $S'_0=69.9$
1-C	18.40	350	4-C	17.01	636	6段	$x_4=18.06$ $S_4=1.508$	$y_6=512$ $S'_6=122.1$	10-A	18.90	370
1-D	16.94	258	4-C	18.88	450	7-A	18.45	366	10-A	17.75	512
1-D	20.96	361	4-D	17.52	604	7-A	19.17	586	10-A	19.34	440
1段	$x_1=19.07$ $S_1=1.685$	$S'_1=63.4$	4-D	17.10	571	7-A	17.61	719	10-B	15.29	342
2-A	17.72	330	4-D	18.67	475	7-B	17.39	491	10-B	19.61	543
2-A	17.88	468	4段	$x_4=17.51$ $S_4=1.077$	$y_4=538$ $S'_4=76.9$	7-B	18.55	590	10-B	18.88	577
2-B	18.26	450	4段	$x_4=17.51$ $S_4=1.077$	$y_4=538$ $S'_4=76.9$	7-B	19.42	562	10-C	17.62	349
2-B	19.96	261	5-A	18.92	482	7-C	18.68	539	10-C	19.65	490
2-C	20.77	330	5-A	15.15	614	7-C	19.14	387	10-C	18.45	496
2-C	20.39	393	5-A	17.59	511	7-C	19.66	559	10-D	17.97	338
2-D	20.51	322	5-A	18.11	619	7-D	17.54	405	10-D	17.96	641
2-D	16.84	566	5-B	17.61	706	7-D	17.19	686	10-D	19.28	609
2段	$x_2=19.04$ $S_2=390$	$S'_2=99.4$	5-B	18.18	487	7-D	18.56	566	10段	$x_{10}=18.39$ $S_{10}=0.872$	$y_{10}=476$ $S'_{10}=92.4$
3-A	20.08	270	5-B	17.67	560	7段	$x_7=18.45$ $S_7=0.775$	$y_7=538$ $S'_7=110.3$	11-A	19.85	307
3-A	15.63	358	5-B	18.85	663	8-A	19.36	406	11-A	18.33	527
3-A	17.57	666	5-C	19.63	476	8-A	17.21	475	11-B	20.67	345
3-A	17.06	631	5-C	18.26	382	8-A	18.92	540	11-B	19.54	525
3-B	16.76	347	5-C	19.21	580	8-B	18.57	444	11-C	19.85	400
3-B	15.37	441	5-C	17.50	595	8-B	18.35	504	11-C	19.46	537
3-B	18.96	631	5-D	18.54	430	8-B	18.21	532	11-D	18.53	380
3-B	17.23	633	5-D	17.24	488	8-C	19.28	562	11-D	18.57	506
3-C	19.32	303	5-D	17.37	647	8-C	19.51	590	11段	$x_{11}=19.35$ $S_{11}=0.812$	$y_{11}=441$ $S'_{11}=92.9$
3-C	17.18	450	5-D	19.26	585	8-C	19.15	443	12-A	19.20	470
3-C	18.14	495	5段	$x_5=18.07$ $S_5=1.077$	$y_5=549$ $S'_5=90.1$	8-D	18.39	433	12-A	18.10	619
3-C	18.31	567	6-A	19.20	531	8-D	16.35	525	12-B	20.02	400
3-D	19.80	321	6-A	18.28	519	8-D	18.77	606	12-B	21.24	413
3-D	15.85	578	6-A	13.93	675	8段	$x_8=18.51$ $S_8=0.927$	$y_8=505$ $S'_8=65.0$	12-C	20.01	416
3-D	17.00	611	6-A	17.56	462	9-A	17.96	489	12-C	19.35	544
3-D	16.87	490	6-B	17.06	638	9-A	17.92	553	12-D	19.04	303
3段	$x_3=17.57$ $S_3=1.423$	$S'_3=135.3$	6-B	17.23	585	9-A	18.88	466	12-D	18.72	472
4-A	18.38	571	6-B	19.41	382	9-B	17.52	332	12段	$x_{12}=19.46$ $S_{12}=0.959$	$y_{12}=455$ $S'_{12}=96.2$
4-A	16.41	708	6-B	19.37	406	9-B	19.02	564			
4-A	16.65	581	6-C	19.34	420	9-B	18.13	550			
4-A	18.38	623	6-C	18.22	422	9-C	18.53	490			
4-B	17.21	393	6-C	19.40	509	9-C	19.44	523			

表4 赤レンガ原土の化学成分ならびに耐火度

試験区分 試料	化 学 成 分 (%)								耐 火 度	
	Ig. loss	SiO ₂	Al ₂ O ₃	Fe ₂ O ₃	CaO	MgO	K ₂ O	Na ₂ O		
A社使用原土	6.57	61.85	19.33	7.54	0.56	0.77	2.54	0.13	99.29	SK18 ⁻
B社使用原土	7.66	57.72	21.05	8.25	0.53	0.44	2.05	0.42	98.12	SK18 ⁻
C社使用原土	6.21	63.27	19.28	5.47	0.60	0.75	3.27	0.53	99.38	SK17 ⁺

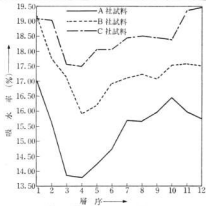


図1 層別吸水率(平均値)図

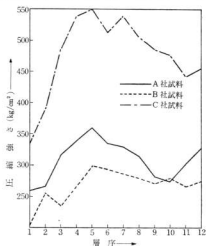


図3 層別圧縮強度(平均値)図

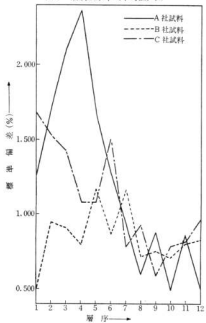


図2 層別吸水率標準偏差図

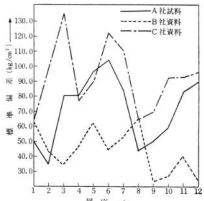


図4 層別圧縮強度標準偏差図

表5 C社使用の上、中、下層原土の化学成分ならびに耐火度

試験区分 試料	化 学 成 分 (%)								耐火度	
	Ig. loss	SiO ₂	Al ₂ O ₃	Fe ₂ O ₃	CaO	MgO	K ₂ O	Na ₂ O		
上 層	7.68	59.93	22.43	6.55	0.27	0.29	2.17	0.08	99.40	SK19
中 層	6.03	63.74	19.42	6.05	0.56	0.72	3.31	0.53	100.36	SK19
下 層	6.21	63.27	19.28	5.47	0.60	0.75	3.27	0.53	99.38	SK17+

表6 吸水率 — 壓縮強度相関表 (A社試料)

x(%)	10.01	11.01	12.01	13.01	14.01	15.01	16.01	17.01	18.01	19.01	f _s	v	vf _s	v ² f _s	uv
y(kg/cm ²)	11.00	12.00	13.00	14.00	15.00	16.00	17.00	18.00	19.00	20.00					
151~200							2	1	2	1	6	-4	-24	96	-56
201~250					3	1	7	11	2	2	26	-3	-78	234	-120
251~300			1	5	4	13	15	7		1	46	-2	-92	184	-124
301~350			1	2	2	13	12	2			32	-1	-32	32	-39
351~400	2	1	3		2	7					15	0	0	0	0
401~450	1			1	3	3	1				9	1	9	9	0
451~500		1	2		2	1					6	2	12	24	-12
501~550		1	1		1						3	3	9	27	-15
551~600			1								1	4	4	16	-8
f _s	3	3	9	11	15	46	40	13	3	1	144		-192	622	-374
u	-4	-3	-2	-1	0	1	2	3	4	5					
vf _s	-12	-9	-18	-11	0	46	80	39	12	5	132				
v ² f _s	48	27	36	11	0	46	160	117	48	25	518				
uv	-4	-15	-16	20	0	-63	-156	-90	-40	-10	-374				

表7 吸水率 — 壓縮強度相関表 (B社試料)

x(%)	13.51	14.01	14.51	15.01	15.51	16.01	16.51	17.01	17.51	18.01	18.51	19.01	19.51	20.01	f _s	v	vf _s	v ² f _s	uv
y(kg/cm ²)	14.00	14.50	15.00	15.50	16.00	16.50	17.00	17.50	18.00	18.50	19.00	19.50	20.00	20.50					
126~150											1				1	-5	-5	25	-25
151~175											1	1	1	1	3	-4	-12	48	-68
176~200					1	1	1				1	1			5	-3	-15	45	-27
201~225					2	2	3	3	1						11	-2	-22	44	-42
226~250		1	1	2	7	5	1	5	1	1					24	-1	-24	24	-24
251~275				4	11	2	3	2	2						24	0	0	0	0
276~300	1	1	1	6	3	4	5	2	3						26	1	26	26	14
301~325				1	1	7	1	1	2						13	2	26	52	38
326~350		2	1	1	1	2	1								8	3	24	72	-15
351~375				1		1	1								3	4	12	48	-8
376~400		1													1	5	5	25	-25
401~425					1										1	6	6	36	-6
f _s	1	1	1	4	3	16	27	24	14	13	11	3	1	1	120	21	445	188	
u	-6	-5	-4	-3	-2	-1	0	1	2	3	4	5	6	7					
vf _s	-6	-5	-4	-12	-6	-16	0	24	28	39	44	15	6	7	114				
v ² f _s	36	25	16	36	12	16	0	24	56	117	176	75	36	49	674				
uv	-6	-25	-4	-27	-6	-12	0	16	6	-21	-12	-45	-24	-28	-188				

表8 吸水率—圧縮強度相関表

(C社試料)

$x(\%)$	13.01	14.01	15.01	16.01	17.01	18.01	19.01	20.01	21.01	f	v	vf_y	v^2f_y	av
$y(\text{kg}/\text{cm}^2)$	14.00	15.00	16.00	17.00	18.00	19.00	20.00	21.00	22.00					
201~250										1	1	-5	-5	25
251~300					1		1	1			3	-4	-12	48
301~350			1	1	4	2	5	3			16	-3	-48	144
351~400			1		2	6	3	3			15	-2	-30	60
401~450			1		4	8	6	1	1	21	-1	-21	21	-25
451~500	1			1	7	9	3				21	0	0	0
501~550				1	4	8	7				20	1	20	20
551~600			1	2	5	6	9				23	2	46	92
601~650			1	1	8	5	1				16	3	48	144
651~700	1				2	1					4	4	16	64
701~750					1	2					3	5	15	75
751~800					1						1	6	6	36
f_x	1	1	5	9	38	45	35	8	2	144		25	729	-103
u	-4	-3	-2	-1	0	1	2	3	4					
uf_x	-4	-3	-10	-9	0	45	70	24	8					
u^2f_x	16	9	20	9	0	45	140	72	32					
av	-16	0	2	-12	0	13	-6	-60	-24					

(3) 使用原土

化学成分、耐火度についてはいづれの原土とも差異はないが、鉱物組成、粒度分布などにおいて差異があるようと思われる所以、早急に試験検討したい。

なお、偶然の機会にC社の原土採掘場にて採取した。上、中、下層の原土があったので、これらにつき、化学分析、耐火度試験を行なったので、これを表5に示す。C社では、下層部分の原土を主として用いていることを付言する。

中、下層原土は表5に示すようにほとんど成分的にはかわらないが粒度分布が異なっているので物理性状を異にしていると考えられる。これに対し上層原土は化学組成から言っても前記2種とは異なっており、工場側では、これの使用を極力さけているようである。

ハロイサイトなどの粘土類を含有し、收縮大きく、赤レンガ焼成温度程度では焼縮りがよくないことに起因する。

しかしながら、大量の原土を採掘する所以、上層の土の混入は避けられないのが現状である。

2. 吸水率、圧縮強度間の相関性

今回は品質のバラツキの大小に関連して、これら2物理量の相関性がどうなるかを検討した。

このため、2物理量の相関表を表6、表7、表8に各社ごとに作成し、相関係数をこれより算出した。

算出の結果、つきの値を得た。

A社の相関係数 $r_A=0.52$

B社の相関係数 $r_B=0.42$

C社の相関係数 $r_C=0.30$

ちなみに、相関係数算出式は

$$r = \frac{n \sum uv - \sum u \sum v}{\sqrt{[n \sum u^2 - (\sum u)^2][n \sum v^2 - (\sum v)^2]}}$$

である。

C社のみが低値を示すのは原土の品質、これに加えて異種原土の混入ならびに不完全な混合、混練によると思われる。これはさきに示した図3の層別圧縮強度図に2つのピークがあることから2群の品質のもの、いいかえれば品質のはい士使用による結果とみなされる。

以上の相関係数から、原土の変動、焼成条件の不統一によりその係数は変化しているので、1つの物理量より能を推定することは危険を伴うことを痛感した。

IV 総 言

以上の実験結果をまとめると

1. 層別の吸水率は3社とも、その変動の状態がきわめて近似している。すなわち層4を最小値として、これより下層は変動が大きいが、上層部は小である。バラツキについても同じような傾向にある。

2. 層別の圧縮強度についても1と同じような傾向がある。ただ圧縮強度では層5を最大値発現の個所となっ

ており、両者間にははざれがある。

また標準偏差については高い強度を示すもの程、標準偏差の変動は大である。

3. 原土の混在、焼成条件の不統一により吸水率、圧縮強度間の相関性は必らずしも安定していない。

以上のことより、品質の安定を期するためには、必要以上の数値を発現させることよりも、層別間の変動の少ない品質を確保できる生産条件を把握することの肝要であることを痛感した。

6
昭和45年3月20日印刷

昭和45年3月25日発行

呉市西中央3丁目6番21号

編集兼行 広島県立呉工業試験場

電話 096438(代表)

広島市大州5丁目1番1号

印刷所 中本総合印刷株式会社

電話 代表 804221番